



دانشکده مهندسی
پایان نامه کارشناسی ارشد
گرایش سازه

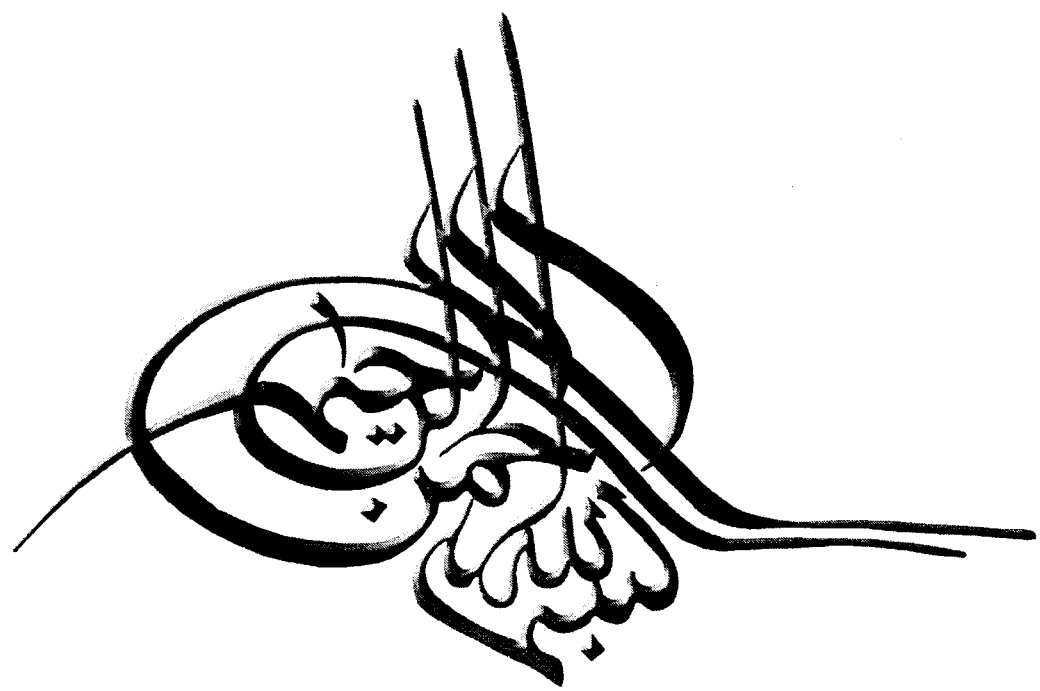
کاربرد ماتریس لاپلاسین در تحلیل پایداری سازه‌های با تقارن به فرم دو و سه

نگارنده:
اعظم الیاسی گرجی

جهت اخذ درجه کارشناسی ارشد

استاد راهنما:
دکتر محسن طالبزاده
دکتر صادق رحیمی شعرబاف

استاد مشاور:
دکتر علی کیهانی



به پدره که برای بالندگی اه فمید

و مادره که برای شکوفایی اه پژمرد

و تقدیم به برادر محبوبه، علی

که به دستان سوخته اه

شوق ممکن بودن قلم را باور داد

نمی دانم پس از مرگم چه خواهم شد
نمی خواهم بدانم کوزه گر، از خاک اندامم چه خواهد ساخت
ولی بسیار مشتاقم که از خاک گلویم سوتکی سازد
گلویم سوتکی باشد

به دست طفلکی گستاخ و بی پرواو بازیگوش
و او، یکریزو پی در پی
دم گرم خمودش را، در گلویم سخت بفسارد
و خواب خفتگان خفته را آشفته تر سازد

بدین سان بشکند دائم
سکوت مرگبارم را

دکتر علی شریعتی

تشکر و قدردانی

حال آنچه باقی می‌ماند، قدردانی از استادان اینجانب است؛

چگونه می‌توانم از استاد اندیشمند و دلسوزم جناب آقای دکتر صادق رحیمی تشکر کنم و چقدر مشکل است آنچه را بنویسی که قلم توانایی بیان ذره‌ای از آن رنج‌ها و تعباً را ندارد. از استاد توانمندم جناب آقای دکتر محسن طالب زاده که با تأثیر و احساس مسولیت مرا در انجام این رساله یاری داده‌اند کمال تشکر را دارم، همچنین از جناب آقای دکتر علی کیهانی استاد فرزانه‌ام که با راهنمایی‌های ارزنده نقش مهمی در به ثمر رسیدن این تحقیق داشته‌اند، سپاسگزارم. از کلیه اساتید محترم دانشکده عمران و معماری دانشگاه صنعتی شاهرود بویژه آقای دکتر ساغروانی مدیرگروه محترم و دکتر احمدی ریاست محترم دانشکده و اساتید گرامی دانشکده ریاضی دکتر فتحعلی و دکتر موسوی قدردانی می‌نمایم.

گرچه نمی‌توان با هیچ قلمی، حق رحمات و مساعدتهای بی‌دریغ اساتید گرانقدر و دوستان گرامی را به جای آورده، اما وظیفه خود می‌دانم که از آقایان مهندس رضا مشابه، مهندس رضا امیری، مهندس ربانی و مهندس مزینانیان کارشناس آموزشی گروه عمران و خانم‌ها، مهندس افسانه کثیری و مهندس سحر رمضانی، که کمکهای زیادی در پیشبرد این پایان نامه داشته‌اند خالصانه تشکر و قدردانی کنم.

در پایان بی‌نهایت بار به تمامی افراد خانواده‌ام که همواره مرا باور داشته‌اند، سرتعظیم فرود می‌آورم و تشکر ویژه می‌نمایم.

چکیده:

تحلیل ماتریسی یکی از روش‌های مناسب ریاضی است که در علوم مهندسی مورد استفاده قرار گرفته است. در روش‌های مبتنی بر تحلیل ماتریسی از خواص ماتریس‌ها در مسایل جبر خطی استفاده می‌شود. در مسایل جبر ماتریس‌ها نوعاً تعداد زیادی متغیر تعریف می‌شوند که مقادیر آنها باید محاسبه گردند. استفاده از خواص جبر ماتریسی و بکارگیری رایانه‌های با سرعت بالا، حل پیچیده‌ترین مسایل سازه‌ای با ویژگی مذکور را به صورت تحلیل ماتریسی فراهم نموده است. در این رساله موضوع "کاربرد ماتریس لایاسین در تحلیل پایداری قابهای با تقارن به فرم دو و سه" به صورت تحلیل ماتریسی و با استفاده از مفاهیم تئوری گراف مورد بررسی قرار گرفته است. روش ارائه شده در این رساله مبتنی بر ارائه مدل‌هایی از گراف است که توصیفی از قابهای مفصلی بدون تغییر مکان محوری می‌باشد. در این رابطه مدل گراف متناظر با قاب در امتداد محور تقارنش، پارش، و به دو مولفه متناظر تجزیه می‌شود. از دو مولفه متناظر تنها یک مولفه متناظر برای بدست آوردن بار بحرانی سازه مورد استفاده قرار می‌گیرد. در این بحث ماتریس سازه‌ای هم ارز ماتریس لایاسین گراف متناظر، ماتریس سختی سازه می‌باشد که ماتریس لایاسین حاصل از تجزیه ماتریس متناظر با گراف اصلی با استفاده از تقارن به فرم دو و سه، در پایداری قابها، تشکیل و مقادیر ویژه آن محاسبه و جایگزین مقادیر ویژه ماتریس اصلی قرار می‌گیرد. در این رابطه حجم محاسبات به طور چشمگیری کاهش می‌یابد. همچنین برای توصیف مناسبتری از تقارن به فرم دو و سه اقدام به تعریف نوع خاصی از گراف به نام گرافهای مرکب شده است که روشنی کاملاً ابتکاری و منحصر به این رساله می‌باشد. این نوع گراف‌ها همراه با ماتریس لایاسین متناظر در فرم دو و سه مورد استفاده و بحث و بررسی قرار گرفته است. همچنین کاربردهای عملی از مدل مذکور ارائه شده است.

کلمات کلیدی: ماتریس لایاسین، قابهای سازه‌ای ، مقادیر ویژه، تقارن، تئوری گراف

«فهرست مطالب»

صفحه

عنوان

الف.....	فهرست مطالب
خ.....	فهرست شکلها
ش.....	فهرست جداول

بخش اول: ماتریسها و کاربرد ماتریس لایلین در تئوری گراف

فصل اول: مقدمه و کلیات

۱	۱-۱ مقدمه.....
۲	۱-۲ ضرورت انجام و اهداف تحقیق
۳	۱-۳-۱- خلاصه و مرور تاریخی.....
۳	۱-۳-۱- منشا و آغاز تئوری گراف (سدهی ۱۷۰۰).....
۴	۱-۳-۱- چگونگی رشد تئوری گراف و خلق کاربردهای عملی (سدهی ۱۸۰۰-۱۹۲۰).....
۵	۱-۳-۱- گسترش و توسعهی کاربردهای عملی (دهه ۱۹۲۰-۱۹۸۰).....
۶	۱-۳-۱- گسترش و کاربرد تئوری گراف در مکانیک سازهای (۱۹۸۰- تا کنون).....
۷	۱-۴- ساختار تحقیق.....

فصل دو: تعاریف و مفاهیم اولیه ماتریسها و مقادیر ویژه

۱۰	۲-۱- مقدمه:.....
۱۰	۲-۲- ماتریسها.....
۱۲	۲-۳- ضرب دو ماتریس
۱۲	۲-۴- بردار
۱۳	۲-۵- چند ماتریس خاص
۱۶	۲-۶- رتبهی یک ماتریس
۲۰	۲-۸- روشهای بدست آوردن مقادیر ویژه
۲۱	۲-۸-۱- روش لوریه - فادیو
۲۲	۲-۸-۲- روش ژاکوبی (برای ماتریس متقارن)
۲۳	۲-۸-۳- روش گیونز(برای ماتریس‌های متقارن)

عنوان

صفحه

فصل سوم: کاربرد ماتریس ها در تئوری گراف

۱-۳-۱- مقدمه.....	۲۸
۱-۳-۲- تعاریف اولیه.....	۲۸
۱-۳-۳- تعریف شهودی گراف.....	۲۸
۲-۲-۳- تعریف رسمی گراف.....	۲۹
۳-۲-۳- تعاریف اولیه گراف.....	۳۰
۳-۳- ماتریسها و نحوه بکارگیری آنها در تئوری گراف.....	۳۲
۴-۳-۱- ماتریس مجاورت، یک گراف.....	۳۲
۴-۳-۲- کاربردهای ماتریس مجاورت.....	۳۳
۴-۳-۳- ماتریس فاصله، یک گراف.....	۳۴
۴-۳-۴- کاربردهای ماتریس فاصله.....	۳۵
۴-۳-۵- ماتریس درجه یک گراف.....	۳۶
۴-۳-۶- ماتریس لاپلاسین یک گراف.....	۳۶
۴-۳-۷- ماتریس تلاقی یا وقوع یک گراف.....	۳۷
۴-۳-۸- ماتریس مسیر یک گراف.....	۳۸
۴-۳-۹- ماتریس مدار یک گراف.....	۴۰
۴-۳-۱۰- ماتریس دور یک گراف.....	۴۱
۴-۳-۱۱- ماتریس مجموعه های برشی، یک گراف.....	۴۱
۴-۳-۱۲- مفاهیم تکمیلی.....	۴۲
۴-۳-۱۳- درخت.....	۴۲
۴-۳-۱۴- درخت، درخت پوش، درخت با کوتاهترین مسیر.....	۴۲
۴-۳-۱۵- درخت با کوتاهترین مسیر.....	۴۳
۴-۳-۱۶- گراف چندگانه.....	۴۴
۴-۳-۱۷- گراف (سویه دار) جهت دار.....	۴۵
۴-۳-۱۸- زیرگرافها.....	۴۷

فصل چهارم: کاربرد ماتریس لایلسانین و مدل ریاضی گرافها در تقارن به فرم دو و سه

۵۰	۱-۱-۴ - مقدمه
۵۰	۲-۴ - ماتریسهای کانونیکال و ماتریسهای فرم یک و دو
۵۰	۱-۲-۴ - ماتریس فرم یک
۵۱	۲-۲-۴ - ماتریس فرم دو
۵۲	۱-۲-۲-۴ - مقادیر ویژه در ماتریس به فرم دو
۵۵	۳-۴ - ماتریسهای کانونیکال و ماتریسهای فرم سه
۵۶	۱-۳-۴ - اثبات
۵۹	۲-۳-۴ - مقادیر ویژه در تقارن به فرم سه
۶۱	۴-۴ - بکارگیری فرمهای کانونیکال در گراف متقارن
۶۲	۱-۴-۴ - بکارگیری ماتریسهای فرم یک و دو در گراف
۶۳	۲-۴-۴ - تعیین ماتریس لایلسانین مولفه‌های متقارن گراف متقارن در حالت فرم دو
۶۷	۳-۴-۴ - بکارگیری فرم سه در گراف
۶۷	۴-۴-۴ - تعیین ماتریس لایلسانین مولفه‌های متقارن گراف متقارن، برای حالت ماتریس با فرم سه
۷۰	۴-۵ - نحوه تجزیه گراف متقارن به مولفه‌های متقارن

فصل پنجم: کاربرد ماتریس لایلسانین در گرافهای مرکب با تقارن به فرم دو و سه

۷۷	۱-۱-۵ - مقدمه
۷۷	۲-۵ - گرافهای مرکب
۷۸	۱-۲-۵ - راس مرکب
۷۸	۱-۱-۲-۵ - همچواری درونی
۷۹	۲-۲-۵ - گراف مرکب
۸۰	۳-۵ - تقارن به فرم دو
۸۴	۱-۳-۵ - مولفه‌های متقارن گراف مرکب در فرم دو
۸۵	۲-۳-۵ - مولفه‌های متقارن
۸۷	۴-۵ - تقارن به فرم سه در گراف مرکب

۹۴	۱-۴-۵- مولفه‌های متقارن گراف مرکب	عنوان
	صفحه	

۹۵	۱-۱-۴-۵- انتقال یک سویه	
۹۶	۲-۱-۴-۵- انتقال دو سویه	
۹۸	۵-۵- اتم‌های گراف	

بخش دوم: کاربرد ماتریس لایپلاسین در مسائل سازه‌ای
فصل ششم: کاربرد ماتریس لایپلاسین در تقارن‌های به فرم دو و سه در سیستم‌های
مکانیکی جرم- فنر

۱۰۵	۱-۶- مقدمه	
۱۰۵	۲-۶- ماتریسهای لایپلاسین برای فرم‌های متفاوت	
۱۰۶	۳-۶- تقارن در یک سیستم ارتعاشی جرم- فنر	
۱۱۰	۴-۶- مدل گراف یک سیستم جرم- فنر	
۱۱۲	۵-۶- سیستم‌های ارتعاشی با تقارن به فرم دو	
۱۱۵	۶-۶- سیستم‌های ارتعاشی با تقارن به فرم سه	

فصل هفتم: روش‌های تحلیل در پایداری سازه‌ها

۱۲۴	۱-۷- مقدمه	
۱۲۴	۲-۷- روش‌های بدست آوردن بار بحرانی	
۱۲۵	۲-۲-۷- روش معادلات دیفرانسیل	
۱۲۵	۲-۲-۷- روش انرژی	
۱۳۰	۲-۳-۷- روش‌های عددی	
۱۳۳	۴-۷- سایر روش‌های بررسی پایداری سازه‌ها برای حالات خاصی از سازه	
۱۳۴	۴-۷- ۱- روش انتگرالگیری دو گانه	
۱۳۵	۴-۷- ۲- روش انتگرالگیری تک	
۱۳۶	۴-۷- ۳- روش مرکز جرم	
۱۳۷	۴-۷- ۴- روش تقریبهای متوالی	

فصل هشتم: کاربرد ماتریس لاپلاسین در پایداری قابهای مفصلی

۱۴۱	۱-۸ - مقدمه
۱۴۲	۲-۸ - مدل گراف مرکب در تقارنهای کانونیکال
۱۴۳	۱-۲-۸ - ماتریس لاپلاسین در تقارن به فرم دو در قابها
۱۴۶	۱-۱-۲-۸ - گامهای بدست آوردن اتمهای گراف در تقارن به فرم دو
۱۶۸	۲-۲-۸ - ماتریس لاپلاسین در تقارن به فرم سه در قابها
۱۷۰	۱-۲-۲-۸ - گامهای بدست آوردن اتمهای گراف در تقارن به فرم سه

فصل نهم: مقایسه و جمع‌بندی

۱۹۸	۱-۹ - مقدمه
۲۰۰	۲-۹ - بحث درنتایج

فصل دهم: نتیجه‌گیری و چشم‌انداز آینده

۲۰۵	۱-۱۰ - مقدمه
۲۰۶	۲-۱۰ - نتیجه‌گیری
۲۰۷	۲-۱۰ - چشم‌انداز آینده

۲۰۸	منابع و مراجع
۲۱۳	پیوست

«فهرست شکلها»

عنوان

صفحه

بخش اول: ماتریسها و کاربرد ماتریس لایل‌سین در تئوری گراف فصل اول: مقدمه و کلیات

شکل ۱-۱- نمایی از شهر کونیکسبرگ در سال ۱۷۳۶	۳
شکل ۲-۱- مدل گراف شهر کونیکسبرگ	۴

فصل سوم: کاربرد ماتریس‌ها در تئوری گراف

شکل ۳-۱- نمایش مدل گرافی که راس‌های آن نام افراد می‌باشد	۲۹
شکل ۳-۲- گرافی با چهار راس	۲۹
شکل ۳-۳- گرافی با شش راس و هفت یال	۳۰
شکل ۳-۴- نمایش گرافهای الف و ب با تعداد رئوس و تعداد یال متفاوت	۳۰
شکل ۳-۵- گرافی با شش راس و پنج یال	۳۲
شکل ۳-۶- گراف G و ماتریس مجاورت مربوط به آن	۳۳
شکل ۳-۷- گراف G	۳۴
شکل ۳-۸- گراف G و ماتریس تلاقي مربوط به آن	۳۸
شکل ۳-۹- گراف G و ماتریس مسیر مربوط به آن	۳۹
شکل ۳-۱۰- گراف G و ماتریس مدار مربوط به آن	۴۰
شکل ۳-۱۱- گراف G و ماتریس برش مربوط به آن	۴۲
شکل ۳-۱۲- جنگل	۴۳
شکل ۳-۱۳- درخت	۴۳
شکل ۳-۱۴- نمایش یک گراف در شکل (الف) و درخت پوشانده با خطوط مشکی پرنگ در شکل (ب)	۴۳
شکل ۳-۱۵- (الف) گراف G (ب) درخت با کوتاه‌ترین مسیر از گراف G	۴۴
شکل ۳-۱۶- (الف) گراف مرتبه ۱ چند گانه دارای طوقه، (ب) گراف مرتبه ۲ چند گانه (دارای یال چند گانه)، (ج) گراف مرتبه چند گانه (دارای یال چند گانه طوقه)	۴۵
شکل ۳-۱۷- نمایش یال یک سویه	۴۵
شکل ۳-۱۸- یال دو سویه	۴۶
شکل ۳-۱۹- نمایش یال جهت‌دار به صورت طوقه‌دار	۴۶
شکل ۳-۲۰- گرافی حاوی یال جهت‌دار، طوقه و یال ساده	۴۷

شکل ۲۱-۳ - یک یال یکسویه و ماتریس لایپلاسین مربوط به آن..... ۴۷
شکل ۲۲-۳ - گرافهای G و زیرگرافهای آن..... ۴۸

فصل چهارم: کاربرد ماتریس لایپلاسین و مدل ریاضی گرافها در تقارن به فرم دو و سه

شکل ۴-۱ - مدل گراف با برچسب‌گذاری زوج و فرد در هر نیمه..... ۶۴
شکل ۴-۲ - مدل گراف با برچسب‌گذاری در جهت خلاف عقربهای ساعت..... ۶۵
شکل ۴-۳ - مدل گراف با برچسب‌گذاری نامنظم..... ۶۶
شکل ۴-۴ - مدل گراف G_1 با تقارن به فرم دو..... ۶۶
شکل ۴-۵ - مدل گراف با تقارن به فرم سه..... ۶۹
شکل ۴-۶-(الف) مدل گراف با تقارن به فرم دو (ب) و (ج) نیمه‌ی متقارن پارش‌یافته..... ۷۲
شکل ۷-۴ - (الف) مولفه متقارن G_1 (ب) مولفه متقارن G_2 ۷۲
شکل ۸-۴ - (الف) مولفه متقارن G_1 (ب) اتم $G_{G_{1,G_3}}$ (ج) اتم $G_{G_{1,G_2}}$ ۷۳
شکل ۹-۴ - (الف) مولفه متقارن G_2 (ب) اتم $G_{G_{2,G_3}}$ (ج) اتم $G_{G_{2,G_2}}$ ۷۳
شکل ۱۰-۴ - مدل گراف با تقارن به فرم سه..... ۷۴
شکل ۱۱-۴ - (الف) و (ب) دونیمه‌ی متقارن پارش‌یافته ۷۴

فصل پنجم: کاربرد ماتریس لایپلاسین در گرافهای مرکب با تقارن به فرم دو و سه

شکل ۲-۵ - مدل گراف مرکب..... ۷۹
شکل ۳-۵ - یک گراف مرکب متقارن G با ۲ راس مرکب و ۳ یال..... ۸۰
شکل ۴-۵ - گراف مرکب با دو راس مرکب..... ۸۲
شکل ۵-۵ - گراف مرکب، با چهار راس مرکب و دو راس غیرمرکب..... ۸۴
شکل ۶-۵ - (الف) مولفه متقارن G_1 - (ب) مولفه متقارن G_2 ۸۶
شکل ۷-۵ - گراف مرکب با تقارن به فرم سه..... ۸۸
شکل ۸-۵ - گراف مرکب با عوض کردن ترتیب برچسب‌گذاری..... ۸۹
شکل ۹-۵ - مدل گراف مرکب با تقارن به فرم سه..... ۹۰
شکل ۱۰-۵ - راس خارجی هم موقعیت با راس ۲ و ۳ ۹۱
شکل ۱۱-۵ - گراف مرکب با دو راس همموقعیت ۹۲

..... ۹۵	شكل ۱۲-۵ - (الف) مولفه متقارن G_3 (ب) مولفه متقارن G_2
..... ۹۷	شكل ۱۳-۵ - (الف) مولفه متقارن G_3 (ب) مولفه متقارن G_2
..... ۹۸	شكل ۱۴-۵ - (الف) مولفه متقارن G_3 (ب) مولفه متقارن G_2
..... ۹۹	شكل ۱۵-۵ (الف) مدل گراف (ب) نیمه‌های پارشیافته
..... ۹۹	شكل ۱۶-۵ - (الف) مولفه متقارن G_2 (ب) اتم $G_{2_{G_2}}$ (ج) اتم $G_{2_{G_3}}$
..... ۱۰۰	شكل ۱۷-۵ - (الف) مولفه متقارن G_3 (ب) اتم $G_{3_{G_2}}$ (ج) اتم $G_{3_{G_3}}$
..... ۱۰۱	شكل ۱۸-۵ - (الف) مدل گراف مرکب با تقارن به فرم دو (ب) و (ج) نیمه‌های پارش یافته
..... ۱۰۱	شكل ۱۹-۵ - (الف) مولفه متقارن G_2 (ب) مولفه متقارن G_1
..... ۱۰۲	شكل ۲۰-۵ - (الف) مولفه متقارن G_1 (ب) اتم $G_{1_{G_2}}$ (ج) اتم $G_{1_{G_3}}$

بخش دوم: کاربرد ماتریس لایل‌سین در مسائل سازه‌ای

فصل ششم: کاربرد ماتریس لایل‌سین در تقارن‌های به فرم دو و سه در سیستم‌های مکانیکی جرم- فنر

..... ۱۰۷	شكل ۱-۶ - (الف) یک سیستم متقارن دینامیکی و (ب) دو زیرسیستم همراه با یک فنر اتصال
..... ۱۰۸	شكل ۲-۶ - زیرسیستم متناظر با زیرماتریس G_2
..... ۱۰۸	شكل ۳-۶ - زیرسیستم متناظر با زیر ماتریس G_1
..... ۱۱۰	شكل ۴-۶ - سیستم مکانیکی جرم - فنر
..... ۱۱۰	شكل ۵-۶ - مدل گراف G_1 متناظر با سیستم ارتعاشی
..... ۱۱۱	شكل ۶-۶ - (الف) مولفه متقارن G_1 - (ب) مولفه متقارن G_2
..... ۱۱۳	شكل ۷-۶ - (الف) یک سیستم دینامیکی (ب) مدل گراف متناظر
..... ۱۱۴	شكل ۸-۶ - اتمهای دینامیکی G_1 و G_2
..... ۱۱۵	شكل ۹-۶ - (الف) مولفه متقارن G_1 (ب) مولفه متقارن G_2
..... ۱۱۵	شكل ۱۰-۶ - یک سیستم دینامیکی
..... ۱۱۵	شكل ۱۱-۶ - مدل گراف متناظر
..... ۱۱۶	شكل ۱۲-۶ - اتمهای G_2 و G_3
..... ۱۱۷	شكل ۱۳-۶ - یک فنر جهتدار
..... ۱۱۷	شكل ۱۴-۶ - زیرسیستم‌های با G_3 و G_2

..... ۱۱۷	عنوان
صفحه	

..... ۱۱۸	شكل ۱۶-۶ - برچسب‌گذاری سیستم جرم - فنر
..... ۱۱۸ شکل ۱۷-۶ - مدل گراف G_3
..... ۱۱۹ شکل ۱۸-۶ - (الف) مولفه متقارن G_3 (الف) مولفه متقارن G_2
..... ۱۲۰ شکل ۱۹-۶ - (الف) زیرسیستم G_2 (ب) زیرسیستم G_3

فصل هفتم: روش‌های تحلیل در پایداری سازه‌ها

..... ۱۲۶ شکل ۱-۷ - قاب با تکیهگاه مفصلی با تغییر مکان جانبی
..... ۱۲۷ شکل ۲-۷ - یک تیر دو دهانه که از یک تیر n دهانه
..... ۱۲۸ شکل ۳-۷ - ستونهای با بارگذاری خاص
..... ۱۳۰ شکل ۳-۷ - (الف) نیروها و درجات آزادی یک عضو - (ب) نیرو و درجات آزادی یک سیستم سازه‌های مانند تیر
..... ۱۳۲ شکل ۴-۷ (الف) نمایش نیروها و درجه آزادی‌های وارد بر قاب گیردار با تغییر مکان جانبی (ب) نمایش نیروها و درجه آزادی‌های وارد بر قاب مفصلی با تغییر مکان جانبی

فصل هشتم: کاربرد ماتریس لاپلاسین در پایداری قابهای مفصلی

..... ۱۴۳ شکل ۱-۸ - درجه آزادی‌های وارد بر المان تیر - ستون
..... ۱۴۴ شکل ۲-۸ - نمایش درجه آزادی‌های وارد بر المان تیر
..... ۱۴۴ شکل ۳-۸ - نمایش درجه آزادی‌های متقارن وارد بر المان تیر
..... ۱۴۵ شکل ۴-۸ - نمایش درجه آزادی‌های وارد بر المان تیر - ستون
..... ۱۴۵ شکل ۵-۸ - نمایش مدل گراف متناظر با یک المان در قاب سازه‌ای
..... ۱۴۷ شکل ۶-۸ - الف - طریقه‌ی برچسب‌گذاری
..... ۱۴۷ شکل ۶-۸ - ب - نمایش برچسب‌گذاری یک گراف متناظر با یک سیستم
..... ۱۴۹ شکل ۷-۸ - الف - نمایش نیروها و درجه آزادی‌های وارد بر قاب یک طبقه
..... ۱۵۰ شکل ۷-۸ - ب - مدل گراف متناظر با تقارن به فرم دو
..... ۱۵۰ شکل ۸-۸ - نمایش یک مدل گراف

شکل ۸-۹- مدل گراف یال^۱ و ماتریس لاپلاسین متناظر با آن ۱۵۱
 عنوان صفحه

شکل ۱۰-۸- مدل گراف یال ^۱ و ماتریس لاپلاسین متناظر با آن ۱۵۱	۱۵۱
شکل ۱۱-۸- مدل گراف بدون راس خارجی ۱۵۲	۱۵۲
شکل ۱۲-۸- الف- اتم G_1 ۱۵۳	۱۵۳
شکل ۱۲-۸- ب- اتم G_2 ۱۵۴	۱۵۴
شکل ۱۳-۸- الف- قاب ب- مدل گراف متناظر با قاب ۱۵۵	۱۵۵
شکل ۱۳-۸- ج- اتم G_2 ۱۵۵	۱۵۵
شکل ۱۳-۸- د- اتم G_1 ۱۵۵	۱۵۵
شکل ۱۴-۸- الف- قاب با دهانه فرد ۱۵۶	۱۵۶
شکل ۱۴-۸- ب- نمایش درجه آزادیهای قاب ۱۵۶	۱۵۶
شکل ۱۵-۸- مدل گراف با تقارن به فرم دو ۱۵۷	۱۵۷
شکل ۱۶-۸- الف- اتم G_1 ۱۵۸	۱۵۸
شکل ۱۶-۸- ب- اتم G_2 ۱۵۹	۱۵۹
شکل ۱۷-۸- مدل گراف با تقارن به فرم دو ۱۶۰	۱۶۰
شکل ۱۸-۸- اتم G_1 ۱۶۱	۱۶۱
شکل ۱۹-۸- اتم G_2 ۱۶۲	۱۶۲
شکل ۲۰-۸- نمایش نیروها و درجه آزادیهای واردہ بر قاب دو طبقه ۱۶۳	۱۶۳
شکل ۲۱-۸- مدل گراف قاب با تقارن به فرم دو ۱۶۳	۱۶۳
شکل ۲۲-۸- الف- اتم G_1 ۱۶۵	۱۶۵
شکل ۲۲-۸- ب- اتم G_2 ۱۶۵	۱۶۵
شکل ۲۳-۸- الف- مدل گراف با تقارن به فرم دو ۱۶۶	۱۶۶
شکل ۲۳-۸- ب- اتم G_1 ۱۶۷	۱۶۷
شکل ۲۳-۸- ج- اتم G_2 ۱۶۷	۱۶۷
شکل ۲-۲-۸- ماتریس لاپلاسین در تقارن به فرم سه در قابها ۱۶۸	۱۶۸
شکل ۲۴-۸- یال دو سویه متناظر با ستون ۱۶۸	۱۶۸
شکل ۲۶-۸- یال یک سویه متناظر با ستون ۱۶۹	۱۶۹
۱-۲-۲-۸- گامهای بدست آوردن اتمهای گراف در تقارن به فرم سه ۱۷۰	۱۷۰
شکل ۲۸-۸- الف- نیروهای وارد بر قاب با دهانه‌ی فرد ۱۷۱	۱۷۱
شکل ۲۸-۸- ب- درجه آزادیهای وارد بر سازه ۱۷۱	۱۷۱

شکل ۸-۲۸-ج- مدل گراف متناظر با قاب با تقارن به فرم سه

صفحه	عنوان
------	-------

شکل ۸-۲۹-آزادی انتقالی در مختصات محلی الف-ستون ③ ب-ستون ①	۱۷۲
شکل ۸-۳۰-الف- اتم G_2	۱۷۴
شکل ۸-۳۰-ب- اتم G_3	۱۷۵
شکل ۸-۳۱-الف- نیروهای وارد بر قاب دو طبقه با دهانه‌ی فرد	۱۷۶
شکل ۸-۳۱-ب- درجه آزادی‌های وارد بر قاب	۱۷۶
شکل ۸-۳۱-ج- مدل گراف قاب با تقارن به فرم دو	۱۷۶
شکل ۸-۳۲-الف- اتم	۱۷۸
شکل ۸-۳۲-ب- اتم G_3	۱۷۹
شکل ۸-۳۳-ج- قاب با تقارن به فرم دو	۱۸۱
شکل ۸-۳۴-الف- اتم G_2	۱۸۴
شکل ۸-۳۴-ب- اتم G_3	۱۸۴
شکل ۸-۳۵-الف- نمایش نیروها و درجه آزادی‌های وارد بر قاب با دهانه‌ی زوج	۱۸۶
شکل ۸-۳۵-ب- مدل گراف با تقارن به فرم سه	۱۸۶
شکل ۸-۳۶-الف- اتم G_2	۱۸۸
شکل ۸-۳۶-ب- اتم G_3	۱۸۸
شکل ۸-۳۷-ج- مدل گراف متناظر قاب با تقارن به فرم سه	۱۸۹
شکل ۸-۳۸-الف- اتم G_2	۱۹۱
شکل ۸-۳۸-ب- اتم G_3	۱۹۲
شکل ۸-۳۹-الف- نمایش نیروها و درجه آزادی‌های وارد بر قاب دو دهانه‌ی یک طبقه	۱۹۳
شکل ۸-۳۹-ب- مدل گراف با تقارن به فرم سه	۱۹۳
شکل ۸-۴۰-الف- اتم G_2	۱۹۵
شکل ۸-۴۰-ب- اتم G_3	۱۹۵

«فهرست جداول»

عنوان

صفحه

فصل نهم: مقایسه و جمع‌بندی

جدول ۱-۹	- جدول ۱-۹ - نتایج حاصله در تقارن به فرم دو	۱۹۸
جدول ۲-۹	- جدول ۲-۹ - نتایج حاصله در تقارن به فرم سه	۱۹۹

بخش اول :

ماتریسها و کاربرد ماتریس لایپلاسین در
تئوری گراف

فصل

مقدمه و کلیات

۱-۱ مقدمه:

چنین به نظر می رسد که قبل از خلقت (سپیدهدم) تقارن در مشیت باری تعالی بوده است. تقریبا هر چیزی با تقارن کامل خلق شده است. زیبایی نهفته در تقارن چیزی نیست که به ارت مانده باشد؛ بلکه ظاهراً مورد قبول بشر واقع گردیده است. از اهرام مصر تا ساختمانهای بلند، از پلهای ابتدایی تا پلهای معلق مدرن، کشتی‌ها، هواپیماها و اتومبیل‌ها همه دارای تقارن هستند.

تقارن در سازه‌های مهندسی امری بسیار مهم است؛ مهندسی عمران نیز از چنین خصوصیتی مستثنی نیست. بنابراین به خصوصیات سازه‌های متقارن باید توجه خاصی مبذول داشته و در تحلیل از این خاصیت استفاده نمود. در هر حال این نوع سازه‌ها نه تنها در اقلیت نیستند بلکه در اکثریت نیز قرار دارند. بنابراین، در این رساله سازه‌های متقارن مورد مطالعه قرار گرفته است.

در مهندسی سازه، لازمه‌ی دقت در تحلیل در حد نیاز، برای نشان دادن ایمنی سازه آورده شده است؛ در نتیجه روشهای دقیق تحلیل بایستی نسبت به روشهای قرار دادی گسترش پیدا کند. استفاده از روشهای قراردادی زمانی که از سازه‌های ساده استفاده می‌شود؛ کاملاً رضایت بخش است ولی زمانی که سازه‌های پیچیده و با مقیاس بزرگ به کار می‌رود یافته‌های ناقص حاصل می‌شود. لازمه‌ی کارآمدی و استفاده‌ی بهینه از مواد یعنی طراحی بهینه، دقت بیشتر می‌باشد. برای حصول بدین منظور می‌توان از روشهای تحلیل استفاده نمود که شرایط مذکور را شامل می‌شوند و آن به کارگیری ماتریس‌های جبری و تئوری گراف می‌باشد این روش‌ها به طور ایده‌آل برای مکانیک محاسباتی مدرن مناسبند. این مهم از یک سو به ریاضی‌دان نشان می‌دهد که چگونه مفاهیم محض ریاضیات می‌تواند به راه حل کارآمدی از مسایل در مکانیک سازه‌ای اعمال شود و از سوی دیگر نقش مهم مفاهیم ریاضیات را برای حل مسایل مهندسی، به مهندس نشان می‌دهد. چنین کاربردهایی نه تنها مسایل مرتبط با مکانیک سازه‌ای را ساده می‌سازد؛ بلکه یک پل قوی بین پیشرفت در تئوری گراف از یکسو و مکانیک سازه‌ای از سوی دیگر تولید می‌کند [۱].

۱-۲ ضرورت انجام و اهداف تحقیق:

بنابراین در روش‌های مبتنی بر تحلیل ماتریسی علاوه بر استفاده از مدل‌های ریاضی، همواره اهداف زیر مورد توجه قرار گرفته است:

- ۱- کمترین زمان ممکن برای دستیابی به جوابها صرف شود.
- ۲- کمترین خطای ممکن در حین محاسبات اتفاق بیفتد.
- ۳- در استفاده از این متدها با کامپیوتر، کمترین حافظه مورد استفاده قرار گیرد.

پیامد موارد مذکور، افزایش دقت و سرعت، کاهش حجم محاسباتی و کاهش در هزینه محاسبات می‌باشد [۱].

با توجه به آنچه مطرح شد گامهای بالا بدون شک انگیزه‌ای بر ضرورت تحقیق در رساله‌ی حاضر بوده و هدف از انجام تحقیق، بر پایه‌ی بدست آوردن مقدار ویژه‌ی کمینه برای یافتن بار بحرانی سازه در پایداری قابهای با تقارن به فرم دو و سه، با استفاده از ماتریس لایلین و متعاقباً تئوری گراف، استوار است. روش ارائه شده در رساله‌ی حاضر به طور اجمالی مبتنی بر ارائه‌ی مدل گراف توصیفی از قابهای مفصلی بدون تغییر مکان محوری می‌باشد که در این راستا مدل گراف متناظر قاب در امتداد محور تقارنش پارش یافته و به دو مولفه‌ی متقارن کاهش می‌یابد که از دو مولفه‌ی متقارن تنها یک مولفه‌ی متقارن برای بدست آوردن بار بحرانی سازه کافی است. ماتریس لایلین مولفه متقارن در تعیین مقدار ویژه مینیمم و بدست آوردن بار بحرانی قاب دارای نقش کلیدی می‌باشد. ماتریس لایلین نقش اساسی در مسایل سازه‌ای دارد [۲، ۳، ۴، ۵] و در این بحث از مهمترین ویژگیهای ماتریسی در تئوری گراف می‌باشد و بدون اعمال خاصیت ماتریسی در گراف عملأً استفاده از تئوری گراف در مکانیک سازه‌ای غیرممکن است یعنی این دو مفهوم در تناظر یک به یک با هم دیگر قرار دارند. مزیت عمده به کارگیری فرم‌های دو و سه همارز با ماتریس‌های سازه‌ای علاوه بر کاهش هزینه‌های محاسباتی مسایلی را که به علت محدودیت حافظه رایانه‌ای قابل پردازش نیستند، ممکن می‌سازد.

اگر یک سیستم بوسیله‌ی یک گراف مدل شود تمام ویژگیهای سیستم را می‌توان برای گراف متناظر در نظر گرفت. ماتریس سازه‌ای همارز ماتریس لایلین در رساله‌ی حاضر ماتریس سختی می‌باشد. دلایل استفاده از ماتریس لایلین همارز با ماتریس سختی این است که روش سختی از

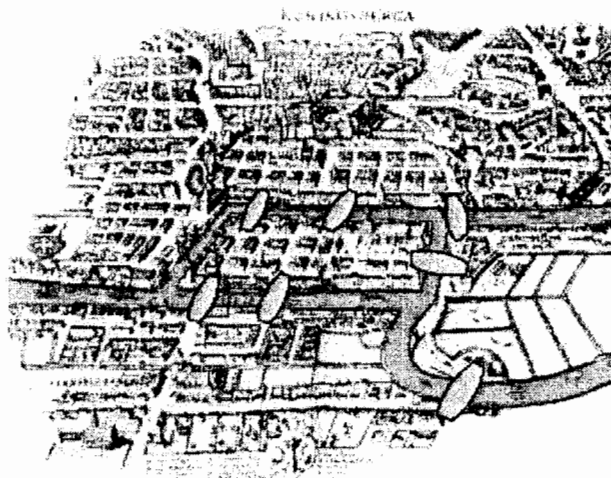
نظر برنامه نویسی بهتر و ساده‌تر از روش نرمی است. برای سازه‌هایی که ظاهرًاً روش نرمی بهتر بـ نظر می‌رسد با استفاده از ماتریس‌های سختی معادل برای اعضای سری یا موازی، روش سختی با روش نرمی مقابله خواهد نمود. حتی برای سازه‌های خاص که نسبت درجه نامعین استاتیکی بالاست و روش نرمی به مقدار زیاد به کار گرفته می‌شود روش سختی را می‌توان با امکانات مساوی به کار بست [۶].

به این دلیل است که در رساله‌ی حاضر ماتریس لابلائین هم‌ارز با ماتریس سختی به عنوان رهیافتی مناسب در گرافهای متناظر مورد توجه قرار گرفته است.

۱-۳- خلاصه و مرور تاریخی:

۱-۳-۱- منشا و آغاز تئوری گراف (سده‌ی ۱۷۰۰)

بر خلاف زمینه‌های دیگر ریاضیات، منشا و آغاز نظریه گراف به زمان و مکان مشخصی باز می‌گردد: به سال ۱۷۳۶، به مساله هفت پل کونیکسبرگ^(۱)، که لئونهارت اویلر^(۲) (۱۷۰۷-۱۷۸۳) آن را حل کرد. قسمتهای مختلف شهر کونیکسبرگ توسط هفت پل که در شکل (۱-۱) نشان داده شده با یکدیگر در ارتباط بودند.



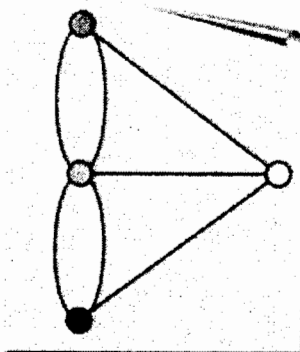
شکل ۱-۱- نمایی از شهر کونیکسبرگ در سال ۱۷۳۶ [۷]

این معما به این صورت مطرح شد که آیا امکان دارد که فردی از مکانی در شهر شروع به حرکت کرده و از تمام پلها فقط یک بار عبور نموده و به مکان اولیه بازگردد؟ اویلر ریاضیدان مشهور ثابت کرده است که این کار امکانپذیر نیست. او نشان داد که این کار در صورتی امکانپذیر است که در

^(۱)Königsberg

^(۲)Euler

گراف متناظر درجهی تمام رئوس زوج باشد. گراف متناظر با پلهای هفت گانه شهر کونیگسبرگ در شکل (۲-۱) نشان داده شده است. هم اکنون مسالهی پلهای با قرار دادن پل هشتم حل شده است!



شکل ۲-۱- مدل گراف شهر کونیکسبرگ

در سال ۱۷۵۲ قضیه اویلر برای گرافهای هامنی مطرح شد. (این قضیه در اصل برای چند وجهی‌ها در نظر گرفته شده بود). اما بعد از این گسترشها، در مدت تقریباً یک قرن کار چندانی در این زمینه انجام نشد.

۱-۳-۲- چگونگی رشد تئوری گراف و خلق کاربردهای عملی (سدهی ۱۸۰۰- ۱۹۲۰):
در ۱۸۴۷، گوستاف کیرشهوف^(۳) (۱۸۲۴- ۱۸۸۷) نوعی خاص از گراف به نام درخت را بررسی کرد. کیرشهوف از این مفهوم در کاربردهایی که با شبکه‌های الکتریکی سروکار دارند در توسعی قانونهای اهم برای جریانهای الکتریکی استفاده کرد. ده سال بعد، آرثر کیلی^(۴) (۱۸۹۵- ۱۸۲۱) این نوع گراف را برای محاسبه ایزومرهاي متمايز هيدروکربنهای اشباع شده $Z^+ \in n$ ، C_nH_{2n+2} ، گسترش داد.

در این دوره دو مفهوم اصلی دیگر نیز مطرح شدند. مساله حدس چهار رنگ اولین موضوعی بود که فرانسیس گاتری^(۵) (۱۸۳۱- ۱۸۹۹) در حدود ۱۸۵۰ آن را بررسی کرد.

دومین مفهوم اصلی دور همیلتونی بود. این دور منسوب به سرویلیام همیلتون^(۶) (۱۸۰۵- ۱۸۶۵) است که این مفهوم را در ۱۸۵۹ برای معما شگفت انگیزی که در آن از يالهای دوازده وجهی متنظم استفاده می‌شود به کار برد. یافتن جواب این معما خیلی مشکل نیست. علاوه بر این، تئوری

^(۳)Kirchhoff

^(۴)Gatry

^(۵)S. V. Hamilton

گراف به طور مفهومی در تحلیل سازه ای کارهای مولر برسلاو^(۶) و هنبرگ^(۷) نیز به کار برده شده است. در دنبال این گسترشها، تا بعد از ۱۹۲۰ فعالیت اندکی دیده می شود.

۳-۳-۱- گسترش و توسعه‌ی کاربردهای عملی (۱۹۲۰-۱۹۸۰):

مساله مشخص کردن گرافهای هامنی را کازیمیر کوراتوفسکی در ۱۹۳۰ حل کرد. اولین کتاب درباره نظریه گراف، به وسیله دنسز کونیش، پژوهشگر معروف در زمینه گراف نوشته شد. از آن پس فعالیت زیادی در زمینه گراف صورت گرفت، کامپیوتر در سه دهه اخیر یاری زیادی کرد. بین بسیاری از پژوهشگران معاصر در این زمینه و زمینه های وابسته نامهای کلود برژ^(۸)، خواتال^(۹)، پاول اردوش^(۱۰)، لاسلو لوواس^(۱۱)، توته^(۱۲)، و هاسلرویتنی^(۱۳) و لیو^(۱۴) را می توان یافت. بررسی های پیشرفته تر را می توان در کارهای مهدی بهزاد^(۱۵)، چارتند^(۱۶)، و لزنیاک- فاستر^(۱۷)، بوندی^(۱۸) و مورتی^(۱۹)، دئو^(۲۰)[۹] و هراري^(۲۱) یافت.

گسترشهای تازه زمینه نظریه گراف در دو جلد *Studies in Mathematics* انجمن ریاضی آمریکا، ویراسته فولکرسن^(۲۲) عرضه شده اند.

در مقاله ای از چارتند و ویلسن بسیاری از مفاهیم مهم نظریه گراف، با توجه به گرافی خاص، یعنی گراف پترسن، گسترش یافته اند. کاربردهای نظریه گراف در شبکه های الکترونیکی را می توان در اثر سشو^(۲۳) و م.رید یافت. در یک کتاب، اثر دئو، کاربردهایی در نظریه کدگذاری، شبکه های

^(۶)Müller Breslau

^(۷)Henneberg

^(۸)Claude Berge

^(۹)V. chvátal

^(۱۰)Paul Erdős

^(۱۱)Laszlo Lovász

^(۱۱)W. T. Tutte

^(۱۲)Hassler Whitney

^(۱۴)Hassler Whitney

^(۱۰)Behzad

^(۱۳)G. Chartrand

^(۱۶)L. Lesniak-Foster

^(۱۸)J. Bondy

^(۱۴)U. Murty

^(۱۷)Deo

^(۱۱)Harary

^(۱۱)D. Fulkerson

^(۲۲)S. Seshu

الکتریکی، پژوهش در عملیات، برنامه ریزی کامپیوترا، و شیمی آمدهاند. نقش نظریه پولیا در شمارش نموداری نیز اثراين مولف بررسی شده است. كتابی دیگر اثر رابرتز^(۲۴) روشاهی گراف را در علوم اجتماعی نشان می دهد. کابردهای جدید نظریه گراف در شیمی، در مقالهای اثر رووری^(۲۵) عرضه شده است. مطالبی بیشتر درباره چند جملهای های فامی را می توان در مقالهای تحقیقی اثر رید و در فصل ششم اثر لیو یافت.^[۸]

مسلم است که تئوری گراف در این دوره در اکثر شاخه های علوم مانند مهندسی، علوم پایه، عمران، مهندسی برق و مکانیک، معماری، مهندسی پزشکی^[۱۰]، مدیریت و کنترل، ارتباطات، تحقیق در عملیات، تکنولوژی ماتریسی اسپارس، بهینه یابی محاسباتی و علوم کامپیوترا کاربردهای بسیاری پیدا کرده است.

۴-۳-۱- گسترش و کاربرد تئوری گراف در مکانیک سازه‌ای (۱۹۸۰-تا کنون):

تئوری گراف همچنین به طور غیرمستقیم در مکانیک سازه‌ای و در محاسبات موازی به کار می‌رود. پیشرفت‌های اخیر در تکنولوژی سازه‌ای به دقت و کارایی و سرعت بیشتری در تحلیل سیستم‌های سازه‌ای نیاز دارد، که در تحلیل بهینه سازه‌ای نشان داده شده است. از اینرو شگفتانگیز نیست که روشاهی جدیدی برای تحلیل سازه‌های با ترتیبات پیچیده گسترش پیدا کنند. با وجودی که تئوری گراف به طور مفهومی در تحلیل سازه‌ای کارهای مولر برسلاو و هنبرگ، پیشقدم بوده است، کاربردهای آشکار و صریحی را در کار کرون^(۲۶)، لانگفرس^(۲۷)، هندرسون^(۲۸)، روسوپلوس^(۲۹)، ساموئلsson^(۳۰)، دیماگیو^(۳۱)، فنووس^(۳۲)، اسپیلر^(۳۳)، کسل و همکارانش^(۳۴)، هندرسون و

^(۲۴)Roberts

^(۲۵)Lange fors

^(۲۰)Samuelsson

^(۲۳)Spillers

^(۲۰)D.H.Rouvray

^(۲۸)Henderson

^(۳۱)Dimaggio

^(۳۴)Cassell et al

^(۲۱)Kron

^(۲۹)Russopoulos

^(۳۲)Fenves

ماوندر^(۳۵)، ویبرگ^(۳۶)، کاوه^(۳۷)، میتوان یافت [۱]. لازمه‌ی دقت در تحلیل در حد نیاز برای نشان دادن ایمنی سازه آورده شده است. در نتیجه، روش‌های دقیق تحلیل، بایستی نسبت به روش‌های قراردادی گسترش پیدا کند. این امر زمانی که سازه‌های پیچیده و با مقیاس بزرگ به کار می‌رود، یافته‌های ناقص را بدست می‌دهد. دلیل دیگر در مورد اینکه چرا دقت بیشتر لازم است، از کارآمدی و استفاده‌ی بهینه از مواد یعنی طراحی بهینه ناشی می‌شود. روش‌های تحلیل که شرایط مذکور را شامل می‌شوند؛ به کارگیری ماتریس جبری و گراف تئوری می‌باشد که به طور ایده‌آل برای مکانیک محاسباتی مدرن مناسبند. اگر چه الگوی هم‌ارزی ماتریس‌های سازه‌ای و ماتریس‌های مرتبط با گراف تئوری مسایل سازه‌ای را ساده می‌سازد و اجازه می‌دهد که پیشرفت‌هایی را در این زمینه برای انتقال به مکانیک سازه‌ای ایجاد کنیم [۱]. در این راستا گسترش و توسعه‌ی تئوری گراف و ماتریس مرتبط با تئوری گراف کماکان ادامه دارد به طوری که با افزایش سرعت پیشرفت علم در چند دهه‌ی اخیر شاهد رشد، توجه و پیشرفت این مهم در تئوری گراف و در مهندسی عمران هستیم.

۱-۴- ساختار تحقیق

محتوی رساله‌ای که در پیش رو قرار دارد در دو بخش کلی تهیه و تنظیم گردیده است که بخش اول خود به چندین فصل تقسیم شده است، بخش اول این رساله خود مشتمل بر پنج فصل جداگانه می‌باشد، فصل اول شامل مقدمه و مرور تاریخی موضوع می‌باشد. در فصل دوم بدلیل نقش اساسی ماتریس‌ها در تحلیل پایداری سازه اقدام به تعریف و طرح روابط حاکم بر ماتریس‌ها گردید. همچنین در تعیین مقادیر ویژه سه روش محاسباتی، با عنایوین روش لوریه فادیو، روش ژاکوبی و روش گیونز مطرح و معرفی گردیده است. فصل سوم حاوی تعریف گرافها می‌باشد. در این فصل، سه نوع ماتریس با نامهای ماتریس مجاورت، ماتریس درجه و ماتریس لایپلین معرفی و مورد استفاده قرار گرفته است. در فصل چهارم تقارن به فرم دو و سه مورد بحث و بررسی قرار گرفته است و نحوه‌ی استفاده از ماتریس لایپلین و افزار آن به زیرماتریس‌ها با استفاده از خاصیت تقارن بیان

^(۳۵)and Mauder Henderson

^(۳۶)Wiberg

^(۳۷)Kaveh

شده است. محتوای فصل پنجم مبتنی بر جهت توصیف مناسبتری از تقارن به فرم دو و سه می باشد. در این فصل اقدام به تعریف نوع خاصی از گرافها به نام گرافهای مرکب شده است. این نوع گرافها همراه با ماتریس لایپلائین منتظر با آنها در فرم دو و سه مورد بحث قرار گرفته است. بخش دوم این رساله مبتنی بر تعیین کاربردهای ماتریس لایپلائین در تحلیل سازه‌ها است. این بخش، خود مشتمل بر چهار فصل می‌باشد. در فصل ششم آن کاربرد ماتریس لایپلائین در تقارن به فرم دو و سه در سیستم‌های مانیکی جرم- فنر مورد بحث و بررسی قرار گرفته است. در فصل هفتم چند روش تحلیل در حل مسایل پایداری سازه‌ها بررسی شده است و محسن و معایب آن مورد بررسی قرار گرفته است. در فصل هشتم به صورت مفصل در مورد شیوه‌ی به کارگیری ماتریس لایپلائین با استفاده از تجزیه ماتریس‌ها با استفاده از تقارن به فرم دو و سه، در پایداری قابها بحث و بررسی به عمل آمده است. در این بخش محاسبه‌ی مقدار ویژه‌ی مینیمم با استفاده از ماتریس لایپلائین در قابهای با تقارن به فرم دو و سه به منظور دست یافتن به بار بحرانی سازه آورده شده است. در این خصوص مدل گراف مرکب منتظر قابها تشریح شده است نتیجتاً در این فصل نحوه محاسبه‌ی مقادیر ویژه با استفاده از تجزیه‌ی ماتریس لایپلائین و تشکیل مولفه‌های متقارن همرا با مثالهای گویا ارائه شده است. در فصل نهم مقایسه و جمع‌بندی از بحث پایداری قابهای مفصلی مطرح شده است و در فصل دهم ضمن ارائه چکیده‌ی نتایج بدست آمده، با مطرح نمودن پیشنهادات و راهکارهایی در مورد تکامل و پیشرفت قابلیتهای الگوی همارزی ماتریس‌های سازه‌ای و ماتریس‌های مرتبط با تئوری گراف می‌تواند در کیفیت امر موثر باشد، زمینه‌ای فراهم شده است تا پژوهشگران و علاقمندان به تحقیق و بررسی در مورد کاربرد ماتریس لایپلائین در صورت تمایل بتوانند از آن استفاده نمایند. ضمناً در پیوست پایان نامه نیز، دو برنامه برای بدست آوردن ماتریس لایپلائین به فرم دو و بدست آوردن مقادیر ویژه ماتریسها در فرم‌های متقارن، آورده شده است.

فصل

تعاريف و مفاهيم اوليه
مatriسيها و مقادير و يزه

۱-۲- مقدمه:

نقش و لزوم بکارگیری ماتریسها در علوم و مباحث ریاضی و بسیاری از مسایل مهندسی امری ضروری و اجتناب ناپذیر بوده است [۱۱]. در این راستا کاربرد ماتریس‌ها در مهندسی عمران نقشی غیر قابل انکار داشته و لزوم بکارگیری آن در بسیاری از مسایل اهمیت این مهم را به روشنی آشکار ساخته است [۱۴، ۱۳، ۱۲]. استفاده از ماتریس‌ها در کنار مباحث دیگری از ریاضیات گسترش توانسته است دامنه‌ی پر کاربردی از مسایل را در پهنه‌ی گسترده‌ای از علوم در خود جای دهد [۱۵، ۱۶]. این فصل مقدمه‌ای اجمالی بر معرفی ماتریسها و تاکید آن بر مقادیر ویژه به علت نقش عدیده‌ای که در مسایل پایداری سازه‌ها دارد آورده شده است.

۲-۱- ماتریس‌ها [۹]:

ماتریس یک آرایه‌ی مستطیلی از اعداد تعریف می‌شود. اعداد مولفه‌های ماتریس نامیده می‌شوند. برای نشان دادن ماتریسها معمولاً از حروف بزرگ، مانند A, B و غیره استفاده می‌شود. مولفه‌های ماتریس را با حروف کوچک لاتین با دو زیرنویس، مثلاً a_{ij} , b_{ij} نشان داده می‌شود. اندیس اول یعنی i ، معرف شماره‌ی سطر و اندیس دوم یعنی j نشان دهنده‌ی شماره‌ی ستونی است که مولفه‌ی a_{ij} از ماتریس A در آرایه موجود است.

مثال ۱-۲- ماتریس A آمده در زیر یک ماتریس با m سطر و n ستون است.

$$A = (a_{ij}) = \begin{bmatrix} a_{11} & a_{12} & \dots & a_{1n} \\ a_{21} & a_{22} & \dots & a_{2n} \\ \vdots & \vdots & & \vdots \\ a_{m1} & a_{m2} & \dots & a_{mn} \end{bmatrix} \quad (1-2)$$

به طور کلی می‌توان یک ماتریس را با یک عضو کلی مانند (a_{ij}) نمایش داد.

$$A = \begin{bmatrix} 1 & 3 \\ 2 & -7 \end{bmatrix}, \quad B = \begin{bmatrix} 0 & 2 \\ -3 & 5 \end{bmatrix}$$

آنگاه $C = A + B$ عبارتست از:

$$C = \begin{bmatrix} 1 & 5 \\ -1 & -2 \end{bmatrix}$$

۲-۳- ضرب دو ماتریس:

ماتریس $A = (a_{ij})$ ، زمانی در ماتریس $B = (b_{ij})$ قابل ضرب است که تعداد ستونهای A برابر تعداد سطرهای ماتریس B باشد. هر گاه A ماتریسی $n \times k$ و B ماتریسی $m \times n$ باشد، در این صورت حاصل ضرب ماتریس A در B که به صورت $C = AB$ نمایش داده می شود $m \times k$ می باشد که برای هر i و j داریم:

$$c_{ij} = \sum_{r=1}^n a_{ir} b_{rj}$$

$$\text{و می نویسیم } C = AB$$

از تعریف فوق واضح است که در حالت کلی $AB \neq BA$.

مثال ۲-۵- ماتریس. $C = AB$ را برای ماتریس های A و B در مثال پیشین بدست می آوریم.

$$C = \begin{bmatrix} 1 \times 0 + 3 \times (-3) & 1 \times 2 + 3 \times 5 \\ 2 \times 0 + (-7) \times (-3) & 2 \times 2 + (-7) \times 5 \end{bmatrix} = \begin{bmatrix} -9 & 17 \\ 21 & -31 \end{bmatrix}$$

۴-۲- بردار

ماتریس هایی را که فقط دارای یک سطر یا یک ستون می باشند، یک بردار نامیده می شود.

ماتریسی که دارای یک سطر باشد یک بردار سط्रی و ماتریسی که دارای یک ستون باشد یک بردار ستونی می نامیم. معمولاً بردارها را با حروف کوچک و سیاه نشان می دهیم، مانند a, b .

مثال ۲-۶- بردار a در زیر یک بردار سطري و بردار b در زیر یک بردار ستونی است.

$$a = \begin{bmatrix} 1 & 2 & 0 & 5 \end{bmatrix} \quad b = \begin{bmatrix} 3 \\ 5 \\ 7 \\ -3 \end{bmatrix}$$

۲-۵- چند ماتریس خاص:

ماتریس صفر: ماتریسی که تمام مولفه های آن صفر باشند، ماتریس صفر نامیده و آن را با \underline{O} نشان می دهیم.

ماتریس قطری: ماتریس (مریع) A یک ماتریس قطری نامیده می شود، برای هر i و j که

$$a_{ij} = 0 \quad \text{داشته باشیم:}$$

مولفه های قطری یک ماتریس: مولفه های $a_{ii} = 0$ ، از یک ماتریس مریع مرتبه n مولفه های قطری نامیده می شود، یک ماتریس قطری را به کمک اعضای قطری آن به صورت زیر نشان می دهیم:

$$A = diag(a_{ii}) = diag(a_{11}, a_{22}, \dots, a_{nn})$$

مثال ۷-۲: ماتریس زیر ماتریس قطری می باشد.

$$A = \begin{bmatrix} 2 & 0 & 0 \\ 0 & 5 & 0 \\ 0 & 0 & -9 \end{bmatrix}$$

ماتریس واحد یا همانی: ماتریس قطری که تمام مولفه های آن برابر یک باشند، ماتریس واحد یا همانی نامیده می شود.

هر گاه A ماتریسی $n \times n$ باشد، در این صورت داریم:

$$I_n A = A I_n = A$$

ماتریس بالا مثلثی: ماتریس مربع $(a_{ij}) = A$ را بالا مثلثی گفته میشود، هر گاه برای هر $j > i$

داشته باشیم:

$$a_{ij} = 0$$

ماتریس پایین مثلثی: ماتریس مربع $(a_{ij}) = A$ را پایین مثلثی گفته میشود، هر گاه برای هر

$j < i$ داشته باشیم:

$$a_{ij} = 0$$

ماتریس وارونپذیر: ماتریس مربع A وارونپذیر یا معکوسپذیر نامیده میشود، هر گاه ماتریسی

مربع مانند B وجود داشته باشد به طوری که داشته باشیم:

$$AB = BA = I_n$$

که در آن n مرتبه ماتریس های A و B میباشد. معمولاً ماتریس وارون A را با A^{-1} نشان می-

دهیم، لذا هر گاه A وارونپذیر باشد، خواهیم داشت:

$$AA^{-1} = A^{-1}A = I$$

ماتریس منفرد و نامنفرد: ماتریس مربع A نامنفرد نامیده میشود، هر گاه وارونپذیر باشد، در

غیر اینصورت A را منفرد می نامیم.

مثال ۸-۲- ماتریس زیر را در نظر بگیرید:

$$A = \begin{bmatrix} 1 & 2 & 1 \\ 1 & -2 & 0 \\ 0 & 0 & 1 \end{bmatrix}$$

در اینصورت A نامنفرد است، زیرا داریم:

$$\begin{bmatrix} 1 & 2 & 1 \\ 1 & -2 & 0 \\ 0 & 0 & 1 \end{bmatrix} \begin{bmatrix} 1/2 & 1/2 & -1/2 \\ 1/4 & -1/4 & -1/4 \\ 0 & 0 & 1 \end{bmatrix} = \begin{bmatrix} 1 & 0 & 0 \\ 0 & 1 & 0 \\ 0 & 0 & 1 \end{bmatrix}$$

ترانهادهی یک ماتریس: ترانهادهی یک ماتریس $(a_{ij}) = A$ یک ماتریس $m \times n$ مانند است

است که از تعویض سطر ها و ستونهای A بدست می آید. به ویژه، ترانهادهی یک بردار سطروی بردار

ستونی است و بر عکس ترانهادهی یک بردار ستونی، برداری سطروی است. ترانهادهی ماتریس A را

با A^T نشان می دهیم.

ماتریس متقارن: ماتریس مربع $(a_{ij}) = A$ بر روی مجموعه اعداد حقیقی، متقارن نامیده می شود
هر گاه برای هر i و j داشته باشیم:

$$a_{ij} = a_{ji}$$

در این صورت $A^T = A$

ماتریس زیر یک ماتریس متقارن است:

$$A = \begin{bmatrix} 1 & 2 & 3 \\ 2 & 4 & 5 \\ 3 & 5 & 7 \end{bmatrix}$$

دو بردار متعامد: بردارهای \underline{X} و \underline{Y} متعامدند، هر گاه داشته باشیم

$$\underline{X}^T \underline{Y} = 0$$

مثال ۲-۹: بردارهای $\underline{Y}^T = \left[-\frac{1}{\sqrt{2}}, 0, \frac{1}{\sqrt{2}} \right]$ و $\underline{X}^T = \left[\frac{1}{\sqrt{3}}, \frac{1}{\sqrt{3}}, \frac{1}{\sqrt{3}} \right]$ متعامدند.

$$\underline{X}^T \underline{Y} = \frac{1}{\sqrt{3}} \times \left(-\frac{1}{\sqrt{2}} \right) + \frac{1}{\sqrt{3}} \times 0 + \frac{1}{\sqrt{3}} \times \frac{1}{\sqrt{2}} = 0$$

مجموعه‌ی متعامد: هر گاه S مجموعه‌ای از بردارها باشد، S یک مجموعه متعامد نامیده می شود،

هر گاه همه‌ی جفت بردارهای متمایز در S متعامد باشند.

مجموعه‌ی متعامد یکه: مجموعه‌ی متعامد S یک مجموعه‌ی متعامد یکه یا متعامد نرمال نامیده

می شود هر گاه برای هر بردار \underline{X} در S داشته باشیم:

$$\underline{X}^T \underline{X} = 1$$

ماتریس متعامد: ماتریس مربع A متعامد نامیده می شود هر گاه داشته باشیم:

$$AA^T = A^T A = I$$

یعنی هر گاه داشته باشیم $A^T = A^{-1}$

مثال ۲-۱۰- ماتریس زیر یک ماتریس متعامد است:

$$A = \begin{bmatrix} \frac{1}{\sqrt{3}} & \frac{1}{\sqrt{6}} & -\frac{1}{\sqrt{2}} \\ \frac{1}{\sqrt{3}} & -\frac{2}{\sqrt{6}} & 0 \\ \frac{1}{\sqrt{3}} & \frac{1}{\sqrt{6}} & \frac{1}{\sqrt{2}} \end{bmatrix}$$

نکته: از اینکه برای یک ماتریس متعامد داریم $A^T = A^{-1}$ نتیجه می‌شود بردارهای ستونی (سطری) ماتریس متعامد A دو به دو متعامدند، و در واقع بردارهای ستونی ماتریس متعامد A یک مجموعه‌ی متعامد نرمال تشکیل می‌دهند.

۶-۲- رتبه‌ی یک ماتریس:

گوییم ماتریس غیر صفر A دارای رتبه‌ی r است هر گاه حداقل یکی از زیردترمینان‌های مربع مرتبه‌ی r آن مخالف صفر بوده در حالی که هر زیردترمینان مربع مرتبه‌ی $(r+1)$ ام آن (در صورت وجود) صفر باشد. ماتریس صفر دارای رتبه‌ی صفر است. رتبه‌ی ماتریس A را با $\text{rank}(A)$ نشان می‌دهیم.

هر گاه A ماتریسی $n \times n$ با $\text{rank}(A) = n$ باشد، ماتریس A را ماتریسی تمام رتبه می‌نامیم. که در این صورت A ماتریسی نامنفرد است.

به طور مشابه هر گاه A ماتریسی $m \times n$ با $\text{rank}(A) = m$ باشد، A را تمام رتبه‌ی سطري و هر گاه $\text{rank}(A) = n$ آن را تمام رتبه‌ی ستونی می‌نامیم.

انجام اعمال زیر که تبدیلات مقدماتی نامیده می‌شوند، روی یک ماتریس مرتبه و رتبه‌ی آن را تغییر نمی‌دهد.

الف) تعویض سطرهای i ام و j ام، که با H_{ij} نشانداده می‌شود.

تعویض ستونهای i ام و j ام، که با K_{ij} نشان داده می‌شود.

ب) ضرب هر درایه از سطر i ام در عدد غیرصفر λ ، که آن را با $(\lambda)_i H_i$ نشان می‌دهیم.

ضرب هر درایه از ستون i ام در عدد غیرصفر λ ، که با $(\lambda)_i K_i$ نشان داده می‌شود.

پ) برای عدد λ ، جمع λ برابر درایه‌های سطر زام با درایه‌های متناظر سطر نام، که آن را با $H_{ij}(\lambda)$ نشان می‌دهیم.

جمع λ برابر درایه‌های ستون زام با درایه‌های متناظر ستون نام، که آن را با $(\lambda)_{ij} K$ نشان می‌دهیم.

تبديلات H تبديلات سطري مقدماتي و تبديلات K تبديلات ستوني مقدماتي ناميده می‌شوند.

معکوس یک تبدیل مقدماتی: معکوس یک تبدیل مقدماتی عبارتست از عملی که اثر تبدیل مقدماتی را خنثی می‌کند، یعنی بعد از اينکه ماتریس A تحت تاثیر یکی از تبديلات مقدماتی قرار گرفت و سپس ماتریس حاصل تحت تاثیر معکوس آن تبدیل مقدماتی واقع شد، نتیجه‌ی نهايی ماتریس A خواهد بود.

مثال ۱۱-۲- ماتریس A را به صورت زیر در نظر بگيريد:

$$A = \begin{bmatrix} 1 & 2 & 3 \\ 4 & 5 & 6 \\ 7 & 8 & 9 \end{bmatrix}$$

تبديل مقدماتی (2)- H_{21} ماتریس زیر را نتیجه می‌دهد:

$$A = \begin{bmatrix} 1 & 2 & 3 \\ 2 & 1 & 0 \\ 7 & 8 & 9 \end{bmatrix}$$

تبديل مقدماتی سطري (2)- H_{21} روی ماتریس B ، ماتریس A را بدست می‌دهد. لذا (2)- H_{21} و (2)- H_{21} تبديلات سطري مقدماتی معکوس هم هستند.

۷-۲- مقادیر ویژه یک ماتریس [۱۷، ۱۸]:

مسائل فیزیکی بسیاری وجود دارند که برای حل آنها مقادیری از λ که در معادله (۱-۲) صدق می‌کند لازم است.

$$Ax = \lambda x \quad (2-2)$$

در رابطه‌ی فوق A یک ماتریس $(n \times n)$ و x یک بردار $(1 \times n)$ و λ مقداری ثابت است. چنین مسائلی در بسیاری از مسیل علوم و مهندسی [۱۹، ۱۱] و در تحلیل پایداری و معادلات ارتعاشات ساختمانها

(تحلیل دینامیکی) و مدارهای الکتریکی اتفاق می افتد [۲۱، ۲۰]. مثالی بوسیله ای ارتعاشات جسمی که از حالت تعادل خارج شده ارائه می شود.

مثال ۱۲-۲- فرض کنیم یک دستگاه از اجسام مرتبط داشته باشیم بطوریکه A_1, B_1 حالت تعادل آنها باشد. اکنون فرض می کنیم این اجسام در دو جهت تغییر کوچکی یابند بطوریکه x_2, x_1 فاصله جدید آنها از حالت تعادل باشد.

می پذیریم که نیروها متناسب با x_1, x_2 عمل می نمایند تا دو جسم ما به حالت تعادل اولیه در آیند. معادله حرکت این دو جسم چنین است.

$$a = \begin{cases} \frac{d^2x_1}{dt^2} = a_{11}x_1 + a_{12}x_2 \\ \frac{d^2x_2}{dt^2} = a_{21}x_1 + a_{22}x_2 \end{cases} \quad (3-2)$$

جواب دستگاه فوق به صورت زیر خواهد بود.

$$\begin{cases} x_1 = \alpha \cos(\omega t + \phi) \\ x_2 = \beta \cos(\omega t + \phi) \end{cases} \quad (4-2)$$

اگر این جواب را در دستگاه (۳-۲) جایگزین کنیم خواهیم داشت:

$$b = \begin{cases} -\alpha\omega^2 \cos(\omega t + \phi) = a_{11}\alpha \cos(\omega t + \phi) + a_{12}\beta \cos(\omega t + \phi) \\ -\beta\omega^2 \cos(\omega t + \phi) = a_{21}\alpha \cos(\omega t + \phi) + a_{22}\beta \cos(\omega t + \phi) \end{cases}$$

$$\begin{bmatrix} a_{11} & a_{12} \\ a_{21} & a_{22} \end{bmatrix} \begin{bmatrix} \alpha \\ \beta \end{bmatrix} = -\omega^2 \begin{bmatrix} \alpha \\ \beta \end{bmatrix} \quad (5-2)$$

در اینجا ω فرکانس نوسان برای x_1, x_2 و ϕ اختلاف فاز می باشد و α, β نیز دامنه ای این نوسانها می باشد. معادله (۵-۲) «معادله جبری مقدار ویژه ماتریس» نامیده می شود. حال در نظر داریم تا معادلاتی مانند (۲-۲) را حل نماییم و x (مقدار ویژه)، λ (بردار ویژه) را که مربوط به ماتریس A می باشند بدست آوریم.

در حالت کلی $0 = Ax$ ، یک جواب برای معادله $Ax = \lambda x$ ، می باشد اما این جواب مطلوبی نیست زیرا که این جواب متناظر با عدم تغییر از حالت تعادل است و به جواب غیرصفر نیازمند است فرض می شود معادله (۵-۲) به صورت زیر نوشته شود:

$$(A - \lambda I) = 0 \quad (6-2)$$

معادله (۳-۲) نمایش یک دستگاه معادلات خطی همگن می باشد و در صورتی دارای جواب غیرصفر است که:

$$\det(A - \lambda I) = 0 \quad (7-2)$$

پس از بسط دترمینان معادله مشخصه ای بر حسب مقادیر ویژه حاصل می شود و داریم:

$$\lambda^n + b_{n-1}\lambda^{n-1} + \dots + b_1\lambda + b_0 = 0 \quad (8-2)$$

معادله فوق در حالت کلی دارای n جواب است، $\lambda_1, \lambda_2, \dots, \lambda_n$ که آنها را مقادیر ویژه ماتریس A می نامیم.

اکنون باز اهر مقدار λ معادله همگن (۸) دارای جواب x خواهد بود و n بردار x_1, x_2, \dots, x_n متناظر با مقادیر ویژه $\lambda_1, \lambda_2, \dots, \lambda_n$ بردارهای ویژه نامیده می شوند.

یعنی در روش فوق، برای یک ماتریس مرتبه n مانند A مقادیر ویژه و بردارهای ویژه مطابق با بند-های ذیل بدست می آیند:

۱- از بسط $\det(A - \lambda I) = 0$ معادله چند جمله ای از درجه n را نوشته می شود.

۲- جوابهای این معادله $\lambda_1, \lambda_2, \dots, \lambda_n$ را که از درجه n می باشد تعیین می شوند.

۳- برای هر مقدار ویژه مانند λ_r از حل n معادله خطی، بردارهای ویژه را تعیین می شوند.

برای هر x داریم:

$$(A - \lambda_r I)x_r = 0 \quad (9-2)$$

البته این روش محاسبات بسیار وقت گیر می باشد. زمانی که درجه معادله مشخصه پایین باشد از روش لوریه - فادیو با تشکیل معادله مشخصه ماتریس، مقادیر ویژه ماتریس بدست می آید.

روش های ساده تری برای بدست آوردن مقادیر ویژه وجود دارند که به مهمترین آنها اشاره می شود. علت توضیح چنین روش هایی این است که در بسط دترمینان و بدست آوردن ریشه های یک معادله مشخصه با درجه بزرگ ممکن است خطاهای بزرگی بوجود آید. در واقع هدف این روشها، بدست آوردن مقادیر ویژه و بردارهای ویژه با دقت کافی و کاهش زمان عملیات می باشد.

خواص مقادیر ویژه و بردارهای ویژه یک ماتریس

• بردارهای ویژه یکتا نیستند و در یک ضریب ثابت دلخواه تفاوت دارند.

• در حالت کلی مقادیر ویژه و بردارهای ویژه یک ماتریس، حقیقی یا مختلط می باشند.

• اگر A متقارن باشد، مقادیر ویژه و بردارهای ویژه آن حقیقی هستند.

$$x_r^T \cdot x_s = 0 \quad , \quad \lambda_r \neq \lambda_s \quad \text{بردارهای ویژه } A \text{ متعامدند، یعنی}$$

• اگر کلیه مقادیر ویژه A متفاوت باشند، در اینصورت بردارهای ویژه A به طور خطی مستقل

می باشند و می توان هر بردار دلخواه را به عنوان ترکیب خطی از این بردارهای ویژه نوشت.

• اگر S ماتریسی غیر منفرد باشد در اینصورت:

مقادیر ویژه $\{\lambda_i\}$ و بردارهای ویژه $\{x_i\}$ از ماتریس A و مقادیر ویژه $\{\mu_i\}$ و بردارهای ویژه $\{y_i\}$ از

ماتریس SAS^{-1} با هم مرتبط هستند، به طوری که:

$$\mu_i = \lambda_i \quad , \quad y_i = Sx_i$$

$$Ax = \lambda x \quad , \quad SAsx = \lambda Sx$$

$$SA(S^{-1}S)x = \lambda Sx \quad , \quad (SAS^{-1})Sx = \lambda Sx$$

که نتیجه مطلوب بدست آمده است. $y = Sx$ و $\lambda y = \lambda Sx$ برابر μ مقدار ویژه

ماتریس SAS^{-1} می باشد.

۲-۸- روشهای بدست آوردن مقادیر ویژه:

روشهای این بخش از تبدیلات متشابه استفاده کرده؛ تبدیلی از ماتریس با همان مقادیر ویژه، اما با فرم ساده‌تر بدست آورند. ماتریسهای تبدیلی که به کار می‌روند، ماتریس‌های متعامد هستند، زیرا می‌توان نشان داد که چنین ماتریس‌هایی برای مینیمم کردن خطاهای فرایند مناسب‌ترین هستند.

۲-۸-۱- روشن لوریه - فادیو^(۱):

مجموع عناصر قطر یک ماتریس مربع، «اثر»^(۲) ماتریس خوانده می شود برای ماتریس A اثر

ماتریس A به صورت زیر می باشد:

$$tr(A) = a_{11} + a_{22} + a_{33} + \dots a_{nn}$$

ضرایب معادله درجه n ای که ریشه های آن مقدار ویژه ماتریس A باشند، $C_1, C_2, C_3, \dots, C_n$ روابط زیر بدست می آیند.

$$\begin{aligned} A_1 &= A & C_1 &= tr(A) \\ A_2 &= A(A_1 - C_1 I) & C_2 &= \left(\frac{1}{2}\right)tr(A_2) \\ A_3 &= A(A_2 - C_2 I) & C_3 &= \left(\frac{1}{3}\right)tr(A_3) \\ &\vdots \\ A_n &= A(A_{n-1} - C_{n-1} I)C_n = \left(\frac{1}{n}\right)tr(A_n) \\ \lambda^n - C_1\lambda^{n-1} - C_2\lambda^{n-2} - \dots - C_{n-1}\lambda - C_n &= 0 \end{aligned}$$

که A_n ماتریس قطری است و داریم:

از این رو معکوس ماتریس A را نیز می توان نتیجه گرفت:

$$A^{-1} = \left(\frac{1}{C_n}\right)(A_{n-1} - C_{n-1} I)$$

مقدار ویژه ماتریس زیر را بدست آورید:

$$A = \begin{bmatrix} 2 & 3 & 2 \\ 10 & 3 & 4 \\ 3 & 6 & 1 \end{bmatrix}$$

$$A = A_1$$

$$C_1 = trA = 6$$

$$A_2 = A(A_1 - C_1 I) = \begin{bmatrix} 2 & 3 & 2 \\ 10 & 3 & 4 \\ 3 & 6 & 1 \end{bmatrix} \begin{bmatrix} -21 & 9 & 6 \\ 2 & -4 & 12 \\ 51 & -3 & -24 \end{bmatrix} = \begin{bmatrix} 66 & 0 & 0 \\ 0 & 66 & 0 \\ 0 & 0 & 66 \end{bmatrix}$$

$$C_2 = \frac{1}{3}trA_2 = 66$$

^(۱) Leverrier - Faddeev

^(۲) Trace

$$\lambda^3 - 6\lambda^2 - 49\lambda - 66 = 0$$

معادله مشخصه‌ی ماتریس برابر است با:

$$\lambda_1 = -2 \quad , \lambda_2 = -3 \quad , \lambda_3 = 11$$

مقادیر ویژه یا ریشه‌های معادله فوق برابرند با:

و معکوس ماتریس برابر است با:

$$A^{-1} = \frac{1}{C_3} (A_2 - C_2 I) = \frac{1}{66} \begin{bmatrix} -21 & 9 & 6 \\ 2 & -4 & 12 \\ 51 & -3 & -24 \end{bmatrix}$$

۲-۸-۲- روش ژاکوبی (برای ماتریس متقارن):

با توجه به توضیحات قبلی ماتریس A_n به ماتریس A_{n+1} تبدیل می‌شود.

$$A_{n+1} = S_{n+1} A_n S_{n+1}^T$$

تا $B = A_{n+1}$ به سمت یک ماتریس قطری میل نماید.

توجه داریم که اگر A_n ماتریسی متقارن باشد، A_{n+1} نیز متقارن خواهد بود:

$$A_{n+1}^T = (S_{n+1} A_n S_{n+1}^T)^T = (S_{n+1}^T)^T A_n^T S_{n+1}^T = S_{n+1} A_n S_{n+1}^T = A_{n+1}$$

و اگر $Y^{(n)}$ بردار ویژه A باشد، بردار ویژه ماتریس اولیه A عبارتست از:

$$S_1 \dots S_{n-1} S_n Y^{(n)}$$

در این روش کلیه عناصر غیرواقع بر قطر ماتریس‌های $A_1, A_2, A_3, \dots, A_n$ را در هر مرحله صفر نماییم. در مرحله n ام فرض می‌کنیم عنصر سطر P ام و ستون q ام از ماتریس A_n بوده و بزرگترین عنصر غیر واقع بر قطر ماتریس از نظر قدر مطلق باشد. ماتریس‌هایی که در روش ژاکوبی به کار می‌روند، توسعی از ماتریس‌های دوران در دستگاه دو بعدی می‌باشند. ماتریس دوران $n \times n$ جهت دوران در صفحه (p, q) بوسیله‌ی ماتریس واحد $n \times n$ با چهار تغییر زیر، نمایش داده می‌شود.

$$a_{pp} = \cos \theta, \quad a_{pq} = -\sin \theta$$

$$a_{qp} = \sin \theta, \quad a_{qq} = \cos \theta$$

برای مثال، ماتریس زیر با دوران در صفحه‌ی (2,3) متناظر است.

$$S_1 = \begin{bmatrix} 1 & 0 & 0 & 0 \\ 0 & c & -s & 0 \\ 0 & s & c & 0 \\ 0 & 0 & 0 & 1 \end{bmatrix}, \quad c = \cos \theta, \quad s = \sin \theta$$

با انتخاب مقدار θ به قسمی که عنصر نظیر A_{n+1} صفر گردد داریم:

$$\cos^2 \theta a_{pq} - \sin^2 \theta a_{pq} + \sin \theta \cos \theta (a_{pp} - a_{pq}) = 0$$

برای محاسبه θ از رابطه فوق استفاده کرده و با توجه به اینکه:

$$a_{pq} = -a_{qp}$$

$$tg 2\theta = \frac{2a_{pq}}{a_{pp} - a_{pq}}$$

خواهیم داشت که:

این عمل برای دنباله A_n بصورت نامحدود می باشد، زیرا عناصری که در مرحله A_{n+1} صفر می شوند، در مرحله بعدی مجدداً غیر صفر خواهند شد. اما به هر حال این عمل همگرایست و در مرحله ای که عناصر غیرواقع بر قطر از نظر قدر مطلق از عدد مثبت ϵ کوچکتر بوده و قابل صرفنظر کردن باشند، عمل خاتمه می بذیرد.

۲-۳-۸- روش گیونز^(۳) (برای ماتریس های متقارن):

روش گیونز نیز توسعی از ماتریس های دوران در دستگاه دوبعدی می باشد. در روش گیونز، ابتدا با تعداد عملیات مشخصی، ماتریس به صورت سه قطری^(۴) در می آید. اگر ماتریس از قبل به صورت سه قطری باشد این روش نسبت به روش ژاکوبی مناسبتر است.

در ماتریس تبدیل S ، عناصر a_{pq} را با اندیس (p, q) به شکل زیر انتخاب می کنیم یعنی وقتی دورانی در صفحه i (p, q) انجام می شود عنصر $(p - l, q)$ ، به ازای $l = 1, 2, \dots, n - 1$ و $p = 1, 2, \dots, n$ حذف می شود.

(2,3),

(2,4) ,..., (2, n)

(3,4) ,..., (3, n)

(4,5) ,..., (4, n)

⋮ (n - 1, n)

پس، برای دوران فوق در صفحه i ($2,3$) مقدار θ باید انتخاب شود تا در روابط زیر صدق کند.

^(۱)Givens

^(۲)Three Diagonal

$$\cos \theta a_{13} - \sin \theta a_{12} = 0$$

$$\tan \theta = \frac{a_{13}}{a_{12}}$$

یا به طور کلی تر

$$\cos \theta a_{(p-1)q} - \sin \theta a_{(p-1)p} = 0$$

$$\tan \theta = \frac{a_{(p-1)q}}{a_{(p-1)p}}$$

در اینصورت با ادامه عملیات عناصر غیرواقع بر قطر اصلی و دو قطر مجاور آن، صفر خواهند شد و عملیات در هر مرحله بر عناصر صفر شده قبل تاثیری نخواهد داشت.

$$A = \begin{bmatrix} \times & \times & \times & \times \\ \times & \times & \times & \times \\ \times & \times & \times & \times \\ \times & \times & \times & \times \end{bmatrix} \quad A_1 = \begin{bmatrix} \times & \times & 0 & \times \\ \times & \times & \times & \times \\ 0 & \times & \times & \times \\ \times & \times & \times & \times \end{bmatrix}$$

$$A_2 = \begin{bmatrix} \times & \times & 0 & 0 \\ \times & \times & \times & \times \\ 0 & \times & \times & \times \\ 0 & \times & \times & \times \end{bmatrix} \quad A_3 = \begin{bmatrix} \times & \times & 0 & 0 \\ \times & \times & \times & 0 \\ 0 & \times & \times & \times \\ 0 & 0 & \times & \times \end{bmatrix}$$

اکنون ببینیم چطور باید مقادیر ویژه ماتریس سه قطری متقابن را محاسبه کرد. برای بدست آوردن مقادیر ویژه سه قطری ماتریس B که در زیر نشان داده شده است

$$B = \begin{bmatrix} \alpha_1 & \beta_2 & & 0 \\ \beta_2 & \alpha_2 & \beta_3 & \\ & \beta_3 & \alpha_3 & \beta_4 \\ & \beta_4 & & \beta_{n-1} & \ddots & \beta_n \\ 0 & & \beta_n & & \alpha_n \end{bmatrix}$$

$$(B - \lambda I) = 0 \quad \text{معادله } \beta v = \lambda v \text{ را حل می کنیم و داریم:}$$

$$B - \lambda I = \begin{bmatrix} \alpha_1 - \lambda & \beta_2 & & 0 \\ \beta_2 & \alpha_2 - \lambda & \beta_3 & \\ & \beta_3 & \alpha_3 - \lambda & \beta_4 \\ & & \beta_4 & \ddots & \beta_n \\ 0 & & & \beta_{n-1} & \alpha_n - \lambda \end{bmatrix}$$

اگر فرض کنیم $f_1, f_2, f_3, \dots, f_n$ دترمینان های وابسته به قطر اصلی را نشان می دهند، با توجه به اینکه برای محاسبه $\det(B - \lambda I)$ کافی است آنرا نسبت به یکی از سطرها بسط دهیم، خواهیم داشت:

$$\begin{aligned} f_0 &= 1 \\ f_1 &= \alpha_1 - \lambda \\ f_2 &= (\alpha_2 - \lambda)f_1 - \beta_2^2 \\ f_3 &= (\alpha_3 - \lambda)f_2 - \beta_3^2 f_1 \\ f_4 &= (\alpha_4 - \lambda)f_3 - \beta_4^2 f_2 \end{aligned}$$

با فرض $f_0 = 1$ در حالت کلی داریم:

$$\begin{aligned} f_n(\lambda) &= (\alpha_n - \lambda)f_{n-1}(\lambda) - \beta_n^2 f_{n-2}(\lambda) \\ f_r(\lambda) &= (\alpha_r - \lambda)f_{r-1}(\lambda) - \beta_r^2 f_{r-2}(\lambda) \\ r &= 2, 3, 4, \dots, n \end{aligned}$$

در حالت کلی داریم:

مشاهده می شود که $f_n(\lambda) = \det(B - \lambda I)$ و مقادیر ویژه ماتریس B ، جواب های معادله $0 = f_n(\lambda)$ می باشند و می توانیم با بکار بردن یکی از روشها (مانند روش نصف کردن در ریاضیات) این معادله را حل کنیم.

مثال ۱۳-۲: مقادیر ویژه ماتریس سه قطری B را با استفاده از روش نصف کردن بدست آورید.

$$B = \begin{bmatrix} 1.2 & 2.2 & 0 \\ 2.2 & 1. & 2.3 \\ 0 & 2.3 & 1.2 \end{bmatrix}$$

$$f_0 = 1$$

$$f_1 = 1.2 - \lambda$$

$$f_2 = (1 - \lambda)f_1 - (2.2)^2 f_0$$

$$f_3 = (1.2 - \lambda)f_2 - (2.3)^2 f_1$$

البته در این مثال می توانیم معادله مشخصه را بدست آوریم:

$$f_3(\lambda) = -\lambda^3 + 3.4\lambda^2 + 6.29\lambda - 10.716$$

هر چند در این روش مقصود محاسبه معادله مشخصه نیست.

λ	-3	-2.5	-2	-2.25	-2.125	-2.063	-2.094	-2.078	-2.086	-2.082
f_0	1	1	1	1	1	1	1	1	1	1
f_1	4.2	3.7	3.2	3.45	3.325	3.263	3.294	3.278	3.286	3.282
f_2	11.92	8.11	4.76	6.373	5.551	5.155	5.352	5.253	5.3014	5.275
f_3	28.019	10.437	-1.946	3.736	0.838	-0.441	0.204	-1.1213	.036	-.05

با توجه به اینکه $f(-2.082) < 0$ و $f(-2.086) > 0$ ، طبق قضیه بولزانو (λ) دارای یک ریشه

$$\lambda_1 = -2.084 \quad \text{در فاصله } (-2.086, -2.082) \text{ می باشد.}$$

لازم به یاد آوری است که دنباله $f_0, f_1, f_2, \dots, f_n$ از خاصیت دنباله اشترم^(۵) تبعیت می کند.

بدین ترتیب که تعداد تساوی هایی که به ترتیب و به طور متوالی در علائم $f_0, f_1, f_2, \dots, f_n$ بازاء مقدار انتخابی λ در هر ستون حاصل می شود، نشان دهنده تعداد مقادیر ویژه B می باشد که از λ بزرگترند.

در مثال فوق داریم:

$$\lambda = -3, \quad \lambda_1, \lambda_2, \lambda_3 > -3$$

$$\lambda = -2.5, \quad \lambda_1, \lambda_2, \lambda_3 > -2.5$$

$$\lambda = -2, \quad \lambda_1, \lambda_2 > -2$$

$-2.5 < \lambda_3 < -2$ پس نتیجه می شود:

از این خاصیت نیز می توان برای تعیین فاصله ای که مقدار ویژه در آن قرار دارد، استفاده کرد.

فصل

کاربرد ماتریس‌ها در تئوری گراف

۳

۱-۳- مقدمه:

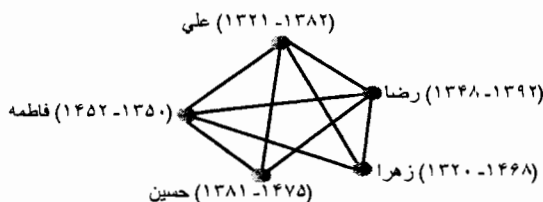
بکارگیری ماتریس‌ها در تئوری گراف امری غیر قابل انکار است. این موضوع از دو دیدگاه قابل بررسی می‌باشد. یک دیدگاه، جنبه تئوری مسئله است که شامل بکارگیری احکام و قضیه‌ها و مسائل مطرح شده مربوط به ماتریس‌ها در جبر خطی است که قابل استفاده در تئوری گراف می‌باشد و بالعکس. دیدگاه دوم آن است که از لحاظ عملی می‌توان از ماتریس‌ها برای انجام محاسبات در جهت کاربرد تئوری گراف در سایر رشته‌ها استفاده نمود. در این رابطه ماتریس‌ها ساده‌ترین ابزار برای انتقال اطلاعات گرافها به رایانه می‌باشند. بدین ترتیب رابطه تئوری گراف با علوم کامپیوتر نیز روشن می‌شود. شرح هر یک از این دو مبحث در کتابها و مقالات مربوط به نظریه گراف و کاربردهای آن آمده است [۲۴، ۲۳، ۲۲]. در اینجا ابتدا، تعاریف اولیه و مفهوم گراف مطرح می‌شود و سپس چند ماتریس مهم و نحوه‌ی به کارگیری آنها در تئوری گراف همراه با چند قضیه مطرح می‌شود.

۲-۳- تعاریف اولیه:**۲-۳-۱- تعریف شهودی گراف:**

گراف شکلی است که از تعداد متناهی نقطه و تعدادی پاره خط یا منحنی که این نقاط را به هم وصل می‌کند تشکیل شده باشد. به این نقاط راس و به پاره خطها یا منحنی‌ها یی که این نقاط را به هم وصل می‌کنند یا گفته می‌شود. هر راس نشانه یک شی است و پاره خطها یا منحنی‌ها نشانه یک ارتباط بین این دو شی است.

مثال ۳-۱: می‌دانیم علی در سالهای ۱۳۲۱ تا ۱۳۸۲، فاطمه در سالهای ۱۳۵۰ تا ۱۴۵۲، رضا در سالهای ۱۳۹۲ تا ۱۳۴۸، حسین در سالهای ۱۳۸۱ تا ۱۴۷۵ و زهرا در سالهای ۱۳۲۰ تا ۱۴۶۸ می‌زیسته‌اند. با یک گراف نشان داده شده است که کدامیک از این افراد با یکدیگر هم عصر بوده‌اند.

اگر گرافی را در نظر بگیریم که راس‌های آن نام افراد باشند و هر دو شخص را که با یکدیگر هم عصر بوده‌اند (یعنی بازه دوران زندگی آنها با هم اشتراک داشته باشد) را با یک خط به هم وصل کنیم.



شکل ۳-۱- نمایش مدل گرافی که راس‌های آن نام افراد می‌باشد

واضح است که اگر جای رئوس عوض شود یا به جای پاره خط از منحنی استفاده کنیم گراف تغییری نمی‌کند.

۳-۲-۲- تعریف رسمی گراف [۲۵]:

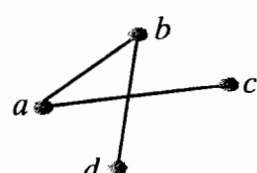
یک گراف $G = (V, E)$ زوج مرتبی چون (V, E) است که در آن V مجموعه‌ای متناهی و ناتهی و E زیر مجموعه‌ای از تمام زیر مجموعه‌های دو عضوی V است. مجموعه V را مجموعه رئوس گراف G و مجموعه E را مجموعه یال‌های گراف G می‌نامند.

تعریف: تعداد یال‌های یک گراف را اندازه گراف می‌نامند و آنرا با $|E|$ یا q نمایش می‌دهند.

مثال ۳-۲: اگر در گراف G ، $E = \{\{a,b\}, \{a,c\}, \{b,d\}\}$ ، $V = \{a,b,c,d\}$ باشد مطلوبست:

الف: ترسیم نمودار این گراف

ب: تعیین تعداد رئوس و یال‌های گراف



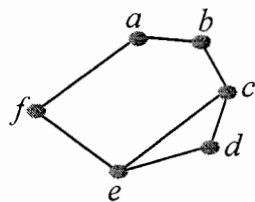
شکل ۳-۲- گرافی با چهار راس

در شکل (۳-۳) این گراف نشان داده شده است. این گراف ۴ نقطه (راس) و ۳ خط (یال) دارد.

۳-۲-۳- تعاریف اولیه گراف:

مجموعه رئوس گراف G را با $V(G)$ یا V نمایش می‌دهند. تعداد رئوس گراف G را مرتبه گراف می‌نامند و آنرا با $|V|$ یا P نمایش می‌دهند.

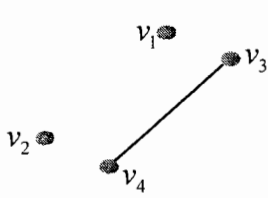
در شکل ۳-۳ زیر مجموعه V و مرتبه گراف تعیین شده است. در این گراف $\{a,b,c,d,e,f\}$ است، زیرا این گراف ۶ راس دارد و مرتبه گراف برابر است با $P = 6$.



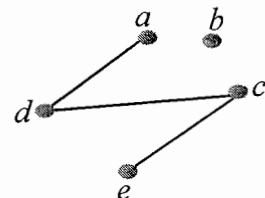
شکل ۳-۳- گرافی با شش راس و هفت یال

مجموعه یالهای گراف G را با $E(G)$ یا E نمایش می‌دهند. تعداد یالهای گراف را اندازه گراف می‌نامند و آنرا با $|E|$ یا q نمایش می‌دهند.

مثال ۳-۳: در گراف‌های شکل (۴-۳-الف) و شکل (۴-۳-ب) مجموعه E و اندازه گراف مشخص شده است.



(ب)



(الف)

شکل ۴-۳- نمایش گرافهای الف و ب با تعداد رئوس و تعداد یال متفاوت

در گراف شکل ۴-۳- (الف) $E = \{ad, dc, ce\}$ است، زیرا این گراف برابر $q = 3$ است. پس اندازه این گراف برابر $3 = q$ است، زیرا این گراف ۴ یال دارد.

در گراف شکل ۴-۳- (ب) $E = \{V_3V_4\}$ پس اندازه این گراف برابر $1 = q$ است، زیرا مجموعه E یک یال دارد.

چنانچه دو راس در یک گراف با یک یال به هم وصل شده باشند، آنها را مجاور می‌نامند.

اگر a, b دو راس مجاور باشند، یالی که آنها را به هم وصل می‌کند را به یکی از شکلهای زیر نمایش می‌دهند:

تعریف دقیق مجاورت دو راس a, b به صورت زیر است:

$$\{a, b \in V, \{a, b\} \in E\} \Leftrightarrow \text{مجاورند} \quad a, b$$

یعنی اگر a و b دو راس متعلق به مجموعه رئوس گراف باشند و $\{a, b\}$ متعلق به مجموعه یال‌های گراف باشد آنگاه a, b را مجاور می‌نامند. واضح است که اگر b, a مجاور باشند، آنگاه a, b مجاورند.

مثال ۳-۴: در گراف شکل (۳-۳) مجموعه رئوسی که با هم مجاور هستند و مجموعه رئوسی که با هم مجاور نیستند نشان داده شده است.

هر دو راس که بین آنها یالی وجود دارد مجاورند و در غیر این صورت مجاور نیستند، پس:

$$\{ab, bd, ac\} = \text{مجموعه رئوسی که با هم مجاورند}$$

$$\{ad, cd, bc\} = \text{مجموعه رئوسی که با هم مجاور نیستند.}$$

درجه راس a برابر است با تعداد یال‌هایی که از راس a می‌گذرند. درجه راس a را با $\deg(a)$ نمایش می‌دهند.

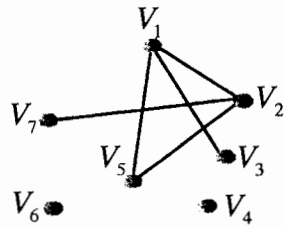
در بین درجات رئوس یک گراف، بیشترین درجه را مаксیمم درجه می‌نامند و آنرا با Δ نمایش می‌دهند.

در بین درجات رئوس یک گراف، کمترین درجه را مینیمم درجه می‌نامند و آنرا با δ نمایش می‌دهند.

راسی که درجه آن عددی فرد باشد، راس فرد و راسی که درجه آن عدد زوج باشد راس زوج می‌نامند. راسی که هیچ یالی از آن نمی‌گذرد، راس ایزوله یا منزوی می‌نامند، یعنی درجه آن برابر صفر است.

مثال ۳-۵: در گراف شکل (۳-۵) رئوس V_1 و V_2 و V_3 و V_4 و V_5 و V_6 زوج هستند. رئوس V_4 و V_6 منزوی هستند.

ماکسیمم درجه رئوس برابر است با: $\Delta = 3$ (متعلق به رئوس V_1 و V_2) و مینیمم درجه برابر است با $\delta = 0$ (متعلق به رئوس V_4 و V_6).



شکل ۳-۵- گرافی با شش راس و پنج یال

۳-۳- ماتریس‌ها و نحوه بکارگیری آنها در تئوری گراف [۲۳]:

گفته شد که ماتریس‌ها، ساده‌ترین ابزار برای انتقال اطلاعات گرافها، به رایانه می‌باشند. همچنین برای انجام محاسبات در مسائل کاربردی تئوری گراف که بوسیله رایانه انجام گیرد، می‌توان از ماتریس‌ها استفاده نمود. بعضی از کاربردهای کلی ماتریس‌ها عبارتند از:

۱. حل الگوریتمی مسائل کلاسیک مانند، مسئله کوتاهترین مسیر، مسئله ارتباط دهی،

تور اویلری، درختهای مولد مینیمال و غیره.

۲. بررسی و تشخیص نوع گراف، مانند همبندبودن، ساده بودن، اویلری بودن و غیره.

۳. مقایسه گرافها با یکدیگر از لحاظ یکریختی. (دو گراف یکریخت دارای ماتریس‌های مجاورت یکسانی هستند).

اکنون اقدام به تعریف انواع ماتریس‌های مورد استفاده در جبر خطی و تئوری گراف می‌پردازیم. ساده‌ترین و مهمترین ماتریس توصیف‌کننده گراف، ماتریس مجاورت است که به صورت زیر تعریف می‌شود.

۳-۱-۳- ماتریس مجاورت^(۱)، یک گراف:

فرض شود $G = (V, E)$ یک گراف ساده، بدون جهت و بدون وزن باشد. به طوری که مجموعه رئوس گراف $V = \{v_1, v_2, \dots, v_p\}$ باشد. ماتریس مجاورت یک ماتریس مربعی $p \times p$ بصورت $A = [a_{ij}]$ با مقادیر تعیین شده در رابطه (۱-۳) است.

^(۱) adjacency matrix

$$a_{ij} = \begin{cases} 1 & v_i v_j \in E \\ 0 & v_i v_j \notin E \end{cases} \quad (1-3)$$

ماتریس مجاورت دارای خواص زیر است:

الف - قطر اصلی آن صفر است.

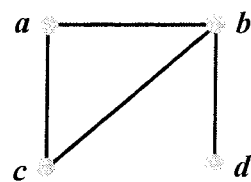
ب - جمع درایه‌های هر سطر (هر ستون) برابر درجه راس نظیر آن سطر است.

ج - ماتریس مجاورت متقارن است.

د - هر ماتریس $(0,1)$ و متقارن که درایه‌های قطر اصلی آن صفر باشد ماتریس مجاورت یک گراف است.

مثال ۳-۶: گراف G با چهار راس و چهار یال به همراه ماتریس مجاورت آن در شکل (۶-۲) ترسیم شده است.

$$A = \begin{bmatrix} 0 & 1 & 1 & 0 \\ 1 & 0 & 1 & 1 \\ 1 & 1 & 0 & 0 \\ 0 & 1 & 0 & 0 \end{bmatrix}$$



شکل ۳-۶- گراف G و ماتریس مجاورت مربوط به آن

۳-۲-۲- کاربردهای ماتریس مجاورت:

ساده‌ترین شکل خواندن اطلاعات مربوط به یک گراف از طریق ماتریس مجاورت قابل انجام است. علاوه بر کاربردهای محاسباتی که در فوق به آن اشاره شد، کاربردهای استدلالی نیز دارد که دو نمونه از آن در قالب قضیه در ذیل آورده می‌شود.

قضیه ۱: فرض شود که A ماتریس مجاورت گراف $(V, E) = G$ با n راس باشد. عنصر a_{ij} از ماتریس A^k ، تعداد گشتهای به طول k از راس v_i به راس v_j برای $i, j = 1, 2, 3, \dots, n$ را نشان می‌دهد.

برهان: قضیه با استفاده از روش استقراء روی k قابل اثبات است. برای $k=1$ ماتریس A مجاورت است و گشتها به طول واحد یعنی یک یال هستند. در این حالت برقراری حکم واضح است.

فرض شود که حکم برای A^{k-1} برقرار باشد. کافی است نشان دهیم که درایه های ماتریس A^k تعداد گشتهای به طول k را مشخص می کند. با استفاده از خاصیت ضرب ماتریس ها به صورت $A^k = A^{k-1}A$ و با برقراری رابطه زیر، حکم ثابت می شود.

$$a_{ij} = \sum_{m=1}^n a_{im} a_{mj} \quad (2-3)$$

قضیه ۲: اگر A ماتریس مجاورت گراف $G = (V, E)$ با n راس باشد. در این صورت گراف G همبند است اگر و تنها اگر هر ماتریس C به صورت زیر دارای هیچ عنصر صفر خارج از قطر اصلی نباشد.

$$C = A + A^2 + A^3 + \dots + A^{n-1} \quad (3-3)$$

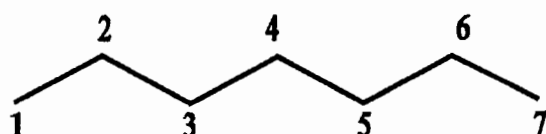
برهان: اگر A همبند باشد، از هر راس به راس دیگر مسیری وجود دارد. در این صورت عنصر a_{ij} حداقل در یکی از $A, A^2, A^3, \dots, A^{n-1}$ دارای مقدار ماتریس از غیرصفر می باشد. در نتیجه عنصر c_{ij} برای $j \neq i$ در ماتریس C مخالف صفر خواهد بود.

۳-۳-۳- ماتریس فاصله^(۱)، یک گراف:

فاصله $d(u, v)$ بین رئوس u, v در گراف G ، کوتاه ترین مسیری است که رئوس u, v را بهم متصل می کند. بر مبنای این مفهوم و مشابه ماتریس مجاورت، یک ماتریس مربعی بر حسب تعداد راسهای گراف به صورت $[d_{ij}] = D(G)$ است بطوریکه:

$$d_{ij} = \begin{cases} d(v_i, v_j) & \text{مسیر وجود دارد} \\ 0 & \text{مسیر وجود ندارد} \end{cases} \quad (4-3)$$

مثال ۷-۳- گراف G با هفت راس و شش یال در شکل شماره ۷-۳ ترسیم شده است.



شکل ۷-۳- گراف G

^(۱) distance matrix

$$D(G) = 4 \begin{bmatrix} 0 & 1 & 2 & 3 & 4 & 5 & 6 \\ 1 & 0 & 1 & 2 & 3 & 4 & 5 \\ 2 & 1 & 0 & 1 & 2 & 3 & 4 \\ 3 & 2 & 1 & 0 & 1 & 2 & 3 \\ 4 & 3 & 2 & 1 & 0 & 1 & 2 \\ 5 & 4 & 3 & 2 & 1 & 0 & 1 \\ 6 & 5 & 4 & 3 & 2 & 1 & 0 \\ 7 & 6 & 5 & 4 & 3 & 2 & 1 \end{bmatrix}$$

۳-۴-۳- کاربردهای ماتریس فاصله:

ماتریس فاصله $D(G)$ یک ماتریس متقارن است که شامل اطلاعاتی در مورد فاصله‌ها در گراف G است. می‌توان پارامترهای کمی را در گراف تعریف نمود که در توصیف گراف بسیار موثرند. این پارامترها توسط ماتریس فاصله قابل محاسبه می‌باشند. بعضی از این پارامترها عبارتند از مرکز گراف، شعاع، قطر و خروج از مرکز گراف می‌باشد. تعریف این مفاهیم با استفاده از مفهوم فاصله به شرح ذیل می‌باشد.

مرکز گراف G راسی مانند u است به طوری که $\max_{v \in V} d(u, v)$ کمترین مقدار ممکن را داشته باشد. در حقیقت ماکزیمم فاصله هر راس را از سایر رئوس اندازه گرفته، و از میان مجموعه ماکزیمم‌ها، مینیمم انتخاب می‌شود.

$$e(v) = \max \{d(v, u) \mid u \in V(G)\} \quad (5-3)$$

شعاع گراف همبند G ، را به صورت رابطه (۳-۶) تعریف می‌کنیم.

$$radG = \min \{e(v) \mid v \in V(G)\} \quad (6-3)$$

قطر گراف همبند G ، را با $diamG$ ، نشان داده و به صورت رابطه (۷-۲) تعریف می‌شود.

$$\max \{e(v) \mid v \in V(G)\} \quad (7-3)$$

صورت رابطه (۵-۳) می‌باشد.

$e(v)$ برای رأس v گراف (یا گراف وزن‌دار) G فاصله رأس v تا دورترین رأس از v است که به

۳-۳-۵- ماتریس درجه^(۱) یک گراف:

فرض شود که $A = [a_{ij}]$ ماتریس مجاورت گراف $G = (V, E)$ باشد. اگر به جای هر یک از درایه های قطر اصلی در ماتریس A ، مقدار درجه راس متناظر را قرار دهیم، ماتریس حاصل را ماتریس درجه گراف G نامیم. ماتریس درجه گراف شکل (۶-۳)، به صورت ماتریس زیر می باشد.

$$D = \begin{bmatrix} 2 & 0 & 0 & 0 \\ 0 & 3 & 0 & 0 \\ 0 & 0 & 2 & 0 \\ 0 & 0 & 0 & 1 \end{bmatrix}$$

از ماتریس درجه می توان برای تعیین درجه رئوس گراف، تعیین کوچکترین و بزرگترین درجه راس گراف و محاسبه مجموع و میانگین درج های گراف استفاده کرد.

۳-۳-۶- ماتریس لاپلاسین^(۱) یک گراف:

فرض شود که $A = [a_{ij}]$ ماتریس مجاورت و D ماتریس درجه گراف $G = (V, E)$ باشد. ماتریس حاصل از رابطه $L = D - A$ را ماتریس لاپلاسین گراف $G = (V, E)$ نامیم. بنابراین ماتریس لاپلاسین یک ماتریس مربعی $p \times p$ بصورت $L = [a_{ij}]$ است که با رابطه (۸-۳) تعریف شده است.

$$a_{ij} = \begin{cases} d_{ij} & i = j \\ -1 & v_i v_j \in E \\ 0 & v_i v_j \notin E \end{cases} \quad (8-3)$$

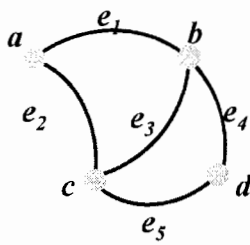
ماتریس لاپلاسین گراف شکل (۳-۶)، به صورت ماتریس L می باشد.

$$L = \begin{bmatrix} 2 & -1 & -1 & 0 \\ -1 & 3 & -1 & -1 \\ -1 & -1 & 2 & 0 \\ 0 & -1 & 0 & 1 \end{bmatrix}$$

یک خاصیت جالب در ماتریس لاپلاسین این است که مجموع درایه های هر سطر و هر ستون آن صفر است.

^(۱) Degree matrix

^(۱) Laplacian matrix



$$M = \begin{bmatrix} e_1 & e_2 & e_3 & e_4 & e_5 \\ a & 1 & 1 & 0 & 0 \\ b & 1 & 0 & 1 & 1 \\ c & 0 & 1 & 0 & 0 \\ d & 0 & 0 & 0 & 1 \end{bmatrix}$$

شکل ۳-۸-۳- گراف G و ماتریس تلاقي مربوط به آن

ماتریس وقوع همانند ماتریس مجاورت می‌تواند مورد استفاده قرار گیرد.

۳-۳-۸- ماتریس مسیر^(۱) یک گراف:

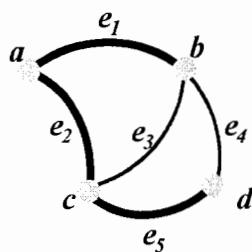
فرض کنید $G = (V, E)$ یک گراف با m مسیر $p_1, p_2, p_3, \dots, p_m$ و n یال $e_1, e_2, e_3, \dots, e_n$ باشد. برای هر دو راس u و v از این گراف، ماتریس مسیر ماتریسی به صورت $P_{uv} = [P_{ij}]$ می‌باشد. به طوریکه

$$P_{ij} = \begin{cases} 1 & e_j \in p_i \\ 0 & e_j \notin p_i \end{cases} \quad (10-3)$$

یکی از کاربردهای ماتریس مسیر تعیین مسیرهای مختلف بین هر دو راس گراف است.

ماتریس مسیر گراف شکل (۳-۹)، به صورت ماتریس زیرمی‌باشد و به عنوان مثال، مسیر $P_1 = be_1ae_2ce_3d$ که از راس b شروع می‌شود و با عبور از راسهای a, c, d و یالهای e_1, e_2, e_3 و e_5 به راس d ختم می‌شود با خطوط مشکی پرنگ نشان داده شده است.

^(۱) Path matrix



$$P = \begin{bmatrix} p_1 & p_2 & p_3 & p_4 \\ e_1 & e_2 & e_3 & e_4 & e_5 \\ 1 & 1 & 0 & 0 & 1 \\ 1 & 0 & 1 & 0 & 1 \\ 0 & 1 & 1 & 1 & 0 \\ 1 & 2 & 0 & 1 & 1 \end{bmatrix}$$

شکل ۹-۳- گراف G و ماتریس مسیر مربوط به آن

گراف همبند، گرافی است که بین هر دو راس دلخواه آن حداقل یک مسیر وجود داشته باشد. رابطه وجود مسیر بین دو راس یک گراف، یک رابطه همارزی است یعنی:

- هر راس با مسیری (به طول صفر) با خودش رابطه دارد. (خاصیت بازتابی)
- اگر بین a, b مسیری وجود داشته باشد، آنگاه بین a, b نیز مسیری وجود دارد. (خاصیت تقارنی)
- اگر از a به b و از b به c مسیری وجود داشته باشد آنگاه از a به c نیز مسیری وجود دارد. (خاصیت تراکذیری یا تعدی)

رابطه وجود مسیر، راس‌های هر گراف را به چند بخش افزای می‌کند. در هر یک از این بخشها، راس‌ها به هم متصلند (همبند هستند) ولی راس‌های یک بخش به راس‌های بخش دیگر متصل نیستند. پس می‌توان گفت، گراف ناهمبند = گرافی است که شامل چند بخش باشد.

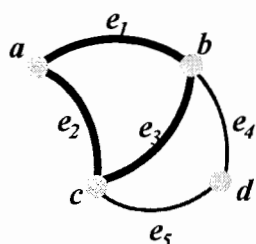
۹-۳-۳- ماتریس مدار^(۱) یک گراف:

فرض کنید $G = (V, E)$ یک گراف با m مدار $e_1, e_2, e_3, \dots, e_n$ و n یال $c_1, c_2, c_3, \dots, c_m$ باشد.

برای هر دو راس u و v از این گراف، ماتریس مدار، ماتریسی به صورت $[c_{ij}]$ می‌باشد به طوریکه

$$c_{ij} = \begin{cases} 1 & e_j \in p_i \\ 0 & e_j \notin p_i \end{cases} \quad (11-3)$$

ماتریس مدار گراف شکل (۱۰-۳)، به صورت ماتریس زیرمی‌باشد. مدار $c_1 = be_1ae_2ce_3b$ که از راس b شروع می‌شود و با عبور از راسهای c, a و یالهای e_1, e_2 و e_3 به راس b ختم می‌شود و یک مدار بسته را تشکیل می‌دهد با خطوط مشکی پرنگ در شکل نشان داده شده است.



$$C = \begin{bmatrix} e_1 & e_2 & e_3 & e_4 & e_5 \\ 1 & 1 & 1 & 0 & 0 \\ 0 & 0 & 1 & 1 & 1 \\ 1 & 1 & 0 & 1 & 1 \end{bmatrix} \begin{matrix} c_1 \\ c_2 \\ c_3 \end{matrix}$$

شکل ۳- گراف G و ماتریس مدار مربوط به آن

یکی از کاربردهای ماتریس مدار تعیین مدارهای مختلف بین هر دو راس گراف است.

^(۱) Circute Matrix

۱۰-۳-۳- ماتریس دور^(۱) یک گراف:

ماتریس دور یک گراف همانند ماتریس مدار قابل تعریف است با این تفاوت که در این ماتریس راسهای تشکیل دهنده دور بجای یالها شمارش می‌شوند. از کاربردهای ماتریس دور تعیین دورهای مختلف گراف است.

قضیه ۳: فرض شود که M ماتریس وقوع و C ماتریس مدار گراف $G = (V, E)$ باشند. اگر ستونهای این دو ماتریس در یک ترتیب قرار داشته باشند آنگاه داریم:

$$MC^T = CM^T = 0 \pmod{2} \quad (12-3)$$

برهان: فرض می‌شود که $G = (V, E)$ گرافی با n راس و m یال و r مدار باشد. اگر ماتریس وقوع $M = [m_{ij}]$ یک ماتریس $n \times m$ و ماتریس مدار $C = [c_{ij}]$ یک ماتریس $r \times m$ باشند آنگاه ماتریس $H = [h_{ij}]$ یک ماتریس $n \times r$ به صورت $H = MC^T$ خواهد بود به طوری که:

$$h_{ij} = \begin{cases} 1+1=0 & \pmod{2} \\ 0 & \end{cases} \quad (13-3)$$

چون یالها در یک ترتیب در هر دو ماتریس قرار دارند، عناصر یک در مکانهای متناظر آنها در دو ماتریس وقتی اتفاق می‌افتد که یالی منتخب برآمین راس همچنان روی آزمین مدار باشد. در این حالت همواره دو عدد یک ایجاد می‌گردد. با همین استدلال می‌توان نشان داد که $H = CM^T$ نیز برابر صفر است.

۱۱-۳-۳- ماتریس مجموعه‌های برشی^(۲)، یک گراف:

تعریف: فرض کنید $G = (V, E)$ یک گراف با m مجموعه برشی $s_1, s_2, s_3, \dots, s_m$ و n یال

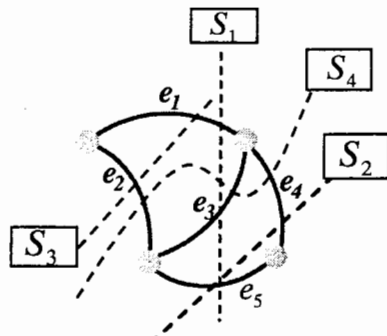
است بطوریکه $S = [s_{ij}]$ ماتریسی $m \times n$ بصورت $e_1, e_2, e_3, \dots, e_n$ باشد. ماتریس S باشد.

$$s_{ij} = \begin{cases} 1 & e_j \in s_i \\ 0 & e_j \notin s_i \end{cases}$$

^(۱) Cycle matrix

^(۲) Cutset matrix

گراف و ماتریس برش آن در شکل (۱۱-۳)، نمایش داده شده است.



$$M = \begin{bmatrix} e_1 & e_2 & e_3 & e_4 & e_5 \\ s_1 & 1 & 1 & 0 & 0 & 0 \\ s_2 & 0 & 0 & 0 & 1 & 1 \\ s_3 & 1 & 0 & 1 & 0 & 1 \\ s_4 & 0 & 1 & 1 & 1 & 0 \end{bmatrix}$$

شکل ۱۱-۳- گراف G و ماتریس برش مربوط به آن

۴-۴-۳- مفاهیم تکمیلی

۱-۴-۳- درخت

تعریف: درخت گراف همبندی است که دور ندارد.

(۱) درخت پوشانش (Spanning Tree)، درخت با کوتاهترین مسیر [۲۴] (۲)

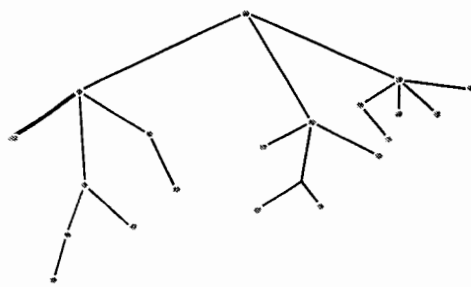
درخت گراف همبندی است که دور ندارد. مجموعه‌ای از درختها تشکیل یک جنگل (Forest) می‌دهند.

(۱) Tree

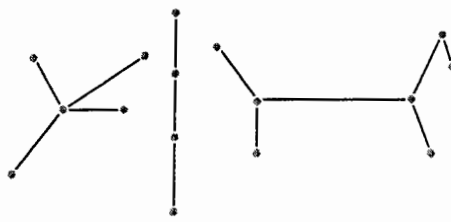
(۲) Spanning Tree

(۳) Shortest rout tree

(۴) Forest

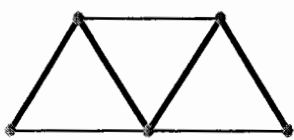


شکل ۱۳-۳ - درخت

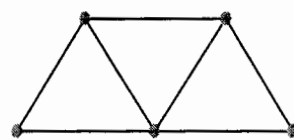


شکل ۱۲-۳ - جنگل

درختی که شامل تمامی گره‌های گراف G باشد، درخت پوشانمایده می‌شود، که به منظور سادگی به آن نیز "درخت" می‌گوییم. در شکل ۱۴-۳-(الف) یک نمونه از مدل گراف نشان داده شده و در شکل ۱۴-۳-(ب) درخت پوشای آن با خط مشکی پرنگ نشان داده شده است.



(ب)



(الف)

شکل ۱۴-۳ - نمایش یک گراف در شکل (الف) و درخت پوشای آن با خطوط مشکی پرنگ در شکل (ب)

درخت مرتبه P را با T_p نمایش می‌دهند. رئوس درجه یک هر درخت را برگ می‌نامند

۳-۴-۳ - درخت با کوتاهترین مسیر (SRT)

درختی است که از یک گره مشخص مثل n_0 از گراف S شروع شده و فاصله بین هر نقطه n_i از این درخت T و n_0 کمترین مقدار باشد.

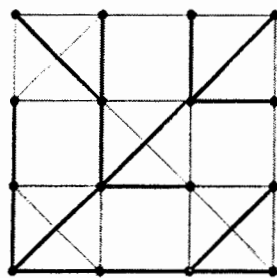
یک الگوریتم ساده برای توسعه درخت کوتاهترین مسیر

۱- ریشه انتخاب شده را با (0) و گره‌های همسایه با آن را با (1) نشان دهید.

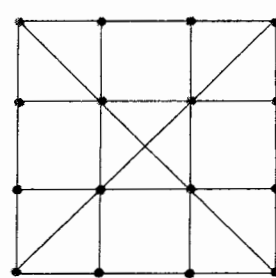
۲- اعضای همبند با (0) را ثبت نمایید.

۳- این روند را با تکرار مرحله قبل و نامگذاری گره‌های شماره‌گذاری شده در مرحله قبل که اعضای متصل به آنها، همبند گره‌های (1) می‌باشند پیش برد. و مجدداً این اعضاء را هم ثبت نمایید. این

۳-۱۵) این روند را با تکرار مرحله قبل و نامگذاری شماره‌گذاری شده در مرحله قبل که اعضای متصل به آنها، همبند گره‌های (۱) می‌باشند پیش برد. و مجدداً این اعضاء را هم ثبت نمایید. این روند هنگامی که تمام گره‌های G نامگذاری شده و تمام اعضای درخت T ثبت گردند، تکمیل می‌شود. در شکل (۱۵-۳-الف) گراف G به عنوان نمونه‌ای از مدل گراف و درخت کوتاهترین مسیر از گراف G با خطوط مشکی پررنگ در شکل (۱۵-۳-ب) نشان داده شده است.



(ب)



(الف)

شکل ۳-۱۵-الف) گراف G ب) درخت باکوتاهترین مسیر از گراف G

براحتی ثابت می‌گردد که:

$$M(T) = N(T) - 1 \quad (۶-۳)$$

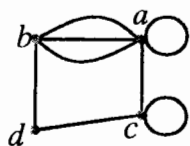
و $M(T)$ و $N(T)$ به ترتیب تعداد اعضاء و گره‌های درخت T می‌باشد.

۴-۴-۴- گراف چندگانه [۱۵]:

اگر بین حداقل دو راس از گرافی بیش از یک یال برقرار باشد، آن گراف دارای یال چندگانه است.

اگر یالی از گراف به صورت یک حلقه، متصل به یک راس باشد، به آن طوقه گویند.

اگر بین حداقل دو راس از گرافی بیش از یک یال برقرار باشد یا گراف دارای طوقه باشد، این گراف چندگانه است.



(ج)



(ب)



(الف)

شکل ۳-۱۶-۳- (الف) گراف مرتبه ۱ چند گانه دارای طوقه، ب) گراف مرتبه ۲ چندگانه (دارای یال چندگانه)، ج) گراف مرتبه چندگانه (دارای یال چندگانه طوقه)

در گراف شکل ۳-۱۵-ج) $\deg(a) = 6$ (یال ساده + یک طوقه $= 2+4=6$) در محاسبه درجه راسهایی که شامل طوقه هستند، هر طوقه دو درجه محسوب می‌شود.

۳-۴-۵- گراف (سویه‌دار) جهت دار^(۱) [۱۵]:

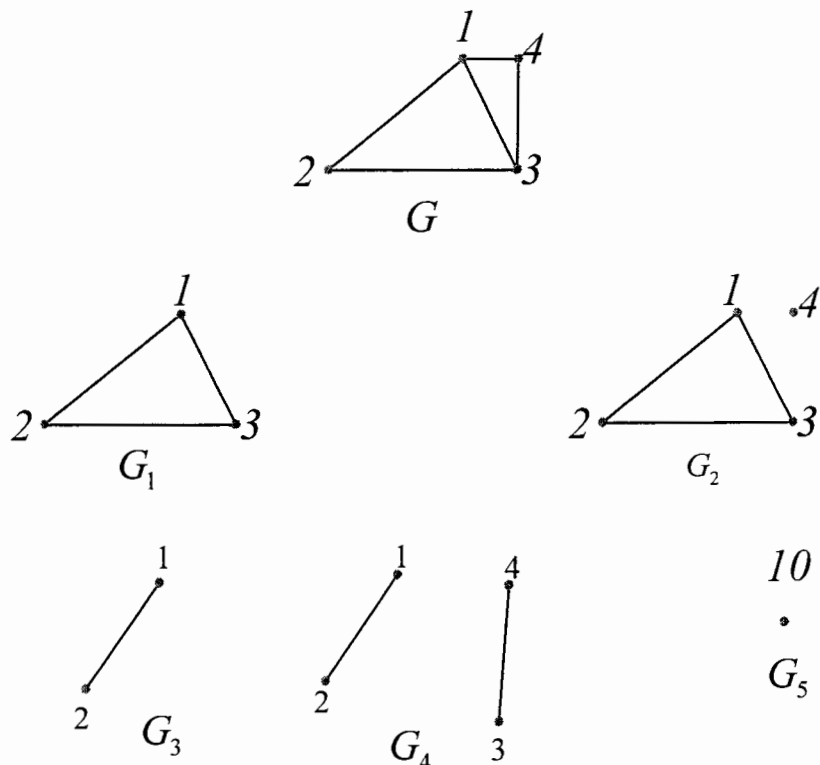
تعریف: گراف سویه‌دار، گرافی است که در آن یال‌ها دارای جهت هستند. اگر جهت یال از راس "u" به "v" باشد، یعنی "v" با "u" مجاور است ولی راس "v" با "u" مجاور نیست. نمایش یک یال یک سویه در شکل ۳-۱۷) نشان داده شده است.



شکل ۳-۱۷-۳- نمایش یال یک سویه

یال دو سویه را می‌توان با یال ساده نمایش داد. نمایش یال دو سویه در شکل (۱۸-۳) نشان داده شده است.

^(۱) oriented graph

شکل ۲۲-۳ - گراف های G و زیرگراف های آن

فصل

کاربرد ماتریس لایلیسین و مدل
ریاضی گرافها در تقارن به فرم
دو و سه

۴

۱-۴- مقدمه:

استفاده از خاصیت تقارن نه تنها در بسیاری از مباحث ریاضی مانند جبر ، آنالیز، هندسه و غیره استفاده شده است بلکه در سایر شاخه های علوم نیز از این خاصیت جهت تجزیه و تحلیل مسائل مربوطه سود برده اند [۴۹، ۲۹]. طرح و بررسی تقارن در تئوری گراف، ارتباط نزدیکی با موضوع ماتریسها در جبر خطی دارد که مباحثی از آن در مرجع [۳۱، ۳۰] آمده است. ما در این بحث ابتدا مدل ساختاری را بوسیله‌ی گراف نمایش می‌دهیم سپس برای مدل گراف متقارن ماتریس‌های فرم یک و دو و سه آن را تشکیل داده و با استفاده از تجزیه ماتریس لaplسین گراف زیرماتریس‌ها، مقادیر ویژه‌ی ماتریس اصلی را محاسبه می‌نماییم.

۴- ۲- ماتریس‌های کانونیکال^(۱) و ماتریس‌های فرم یک و دو:

منظور از ماتریس کانونیکال ماتریس به فرم یک و دو و سه در بحث حاضر می‌باشد که از نظر نوع فرم ماتریسی حائز اهمیت می‌باشند [۳۴، ۳۳، ۳۲].

۴- ۲- ۱- ماتریس فرم یک:

ماتریس فرم یک، یک ماتریس با ابعاد $R \times R$ می‌باشد، فرم کانونیکال این ماتریس به صورت زیر نوشته می‌شود

$$G = \begin{bmatrix} [H]_{r \times r} & [O]_{r \times r} \\ [O]_{r \times r} & [H]_{r \times r} \end{bmatrix}_{R \times R} \quad (1-4)$$

^(۱) canonical form

که در آن $r = \frac{R}{2}$ می باشد، برای روشن تر شدن رابطه ماتریسی ماتریس فرم دو تشریح می شود.

۴-۲-۲-۲- ماتریس فرم دو:

ماتریس فرم دو، یک ماتریس با ابعاد $R \times R$ می باشد، فرم کانونیکال این ماتریس به صورت زیر

نوشته می شود :

$$G = \begin{bmatrix} [H]_{r \times r} & [H']_{r \times r} \\ [H']_{r \times r} & [H]_{r \times r} \end{bmatrix}_{R \times R} \quad (2-4)$$

که در آن $r = \frac{R}{2}$ می باشد، یعنی در تقارن به فرم یک و دو R زوج است. همانطور که ملاحظه می شود، در فرم یک $[H'] = 0$ می باشد، و در واقع فرم یک همان فرم دو با $[H'] = 0$ می باشد. بنابراین روابط و قضایای حاکم در فرم دو، در فرم یک نیز برقرار است.

در ماتریس فرم دو روابط زیر برقرار است :

$$[G_1] = [H] + [H'] \quad (3-4)$$

$$[G_2] = [H] - [H'] \quad (4-4)$$

$$|G| = |G_1| \times |G_2| \quad \rightarrow \quad \lambda_G = \{\lambda_{G_1}\} \cup \{\lambda_{G_2}\} \quad (5-4)$$

با توجه به تبیین روابط در فرم دو و به نوعی در فرم یک به اثبات روابط مذکور می پردازیم. برای این منظور دترمینان G را می نویسیم.

$$DET(G) = \begin{vmatrix} [H] & [H'] \\ [H'] & [H] \end{vmatrix}$$

سطر دوم را به سطر اول اضافه می نماییم.

$$\begin{vmatrix} [H+H'] & [H+H'] \\ [H'] & [H] \end{vmatrix}$$

ستون اول را از ستون دوم کم می نماییم.

$$= \begin{vmatrix} [H+H'] & 0 \\ [H'] & [H-H'] \end{vmatrix} \Rightarrow DET(G) = [H+H'] \times [H-H']$$

از طرفی می دانیم که برای دو ماتریس دلخواه مانند A و B می توان نوشت:

$$|AB| = |A||B|$$

بنابر این برای $|G|$ می توان نوشت:

$$|G| = |G_1| \times |G_2|$$

با جایگذاری روابط مربوطه در دترمینان ماتریس G خواهیم داشت:

$$\begin{aligned} DET(G) &= DET(G_1) \times DET(G_2) = DET(G_1 \times G_2) \\ \Rightarrow DET(G) &= [H + H'] \times [H - H'] = [H + H'] \times [H - H'] \\ G_1 &= [H + H'] \quad , \quad G_2 = [H - H'] \end{aligned} \tag{6-4}$$

۱-۲-۲-۴- مقادیر ویژه در ماتریس به فرم دو:

با استفاده از رابطه (۷-۲) در فصل دوم نشان داده می شود که مقادیر ویژه ماتریس G اجتماع مقادیر ویژه حاصل از زیرماتریس های آن می باشد. در سومین دترمینان ابتدا سطر دوم به سطر اول اضافه می شود و در دترمینان بعدی ستون اول از ستون دوم کم می شود.

$$\begin{aligned} DET(G - \lambda I) &= |G_\lambda| = \begin{vmatrix} [H - \lambda I] & [H'] \\ [H'] & [H - \lambda I] \end{vmatrix} = \begin{vmatrix} [H + H' - \lambda I] & [H + H' - \lambda I] \\ [H'] & [H - \lambda I] \end{vmatrix} \Rightarrow \\ &= \begin{vmatrix} [H + H' - \lambda I] & 0 \\ [H'] & [H - H' - \lambda I] \end{vmatrix} \\ \Rightarrow \quad DET(G_\lambda) &= \underbrace{\begin{vmatrix} H + H' - \lambda I \end{vmatrix}}_{polynol G_{1,\lambda}} \times \underbrace{\begin{vmatrix} H - H' - \lambda I \end{vmatrix}}_{polynol G_{2,\lambda}} = 0 \end{aligned}$$

$$polynol G_\lambda = polynol G_{2,\lambda} \times polynol G_{1,\lambda}$$

در نتیجه می توان به این حقیقت رسید که چندجمله ای های G_2 و G_1 ، چند جمله ای G_λ را تجزیه نموده و چند جمله ای $G_{2,\lambda}$ و $G_{1,\lambda}$ در واقع با حاصل ضرب دو چند جمله ای ویژه G_2 و G_1 برابر است. اجتماع ریشه های $G_{2,\lambda}$ و $G_{1,\lambda}$ تمامی ریشه های G را منتج می شود یعنی داریم:

$$root_{G_{1,\lambda}} \cup root_{G_{2,\lambda}} = root_{G_\lambda}$$

که البته در اینجا منظور از ریشه ها همان مقادیر ویژه می باشد.

بنابراین ثابت شدکه موارد فوق برای ماتریس های لابلسین مرتبه $R \times R$ ($R = 2k$) برقرار است. در حالت کلی ماتریس های فرم یک و دو در فرم کانونیکال ماتریس G قرار دارند. بدین لحاظ یک ماتریس مرکب G که شامل زیرماتریس های H و H' می باشد را در نظر بگیرید. H و H' زیر ماتریس های با ابعاد $q \times q$ هستند. ماتریس G یک بلوک ماتریسی مستطیلی با ابعاد $r \times r$ که دارای H روی قطر اصلی اش است و H' با ضرایب متفاوت در تمام درایه های ماتریس G می باشد که در رابطه $(7-4)$ نشان داده شده است [۳۵].

$$[G] = \begin{bmatrix} H + a_{11}H' & a_{12}H' & \dots & a_{1r}H' \\ a_{21}H' & H + a_{22}H' & \dots & a_{2r}H' \\ \dots & \dots & \dots & \dots \\ a_{r1}H' & a_{r2}H' & \dots & H + a_{rr}H' \end{bmatrix}_{(r \times q), (r \times q)} \quad (7-4)$$

جایی که a_{ij} ($1 \leq i, j \leq r$) می تواند اعداد حقیقی یا مختلط باشد. ضرایب زیرماتریس های H' یک ماتریس با ابعاد $r \times r$ ر تشکیل می دهند که با رابطه $(8-4)$ نشان داده شده است.

$$[A] = \begin{bmatrix} a_{11} & a_{12} & \dots & a_{1r} \\ a_{21} & a_{22} & \dots & a_{2r} \\ \dots & \dots & \dots & \dots \\ a_{r1} & a_{r2} & \dots & a_{rr} \end{bmatrix}_{r \times r} \quad (8-4)$$

مقادیر ویژه های $[A]$ را به صورت λ_i ($1 \leq i \leq r$) در نظر بگیرید. ثابت می شود که

$$H = G_i - \lambda_i H'$$

مقادیر ویژه G و G_i با λ_G و λ_{G_i} نشان داده می شود. G_i ها در واقع زیرماتریس کاهش-یافته $G^{(1)}$ می باشند.

$$\lambda(G) = \lambda(G_1) \cup \lambda(G_2) \cup \lambda(G_3) \cup \dots \lambda(G_r) = \bigcup_{i=1}^n \lambda(G_i) \quad (9-4)$$

که λ_G و λ_{G_i} از مساوی صفر قرار دادن دترمینان G_1 و G_i بدست می آید.

$$|G| = |G_1| \times |G_2| \times \dots \times |G_r| \quad (10-4)$$

به صورت یک بلوک ماتریسی 2×2 در نظر بگیرید:

⁽¹⁾ reduced submatrices

$$[G] = \begin{bmatrix} H & H' \\ H' & H \end{bmatrix}$$

متناظر با رابطه‌ی (۷-۴) ماتریس، $[A]$ به صورت زیر می‌باشد:

$$[A] = \begin{bmatrix} 0 & 1 \\ 1 & 0 \end{bmatrix}$$

مطابق با رابطه‌ی (۷-۲) ریشه‌های ماتریس $[A]$ به صورت زیر بدست می‌آید.

$$|A - \lambda I| = \begin{vmatrix} -\lambda & 1 \\ 1 & -\lambda \end{vmatrix} = 0 \Rightarrow (-\lambda)^2 - 1 = 0 \rightarrow \lambda = \pm 1$$

$$\lambda = 1 \Rightarrow G_1 = H + \lambda_1 H'$$

$$\lambda = -1 \Rightarrow G_2 = H - \lambda_2 H'$$

G_1 و G_2 زیرماتریس‌های کاهش‌یافته‌ی G می‌باشند. در رابطه با تبدیل ماتریس لaplسین به فرم دو برنامه‌ای هم نوشته شده که در پیوست ذکر شده است.

مثال ۱-۴ - ماتریس G با ابعاد 6×6 می‌باشد. دترمینان و مقادیر ویژه ماتریس G و زیرماتریس‌های کاهش‌یافته‌ی G_1 و G_2 آنرا تعیین می‌کنیم.

$$[G] = \left[\begin{array}{cc|cc} 2 & -2 & 0 & 0 \\ -2 & 2 & 0 & 0 \\ \hline 0 & 0 & 2 & -2 \\ 0 & 0 & -2 & 2 \end{array} \right] \rightarrow [H] = \begin{bmatrix} 2 & -2 \\ -2 & 2 \end{bmatrix}, [H'] = \begin{bmatrix} 0 & 0 \\ 0 & 0 \end{bmatrix}$$

زیرماتریس‌های کاهش‌یافته‌ی G_1 و G_2 به صورت زیر قابل محاسبه هستند.

$$[G_1] = [H] + [H'] = \begin{bmatrix} 2 & -2 \\ -2 & 2 \end{bmatrix}, [G_2] = [H] - [H'] = \begin{bmatrix} 2 & -2 \\ -2 & 2 \end{bmatrix}$$

$$|G_1 - \lambda I| = \begin{vmatrix} 2-\lambda & -2 \\ -2 & 2-\lambda \end{vmatrix} = (2-\lambda)^2 - 4 = 4 + \lambda^2 - 4\lambda - 4 = \lambda^2 - 4$$

$$|G_1 - \lambda I| = 0 \Rightarrow \lambda^2 - 4 = 0$$

$$\lambda_{G_1} = \{ 0, 4 \}, |G_1| = \begin{vmatrix} 2 & -2 \\ -2 & 2 \end{vmatrix} = 4 - 4 = 0$$

$$|G_2 - \lambda I| = \begin{vmatrix} 2-\lambda & -2 \\ -2 & 2-\lambda \end{vmatrix} = \lambda^2 - 4$$

$$|G_2 - \lambda I| = 0 \Rightarrow \lambda^2 - 4 = 0$$

$$\lambda_{G_2} = \{0, 4\}, |G_2| = 0$$

$$|\mathbf{G} - \lambda I| = \begin{vmatrix} 2-\lambda & -2 & 0 & 0 \\ -2 & 2-\lambda & 0 & 0 \\ 0 & 0 & 2-\lambda & -2 \\ 0 & 0 & -2 & 2-\lambda \end{vmatrix} = 0 \Rightarrow \lambda_G = \{4, 4, 0, 0\}, |G| = 0$$

$$\lambda_G = \{\lambda_{G_1}\} \cup \{\lambda_{G_2}\} = \{0, 4, 0, 4\}$$

$$|\mathbf{G}| = |G_1| \times |G_2| = 0 \times 0 = 0$$

مثال ۲-۴- ماتریس دیگری را با ابعاد 6×6 در نظر بگیرید. این ماتریس دارای تقارن به فرم دو می باشد. مقادیر ویژه و دترمینان ماتریسها به همان طریقی بدست می آید که از مثال (۱-۴) بدست آمده است.

$$[\mathbf{G}] = \begin{bmatrix} 3 & -1 & 0 & -1 & -1 & 0 \\ -1 & 4 & -1 & -1 & -1 & 0 \\ 0 & -1 & 2 & 0 & 0 & -1 \\ -1 & -1 & 0 & 3 & -1 & 0 \\ -1 & -1 & 0 & -1 & 4 & -1 \\ 0 & 0 & -1 & 0 & -1 & 2 \end{bmatrix} \rightarrow [\mathbf{H}] = \begin{bmatrix} 3 & -1 & 0 \\ -1 & 4 & -1 \\ 0 & -1 & 2 \end{bmatrix}$$

$$[\mathbf{H}'] = \begin{bmatrix} -1 & -1 & 0 \\ -1 & -1 & 0 \\ 0 & 0 & -1 \end{bmatrix}$$

$$[\mathbf{G}_1] = [\mathbf{H}] + [\mathbf{H}'] = \begin{bmatrix} 2 & -2 & 0 \\ -2 & 3 & -1 \\ 0 & -1 & 1 \end{bmatrix} \quad [\mathbf{G}_2] = [\mathbf{H}] - [\mathbf{H}'] = \begin{bmatrix} 4 & 0 & 0 \\ 0 & 5 & -1 \\ 0 & -1 & 3 \end{bmatrix}$$

$$\lambda_{G_1} = \{0, 4.7321, 1.2679\}, \lambda_{G_2} = \{5.4142, 4, 2.5858\}$$

$$\lambda_G = \{\lambda_{G_1}\} \cup \{\lambda_{G_2}\} = \{0, 5.4142, 4.7321, 4, 2.5858, 1.2679\}$$

$$|G| = |G_1| \times |G_2| = 0 \times 56 = 0$$

۳-۴- ماتریس های کانوئیکال^(۱) و ماتریس های فرم سه:

این فرم حاوی یک زیر ماتریس با فرم دو می باشد، به انصمام چند سطر و ستون که به ماتریس فرم دو اضافه شده است. حالت کلی این ماتریس را مشاهده می کنید.

$$(11-4) \quad [G] = \begin{bmatrix} & \text{بلوک اول} & \\ & \vdots & \\ & [H] & [H'] \\ & \vdots & \\ & [H'] & [H] \\ & \vdots & \\ & \text{بلوک دوم} & \\ C(2r+1,1) & \dots & C(2r+1,2q) & C(2r+1,2r+1) & \dots & C(2r+1,2r+q) \\ \vdots & \dots & \vdots & \vdots & \dots & \vdots \\ Z(2r+q,1) & \dots & Z(2r+k,2q) & Z(2r+q,2r+1) & \dots & Z(2r+q,2r+q) \end{bmatrix}$$

تکرار در ستون

درایه های ستونهای اضافه شده

جایی که G یک ماتریس $(2r+q) \times (2r+q)$ با یک زیر ماتریس $2q \times 2q$ به فرم دو، و به تعداد q سطرو ستون به ماتریس G اضافه شده است. درایه های ستونهای اضافه شده در بلوک اول و دوم برای هر ستون تکرار می شوند و تمام درایه های $[G]$ اعداد واقعی هستند.

زیر ماتریس های کاهش یافته هی ماتریس $[G]$ به صورت زیر می باشد [۳۶]:

$$[G_2] = [H] - [H']$$

^(۱) canonical form

$$[G_3] = \begin{bmatrix} & L_{11} & \dots & L_{1q} \\ [H+H'] & L_{21} & & L_{2q} \\ & \vdots & \ddots & \vdots \\ & L_{r1} & \dots & L_{rq} \\ & \vdots & & \vdots \\ Z(2r+q,1) + Z(2r+q,q+1) & \dots & Z(2r+q,2r+1) & \dots & Z(2r+q,2r+q) \end{bmatrix} \quad (12-4)$$

مقدار ویژه $[G]$ به صورت زیر بدست می آید.

$$\lambda_G = \lambda_{G_1} \cup \lambda_{G_3} \quad (13-4)$$

۱-۳-۴- اثبات:

اکنون به طور اجمالی به اثبات روابط ریاضی حاکم بر ماتریس لاپلاسین به فرم سه در مقیاس کوچکترمی پردازیم که بسط توسعه‌ای آن روابط مذکور می باشد.
ماتریس $[G]$ را در نظر بگیرید. این ماتریس به فرم سه می باشد:

$$G = \left[\begin{array}{cc|cc|c} h & i & j & k & f \\ i & h' & k & l & g \\ \hline j & k & h & i & f \\ k & l & i & h' & g \\ \hline f & g & f & g & u \end{array} \right]$$

دترمینان ماتریس G را در نظر بگیرید و آن را نسبت به سطر اول بسط دهید.

$$DET(G) = h \begin{vmatrix} h' & k & l & g \\ k & h & i & f \\ l & i & h' & g \\ g & f & g & u \end{vmatrix} - i \begin{vmatrix} i & k & l & g \\ j & h & i & f \\ k & i & h' & g \\ f & f & g & u \end{vmatrix} + j \begin{vmatrix} i & h' & l & g \\ j & k & i & f \\ k & l & h' & g \\ f & g & g & u \end{vmatrix} - k \begin{vmatrix} i & h' & k & g \\ j & k & h & f \\ k & l & i & g \\ f & g & f & u \end{vmatrix} +$$

$$f \begin{vmatrix} i & h' & k & l \\ j & k & h & i \\ k & l & i & h' \\ f & g & f & g \end{vmatrix}$$

۵ دترمینان 4×4 خواهیم داشت.

از بسط دترمینانهای 4×4 و سپس دترمینانهای 3×3 و 2×2 و نهایت \leftarrow :

در چند جمله‌ای حاصل عبارت $2k^2i^2u + 2i^2k^2 - 4i^2k^2u + 4i^2k^2 - 2k^2i^2u$ را جایگزین عبارت $2k^2i^2u + 2i^2k^2 - 4i^2k^2u + 4i^2k^2 - 2k^2i^2u$ نماییم،

خواهیم داشت:

$$\begin{aligned} & \left((hh' + jl - i^2 - k^2) + (hl + h'j - 2ik) \right) u - 2g^2(h + j) + 4fg(i + k) \\ & \left((hh' + jl - i^2 - k^2) - (hl + h'j - 2ik) \right) = \\ & (hh'u + hlu + jh'u + jlu - 2g^2j - i^2u - k^2u - 2iku + 4fgi + 4fgk - 2f^2h' - 2f^2l) \\ & (hh' - i^2 - k^2 + 2ik - jh' - hl + jl) = \\ & ((h - j)(h' - l) - (i - k)(i - k))((h + j)((h' + l)u - 2g^2) - (i + k)((i + k)u - 2fg)) + \\ & f((i + k)2g - 2f(h' + l)) \end{aligned} \quad (14-4)$$

اتحاد پرانتر اول در حقیقت بسط دترمینان G می‌باشد یعنی

$$G_2 = \begin{vmatrix} h - j & i - k \\ i - k & h' - l \end{vmatrix}$$

اتحاد پرانتر دوم در واقع بسط دترمینان G' می‌باشد یعنی

$$G_3 = \begin{vmatrix} h + j & i + k & f \\ i + k & h' + l & g \\ 2f & 2g & u \end{vmatrix}$$

ماتریس G ضرب دترمینان ماتریس G' و G می‌باشد

$$DET(G) = DET(G_2) \times DET(G_3)$$

﴿ روشن بدست آوردن ماتریس های G_2 و G_3 ﴾

ماتریس G را به صورت زیر در نظر می گیریم

$$G = \begin{bmatrix} H & H' & F \\ H' & H & F \\ S & S & U \end{bmatrix}$$

$$G_2 = [H] - [H'] \quad (15-4)$$

$$G_3 = \begin{bmatrix} [H] + [H'] & [F] \\ [2S] & [U] \end{bmatrix} \quad (16-4)$$

طبق قضایای حاکم در جیر ماتریسی با جایگذاری روابط مربوطه در دترمینان ماتریس G خواهیم داشت:

$$|G| = \begin{bmatrix} [H] + [H'] & [F] \\ [2S] & [U] \end{bmatrix} \times [H] - [H'] \Rightarrow \quad (I)$$

$$\begin{aligned} |G| &= [H][H][U] + [H][H'][U] - [H][H][S][F] - [H'][H][U] - [H'][H'][U] + [H'][2S][F] \\ &[H][H][U] - 2[H][S][F] + 2[H'][S][F] - [H'][H][U] + [H][H'][U] - [H'][H'][U] \quad (II) \end{aligned}$$

ماتریسهای G_2 و G_3 هر یک زیر ماتریس از ماتریس G می باشند.

﴿ ۲-۳-۴ مقادیر ویژه در تقارن به فرم سه: ﴾

در این حالت برای محاسبه مقادیر ویژه، با توجه به رابطه‌ی (۷-۲) مقدار λ از قطر اصلی ماتریس لaplاسین مورد نظر کم می شود و دترمینان حاصل مساوی صفر قرار می گیرد.
- اگر ماتریس G یک ماتریس 5×5 باشد

$$G = \begin{bmatrix} h & i & j & k & f \\ i & h' & k & l & g \\ j & k & h & i & f \\ k & l & i & h' & g \\ f & g & f & g & u \end{bmatrix}$$

دترمینان ماتریس G بر حسب λ به صورت زیر می باشد.

$$G = \begin{vmatrix} h - \lambda & i & j & k & f \\ i & h' - \lambda & k & l & g \\ j & k & h - \lambda & i & f \\ k & l & i & h' - \lambda & g \\ f & g & f & g & u - \lambda \end{vmatrix} = 0$$

که از محاسبه این دترمینان، معادله مشخصه ای بر حسب λ بدست می آید. در واقع در اینجا نیز، بحث محاسبه ای دترمینان ماتریس G است که در بخش ۳-۳-۱ مورد بررسی قرار گرفت؛ با این تفاوت که در بسط حاصل از دترمینان $F(h, h', i, j, k, f, g, l, u)$ به جای $h - \lambda, h$ و به جای $h' - \lambda, h'$ و به جای $u - \lambda, u$ به کار رفته است.

برای سادگی $h_1 = u - \lambda$ و $h_2 = h' - \lambda$ را در نظر گرفته میشود، حاصل بسط دترمینان به صورت زیر می شود. یعنی در $F(h, h', i, j, k, f, g, l, u)$ پس از جایگزینی متغیرهای h_1, h_2, u_1 به جای h, h', u در رابطه ای (۴-۴) رابطه ای ذیل حاصل می شود.

$$[(h_1 - j)(h_2 - l) - (i - k)(i + k)][(h_1 + j)((h_2 + l)u_1 - 2g^2)) - (i + k)((i + k)u_1 - 2fg) + f((i + k)2g - 2f(h_2 + l))]$$

رابطه ای فوق در حقیقت ضرب دو دترمینان $|G_3|$ و $|G_2|$ می باشد که به صورت زیر نمایش داده می شود.

$$G_3 = \begin{vmatrix} h_1 + j & i + k & f \\ i + k & h_2 + l & g \\ 2f & 2g & u \end{vmatrix} \quad G_2 = \begin{vmatrix} h_1 - j & i - k \\ i - k & h_2 - l \end{vmatrix}$$

برای بدست آوردن مقادیر ویژه و چند جمله ای مشخصه دترمینان ماتریس G ، با کمک دترمینان ماتریسهای G_2 و G_3 تعیین و برابر صفر قرار داده می شود.

$$|G| = |G_2| \times |G_3| = \begin{vmatrix} h_1 + j & i + k & f \\ i + k & h_2 + l & g \\ 2f & 2g & u \end{vmatrix} \times \begin{vmatrix} h_1 - j & i - k \\ i - k & h_2 - l \end{vmatrix} = 0$$

در رابطه فوق عبارت های $u_1 = u - \lambda$ و $h_2 = h' - \lambda$ ، $h_1 = h - \lambda$ جایگزین می شوند بنابراین:

$$|G| = \begin{vmatrix} h - \lambda + j & i + k & f \\ i + k & h' - \lambda & g \\ 2f & 2g & u - \lambda \end{vmatrix} \times \begin{vmatrix} h - \lambda - j & i - k \\ i - k & h' - \lambda - l \end{vmatrix} = 0$$

polynomial($G_{3,\lambda}$)

$$\begin{aligned} & (-\lambda^3 + (u - h' + j)\lambda^2 + (-h'u - h'j - hh' - h\lambda + 2ik + i^2 + k^2 + 2f^2)\lambda + hh'u - 2g^2h) \\ & - 4g^2j + jh'u - i^2u - 2iku + 4ifg - k^2u + 4kfg - 2f^2h' \times \\ & (\lambda^2 + (-h - h' + l + j)\lambda + hh' - hl - jh' + jl - l^2 - k^2 + 2ik) = 0 \end{aligned}$$

polynomial($G_{2,\lambda}$)

معادله مشخصه ای را به دترمینان های 2×2 و 3×3 بدست آمده که از ترتیب $polynomialG_{3,\lambda}$ و $polynomialG_{2,\lambda}$ نامیم.

$$polynomialG_\lambda = polynomialG_{3,\lambda} \times polynomialG_{2,\lambda}$$

اجتماع ریشه های $G_{2,\lambda}$ و $G_{3,\lambda}$ تمامی ریشه های G را منتج می شود یعنی:

$$root_{G_{2,\lambda}} \cap root_{G_{3,\lambda}} = root_G$$

که البته در اینجا منظور از ریشه همان مقادیر ویژه می باشد.

موارد فوق برای ماتریس های مرتبه 6×6 ، 7×7 ، 6×6 ،، 7×7 ، 6×6 نیز برقرار و قابل اثبات می باشد.

مثال ۴-۳-۴- ماتریس G را با ابعاد 6×6 در نظر بگیرید. این ماتریس به فرم کانونیکال سه می باشد. بدست آوردن مقادیر ویژه طبق روابط مذکور مطلوب است. مقادیر ویژه به کمک نرم افزار مطلب بدست آمده است.

$$L_{G_1} = \left[\begin{array}{cc|cc|c} 4 & -1 & -1 & -1 & -1 \\ -1 & 3 & -1 & -1 & 0 \\ \hline -1 & -1 & 4 & -1 & -1 \\ -1 & -1 & -1 & 3 & 0 \\ \hline -1 & 0 & -1 & 0 & 2 \end{array} \right] \quad L_{G_2} = [H] - [H'] = \begin{bmatrix} 4 - (-1) & -1 - (-1) \\ -1 - (-1) & 3 - (-1) \end{bmatrix} = \begin{bmatrix} 5 & 0 \\ 0 & 4 \end{bmatrix}$$

$$L_{G_3} = \begin{bmatrix} [H] + [H'] & [F] \\ [2S] & [U] \end{bmatrix} = \begin{bmatrix} 4 + (-1) & -1 + (-1) & -1 \\ -1 + (-1) & 3 + (-1) & 0 \\ -1 + (-1) & 0 + 0 & 2 \end{bmatrix} = \begin{bmatrix} 3 & -2 & -1 \\ -2 & 2 & 0 \\ -2 & 0 & 2 \end{bmatrix}$$

$$\lambda_G = \{ 0, 5, 5, 4, 2 \}$$

$$\lambda_{G_2} = \{ 5, 4 \} \quad \lambda_{G_3} = \{ 0, 5, 2 \} \Rightarrow \lambda_G = \lambda_{G_2} \cup \lambda_{G_3}$$

$$\lambda_{\min} = 0 \leq \lambda \leq \lambda_{\max} = 5$$

۴-۴- بکارگیری فرم های کانونیکال در گراف متقارن:

تجزیه یک گراف متقارن بر حسب ساختار آن می تواند مبتنی بر سه حالت زیر باشد.

۱. خط یا صفحه تقارن فقط از بعضی از یالها عبور کند.

۲. خط یا صفحه تقارن فقط از بعضی از راسها عبور کند.

۳. خط یا صفحه تقارن از بعضی از یالهای و بعضی از راسها عبور کند.

خط (صفحه) تقارن خطی (صفحه ای) است که گراف را به دو مولفه همبند یکریخت تقسیم می کند. که دو مولفه ای حاصل، مولفه ای متقارن نامیده می شود. مولفه ای که در یک طرف این خط (صفحه) واقع می شود تصویر آینه ای مولفه دیگر است. (خط تقارن را برای گرافهای مسطح و صفحه تقارن را برای گرافهای غیر مسطح بکار می بردیم).

گراف $G = (V, E)$ را متقارن نامند اگر حداقل قابل تفکیک به دو مولفه متقارن باشد.

۴-۱-۱- بکارگیری ماتریسهای فرم یک و دو در گراف:

در تقارن به فرم دو، خط تقارن از یک یا چند یال عبور می کند که به یال هایی که خط تقارن از آن عبور می کند، یال رابط^(۱) گویند. در حقیقت در این دو فرم، دو گراف شبیه به هم نسبت به خط تقارن توسط یال یا یال های رابط به یکدیگر اتصال دارند. در فرم های کانونیکال برچسب گذاری گراف دارای اهمیت خاصی است [۳۷]. چه اگر این برچسب گذاری به درستی رعایت نشود، به فرم کانونیکال مورد نظر نخواهیم رسید. طریقه برچسب گذاری به این صورت می باشد که در یک گراف با R راس، ابتدا یک نیمه می تقارن و سپس نیمه دوم به همان ترتیب نیمه اول با تقارن مستقیم، برچسب گذاری می شود، طوری که اختلاف بین هر دو راس متقارن $\frac{R}{2}$ باشد. در این صورت ماتریس لایلین گراف برچسب گذاری شده به فرم دو خواهد بود، و می توان با اعمال عملیات انجام شده بر روی ماتریس و گراف متناظر آن به مولفه های متقارن گراف رسید، البته این مهم با توجه به زیرماتریس های کاهش یافته امکان پذیر است، و همانطوری که اشاره و اثبات شد ماتریس به فرم دو به دو زیر ماتریس کاهش یافته های G_1 و G_2 بخش بندی می شود. بحث اتمهای گراف را در بخش های بعدی مورد توجه قرار می دهیم. در یک گراف با راس های ساده می توان با تشکیل زیرماتریس های $[H]$ و $[H']$ زیرماتریسهای کاهش یافته های G_1 و G_2 را بدست آورد.

۴-۲- تعیین ماتریس لایلین مولفه های متقارن گراف متقارن در حالت فرم دو:

برای هر گراف متقارن دو نوع ماتریس قابل طرح می باشد.

۱- ماتریس لایلین یکی از مولفه های متقارن

۲- ماتریس تقارن که ماتریسی مربعی $\frac{R}{2} \times \frac{R}{2}$ است به صورت $-1 = a_{ii}$ می باشد اگر راس i ام از

یک مولفه با راس $\frac{R}{2} + i$ مجاور باشد.

اگر ماتریس اول را H و ماتریس دوم را H' نامیده شود مقادیر ویژه گراف را می توان از طریق تعیین مقادیر ویژه دو ماتریس زیر بدست آورد.

^(۱)conjunctive edge

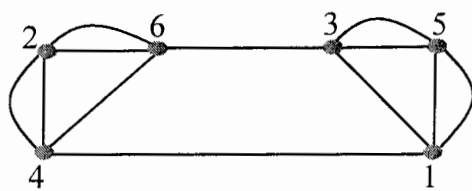
$$G_1 = H + H'$$

$$G_2 = H - H'$$

$$\lambda(G) = \lambda(G_1) \cup \lambda(G_2) \quad \text{زیرا:}$$

با توجه به شکل مدل گراف می‌توان زیرماتریس‌های $[H]$ و $[H']$ را تشکیل داد. این خاصیت هنگامی مفید است که ماتریس اصلی گراف را تشکیل ندهیم. در واقع زیرماتریس $[H]$ یک ماتریس است که شامل راس‌ها و یال‌های یک نیمه است و زیرماتریس $[H']$ شامل راس‌هایی است که توسط یال رابط دو نیمه را به یکدیگر پیوند می‌دهد و چون در ماتریس‌های به فرم یک یال رابطی وجود ندارد این ماتریس برابر صفر می‌باشد. هر چند به جای محاسبه یک ماتریس $R \times R$ ، $(R = 2k)$ با یک ماتریس $\frac{R}{2} \times \frac{R}{2}$ سروکار داریم و محاسبات به نصف کاهش می‌یابد، اما این مشاهده در مورد مسائل با گراف‌های پیچیده‌تر به آسانی میسر نمی‌گردد. بدین لحاظ بحث مولفه‌های متقارن که در بخش‌های بعدی به آن توجه داریم این نقصان را به خوبی مرتفع می‌سازد و اندک محدودیت بیان شده را تحت پوشش قرار می‌دهد. با یک مثال عینی موضوع تبیین شده را روشن می‌کنیم

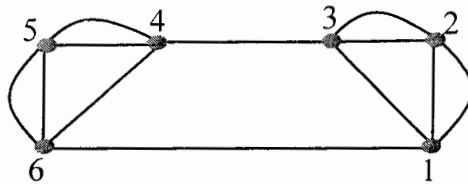
مثال ۴-۴- گراف شکل(۴-۱) دارای ۶ راس می‌باشد که بوسیله‌ی دو یال رابط به همدیگر اتصال دارند. برچسب‌گذاری این گراف بدون رعایت قانون خاصی می‌باشد.



شکل ۴-۱- مدل گراف با برچسب‌گذاری زوج و فرد در هر نیمه ماتریس لaplاسین گراف به صورت زیر تشکیل می‌شود. در ارتباط با تشکیل ماتریس لaplاسین، به طور مثال، راس ۱ با دو یال با راس ۵ در ارتباط است؛ بنابراین در ماتریس حاصله، درایه (۱,۵) دارای مقدار ۲- می‌باشد. راس ۴ با ۴ یال با راس‌های دیگر ارتباط دارد؛ بنابراین در ماتریس حاصله، درایه (۴,۴) مقدار ۴ می‌باشد.

$$L = \left[\begin{array}{ccc|ccc} 4 & 0 & -1 & -1 & -2 & 0 \\ 0 & 4 & 0 & -2 & 0 & -2 \\ -1 & 0 & 4 & 0 & -2 & -1 \\ \hline -1 & -2 & 0 & 4 & 0 & -1 \\ -2 & 0 & -2 & 0 & 4 & 0 \\ 0 & -2 & -1 & -1 & 0 & 4 \end{array} \right]$$

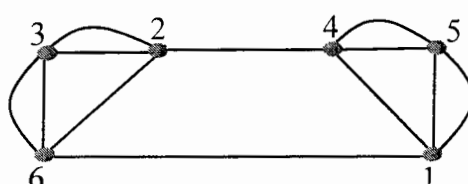
ملاحظه می شود که ماتریس لaplاسین گراف به طور اتفاقی به فرم دو خواهد شد.
باردیگر گراف به گونه ای دیگر برچسب گذاری می شود.



شکل ۲-۴- مدل گراف با برچسب گذاری در جهت خلاف عقربه های ساعت
حال ماتریس لaplاسین گراف را تشکیل می شود.

$$L = \left[\begin{array}{ccc|ccc} 4 & -2 & -1 & 0 & 0 & -1 \\ -2 & 4 & -2 & 0 & 0 & 0 \\ -1 & -2 & 4 & -1 & 0 & 0 \\ \hline 0 & 0 & -1 & 4 & -2 & -1 \\ 0 & 0 & 0 & -2 & 4 & -2 \\ -1 & 0 & 0 & -1 & -2 & 4 \end{array} \right]$$

ماتریس لaplاسین گراف به فرم دو خواهد بود.
برچسب گذاری دیگری انجام می شود.



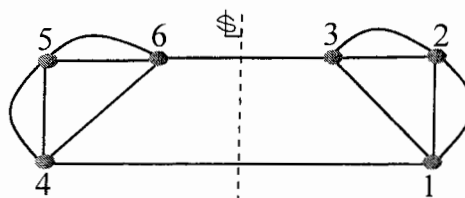
شکل ۳-۴- مدل گراف با برچسب گذاری نامنظم
ماتریس لaplاسین گراف تشکیل می شود.

$$L = \left[\begin{array}{ccc|ccc} 4 & 0 & 0 & -1 & -2 & -1 \\ 0 & 4 & -2 & -1 & 0 & -1 \\ 0 & -2 & 4 & 0 & 0 & -2 \\ \hline -1 & -1 & 0 & 4 & -2 & 0 \\ -2 & 0 & 0 & -2 & 4 & 0 \\ -1 & -1 & -2 & 0 & 0 & 4 \end{array} \right]$$

ماتریس لaplاسین به فرم دو نیست.

علت اینکه ماتریس لaplاسین گراف مورد نظر، در حالت اول تشکیل فرم کانونیکال دوم را داده است، این است که ما در برچسب‌گذاری قاعده‌ی خاصی را رعایت کردیم یعنی در حالت اول، یک نیمه را با برچسب زوج و یک نیمه را با برچسب فرد برچسب‌گذاری کردیم. و در حالت دوم پس از برچسب‌گذاری یک نیمه به طور پاد ساعتگرد نیمه دوم را - به طور متواالی - و در جهت ساعتگرد برچسب‌گذاری کردیم البته این دلیل متقنی برای پاسخ به مساله نیست، بدلیل اینکه در این حالت خاص درجه تمام راسها یکی است در نتیجه چنین وضعیتی حاکم شده است. بررسی گراف دیگری که راسهای آن هم درجه نباشند دلیلی بر تایید بیان مذکور می‌باشد.

حال اگر گراف مورد نظر با توجه به تقارن آینه‌ای برچسب‌گذاری شود که همان خواست مورد نظر می‌باشد گراف و ماتریس حاصله دارای تقارن به فرم دو خواهد بود.



شکل ۴-۴- مدل گراف با تقارن به فرم دو

ماتریس لaplاسین مدل گراف شکل (۴-۴) به صورت زیر بدست می‌آید.

$$L = \left[\begin{array}{ccc|ccc} 4 & -2 & -1 & -1 & 0 & 0 \\ -2 & 4 & -2 & 0 & 0 & 0 \\ -1 & -2 & 4 & 0 & 0 & -1 \\ \hline -1 & 0 & 0 & 4 & -2 & -1 \\ 0 & 0 & 0 & -2 & 4 & -2 \\ 0 & 0 & -1 & -1 & -2 & 4 \end{array} \right]$$

ماتریس لالپاسین به فرم دو خواهد بود. در این حالت اختلاف هر دو برچسب متقارن نصف تعداد کلی برچسبهای گراف می باشد.

می توان بدون تشکیل ماتریس اصلی با توجه به شکل مدل گراف زیرماتریس های $[H]$ و $[H']$ را تشکیل داد. طریقه‌ی بدست آوردن زیرماتریسها به همان طریقی است که در مثال (۱-۴) بیان شد، مقادیر ویژه به کمک نرم افزار مطلب بدست آمده است [۳۸]. که مقادیر ویژه به روش دستی همانند مثال (۱-۴) بدست می آید.

$$L_H = \begin{bmatrix} 4 & -2 & -1 \\ -2 & 4 & -2 \\ -1 & -2 & 4 \end{bmatrix} \quad L_{H'} = \begin{bmatrix} -1 & 0 & 0 \\ 0 & 0 & 0 \\ 0 & 0 & -1 \end{bmatrix}$$

$$L_{G_1} = \begin{bmatrix} 3 & -2 & -1 \\ -2 & 4 & -2 \\ -1 & -2 & 3 \end{bmatrix} \quad L_{G_2} = \begin{bmatrix} 5 & -2 & -1 \\ -2 & 4 & -2 \\ -1 & -2 & 5 \end{bmatrix}$$

$$\lambda_{G_1} = \{ 0, 6, 4 \}, \quad \lambda_{G_2} = \{ 6.8284, 6, 1.1716 \}$$

$$|G_1| = 0, \quad |G_2| = 48, \quad |G| = 0$$

۴-۳-۴- بکارگیری فرم سه در گراف:

در تقارن به فرم سه، خط تقارن از یک یا چند یال و علاوه بر آن از یک یا چند راس عبور می کند که به راس هایی که خط تقارن از آن عبور می کند، راس مرکزی^(۱) می گویند. در حقیقت در این فرم، دو گراف شبیه به هم نسبت به خط تقارن توسط یال یا یال های رابط به یکدیگر اتصال دارند علاوه بر این، راس های متقارن دو نیمه توانایی اتصال به راس های مرکزی را نیز دارند. طریقه‌ی برچسب‌گذاری به این صورت می باشد که ابتدا یک نیمه‌ی متقارن و سپس نیمه‌ی دوم به همان

ترتیب نیمه‌ی اول برچسب‌گذاری می شود، طوری که اختلاف بین هر دو نیمه‌ی متقارن برابر $\frac{R}{2}$

^(۱) center vertex

شود سپس راس های مرکزی برحسب گذاری می شود، منتها در برحسب گذاری راس مرکزی بهتر است این قرار داد رعایت شود که به ترتیب راس های دو نیمه برحسب گذاری کنیم، یعنی به طور مثال اگر راس های دو نیمه از بالا به پایین برحسب گذاری شود، بهتر است که راس های مرکزی نیز به همین ترتیب - از بالا به پایین - برحسب گذاری شود. لازم به یادآوری است که به تعداد راس های مرکزی سطر و ستون به ماتریس فرم دو اضافه می شود و فرم سه را می سازد که در اینجا با q نشان داده شده‌اند. به مثال زیر توجه می کنیم.

۴-۴-۴ - تعیین ماتریس لایلین مولفه های متقارن گراف متقارن، برای حالت ماتریس با فرم سه:

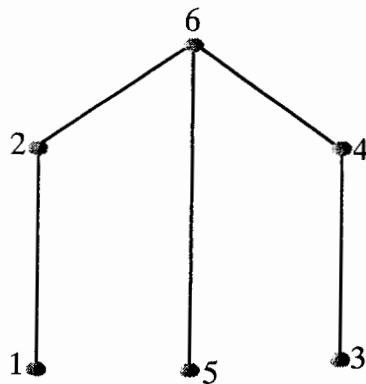
برای هر گراف متقارن دو نوع ماتریس قابل طرح می باشد.

۱- ماتریس لایلین مولفه های متقارن

۲- زیرماتریس تقارن که در بخش ۳-۱ به آن اشاره شده است.

می توان بدون تشکیل ماتریس اصلی و با توجه به شکل مدل گراف زیرماتریس های ماتریس لایلین اصلی را تشکیل داد که این پیگرد با ذکر یک مثال دنبال می شود.
استفاده از زیر ماتریسها باعث می شود که با کاهش درجه معادله میزان همگرایی جوابها افزایش می یابد و دقت مساله بالاتر می رود [۳۹].

مثال ۴-۵-۱- گراف شکل (۴-۵) دارای ۶ گره می باشد، که ۴ گره از دو نیمه متقارن، و ۲ گره، گره مرکزی می باشد. تشکیل ماتریس لایلین گراف و زیرماتریس های کاهش یافته آن و سپس بدست آوردن مقادیر ویژه مطلوب مساله است. روش بدست آوردن ماتریس لایلین L_{G_1} و L_{G_2} به همان طریقی است که در مثال (۳-۴) بیان شد.



شکل ۴-۵- مدل گراف با تقارن به فرم سه

ماتریس لاپلاسین گراف به صورت مقابله می باشد. مقادیر ویژه به کمک نرم افزار مطلب بدست آمده است. برای بدست آوردن مقادیر ویژه به روش دستی به مثال (۱-۴) مراجعه شود.

$$L_G = \left[\begin{array}{cc|cc|cc} 1 & -1 & 0 & 0 & 0 & 0 \\ -1 & 2 & 0 & 0 & 0 & -1 \\ \hline 0 & 0 & 1 & -1 & 0 & 0 \\ 0 & 0 & -1 & 2 & 0 & -1 \\ \hline 0 & 0 & 0 & 0 & 1 & -1 \\ 0 & -1 & 0 & -1 & -1 & 3 \end{array} \right]$$

$$L_{G_2} = \begin{bmatrix} 1 & -1 \\ -1 & 2 \end{bmatrix} \quad \lambda_{G_2} = \{ 2.6180, 0.3820 \}$$

$$L_{G_3} = \begin{bmatrix} 1 & -1 & 0 & 0 \\ -1 & 2 & 0 & -1 \\ 0 & 0 & 1 & -1 \\ 0 & -2 & -1 & 3 \end{bmatrix} \quad \lambda_{G_3} = \{ 0, 4.3028, 2, 0.6972 \}$$

$$\lambda_G = \{ 0, 4.3028, 2.6180, 2, 0.6972, 0.3820 \}$$

$$\lambda_G = \lambda_{G_2} \cup \lambda_{G_3}$$

$$\lambda_{\min} = 0 \leq \lambda \leq \lambda_{\max} = 4.3028$$

در گرافهای با تقارن به فرم سه کران بالا و پایین مقدار ویژه همواره در زیرماتریس کاهشی - یافته‌ی G_3 قرار می‌گیرد.

می‌توان با توجه به مدل گراف و بدون تشکیل ماتریس اصلی با استفاده از زیرماتریس‌های ماتریس اصلی ماتریس لایلین را تشکیل داد و مقادیر ویژه را بدست آورد.

$$L_H = \begin{bmatrix} 1 & -1 \\ -1 & 2 \end{bmatrix} \quad L_{H'} = \begin{bmatrix} 0 & 0 \\ 0 & 0 \end{bmatrix} \quad L_F = \begin{bmatrix} 0 & 0 \\ 0 & -1 \end{bmatrix} \quad L_S = \begin{bmatrix} 0 & 0 \\ 0 & -1 \end{bmatrix} \quad L_U = \begin{bmatrix} 1 & -1 \\ -1 & 3 \end{bmatrix}$$

در واقع ماتریس H ماتریس گره‌های یک نیمه است. ماتریس H' ماتریس ارتباط دو نیمه‌ی متقارن به غیر از ارتباط نیمه‌ها با گره‌های مرکزی می‌باشد. ماتریس F ماتریسی است که ارتباط گره‌های نیمه‌ی اول با گره‌های مرکزی می‌باشد و ماتریس S ماتریسی است که ارتباط گره‌های نیمه‌ی دوم با گره مرکزی می‌باشد و نهایتاً ماتریس U ماتریس گره‌های مرکزی می‌باشد.

$$L_{G_2} = L_H - L_{H'} = \begin{bmatrix} 1 & -1 \\ -1 & 2 \end{bmatrix}$$

$$L_{G_3} = \begin{bmatrix} [H] + [H'] & [F] \\ [2S] & [U] \end{bmatrix} = \begin{bmatrix} 1 & -1 & 0 & 0 \\ -1 & 2 & 0 & -1 \\ 0 & 0 & 1 & -1 \\ 0 & -2 & -1 & 3 \end{bmatrix}$$

در واقع به جای حل یک ماتریس با ابعاد 6×6 سروکار مساله برای بدست آوردن مقدار ویژه با دو ماتریس 2×2 و 4×4 است و حتی برای یافتن حداقل مقدار ویژه، سروکار مساله با یک ماتریس 4×4 است. بنابراین با توجه به اینکه حجم عملیات با ماتریس 4×4 به مراتب از یک ماتریس 6×6 کمتر است، می‌توان از تقارن برای کاهش حجم راه حل مساله استفاده کرد که البته این مهم در ماتریسها با ابعاد بالاتر اهمیت قابل ملاحظه‌ای دارد. با وجوداین همان دلیلی که در ماتریس‌های به فرم دو آورده شد برای ماتریس‌های به فرم سه نیز صادق است. بنابراین نیاز به اتمهای گراف در هر دو فرم به خوبی احساس می‌شود.

در تقارن به فرم سه اگر ارتباط دو نیمه‌ی متقارن با گره‌های مرکزی مشابه هم باشد، دو ماتریس یکسان F تشکیل می‌شود. البته، این توجه از آن جهت حائز اهمیت است که در فصول پایانی رساله چنین حالتی در ماتریس لایلین سازه تشکیل می‌شود..

۴-۵- نحوه تجزیه گراف متقارن به مولفه های متقارن :

هر گرافی که دارای تقارن باشد از خط تقارنش پارش^(۱) یافته و قابل تجزیه به دو مولفه^(۲) است که در نهایت به دو مولفه های متقارن کاهش می یابد.

اگر مولفه های متقارن خود دارای تقارن باشند مجدداً به دو مولفه تجزیه می شوند. کوچکترین مولفه در این فرایند را، هسته یا اتم^(۳) گراف متقارن می نامیم.

هر افزار از ماتریس اصلی به صورت زیرماتریسها، با نماد L_{G_G} نشان داده می شود که در آن G گراف اصلی و G_1 یک مولفه متقارن آن است.

تشکیل مولفه های متقارن در تقارن به فرم دو به اینصورت است که با توجه به خط تقارن يالهای رابط به دو نیمه پارش می یابد؛ سپس يالهای رابط از یک نیمه هی متقارن حذف و مولفه متقارن G_1 حاصل می شود. در مرحله هی بعد، کلیه يالهای رابط، به صورت خود- حلقه به نیمه هی دیگر در همان راس انتهایی وارد می شود؛ مولفه متقارن G_2 حاصل می شود.

راس توخالی، راسی است که در گراف برچسب گذاری نمی شود ولی به راسهای گراف اتصال دارد. تشکیل مولفه های متقارن در تقارن به فرم سه به این صورت است که خط تقارن با مقدار کوچک ϵ (اپسیلون) از راس هایی که خط تقارن از آنها می گذرد فاصله گرفته و از آنجا گراف به دو نیمه پارش می یابد. یعنی خط تقارن به اندازه هی مقدار کوچک ϵ ، سمت چپ راس های روی خط تقارن می باشد. به ازای هر راس که روی خط تقارن است یک راس توخالی ترسیم می شود که در نتیجه مولفه متقارن G_2 حاصل می شود. در نیمه هی متقارن پارش یافته هی دوم یک یال یک سویه از راسهایی که خط تقارن از آنها می گذرد (راسهای مرکزی)، به راسهایی که در نیمه هی متقارن G_2 به راسهای روی خط تقارن وصل بود ترسیم می شود. سپس همانند فرم دو، به ازای هر یال یک خود- حلقه به نیمه هی سمت چپ وارد می شود و ازنیمه هی سمت راست یعنی مولفه G_3 برداشته می شود. به این صورت مولفه های متقارن در تقارن به فرم سه بدست می آیند

^(۱) fragment

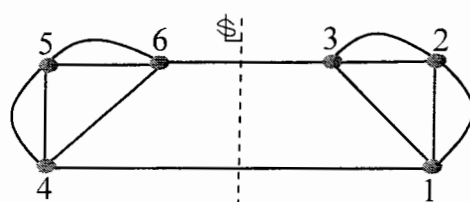
^(۲) component

^(۳) atom

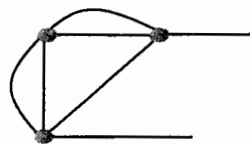
مثال ۴-۶-۱- مدل گراف شکل (۴-۶-الف) را در نظر بگیرید، بدست اوردن مولفه های متقارن این

مدل گراف را بدست آورید. این گراف دارای تقارن به فرم دو است.

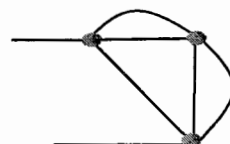
با توجه به توضیحات مشروحه در همین بخش، ابتدا مدل گراف از خط تقارن پارش می یابد.



(الف)



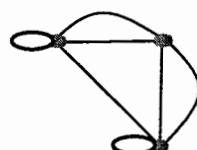
(ج)



(ب)

شکل ۴-۶-(الف) مدل گراف با تقارن به فرم دو (ب) و (ج) نیمه های متقارن پارش یافته

و به دو مولفه های متقارن G_1 و G_2 کاهش می یابد. (تقارن به فرم دو)



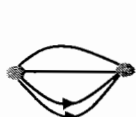
(ب)



(الف)

شکل ۴-۷-۱-(الف) مولفه متقارن G_1 (ب) مولفه متقارن G_2

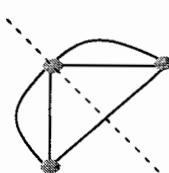
مولفه های متقارن G_1 و G_2 خود به دو مولفه متقارن کاهش می یابند. (تقارن به فرم سه)



(ج)

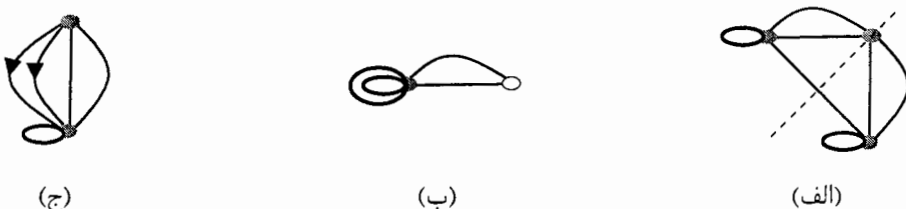


(ب)



(الف)

شکل ۴-۸-۱-(الف) مولفه متقارن G_1 (ب) اتم $G_{G_1 G_2}$ (ج) اتم $G_{G_1 G_3}$



شکل ۴-۹-۶- (الف) مولفه متقارن G_2 (ب) اتم $G_{G_2 G_3}$ (ج) اتم $G_{G_1 G_3}$

ماتریس لaplاسین اتمهای گراف شکل (۴-۶-الف) به صورت زیر می باشند. به عنوان مثال

زیرماتریس اتم G_2 است که در آن گراف اصلی و G_1 مولفه متقارن و در نهایت G_3 یکی از اتمهای مولفه G_2 می باشد؛ در این رابطه در مدل گراف متناظر، شکل (۴-۸-ب) یک راس دارد که چهار یال به آن اتصال دارد، در نتیجه ماتریس لaplاسین متناظر با آن یک ماتریس 1×1 می باشد که درایه نظیر آن دارای مقدار عددی ۴ می باشد.

$$L_{G_{G_2}} = [4] \quad \lambda = \{4\}$$

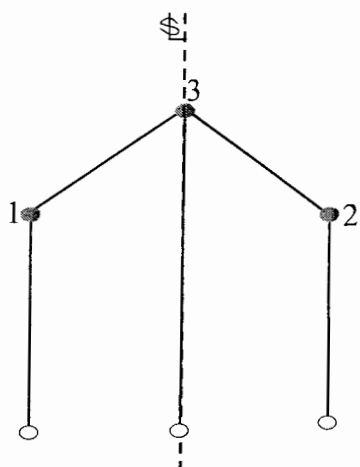
$$L_{G_{G_1 G_3}} = \begin{bmatrix} 2 & -2 \\ -4 & 4 \end{bmatrix} \quad \lambda = \{0, 6\}$$

$$L_{G_{G_1 G_3}} = [6] \quad \lambda = \{6\}$$

$$L_{G_{G_1 G_3}} = \begin{bmatrix} 4 & -2 \\ -4 & 4 \end{bmatrix} \quad \lambda = \{6.8284, 1.1716\}$$

لازم به یادآوری است که هر مولفه متقارن به صورت یک اندیس در کنار گراف مورد نظر خود نوشته می شود. همانطوری که ملاحظه می شود به جای حل یک ماتریس 6×6 با ماتریس های 2×2 و 1×1 سروکار داریم و این یعنی حجم محاسبه ای ما $1/6$ و $1/3$ برابر کم می شود. به مثال دیگری توجه کنید.

مثال ۷-۴ - گراف شکل (۱۰-۴) را در نظر بگیرید. این گراف دارای تقارن به فرم سه می باشد. این گراف دارای سه راس توخالی می باشد که برچسب گذاری نمی شود. اتمهای این مدل گراف بدست آورده و ماتریس لaplاسین متناظر را در هر مرحله محاسبه نمایید.



شکل ۱۰-۴- مدل گراف با تقارن به فرم سه

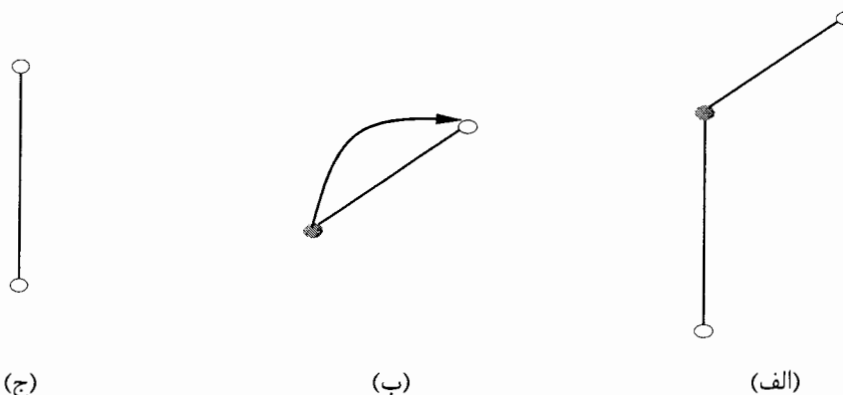
با توجه به توضیحات مشرووحه در ابتدای این بخش، ابتدا مدل گراف از خط تقارن پارش می-یابد، در فرم سه خط تقارن با مقدار حدی بسیار کوچکی از نیمه‌ی سمت چپ پارش می‌یابد یعنی در این فرم خط تقارن به اندازه‌ی ۶ از گره‌ها فاصله دارد و تنها یال‌ها را قطع می‌کند.



شکل ۱۱-۴- (الف) و (ب) دونیمه‌ی متقارن پارش یافته

و به دو مولفه متقارن G_2 و G_3 کاهش می‌یابد. (تقارن به فرم سه).

مولف متقارن G_2 به یک اتم کاهش می‌یابد. مولفه متقارن G_3 خود، اتم می‌باشد و به مولفه‌ی متقارن دیگری کاهش نمی‌یابد.



شکل ۱۲-۴(الف) مولفه متقارن G_2 (ب) اتم $G_{G_2 G_3}$ (ج)

ماتریس لaplاسین اتمهای شکل (۱۰-۴) به صورت زیر میباشد. طریقه بدست آوردن زیرماتریسها به همان طریقی است که در مثال ۶-۴ آورده شده است.

$$L_{G_{G_2 G_3}} = [2] \quad \lambda = \{2\}$$

$$L_{G_{G_3}} = \begin{bmatrix} 3 & -2 \\ -1 & 2 \end{bmatrix} \quad \lambda = \{ 4, 1 \}$$

$$L_G = \begin{bmatrix} 2 & 0 & -1 \\ 0 & 2 & -1 \\ -1 & -1 & 3 \end{bmatrix} \quad \lambda = \{ 4, 2, 1 \}$$

فصل

کاربرد ماتریس لایپلاسین در
گرافهای مرکب با تقارن به فرم

دو و سه

۵

۱-۵- مقدمه:

در فصل چهارم درباره ماتریس لایلین گراف بحث شد و نحوه ارتباط و استفاده آنها در تحلیل ماتریسی نشان داده شد. در تحلیل پایداری سازه ها، سازه هایی که بدون تغییر مکان محوری هستند مطرح است [۴۰، ۵۱] ، دو انتهای المان (المانهای تیر و ستون) این قابها، دارای دو نوع درجه آزادی، یک درجه آزادی انتقالی و یک درجه آزادی دورانی می باشد. در این رساله، به صورت کاملاً ابتکاری، برای درنظر گرفتن این دو درجه آزادی مدل گراف متناظر با یک قاب مفصلی (بدون تغییر مکان محوری)، به صورت یک گراف مرکب نشان داده است. این نوع گراف می تواند توصیف کننده بسیار مناسبی برای قابهای مذکور باشد. در ذیل ابتدا اقدام به تعریف این نوع گرافها و ویژگیهای آن می نماییم.

۲-۵- گراف های مرکب^(۱):

همانطوری که در مقدمه ذکر شد در رساله حاضر با توجه به لزوم، اقدام به تعریف نوعی گراف، موسوم به گراف مرکب می نماییم. برای تعریف گراف های مرکب با مفاهیمی جدید آشنا می شویم و بدین جهت ناگزیر از تعریف راسی خاص می باشیم که این راس خاص رهیافتی تازه برای حل مسائل، در اختیار ما قرار می دهد. یک راس مرکب، متشکل از دو راس تودر تو می باشد، این راس مرکب متناظر با دو درجه آزادی دورانی و انتقالی در المانهای قاب می باشد بدین لحاظ مدل گراف مرکب توصیف بسیار مناسبتری از یک قاب را نسبت به گراف معمولی متناظر با قاب ارائه می دهد.

^(۱) combined graph

۱-۲-۵- راس مرکب^(۳):

راس V_i را مرکب گوییم که:

- متشکل از دو راس همچوار i, j باشد.

- همچواری بین این دو راس به صورت همچواری درونی است و این همچواری همواره وجود دارد.

نمایش یک راس مرکب که متشکل از دو راس j, i میباشد، در شکل (۱-۵) نشان داده شده است.



شکل ۱-۵- نمایش یک راس مرکب

۱-۱-۲-۵- همچواری درونی^(۳): ارتباط بین دو راس تشکیل دهنده یک راس مرکب را

همچواری درونی نامیم.

ماتریس لaplاسین بدون وزن برای گراف مرکب $G = (V, E)$ به صورت زیر تعریف میشود:

$$L = \begin{cases} d_j + 1 & j = k \text{ &} \\ 1 & i = j \\ -1 & j \neq k \text{ &} \\ 0 & j \neq k \text{ &} \end{cases} \quad (1-5)$$

برچسب‌گذاری راس به این صورت میباشد که i راس خارجی و j راس داخلی میباشد راس i همچواری بیرونی با راس j دارد. طریقه‌ی برچسب‌گذاری با تعریف (۸-۳) نیز به روشنی سازگار است. با توجه به رابطه‌ی (۱-۵) و (۸-۳) نمایش ماتریسی راس مرکب به صورت ذیل میباشد.

^(۳) combined vertex

^(۴) internal adjacency

l_2

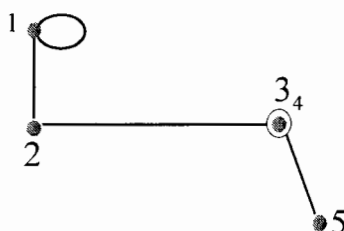
$$L_{1,1} = 1 \quad L_{1,2} = -1$$

$$L_{2,1} = -1 \quad L_{2,2} = 1$$

$$L = \begin{bmatrix} 1 & 2 \\ 1 & -1 \\ -1 & 1 \end{bmatrix} \begin{matrix} 1 \\ 2 \end{matrix}$$

۲-۲-۵ گراف مرکب: گرافی را که دارای حداقل یک راس مرکب باشد، یک گراف مرکب نامیم. در گراف قبلی هر راس محل اتصال یک یال است، اما در گراف مرکب یال با راس مرکب، ارتباط ویژه‌ای را بوجود می‌آورد که در بخش‌های بعدی رساله، مطرح می‌گردد.

مثال ۱-۵ مدل گراف مرکب شکل(۲-۵) را در نظر بگیرید که با ۵ شماره برچسب‌گذاری شده است. این مدل گراف یک حلقه در راس ۱ و یک راس مرکب که با برچسب‌گذاری 3_4 مشخص شده را شامل می‌شود.



شکل ۲-۵- مدل گراف مرکب

ماتریس لایپلین این گراف به صورت ذیل می‌باشد. برای نمونه ماتریس لایپلین متناظر راس داخلی راس مرکب 3_4 ، به این صورت می‌باشد که راس ۳ با راس ۱ هم‌جوار نیست، در نتیجه درایه-۰=(۱,۳) است. راس مذکور با راس ۲ و ۵ توسط یک یال هم‌جوار شده است و با راس ۴ هم‌جواری درونی دارد. در نتیجه درایه‌های (۲,۳)، (۳,۴) و (۵,۳) از ماتریس لایپلین دارای مقدار عددی ۱- می‌باشند و از آنجایی که راس ۳، با راسهای ۲، ۴ و ۵ هم‌جواری دارد، درایه‌ی ماتریسی $3=(3,3)$ می‌باشد.

$$L = \begin{bmatrix} 1 & 2 & 3 & 4 & 5 \\ 3 & -1 & 0 & 0 & 0 \\ -1 & 2 & -1 & 0 & 0 \\ 0 & -1 & 3 & -1 & -1 \\ 0 & 0 & -1 & 1 & 0 \\ 0 & 0 & -1 & 0 & 1 \end{bmatrix}$$

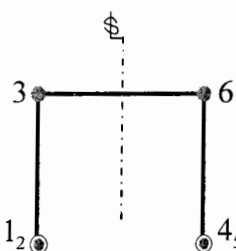
راس مرکب برتری های بالقوه ای را برای ما آشکار می سازد و خواسته های ما را در بسیاری از مسایل مرتفع می سازد.

اینک به بررسی این مهم، در تقارن های دو و سه می پردازیم که در پیشبرد کار پژوهه گذرهای برای رسیدن به هدف اصلی فراهم می آورد.

۳-۵- تقارن به فرم دو:

در این قسمت سعی بر آن است که وضعیت گراف مرکب، زمانی که نسبت به خط تقارن پارش می یابد را تحد مطلوبی برآورده ساخته در این خصوص نمونه مثالهایی از تقارن بررسی می شود.

مثال ۲-۵- گراف مرکب شکل (۳-۵) را در نظر بگیرید، این گراف تا ۶ شماره برچسب گذاری می شود و دو انتهای گراف دارای راس مرکب است. ویال رابط آن یال ۳_۶ می باشد.



شکل ۳-۵- یک گراف مرکب متقارن G با ۲ راس مرکب و ۳ یال

ماتریس لaplاسین متناظر این گراف به صورت زیر می باشد. طریقه‌ی بدست آوردن ماتریس لaplاسین به همان صورتی است که در مثال (۱-۵) به اختصار بیان شد.

$$L_G = \begin{bmatrix} 2 & -1 & -1 & 0 & 0 & 0 \\ -1 & 1 & 0 & 0 & 0 & 0 \\ -1 & 0 & 2 & 0 & 0 & -1 \\ 0 & 0 & 0 & 2 & -1 & -1 \\ 0 & 0 & 0 & -1 & 1 & 0 \\ 0 & 0 & -1 & -1 & 0 & 2 \end{bmatrix}$$

آن طورکه از ماتریس لپلاسین گراف مشهود است این ماتریس دارای تقارن به فرم دو می باشد
چنانچه این تقارن در مدل گراف متناظر ماتریس نیز مشهود است. زیرماتریس های کاهش یافته این گراف به صورت زیر می باشد:

$$L_{G_1} = L_H + L_{H'} = \begin{bmatrix} 2 & -1 & -1 \\ -1 & 1 & 0 \\ -1 & 0 & 1 \end{bmatrix}, \quad L_{G_2} = L_H + L_{H'} = \begin{bmatrix} 2 & -1 & -1 \\ -1 & 1 & 0 \\ -1 & 0 & 3 \end{bmatrix}$$

بدست آوردن تمامی این مقادیر ویژه با استفاده از نرم افزار *MATLAB* حاصل شده است.

$$\lambda(G) = \{ 0, 3.7321, 3, 2, 1, 0.2679 \}$$

$$\lambda(G_1) = \{ 0, 3, 1 \}$$

$$, \quad \lambda(G_2) = \{ 3.7321, 2, 0.2679 \}$$

$$\lambda(G) = \lambda(G_1) \cup \lambda(G_2)$$

همانطوری که ملاحظه می شود کران پایین مقدار ویژه در گراف های مرکب در G_1 و کران بالای

آن در G_2 قرار می گیرد.

$$\lambda_{\min} = 0 \leq \lambda \leq \lambda_{\max} = 3.7321$$

يعني

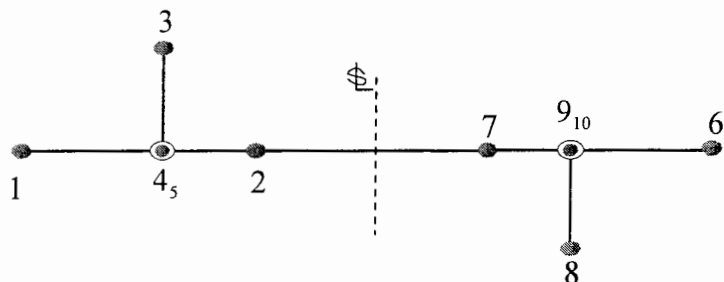
البته این نتیجه در مورد گراف های بی وزن همواره صادق می باشد. اما در گراف های وزن دار [۵] که در بخش دوم در فصل شش و هشت مطرح می شود بسته به ماتریس وزنی وارد در یالی که خط تقارن آن را قطع می کند، کران بالا و پایین مقدار ویژه در زیر ماتریس های حاصله وضعیت متفاوتی را دنبال می کند.

ذکر این نکته ضروری است که:

- ترتیب بر چسب‌گذاری در گراف مرکب، همان روند برچسب‌گذاری در گراف با راسهای معمول می‌باشد.

اینک مثال دیگری مورد بررسی قرار می‌گیرد.

مثال ۳-۵- گراف شکل (۴-۵) دارای دو راس مرکب $4_{10}, 9_{10}$ و یال رابط $7-2$ می‌باشد که خط تقارن از آن عبور می‌کند. با دقت در پلان مدل گراف شکل (۴-۵) دریافت می‌شود که یال $9_{10}-8$ در جهت موازی با یال $4-3$ و تنها در جهت مخالف یال $4-3$ می‌باشد. و در حقیقت مدل گراف دارای تقارن به فرم دو است.



شکل ۴-۵- گراف مرکب با دو راس مرکب

ماتریس لaplسین گراف با ترتیب برچسب‌گذاری در مدل فوق به صورت زیر می‌باشد:

$$L_G = \left[\begin{array}{cccccc|cccccc} 1 & 0 & 0 & -1 & 0 & 0 & 0 & 0 & 0 & 0 \\ 0 & 2 & 0 & -1 & 0 & 0 & -1 & 0 & 0 & 0 \\ 0 & 0 & 1 & -1 & 0 & 0 & 0 & 0 & 0 & 0 \\ -1 & -1 & -1 & 4 & -1 & 0 & 0 & 0 & 0 & 0 \\ \hline 0 & 0 & 0 & -1 & 1 & 0 & 0 & 0 & 0 & 0 \\ 0 & 0 & 0 & 0 & 0 & 1 & 0 & 0 & -1 & 0 \\ 0 & -1 & 0 & 0 & 0 & 0 & 2 & 0 & -1 & 0 \\ 0 & 0 & 0 & 0 & 0 & 0 & 0 & 1 & -1 & 0 \\ 0 & 0 & 0 & 0 & 0 & -1 & -1 & -1 & 4 & -1 \\ 0 & 0 & 0 & 0 & 0 & 0 & 0 & 0 & -1 & 1 \end{array} \right]$$

زیرماتریس های کاهش یافته گراف فوق به صورت زیر می باشد:

$$L_{G_1} = \begin{bmatrix} 1 & 0 & 0 & -1 & 0 \\ 0 & 1 & 0 & -1 & 0 \\ 0 & 0 & 1 & -1 & 0 \\ -1 & -1 & -1 & 4 & -1 \\ 0 & 0 & 0 & -1 & 1 \end{bmatrix} \quad L_{G_2} = \begin{bmatrix} 1 & 0 & 0 & -1 & 0 \\ 0 & 3 & 0 & -1 & 0 \\ 0 & 0 & 1 & -1 & 0 \\ -1 & -1 & -1 & 4 & -1 \\ 0 & 0 & 0 & -1 & 1 \end{bmatrix}$$

مقادیر ویژه ماتریس L_G , L_{G_1} و L_{G_2} را بدست آورید.

$$\lambda_G = \{5.1774, 5, 2.6784, 1, 1 + 0.0000i, 1 - 0.0000i, 0.1442\}$$

$$\lambda_{G_1} = \{0, 5, 1 + 0.0000i, 1 - 0.0000i, 1\},$$

$$\lambda_{G_2} = \{5.1774, 2.6784, 1, 1, 0.1442\}$$

$$\lambda_{\min} = 1 - 0.i \leq \lambda \leq \lambda_{\max} = 5.1774$$

برای این دسته از گرافها، می توان از همان ابتدا مقادیر ماتریسی $[H]$ و $[H']$ را با توجه به روابط $(2-4)$, $(3-4)$, $(4-4)$ و $(5-4)$ بخش $(1-4)$ بدست آورد و بدون محاسبه ماتریس کلی، ماتریس-های G_1 و G_2 را محاسبه نمود.

$$L_H = \begin{bmatrix} 1 & 0 & 0 & -1 & 0 \\ 0 & 1 & 0 & -1 & 0 \\ -1 & -1 & 4 & -1 & -1 \\ 0 & 0 & -1 & 1 & 0 \\ 0 & 0 & 0 & -1 & 1 \end{bmatrix}, \quad L_{H'} = \begin{bmatrix} 0 & 0 & 0 & 0 & 0 \\ 0 & -1 & 0 & 0 & 0 \\ 0 & 0 & 0 & 0 & 0 \\ 0 & 0 & 0 & 0 & 0 \\ 0 & 0 & 0 & 0 & 0 \end{bmatrix}$$

$$L_{G_1} = L_H + L_{H'} = \begin{bmatrix} 1 & 0 & 0 & -1 & 0 \\ 0 & 1 & 0 & -1 & 0 \\ 0 & 0 & 1 & -1 & 0 \\ -1 & -1 & -1 & 4 & -1 \\ 0 & 0 & 0 & -1 & 1 \end{bmatrix}$$

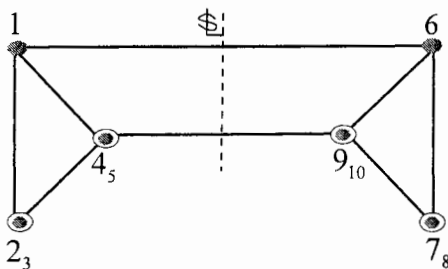
$$L_{G_2} = L_H + L_{H'} = \begin{bmatrix} 1 & 0 & 0 & -1 & 0 \\ 0 & 3 & 0 & -1 & 0 \\ 0 & 0 & 1 & -1 & 0 \\ -1 & -1 & -1 & 4 & -1 \\ 0 & 0 & 0 & -1 & 1 \end{bmatrix}$$

که مقادیر ویژه به همان ترتیب بدست می آید.

۳-۱-۳- مولفه های متقارن گراف مرکب در فرم دو:

خاصیت مهمی که یک گراف مرکب نیز آن را دنبال می کند، مولفه های متقارن این گراف می باشد. که در گسترده وسیعی از مسایل کاربردی اهمیت خود را آشکار می سازد. این امر، زمانی توانایی خود را میسر می سازد که ماتریس لایپلین متناظر مولفه متقارن و در نهایت اتم- در حل مسئله مورد نظر به همراه مدل گرافش- به کار رود. این پنهانه، از آن جهت شاخص است که در تحلیل این گرافها و زیرماتریس های متناظر تنها نیمی از مدل تکامل یافته، تحلیل می شود و محاسبات ما به نصف کاهش می یابد و در نتیجه جستجوی زمانی در رسیدن به جواب کاهش می یابد و در زمان صرفه جویی را خواهیم داشت که در محاسبات کامپیوترا اهمیت قابل ملاحظه ای دارد. مثال دیگری مورد بررسی قرار می گیرد.

مثال ۴-۵-۵ گراف شکل (۵-۵) دارای چهار راس مرکب و دو راس غیر مرکب می باشد. که خط تقارن از راس های 4_5 - 9_{10} , $1-6$, 2_3 - 7_8 می گذرد. در این مثال قصد داریم مقایسه ای روشن بین آنچه در گراف اصلی اتفاق می افتد و آنچه در مولفه متقارن آن بدست می آوریم انجام دهیم. تا به تکرار دیدگاهی تازه در مورد راس مرکب در گرافهای با تقارن به فرم دو متوجه شویم.



شکل ۵-۵-۵-۵ گراف مرکب، با چهار راس مرکب و دو راس غیر مرکب

ماتریس لaplاسین مدل گراف نشان داده شده به صورت زیر می باشد:

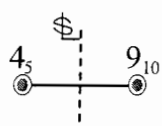
$$L_G = \left[\begin{array}{cccccc|cccccc} 3 & -1 & 0 & -1 & 0 & -1 & 0 & 0 & 0 & 0 \\ -1 & 3 & -1 & -1 & 0 & 0 & 0 & 0 & 0 & 0 \\ 0 & -1 & 1 & 0 & 0 & 0 & 0 & 0 & 0 & 0 \\ -1 & -1 & 0 & 4 & -1 & 0 & 0 & 0 & -1 & 0 \\ 0 & 0 & 0 & -1 & 1 & 0 & 0 & 0 & 0 & 0 \\ -1 & 0 & 0 & 0 & 0 & 3 & -1 & 0 & -1 & 0 \\ 0 & 0 & 0 & 0 & 0 & -1 & 3 & -1 & -1 & 0 \\ 0 & 0 & 0 & 0 & 0 & 0 & -1 & 1 & 0 & 0 \\ 0 & 0 & 0 & -1 & 0 & -1 & -1 & 0 & 4 & -1 \\ 0 & 0 & 0 & 0 & 0 & 0 & 0 & -1 & 1 & 1 \end{array} \right]$$

مقدار ویژه ماتریس لaplاسین به صورت زیر می باشد:

$$\lambda_G = \{ 5.8477, 4.6615, 4.3028, 3.6180, 2.3019, 1.3820, 0.7806, 0.6972, 0.4083, 0 \}$$

ماتریس لaplاسین یالی که راس های دو طرف آن راس مرکب باشد و خط تقارن از آن عبور می کند

در شکل زیر نشان داده شده است.



$$L = \begin{bmatrix} 2 & -1 & 0 & 0 \\ -1 & 1 & 0 & 0 \\ -1 & 0 & 2 & -1 \\ 0 & 0 & -1 & 1 \end{bmatrix}$$

۲-۳-۵- مولفه های متقارن:

آنچه در اینجا نسبت به گرافهای با راسهای معمول مورد توجه است، این است که اگر خط تقارن یال رابط متصل به راس مرکب را قطع کند، یک خود- حلقه^(۱) به راس داخلی در مولفه متقارن G_2 وارد می شود. خاطر نشان می کنیم که راس مرکب در مولفه متقارن G_1 ، پذیرای هیچ یالی نسبت به خط تقارن نمی باشد.

مثال ۵-۵- در این مثال با استفاده از مولفه های متقارن گراف شکل (۵-۵) مقادیر ویژه حاصل می شوند.



شکل ۵-۶- (الف) مولفه متقارن G_1 - (ب) مولفه متقارن G_2

ماتریس لاپلاسین کاهش یافته گراف G_1 :

$$L_{G_1} = \begin{bmatrix} 2 & -1 & 0 & -1 & 0 \\ -1 & 3 & -1 & -1 & 0 \\ 0 & -1 & 1 & 0 & 0 \\ -1 & -1 & 0 & 3 & -1 \\ 0 & 0 & 0 & -1 & 1 \end{bmatrix}$$

ماتریس لاپلاسین کاهش یافته گراف G_2 :

^(۱) self-loop

$$L_{G_2} = \begin{bmatrix} 4 & -1 & 0 & -1 & 0 \\ -1 & 3 & -1 & -1 & 0 \\ 0 & -1 & 1 & 0 & 0 \\ -1 & -1 & 0 & 5 & -1 \\ 0 & 0 & 0 & -1 & 1 \end{bmatrix}$$

مقادیر ویژه ماتریس لایلین کاهش یافته G_1 و G_2 به صورت زیر می باشد:

$$\lambda_{G_1} = \{ 4.3028, 3.6180, 1.3820, 0.6972, 0 \}$$

$$\lambda_{G_2} = \{ 0.4083, 0.7806, 2.3019, 4.6615, 5.8477 \} \Rightarrow \lambda_G = \lambda_{G_1} \cup \lambda_{G_2}$$

- همانطوری که ملاحظه می شود می توان بدون در نظر گرفتن ماتریس لایلین کلی، یا در نظر گرفتن ماتریس های $[H]$ و $[H']$ ، با استفاده از مولفه متقارن و ماتریس لایلین کاهش یافته اش مقدار ویژه را بدست آورد.

برداشت دیگری که از ماتریس لایلین کاهش یافته می توان داشت این است که λ_{\min} در مولفه متقارن G_1 از ماتریس لایلین مولفه متقارن و λ_{\max} در مولفه متقارن G_2 از ماتریس لایلین کاهش یافته این زیرگراف حاصل می شود. همانطوری که می دانیم کران بالا و پایین در بسیاری از مسائل مهندسی از اهمیت خاصی برخوردار است. به عنوان مثال "در رشته مهندسی برق و مهندسی پزشکی حداکثر و حداقل پالس یا سیگنال فرستاده شده در چه محدوده ای می تواند باشد؟" چنین برداشتی به طور شهودی نیز قابل دریافت می باشد یعنی از مولفه متقارن مشهود است که: از نظر تعداد یال ها مولفه متقارن G_2 حجم بیشتری را دارا می باشد و در نتیجه یکی از ریشه های $|G_2| = 0$ مانند مقدار ویژه را دارا می باشد. و به همین دلیل $|G_1| = 0$ مینیمم مقدار ویژه را دارا می باشد.

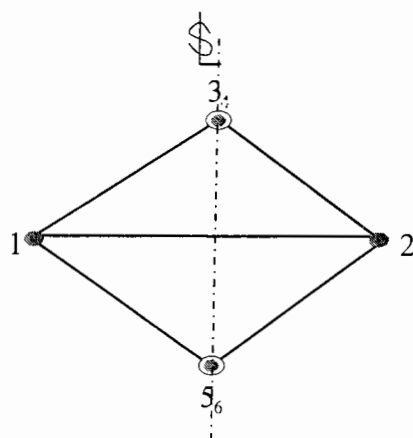
۴-۵- تقارن به فرم سه در گراف مرکب:

همانطوری که می دانیم، خط تقارن در این فرم، از راس ها^(۱) می گذرد، علاوه بر راس ها، خط تقارن از یال رابط نیز عبور می کند.

^(۱) vertex

در گراف مرکب خط تقارن علاوه بر راس های ساده و یال ها، از راس مرکب عبور می کند. بر چسب گذاری مدل، بر اساس بر چسب گذاری گراف های با راس های ساده در فرم سه می باشد، اما در اینجا مولفه ها کمی متفاوت عمل می کنند که تشریح می شود.

مثال ۵-۶- گراف زیر دارای تقارن به فرم سه می باشد، که خط تقارن از دو راس مرکب 3_4 و 5_6 و یال رابط ۲ - ۱ می گذرد.



شکل ۷-۵- گراف مرکب با تقارن به فرم سه

ماتریس لaplاسین گراف به صورت زیر قابل محاسبه است:

$$L_G = \begin{bmatrix} 3 & -1 & -1 & 0 & -1 & 0 \\ -1 & 3 & -1 & 0 & -1 & 0 \\ -1 & -1 & 3 & -1 & 0 & 0 \\ 0 & 0 & -1 & 1 & 0 & 0 \\ -1 & -1 & 0 & 0 & 3 & -1 \\ 0 & 0 & 0 & 0 & -1 & 1 \end{bmatrix}$$

مقادیر ویژه ماتریس لaplاسین مدل به صورت زیر می باشد:

$$\lambda_{G_i} = \{ 0, 4.7321, 4.0000, 3.4142, 1.2679, 0.5858 \}$$

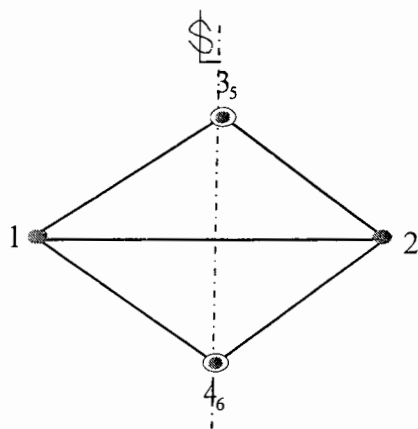
زیر ماتریس کاهش یافته‌ی این گراف به صورت زیر می باشد:

$$L_{G_2} = L_H - L_{H'} = [H] - [H'] = [4] \quad , \quad L_{G_3} = \begin{bmatrix} [H] + [H'] & [F] \\ [2S] & [U] \end{bmatrix} =$$

$$\begin{bmatrix} 2 & -1 & 0 & -1 & 0 \\ -2 & 3 & -1 & 0 & 0 \\ 0 & -1 & 1 & 0 & 0 \\ -2 & 0 & 0 & 3 & -1 \\ 0 & 0 & 0 & -1 & 1 \end{bmatrix} \rightarrow \lambda_{G_3} = \{ 0, .5858, 1.2679, 3.4142, 4.7321 \}$$

$$\lambda_{\min} = 0 \leq \lambda \leq \lambda_{\max} = 4.7321$$

حال مدل گراف را به گونه‌ای دیگر برچسب‌گذاری می‌کنیم و مقادیر ویژه را بدست می‌آوریم. در این حالت ابتدا راس‌های داخلی و سپس راس‌های خارجی راس مرکب برچسب‌گذاری می‌شوند.



شکل ۸-۵- گراف مرکب با عوض کردن ترتیب برچسب‌گذاری

ماتریس لaplاسین گراف مرکب G به صورت زیر می‌باشد:

$$L_G = \begin{bmatrix} 3 & -1 & -1 & 0 & 0 \\ -1 & 3 & -1 & -1 & 0 \\ -1 & -1 & 3 & 0 & -1 \\ -1 & -1 & 0 & 3 & 0 \\ 0 & 0 & -1 & 0 & 1 \\ 0 & 0 & 0 & -1 & 0 \end{bmatrix}$$

و مقادیر ویژه به صورت زیر بدست می‌آید:

$$\lambda_G = \{ 0, 4.7321, 4.0000, 3.4142, 1.2679, 0.5858 \}$$

راس خارجی راس مرکب در تقارن به فرم سه خاصیت جابجایی دارد، البته برتری برچسب-گذاری، در مسایل کاربردی مشخص می شود. این وضعیت اغلب در راس های هم موقعیت^(۱) پیش می آید، زیر ماتریس های این گراف، در این حالت به صورت زیر می باشد:

$$L_{G_2} = L_H - L_{H'} = [H] - [H] = [4] \quad , \quad L_{G_3} = \begin{bmatrix} [H] + [H'] & [F] \\ [2S] & [U] \end{bmatrix} =$$

$$\begin{bmatrix} 2 & -1 & -1 & 0 & 0 \\ -2 & 3 & 0 & -1 & 0 \\ -2 & 0 & 3 & 0 & -1 \\ 0 & -1 & 0 & 1 & 0 \\ 0 & 0 & -1 & 0 & 1 \end{bmatrix}$$

مقادیر ویژه ماتریس L_{G_3} و L_G به صورت ذیل حاصل می شود.

$$\lambda_{G_2} = 4 \quad , \quad \lambda_{G_3} = \{ 0 , 4.7321, 3.4142, 1.2679, .5858 \}$$

$$\lambda_G = \{ 0 , 4.7321 , 4 , 3.4142, , 1.2679, .5858 \}$$

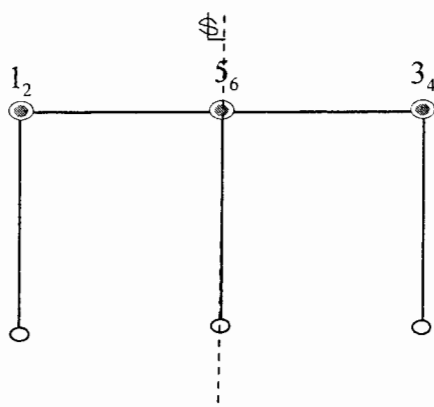
$$\lambda_{\min} = 0 \leq \lambda \leq \lambda_{\max} = 4.7321$$

همانطوری که ملاحظه می شود، مقدار ویژه بدست آمده در G اجتماع مقادیر ویژه بدست آمده از مولفه های متقارن G_2 و G_3 می باشد. و کران بالا و کران پایین مقدار ویژه بدست آمده در مولفه متقارن G_3 قرار می گیرد.

برای روشن شدن موضوع مثال دیگری مورد بحث و بررسی قرار می گیرد.

مثال ۷-۵- مدل گراف مطابق شکل (۹-۵) دارای ۶ راس می باشد، که شامل سه راس مرکب و سه راس تو خالی می باشد که سه راس تو خالی برچسب گذاری نمی شوند و خط تقارن از یکی از راس های مرکب عبور می کند.

^(۱) homoposition



شکل ۹-۵- مدل گراف مرکب با تقارن به فرم سه

ماتریس لaplاسین گراف:

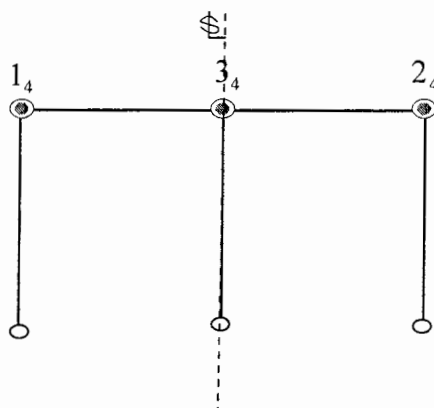
$$L_G = \begin{bmatrix} 3 & -1 & 0 & 0 & -1 & 0 \\ -1 & 1 & 0 & 0 & 0 & 0 \\ 0 & 0 & 3 & -1 & 0 & 0 \\ 0 & 0 & -1 & 1 & 0 & 0 \\ -1 & 0 & -1 & 0 & 4 & -1 \\ 0 & 0 & 0 & 0 & -1 & 1 \end{bmatrix}$$

که در آن:

$$\begin{aligned} [H] &= \begin{bmatrix} 3 & -1 \\ -1 & 1 \end{bmatrix} & [H'] &= \begin{bmatrix} 0 & 0 \\ 0 & 0 \end{bmatrix} & [F] &= \begin{bmatrix} -1 & 0 \\ 0 & 0 \end{bmatrix} & [s] &= \begin{bmatrix} -1 & 0 \\ 0 & 0 \end{bmatrix} \\ [U] &= \begin{bmatrix} 4 & -1 \\ -1 & 1 \end{bmatrix} & [G_2] &= [H] - [H'] = \begin{bmatrix} 3 & -1 \\ -1 & 1 \end{bmatrix} & [G_3] &= \begin{bmatrix} [H] + [H'] & [F] \\ [2S] & [U] \end{bmatrix} = \begin{bmatrix} 3 & -1 & -1 & 0 \\ -1 & 1 & 0 & 0 \\ -2 & 0 & 4 & -1 \\ 0 & 0 & -1 & 1 \end{bmatrix} \end{aligned}$$

اگر سه راس خارجی دارای موقعیت یکسان باشند یعنی ارتباط آنها با راس های ۱، ۲ و ۳ یکی باشد،

بنابراین برچسب گذاری مدل به صورت شکل (۹-۵) خواهد بود:



شکل ۱۰-۵ - راس خارجی هم موقعیت با راس ۲ و ۳

در گراف با راس هم موقعیت، ابتدا راس های داخلی راس مرکب برچسب گذاری می شود و سپس راس خارجی (هم موقعیت) برچسب گذاری می شود. اگر دقت شود برای برچسب گذاری راس خارجی^۴، همانند تقارن به فرم سه، ابتدا راس های یک نیمه و راس های نیمه دوم و سپس راس های مرکزی برچسب گذاری می شوند.

در این حالت ماتریس لایلین گراف به صورت زیر خواهد بود:

$$L_G = \begin{bmatrix} 3 & 0 & -1 & -1 \\ 0 & 3 & -1 & -1 \\ -1 & -1 & 4 & -1 \\ -1 & -1 & -1 & 3 \end{bmatrix}$$

که در آن:

$$\begin{aligned} [H] &= 3 & [H'] &= 0 & [F] &= \begin{bmatrix} -1 & -1 \\ -1 & -1 \end{bmatrix} & [S] &= \begin{bmatrix} -1 & -1 \\ -1 & -1 \end{bmatrix} \\ [U] &= \begin{bmatrix} 4 & -1 \\ -1 & 3 \end{bmatrix} & [G_2] &= [H] - [H'] = [3] & [G_3] &= \begin{bmatrix} 3 & -1 & -1 \\ -2 & 4 & -1 \\ -2 & -1 & 3 \end{bmatrix} \end{aligned}$$

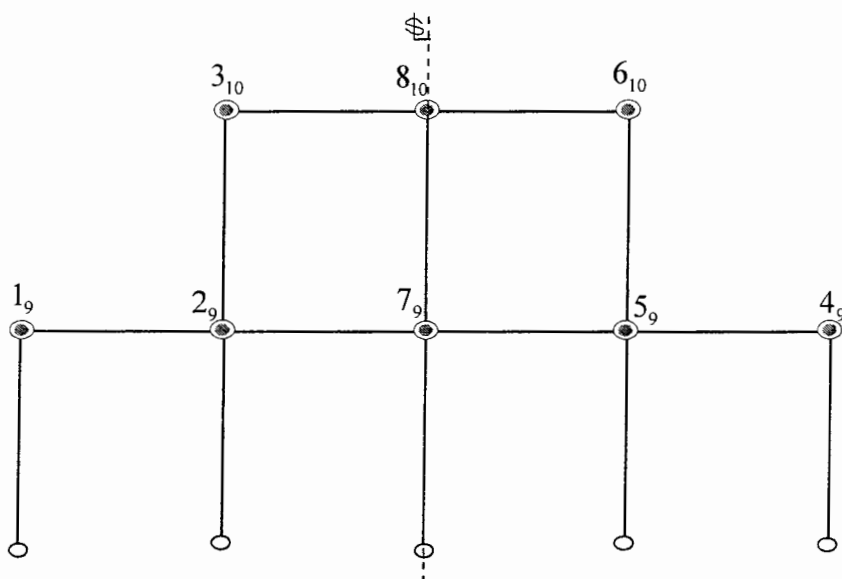
$$\lambda_{G_2} = \{ 3 \}, \quad \lambda_{G_2} = \{ 5, 4.3028, 0.6972 \}$$

$$\lambda_G = \{ 5, 4.3028, 3, 0.6972 \}$$

بعضی دیگر از این نوع را مورد بررسی قرار می دهیم.

مثال ۵-۸-۵- در گراف مطابق شکل (۱۱-۵) حاضر گرههای خارجی ۱۰ و ۹ گرههای هم موقعیت می-

باشند. با توجه به برچسب گذاری، ماتریس لaplاسین به فرم سه خواهد بود.



شکل ۱۱-۵ - گراف مرکب با دو راس هم موقعیت

ماتریس لaplاسین گراف مرکب با راس هم موقعیت صورت زیر می باشد:

$$L_G = \left[\begin{array}{ccc|ccc|ccc} 3 & -1 & 0 & 0 & 0 & 0 & 0 & 0 & -1 & 0 \\ -1 & 5 & -1 & 0 & 0 & 0 & -1 & 0 & -1 & 0 \\ 0 & -1 & 3 & 0 & 0 & 0 & 0 & -1 & 0 & -1 \\ \hline 0 & 0 & 0 & 3 & -1 & 0 & 0 & 0 & -1 & 0 \\ 0 & 0 & 0 & -1 & 5 & -1 & -1 & 0 & -1 & 0 \\ 0 & 0 & 0 & 0 & -1 & 3 & 0 & -1 & 0 & -1 \\ \hline 0 & -1 & 0 & 0 & -1 & 0 & 5 & -1 & -1 & 0 \\ 0 & 0 & -1 & 0 & 0 & -1 & -1 & 4 & 0 & -1 \\ -1 & -1 & 0 & -1 & -1 & 0 & -1 & 0 & 5 & 0 \\ 0 & 0 & -1 & 0 & 0 & -1 & 0 & -1 & 0 & 3 \end{array} \right]$$

زیرماتریس های حاصله به فرم زیر می باشد.

$$\begin{aligned} [H] &= \begin{bmatrix} 3 & -1 & 0 \\ -1 & 5 & -1 \\ 0 & -1 & 3 \end{bmatrix} & [H'] &= \begin{bmatrix} 0 & 0 & 0 \\ 0 & 0 & 0 \\ 0 & 0 & 0 \end{bmatrix} \\ [F] &= \begin{bmatrix} 0 & 0 & -1 & 0 \\ -1 & 0 & -1 & 0 \\ 0 & -1 & 0 & -1 \end{bmatrix} & [S] &= \begin{bmatrix} 0 & -1 & 0 \\ 0 & 0 & -1 \\ -1 & -1 & 0 \\ 0 & 0 & -1 \end{bmatrix} \end{aligned}$$

$$\begin{aligned} [U] &= \begin{bmatrix} 5 & -1 & -1 & 0 \\ -1 & 4 & 0 & -1 \\ -1 & 0 & 5 & 0 \\ 0 & -1 & 0 & 3 \end{bmatrix} & [G_2] &= [H] - [H'] = \begin{bmatrix} 3 & -1 & 0 \\ -1 & 5 & -1 \\ 0 & -1 & 3 \end{bmatrix} \\ [G_3] &= \begin{bmatrix} [H] + [H'] & [F] \\ [2S] & [U] \end{bmatrix} = \begin{bmatrix} 3 & -1 & 0 & 0 & 0 & -1 & 0 \\ -1 & 5 & -1 & -1 & 0 & -1 & 0 \\ 0 & -1 & 3 & 0 & -1 & 0 & -1 \\ 0 & -2 & 0 & 5 & -1 & -1 & 0 \\ 0 & -2 & 0 & -1 & 4 & 0 & -1 \\ -2 & -2 & 0 & -1 & 0 & 0 & 0 \\ 0 & 0 & -2 & 0 & -1 & 0 & 4 \end{bmatrix} \end{aligned}$$

$$\lambda_{G_2} = \{ 5.7321, 3, 2.2679 \}$$

$$, \quad \lambda_{G_3} = \{ -1.3661, 6.4548, 5.7862, 4.5466, 3.8446, 3.4467, 1.2872 \}$$

$$\lambda_G = \{ 6.4548, 5.7862, 5.7321, 4.5466, 3.8446, 3.4467, 3, 2.2679, 1.2872, -1.3661 \}$$

$$\lambda_{\min} -1.3661 \leq \lambda \leq \lambda_{\max} = 6.4548$$

همانطوری که از مدل گراف مثال (۷-۵) و مثال (۸-۵) مشاهده می شود، ابتدا راس های داخلی

بر چسب گذاری می شود و سپس راس خارجی (راس هم موقعیت) بر چسب گذاری می شود.

۱-۴-۵- مولفه های متقارن گراف مرکب:

اهم توجه در گراف های مرکب اتمهای گراف می باشد و این بدلیل نقشی است که راس خارجی در چنین گراف هایی بازی می کند. لازم به ذکر است که راس مرکب زمانی بر چسب گذاری نمی شود که راس داخلی، تو خالی و راس خارجی به صورت نقطه چین نمایش داده شود. اتمهای مدل گراف مرکب در شکل (۱۰-۵) در شکلهای (۱۲-۵) (الف) و (ب) نمایش داده می شوند.

در این وضعیت همان شرایط قبلی در گراف با راس های معمول را دنبال می شود، تنها تفاوت در این است که در راس مرکب مربوطه که خط تقارن آن را قطع می کند، راس داخلی مرکزی به راس داخلی نیمه‌ی سمت راست، یعنی G_3 ، یک انتقال یک سویه، خواهد داشت. این انتقال یک سویه، از طرف راس مرکزی به راس متقارن که متصل به راس مرکزی می باشد، در مولفه متقارن G_3 اعمال می شود.

۱-۱-۴-۵- انتقال یک سویه:

نمایش ماتریسی چنین انتقالی به صورت زیر می باشد:



$$L_{1,1} = 2$$

$$L_{2,2} = L_{3,3} = L_{4,4} = 1$$

$$L_{1,2} = L_{3,4} = L_{2,1} = L_{4,3} = -1$$

نمایش ماتریسی مدل به صورت زیر خواهد بود:

$$L = \begin{bmatrix} 2 & -1 & 0 & 0 \\ -1 & 1 & 0 & 0 \\ 0 & 0 & 1 & -1 \\ 0 & 0 & -1 & 1 \end{bmatrix}$$

اینک به نمایش مولفه های شکل (۹-۵) توجه کنید.

شکل ۷-۵- (الف) مولفه متقارن G_3 (ب) مولفه متقارن G_2

که زیرماتریس‌های کاوش‌یافته‌ی این مولفه‌ها در مثال‌های ۷-۵ نشان داده شده است. نکته بسیار مهمی که درباره تقارن‌های به فرم سه و حتی فرم دو با آن مواجه می‌شویم، خاصیت بسیار ویژه‌ای است که راس‌مرکب دارا می‌باشد. همانطوری که در مثال ۷-۵ شکل (۱۰-۵) مشهود است، راس^۴، راس خارجی راس‌مرکب می‌باشد که با راس ۱، ۲ و ۳ را هم‌موقعیت است. بنابراین راس خارجی راس‌مرکب، خاصیت «هم‌موقعیت»^(۱) بودن یک یا چند راس با راس‌های دیگر را دارد، که البته بسته به کاربرد در مدل، وضعیت‌های مشخصی را دارا می‌باشد. در این وضعیت مولفه حاصل دارای انتقال یک سویه، خواهد بود؛ یعنی در این حالت در راس‌مرکب مربوطه که خط تقارن آن را قطع می‌کند، راس داخلی به راس داخلی مولفه متقارن G_3 ، یک انتقال یک سویه، خواهد داشت. مطابق با آنچه که در بخش (۵-۴) مطرح شد، این انتقال یک سویه، از طرف راس داخلی به راس مشابه در دو مولفه متقارن G_2 و G_3 که متصل به راس مرکزی می‌باشند، در مولفه متقارن G_3 اعمال می‌شود و یک انتقال دو سویه از طرف راس‌های هم‌موقعیت در مولفه متقارن G_3 ، توسط آندسته از راس‌هایی که بوسیله‌ی خط تقارن قطع نمی‌شوند، اعمال می‌شود. در مولفه G_2 راسی که خط تقارن از آن عبور می‌کند با راس توخالی نمایش داده می‌شود. در مورد راس‌مرکب نیز راس داخلی توخالی و راس خارجی با خط چین نمایش داده می‌شود. در این وضعیت نیز راس توخالی مرکب، راسی است که برچسب‌گذاری نمی‌شود ولی به یالهای گراف اتصال دارد.

^(۱) homoposition

۲-۱-۴-۵- انتقال دو سویه:

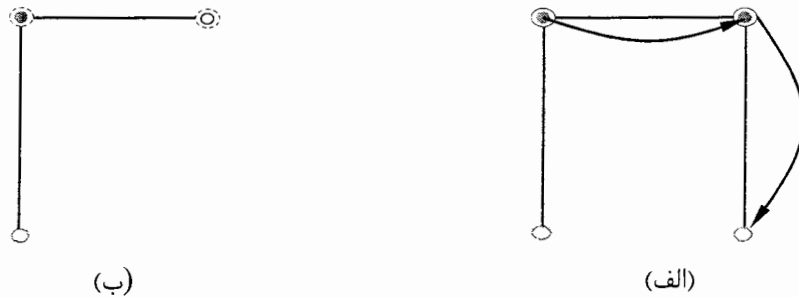


$$L_{4,4} = L_{2,2} = 2$$

$$L_{2,1} = L_{4,3} = -1$$

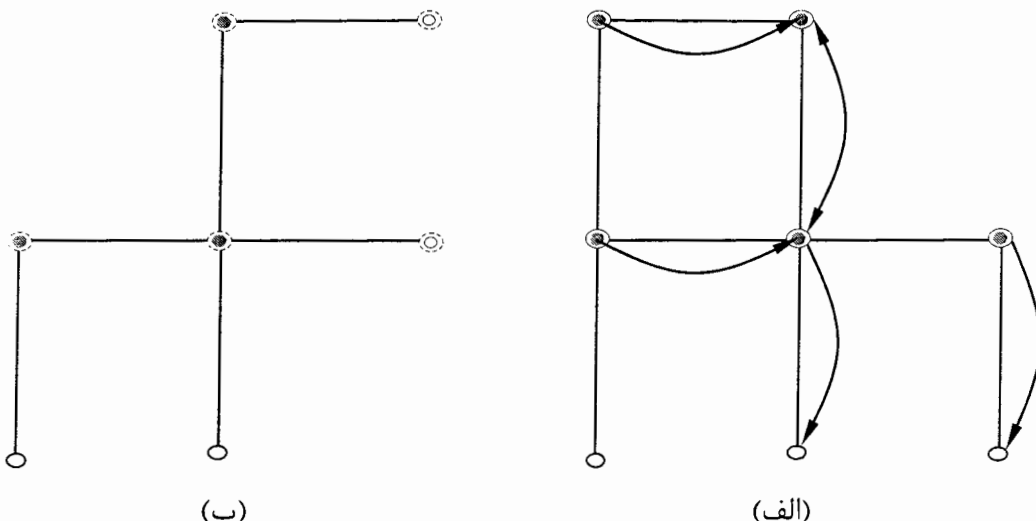
$$L = \begin{bmatrix} 0 & 0 & 0 & 0 \\ -1 & 2 & 0 & 0 \\ 0 & 0 & 0 & 0 \\ 0 & 0 & -1 & 2 \end{bmatrix}$$

در واقع چون خط تقارن راس مرکب را قطع می کند بنابراین دو انتقال یک سویه داریم، که یکی از این انتقال‌ها از طریق راس داخلی راس مرکب به راس داخلی راس مرکب مجاور در مولفه G_3 صورت می‌گیرد. در راس ۴، که راس خارجی راس مرکب می‌باشد و با راس‌های ۳، ۲، ۱ هم‌موقعیت می‌باشد، خط تقارن از راس مرکب ۳ عبور می‌کند، که در تقارن به فرم متناظر یک انتقال یک سویه در مولفه متقارن خواهد بود، در ابتدا تصور می‌شود که این انتقال یک سویه از راس ۳ به راس ۴ باشد، اما وضعیت بوجود آمده حالتی از اتصال دوبل را برای گره ۴ (از ۴ به ۴) در مولفه G_3 به دنبال خواهد داشت و تناظر در فرم سه ایجاد خواهد کرد، که البته شرایط زیرماتریس‌های کاهش-یافته نیز نقض چنین وضعیتی را تأیید می‌کند. چون راس خارجی ۴، راسی است که بوسیله‌ی خط تقارن قطع می‌شود و از طرفی به راس‌های گراف در دو نیمه اتصال دارد؛ بنابراین در مولفه G_2 به صورت نقطه‌چین نشان داده می‌شود یعنی برچسب‌گذاری نمی‌شود اما به راس‌های گراف اتصال دارد. راس هم‌موقعیت (در اینجا راس ۴) در یک راس نسبت به خط تقارن در صورتی که شرایط فرم سه را دارا باشد، یک انتقال را به همراه خواهد داشت. مولفه‌های G_3 ، G_2 ، مثال (۷-۵) شکل (۹-۵) در شکل زیر نشان داده شده‌اند.

شکل ۱۳-۵ - (الف) مولفه متقارن G_3 (ب) مولفه متقارن G_2

همانطوری که بیان شد، مشاهده می شود که چون راس^۴ یک راس هم موقعیت می باشد، و خط تقارن از آن می گذرد، در مولفه متقارن G_2 راس خارجی به صورت نقطه چین نشان داده می شود و در محاسبات لحاظ نمی شود. در مولفه متقارن G_3 از راس خارجی راس مرکب^۳ به راس توخالی یک انتقال یک سویه وجود دارد.

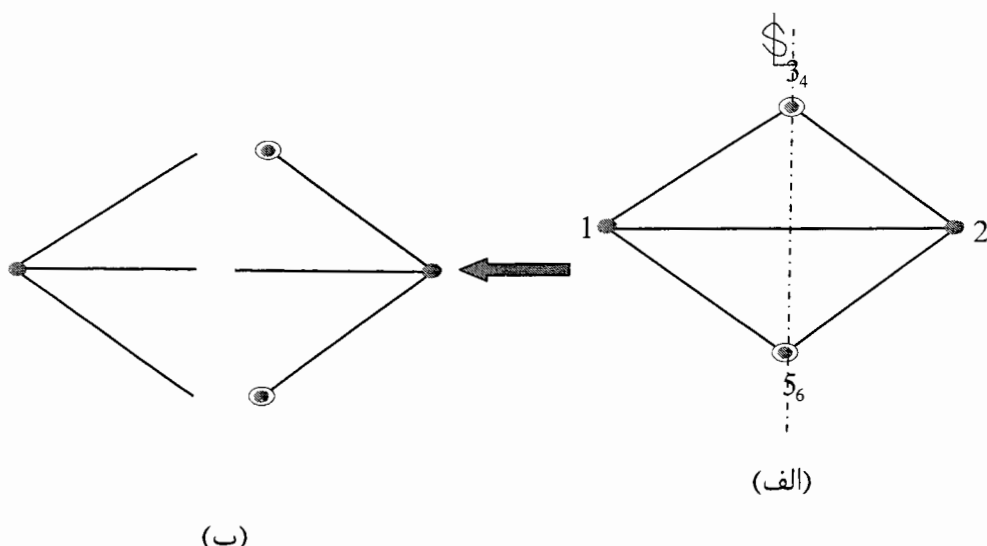
به مولفه های مثل (۱۱-۵) شکل (۸-۵)، توجه کنید.

شکل ۱۴-۵ - (الف) مولفه متقارن G_3 (ب) مولفه متقارن G_2

۵-۵-۵- اتمهای گراف:

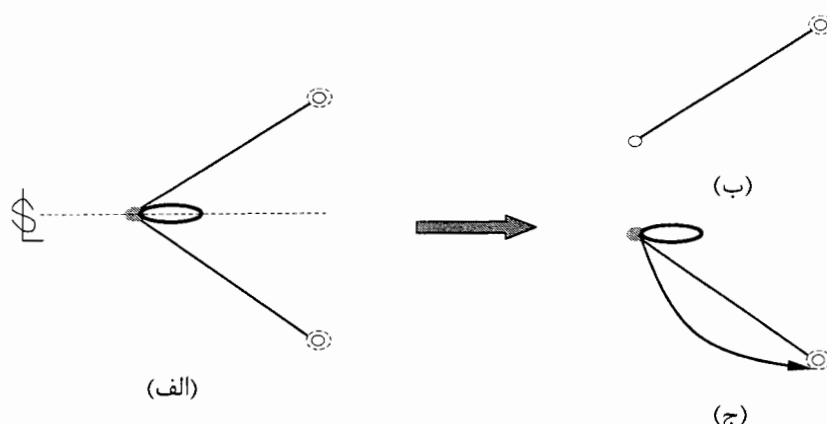
در این قسمت سعی بر آن است تا چگونگی پارش و تشکیل اتمهای گراف را توضیح داده شود. در این راستا مثال (۶-۵) شکل (۷-۵) مورد توجه و بررسی قرار می گیرد. این گراف دارای دو خط

تقارن است لکن قصد آن است که از خط تقارنی که در شکل مشخص شده اتمهای گراف را تشکیل شود. در ابتدا گراف به دو نیمه پارش می شود و به دو مولفه متقارن G_2 و G_3 کاهش می یابد.



شکل ۱۵-۵ (الف) مدل گراف (ب) نیمه های پارش یافته

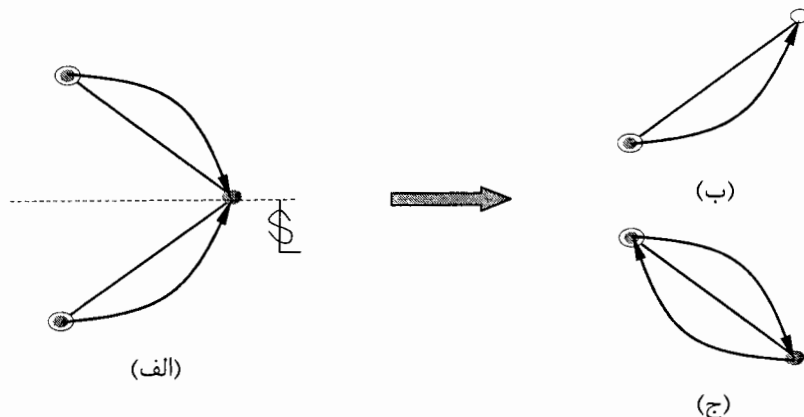
مولفه متقارن G_2 خود دارای تقارن به فرم سه می باشد. و دارای دو اتم $G_{2_{G_3}}$, $G_{2_{G_2}}$ می باشد، که مولفه متقارن G_2 دارای دو راس توخالی است و در محاسبات لحاظ نمی شود.



شکل ۱۶-۵ - (الف) مولفه متقارن G_2 (ب) اتم $G_{2_{G_2}}$ (ج) اتم $G_{2_{G_3}}$

مولفه متقارن G_3 نیز دارای تقارن به فرم سه می باشد و دارای دو اتم $G_{3_{G_2}}$, $G_{3_{G_3}}$ می باشد. با

توجه به بخش (۴-۵) در تقارن به فرم سه، خط تقارن از گره مرکزی عبور می کند در نتیجه اتم $G_{3_{G_2}}$ به صورت یک راس توخالی نشان داده می شود و در اتم $G_{3_{G_3}}$ یک انتقال از راس مرکزی به راس مجاور صورت می گیرد



شکل ۱۷-۵ - (الف) مولفه متقارن G_3 (ب) اتم $G_{3_{G_2}}$ (ج) اتم $G_{3_{G_3}}$

ماتریس لابلسین اتم های گراف و مقادیر ویژه آنها به صورت زیر می باشد.

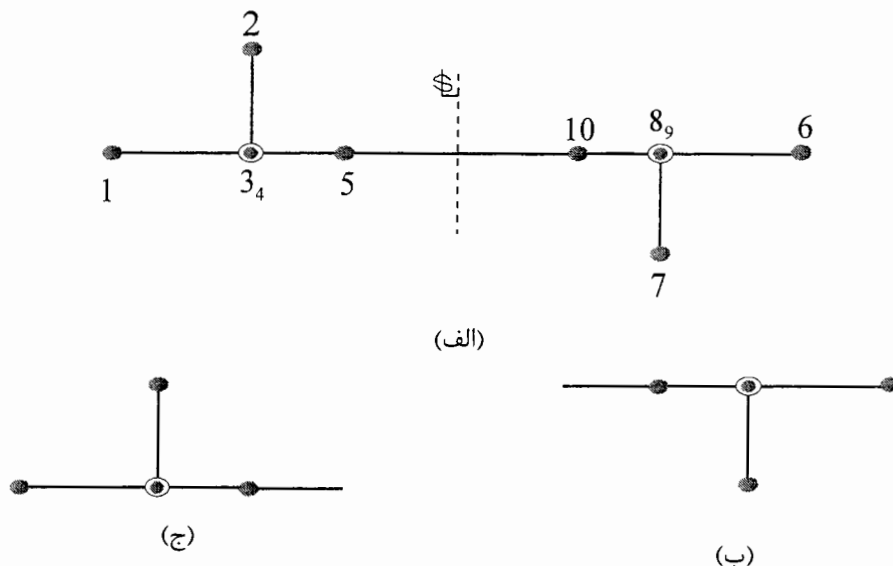
$$L_{G_{3_{G_3}}} = [4] \rightarrow \lambda_{G_{3_{G_3}}} = \{ 4 \} \quad L_{G_{3_{G_2}}} = \begin{bmatrix} 3 & -1 \\ -1 & 1 \end{bmatrix} \rightarrow \lambda_{G_{3_{G_2}}} = \{ 0.5858, 3.4142 \}$$

$$L_{G_{3_{G_3}}} = \begin{bmatrix} 3 & -1 & -1 \\ -1 & 1 & 0 \\ -2 & 0 & 2 \end{bmatrix} \rightarrow \lambda_{G_{3_{G_3}}} = \{ 4.7321, 1.2679, 0 \}$$

بنابراین یک گراف مرکب 6×6 به سه اتم 1×1 و 2×2 و 3×3 تقسیم می شود.

مثال دیگری را مورد بررسی قرار می گیرد.

مثال ۸-۵ - این گراف دارای تقارن به فرم دو می باشد. در ابتدا گراف به دو نیمه پارش می یابد.



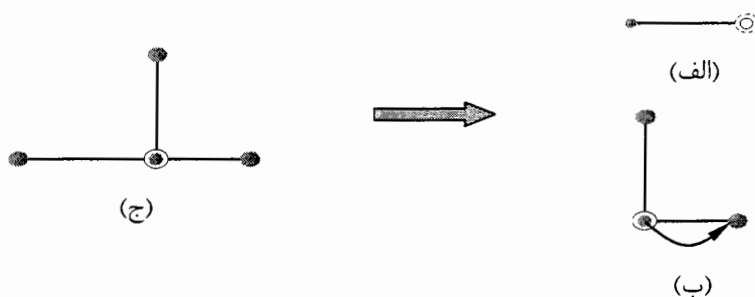
شکل ۱۸-۵ - (الف) مدل گراف مرکب با تقارن به فرم دو (ب) و (ج) نیمه های پارش یافته

مولفه های متقارن G_1 و G_2 تشکیل می شوند. چون مولفه متقارن G_2 دارای تقارن دیگری نمی باشد، خود اتم می باشد.



شکل ۱۹-۵ - (الف) مولفه متقارن G_2 (ب) مولفه متقارن G_1

مولفه متقارن G_1 دارای تقارن به فرم سه می باشد و به دو اتم $G_{l_{G_2}}$ و $G_{l_{G_3}}$ کاهش می یابد.

شکل ۲۰-۵- (الف) مولفه متقارن G_1 (ب) اتم $G_{l_{G_2}}$ (ج) اتم $G_{l_{G_3}}$

حال به محاسبه ماتریس لایلینین اتم های حاصله می پردازیم. برای بدست آوردن ماتریس لایلینین به مثال توجه شود.

$$L_{G_{l_{G_2}}} = [1] \quad \lambda = 1$$

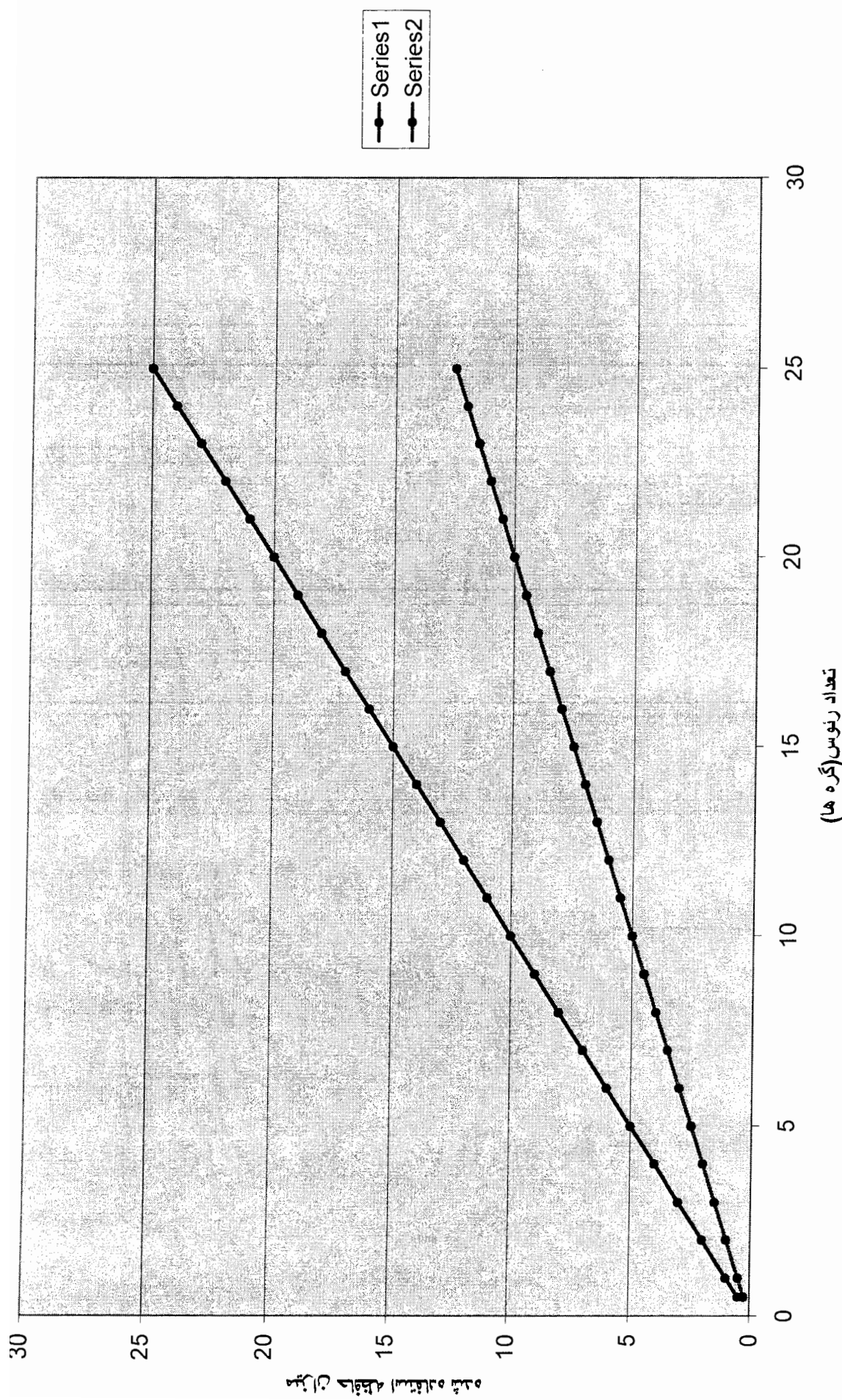
$$L_{G_{l_{G_3}}} = \begin{bmatrix} 1 & 0 & -1 & 0 \\ 0 & 1 & -1 & 0 \\ -1 & -1 & 4 & -1 \\ 0 & 0 & -1 & 1 \end{bmatrix} \rightarrow \lambda = \{ 0, 1+0.0000i, 1-0.0000i, 5 \}$$

$$L_{G_2} = \begin{bmatrix} 1 & 0 & 0 & -1 & 0 \\ 0 & 3 & 0 & -1 & 0 \\ 0 & 0 & 1 & -1 & 0 \\ -1 & -1 & -1 & 4 & -1 \\ 0 & 0 & 0 & -1 & 1 \end{bmatrix} \rightarrow$$

$$\lambda = \{ 5.1774, 2.6784, 1, 1, 0.1442 \}$$

بنابراین یک گراف مرکب 10×10 به سه اتم 1×1 , 4×4 و 5×5 تقسیم می شود. و می توان با محاسبه اتم های گراف، بدون اینکه به محاسبه گراف اصلی بپردازیم، دترمینان و در نهایت مقدار بر ویژه ای آن را بدست آوریم و از طریق اتم های گراف ریشه های مساله را بیابیم.

در این قسمت نموداری مقایسه ای به کمک نرم افزار اکسل بر اساس تعداد رئوس و میزان حافظه استفاده شده آورده شده است. در نمودار با شبکه کمتر از تقارن استفاده شده است. همانطوری که از نمودار ملاحظه می شود با کاهش تعداد رئوس در تقارنهای کانونیکال میزان حافظه استفاده شده به طور چشمگیری کاهش می یابد.



بخش دوم :

کاربرد ماتریس لاپلاسین در مسائل سازه‌ای

فصل

کاربرد ماتریس لاپلاسین در تقارن-
های به فرم دو و سه در سیستم‌های
مکانیکی جرم- فنر

۱-۶- مقدمه:

در این فصل کاربرد ماتریس های لaplاسین را به کمک مدل گراف معمولی در سیستمهای مکانیکی جرم- فنر مورد بررسی قرار می گیرد. در تحلیل مکانیکی این سیستم ها نیز از مدل گراف و ماتریس های لaplاسین به فرم دو و سه استفاده شده است. طرح این موضوع مقدمات بحث در رابطه با کاربرد ماتریس لaplاسین در تقارن های به فرم دو و سه را برای فصل هشتم فراهم می آورد. علاوه بر این، فصل حاضر، با استفاده از خاصیت تقارن، مدل گراف به دو مولفه متقارن تجزیه می گردد و محاسبات بر اساس ماتریس های لaplاسین این مولفه ها انجام می پذیرد

۶- ماتریسهای لaplاسین برای فرمهای متفاوت:

همانطوری که ذکر شد ماتریس لaplاسین ($L(G)$ ، یک ماتریس مرتبط با گراف G می باشد که مقادیر ویژه ای که از آن تشکیل می شود به صورت طیف $\{\lambda_1, \lambda_2, \dots, \lambda_n\}$ می باشد. ارتباط جالبی بین ویژگیهای یک گراف و طیف لaplاسین وجود دارد. از آنجایی که یک گراف مدل اصولی^(۱) از یک سیستم ارتعاشی جرم- فنر می باشد، بنابراین مقادیر ویژه ای حاصل از گراف در این بخش دارای اهمیت زیادی می باشد [۳۴].

گراف وزن دار گرافی است که اعضای آن دارای وزن باشند. در واقع گرافهای معمولی و مرکب در فصل سه و چهار و پنج که مورد بحث و بررسی قرار گرفتند، گرافهای وزن داری هستند که اعضای آن دارای وزن واحد می باشند.

ماتریس لaplاسین برای گرافهای وزن دار $L(G) = [L_{ij}]_{N \times N}$ یک گراف G ، یک ماتریس $N \times N$ است که به صورت زیر تعریف می شود [۵].

$$L(G) = D(G) - A(G)$$

^(۱)underlying

جایی که N تعداد راسهای گراف می باشد یعنی:

$$L_{ij} = \begin{cases} \text{مجموع وزنهای اعضای متصل به } n_j \text{ تا } n_i & \text{برای } n_i \text{ متصل به } n_j \\ \text{مجموع وزنهای اعضای متصل به } n_i & \text{برای } n_i = n_j \\ 0 & \text{در غیر اینصورت} \end{cases}$$

در گرافهای وزن دار، راسها هم می توانند دارای وزن باشند که در ماتریس لاپلاسین تأثیری ندارد.

وقتی وزن های اعضا به صورت واحد در نظر گرفته می شود، بنابراین $D(G)$ و $A(G)$ به ترتیب ماتریس درجه و ماتریس هم جوار G می باشند.

۶-۳- تقارن در یک سیستم ارتعاشی جرم- فنر:

یک سیستم متقارن در شکل (۱-۶-الف) نشان داده شده؛ این سیستم متقارن است، و ویژگی هایش می تواند با استفاده از زیرسازه هایش^(۱) مورد بررسی قرار گیرد. این ویژگی ها شامل جرم m_1 و سختی k_1 می باشد. جرم ها، سختی ها و اتصالاتشان بصورت متقارن نسبت به محور تقارن می باشند. این سیستم به صورت دو زیرسیستم^(۲) مجزا که با یک فنر به یکدیگر متصل اند، فنر اتصال^(۳) در شکل (۱-۶-ب) نشان داده شده است. این سیستم دارای دو درجه آزادی v_1 و v_2 می باشد. فرکانس های طبیعی و مودهای طبیعی به صورت زیر بدست می آیند[۱۲] :

$$[k] - \omega^2 [m] \{\phi\} = \{0\} \quad (2-6)$$

که در این حالت برای بدست آوردن پاسخ مساله دترمینان مسئله ویژه را مساوی با صفر قرار می دهیم.

$$[k] - \omega^2 [m] = 0 \quad (2-6)$$

^(۱) substructure

^(۲) subsystem

^(۳) conjunctive spring

جایی که k ماتریس سختی و m ماتریس جرم سیستم می باشد. مقدارویژه و بردارویژه به ترتیب با ω و ϕ نشان داده می شود.

ماتریس سختی این سیستم به شکل زیر نوشته می شود.

$$K = \begin{bmatrix} k_1 + k_2 & -k_2 \\ -k_2 & k_1 + k_2 \end{bmatrix}$$

همانطوری که ملاحظه می شود این ماتریس دارای تقارن به فرم دو است که در آن طبق روابط حاکم به فرم دو است:

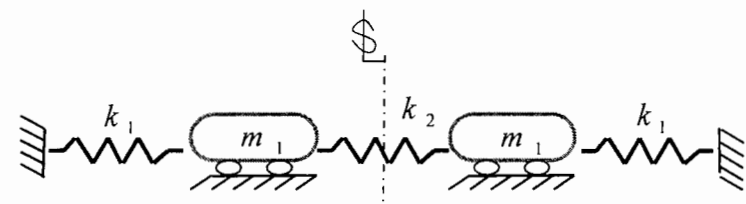
$$H = [k_1 + k_2]$$

$$H' = [-k_2]$$

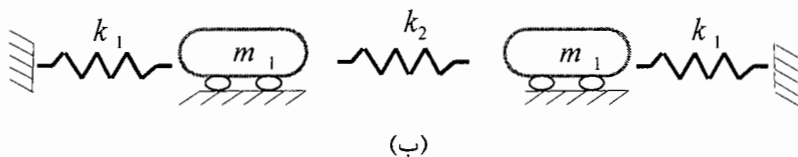
اگر ماتریس جرم سیستم تشکیل شود:

$$M = \begin{bmatrix} m_1 & 0 \\ 0 & m_1 \end{bmatrix}$$

ماتریس $[M]$ هم دارای تقارن به فرم یک است که حالتی از تقارن به فرم دو می باشد.



(الف)



(ب)

شکل ۱-۶- (الف) یک سیستم متقارن دینامیکی و (ب) دو زیرسیستم همراه با یک فنر اتصال

از آنجایی که $[k]$ و $[m]$ هر دو متقارن به فرم دو هستند بنابراین، طبق رابطه‌ی (۱-۶) لابلائین ماتریس $[k] - \omega^2 [m]$ به فرم دو می باشد:

$$\begin{bmatrix} k_1 + k_2 - \omega^2 m_1 & -k_2 \\ -k_2 & k_1 + k_2 - \omega^2 m_1 \end{bmatrix}$$

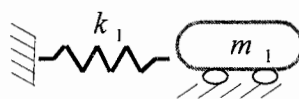
بدلیل تقارن در ماتریس سختی و ماتریس جرم، ماتریس رابطه‌ی (۳-۶) دارای تقارن به فرم دو

است

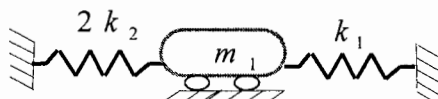
با جایگزینی λ به جای $m_1 \omega^2$ ، برای محاسبه‌ی فرکانس‌های طبیعی بایستی ماتریس فوق را برابر صفر قرار داد.

$$\begin{vmatrix} (k_1 + k_2) - \lambda & -k_2 \\ -k_2 & (k_1 + k_2) - \lambda \end{vmatrix} = 0$$

چون ماتریس سختی لایپلین به فرم دو می‌باشد، بنابراین می‌توان مقادیر ویژه‌اش را با استفاده از زیرماتریس‌های آن محاسبه نمود.



(الف)

شکل ۲-۶- زیرسیستم متناظر با زیرماتریس G_2 

(ب)

شکل ۳-۶- زیرسیستم متناظر با زیر ماتریس G_1

$$[G_1] = [k_1 + k_2 + k_2] = [k_1 + 2k_2]$$

$$[G_2] = [k_1 + k_2 - k_2] = k_1$$

زیرماتریس‌های G_1 و G_2 هر کدام دارای بخشی از مقادیر ویژه می‌باشند. زیرا این زیرماتریس‌ها^(۱)

طبیعتی شبیه به ماتریس سختی کلی دارند، با این زیرماتریس‌ها، می‌توان دو زیرسازه متناظر با آنها که در شکل (۳-۶) (الف) و (ب) را بدست آورد. بنابراین برای بدست آوردن مقادیر ویژه λ ، دو مقدار زیر را خواهد داشت:

$$\lambda = \begin{cases} k_1 \\ k_1 + 2k_2 \end{cases}$$

^(۱) submatrix

به سازه متناظر با زیرماتریس نشان داده شده در شکل (۳-۶) (الف) و (ب) زیرسیستم های ارتعاشی^(۲) می گویند.

این زیرسیستم های ارتعاشی، هر یک بخشی از ویژگی های سیستم ارتعاشی را شامل می شوند. بنابراین مقادیر ویژه و بردارهای ویژه سازه کلی می تواند با استفاده از زیرسیستم های نشان داده شده در شکل (۳-۶) محاسبه شود.

برای یک سیستم ارتعاشی با N درجه آزادی، m (ماتریس جرم) و k (ماتریس سختی) ماتریس ها $N \times N$ می باشند و اگر سازه متقارن باشد، زیرماتریس های متناظر، ابعاد $\frac{N}{2} \times \frac{N}{2}$ را خواهند داشت. برای بررسی مدهای ارتعاشی سیستمها و زیرسیستمها:

ماتریس G به فرم دو را به صورت مقابل می توان نوشت:

$$G = \begin{bmatrix} H & H' \\ H' & H \end{bmatrix}$$

مقدار ویژه متناظر ماتریس G ، $\lambda_1, \lambda_2, \lambda_3, \dots, \lambda_n$ و بردار ویژه متناظر ماتریس

$\phi_1, \phi_2, \phi_3, \dots, \phi_n$ می باشد. بردارهای ویژه را به دو گروه می توان تقسیم بندی کرد:

گروه اول: این بردارهای ویژه با $\frac{N}{2}$ ورودی (درایه) تکرار می شوند.

گروه دوم: این بردارهای ویژه با $\frac{N}{2}$ ورودی (درایه) با علامت معکوس تکرار می شوند.

اگر ماتریس G متقارن به فرم دو باشد، بنابراین زیرماتریس های کاهش یافته به صورت زیر می -

باشند:

$$G_1 = H + H' \quad G_2 = H - H'$$

بردارهای ویژه G_1 ، گروه بردارهای ویژه نوع اول و بردارهای ویژه G_2 ، گروه بردارهای ویژه نوع

دوم می باشند.

بنابراین اگر بردارهای ویژه ماتریس G_1 (با $\frac{N}{2}$ ورودی) قابل محاسبه هستند، بنابراین G به آسانی از اجتماع آن با $\frac{N}{2}$ ورودی با علامت معکوس که از ماتریس G_2 قابل محاسبه است بدست می آید.

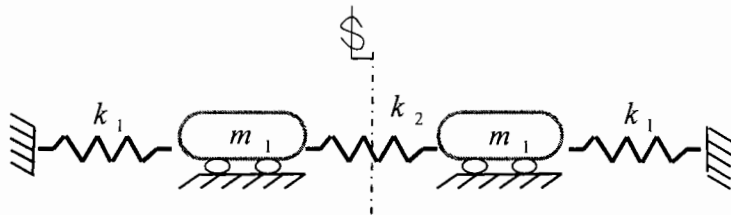
۴-۶- مدل گراف یک سیستم جرم - فنر:

مدل ریاضی سیستم دینامیکی شا مل جرم و فنر می باشد. این جرمها متصل به فنرها می باشند.

همانطوری که در مدل ریاضی یک گراف وزن دار به صورت زیر تعریف می شود:

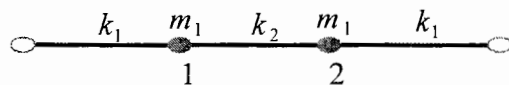
۱. تکیه گاهها در مدل ریاضی، راس های (راس های) خنثی در مدل گراف می باشند.
۲. برای هر جرمی یک راس، در مدل گراف مربوطه در نظر گرفته می شود و وزنش اندازه جرم می باشد.
۳. برای هر فنری یک یال در نظر گرفته می شود و وزنش میزان سختی فنر می باشد.

سیستم دینامیکی شکل (۴-۶) را در نظر بگیرید.



شکل ۴-۶- سیستم مکانیکی جرم - فنر

مدل گراف سیستم شکل (۴-۶) در شکل زیر نمایش داده می شود.



شکل ۶-۵- مدل گراف G_1 متناظر با سیستم ارتعاشی

مشاهده می شود که یک گراف وزن دار هم ارز با سیستم اصلی است برای سیستم دینامیکی، رابطه (۳-۶) به صورت ذیل برقرار است:

$$K\phi = \omega^2 m\phi \Rightarrow [K - \omega^2 m] = 0 \quad (3-6)$$

رابطه‌ی (۳-۶) یک مسئله مقدار ویژه می‌باشد که ω مقدار ویژه و ϕ بردار ویژه می‌باشد.

در سیستم‌های جرم- فنر، جرم‌ها متمرکز هستند در نتیجه ماتریس ماتریس m به صورت یک ماتریس قطری می‌باشد، بنابراین رابطه (۳-۶) به صورت ذیل خواهد شد.

$$\left[[K - m] + m - \omega^2 m \right] \phi = 0 \quad \text{اگر } \lambda I = m\omega^2 - m, \text{ بنابراین:} \\ [L_T - \lambda I] = [K - m]$$

$$[L_T - \lambda I] = 0 \quad (4-6)$$

ماتریس (۴-۶) یک مسئله مقدار ویژه، متناظر با مقدارهای ویژه و بردارهای ویژه L_T می‌باشد.

این ارتباط می‌تواندبا مدل گراف متناظر مرتبط باشد. اگر L_T لابلسین تعمیم یافته^(۱) گراف باشد [۳۴]، بنابراین مسئله بالا یک مسئله ویژه^(۲) یک گراف می‌باشد.

ماتریس لابلسین گراف وزنی شکل (۵) به صورت شکل زیر می‌باشد:

$$L = \begin{bmatrix} k_1 + k_2 & -k_2 \\ -k_2 & k_1 + k_2 \end{bmatrix}$$

ماتریس لابلسین هم‌ارز با ماتریس سختی سیستم ارتعاشی شکل (۱-۶-الف) می‌باشد در نتیجه می‌توان دریافت که در هر سیستم ارتعاشی، ماتریس سختی هم‌ارز با ماتریس لابلسین مدل گراف متناظر با آن می‌باشد. بنابراین، اگر سازه‌ای دارای تقارن به فرم دو و یا سه باشد ماتریس لابلسین و نهایتاً مدل گراف متناظر آن هم آن تقارن را دارد. این هم‌ارزی باعث می‌شود که هر خاصیتی را که ماتریس لابلسین هم‌ارز و نهایتاً مدل گراف متناظر دارا باشد، مانند محاسبه‌ی دترمینان، مقادیر ویژه و اتم و...، بتوان در ماتریس سازه‌ای یا سیستم ارتعاشی آن به کار برد و بالعکس. با توجه به توضیحات فوق مدل گراف شکل (۵) به صورت دو مولفه متقارن در شکل‌های (۶-۶-الف) و (۶-۶-ب) نمایش داده می‌شود.



شکل ۶-۶- (الف) مولفه متقارن G_1 - (ب) مولفه متقارن G_2

^(۱) generalized laplacian
^(۲) eigenproblem

ماتریس لایپلاسین هریک از این مولفه ها به صورت زیر می باشد.

$$L_{G_1} = [k_1] \quad \lambda_1 = k_1 \quad m_1 \times \omega_1^2 = k_1 \quad \Rightarrow \quad \omega_1 = \sqrt{\frac{k_1}{m_1}}$$

$$L_{G_2} = [k_1 + 2k_2] \quad \lambda_2 = k_1 + 2k_2 \quad m_2 \times \omega_2^2 = k_1 + 2k_2 \quad \Rightarrow \omega_2 = \sqrt{\frac{k_1 + 2k_2}{m_2}}$$

که زیر ماتریس های کاهش یافته همان ماتریس های سختی زیر سیستم ها در مدل ریاضی می -

باشند. به راس با وزن m_1 یک خود - حلقه وزن دار با وزن k_2 دوبل شده است [۱۶].

اگر زیر سیستم های متناظر با این مولفه ها ترسیم شود، همان زیر سیستم های شکل (۳-۶) و (۶-۴)

(۳) حاصل می شود. بنابراین تعریف این زیر سازه ها عملی است. یعنی اگر نتوان مدل گراف متناظر سیستم را توصیف کرد، نمی توان خاصیت های گراف را به آن نسبت داد و یک زیر سازه یا زیر سیستم را طراحی و مقادیر مربوط به مساله را بدست آورد. حتی اگر به نظر چنین عملی درست باشد؛ چون تناظر گرافی برقرار نیست روابط ماتریسی گراف را نمی توان به آن نسبت داد و در محاسبه به کار برد.

۶-۵- سیستم های ارتعاشی با تقارن به فرم دو:

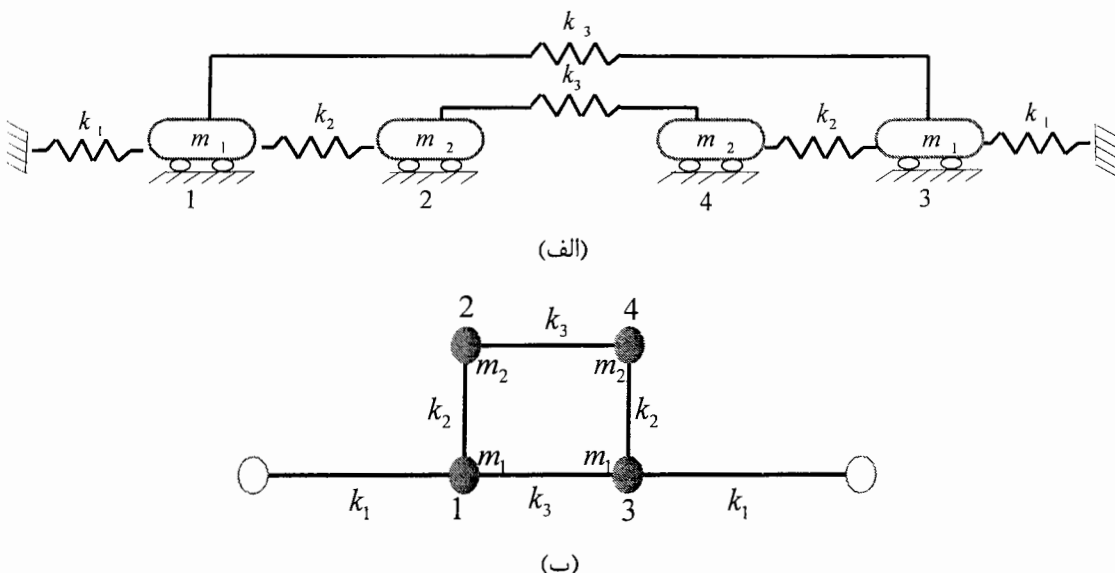
ماتریس لایپلاسین تعمیم یافته برای گراف شکل (۵-۶) دارای فرم زیر می باشد:

$$L_r = \begin{bmatrix} k_1 + k_2 - m_1 & -k_2 \\ -k_2 & k_1 + k_2 - m_1 \end{bmatrix}$$

توضیح ماتریسی به این صورت می باشد که در گراف شکل (۵-۶) در درایه های (۱, ۱) یا (۱, ۲) متنصل به راس ۱، k_1 و k_2 می باشند، بنابراین $k_1 + k_2 = k_1 + k_2 = 0$ و به همین ترتیب طبق تعریف ماتریس لایپلاسین گراف وزن دار $k_2 = k_1 + k_2 = 0$. همچنین از نظر اثر وزنی ماتریس جرم، راس $m_1 = m_1 = 0$ چون جرم m ، جرم مرکزی می باشد و طبق رابطه (۶-۴) ماتریس L_r به صورت فوق بیان می شود. طریقه بدست آوردن این ماتریس به همان طریقی می باشد که در توضیح ماتریس شکل (۱-۶) آورده شد و اگر چنین نباشد، همارزی ماتریس سختی و ماتریس لایپلاسین رعایت نشده است.

برای یک گراف متقارن، بر حسب گذاری مناسب راس ها، ماتریس لایپلاسین تعمیم یافته با فرم دو را نتیجه می دهد.

مثال ۶-۱: سیستم دینامیکی دیگری با مدل گراف در شکل ۷-۶ (الف و ب) نشان داده شده است.



شکل ۷-۶ - (الف) یک سیستم دینامیکی (ب) مدل گراف متناظر

این گراف متقارن است و ماتریس لاپلاسین آن به فرم ذیل می باشد:

$$L = \left[\begin{array}{cc|cc} k_1 + k_2 + k_3 & -k_2 & -k_3 & 0 \\ -k_2 & k_2 + k_3 & 0 & -k_3 \\ \hline -k_3 & 0 & k_1 + k_2 + k_3 & -k_2 \\ 0 & -k_3 & -k_2 & k_2 + k_3 \end{array} \right]$$

برای تقارن در فرم دو، ماتریس لاپلاسین تعمیم یافته به صورت زیر نوشته می شود.

$$L_T = \left[\begin{array}{cc|cc} k_1 + k_2 + k_3 - m_1 & -k_2 & -k_3 & 0 \\ -k_2 & k_2 + k_3 - m_2 & 0 & -k_3 \\ \hline -k_3 & 0 & k_1 + k_2 + k_3 - m_1 & -k_2 \\ 0 & -k_3 & -k_2 & k_2 + k_3 - m_2 \end{array} \right]$$

روش بدست آوردن ماتریس های L و L_T به همان ترتیبی است که در ابتدای این بخش به

صورت خلاصه آورده شد.

$$L_T = \left[\begin{array}{c|c} H & H' \\ \hline H' & H \end{array} \right]$$

همانطوری که ذکر شد زیرماتریس H بیانگر ویژگی های همهی مولفه های متقارن می باشد، و

زیرماتریس H' نشان دهنده اثر فنرهای بین دو مولفه متقارن در ماتریس سختی می باشد.

بر طبق ویژگی های فرم دو، اگر $[H - H'] = G_1$ و $[H + H'] = G_2$ بنابراین L'_T می تواند به صورت زیر بیان می شود.

$$L'_T = \begin{bmatrix} G_1 & 0 \\ 0 & G_2 \end{bmatrix}$$

اگر L'_T ماتریس لابلسین کلی یک گراف باشد، بنابراین این گراف دو مولفه متقارن با $\frac{N}{2}$ راس

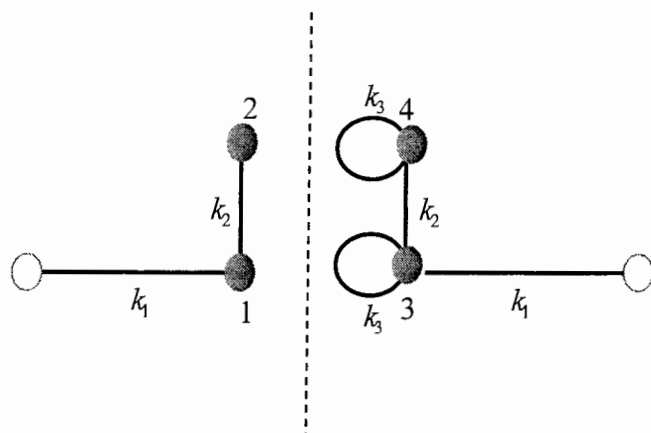
برای هر مولفه که متصل به یکدیگر نیستند را شامل می شود و مقادیر ویژه L_T به صورت زیر می باشد.

$$\lambda_{L_T} = \lambda_{G_1} \cup \lambda_{G_2}$$

بنابراین مولفه های متقارن G_1 و G_2 اتم های دینامیکی مدل هستند. هر اتم بخشی از فرکанс های طبیعی ω از سیستم کلی می باشد.

$$\{\omega_{L_T}\} = \{\omega_{G_1}\} \cup \{\omega_{G_2}\}$$

به عنوان مثال، برای گراف شکل (۷-۶) الف) اتم های G_1 و G_2 در شکل (۸-۶) نشان داده شده است.

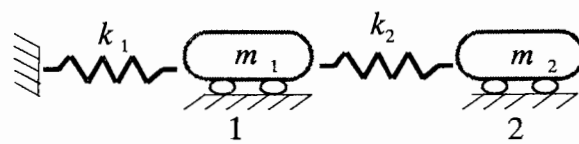


شکل ۸-۶- اتم های دینامیکی G_2 و G_1

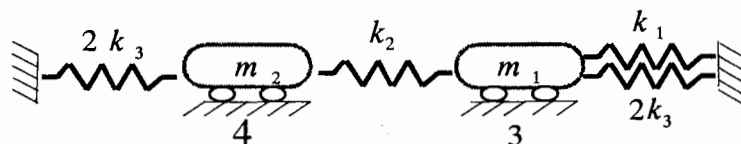
ماتریس های لابلسین L_{G_1} و L_{G_2} به صورت زیر نشان داده می شوند.

$$L_{G_1} = \begin{bmatrix} k_1 + k_2 & -k_2 \\ -k_2 & k_2 \end{bmatrix}, \quad L_{G_2} = \begin{bmatrix} k_1 + k_2 + 2k_3 & -k_2 \\ -k_2 & k_2 + 2k_3 \end{bmatrix}$$

زیرسیستمهای گرافهای متناظر مدل ریاضی، برای هر مولفه متقارن G_1 و G_2 به صورتی است که در شکل (۹-۶-الف) و (۹-۶-ب) نشان داده شده است. برای توضیحات بیشتر به مرجع [۳۴] مراجعه شود.



(الف)

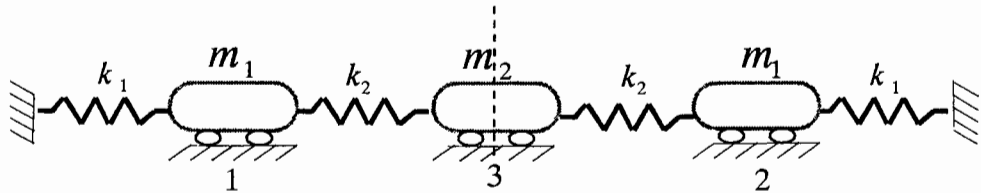


(ب)

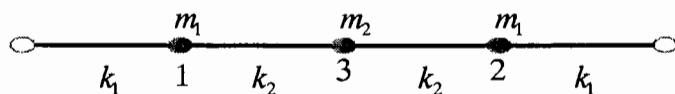
شکل ۹-۶- (الف) مولفه متقارن G_1 (ب) مولفه متقارن G_2

۶-۶- سیستم های ارتعاشی با تقارن به فرم سه:

برای یک سیستم دینامیکی با تعداد جرم های فرد، گراف متناظر، تقارن به فرم سه خواهد داشت. برای چنین سیستمی زیر گراف های کاهش یافته با استفاده از ویژگی تقارن حاصل می شوند. به عنوان مثال، مدل نشان داده شده در شکل (۱۰-۶) را در نظر بگیرید. گراف متناظر در شکل (۶-۱۱) نشان داده شده است.



شکل ۶-۱۰- یک سیستم دینامیکی



شکل ۶-۱۱- مدل گراف متناظر

ماتریس لاپلاسین و ماتریس لاپلاسین تعمیم یافته به صورت L و L_T می باشند.

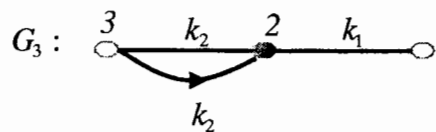
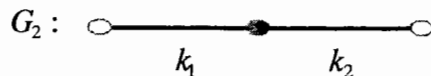
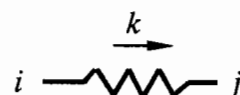
$$L = \begin{bmatrix} k_1 + k_2 & 0 & -k_2 \\ 0 & k_1 + k_2 & -k_2 \\ -k_2 & -k_2 & 2k_2 \end{bmatrix}, \quad L_T = \begin{bmatrix} k_1 + k_2 - m_1 & 0 & -k_2 \\ 0 & k_1 + k_2 - m_1 & -k_2 \\ -k_2 & -k_2 & 2k_2 - m_2 \end{bmatrix}$$

همانطوری که نشان داده شده L و L_T هر دو به فرم سه می باشند.

ماتریس های لاپلاسین متناظر با اتمهای ارتعاشی به صورت زیر می باشد.

$$L_{G_2} = [k_1 + k_2 - 0] = [k_1 + k_2] \quad \text{و} \quad L_{G_3} = \begin{bmatrix} k_1 + k_2 & -k_2 \\ -2k_2 & 2k_3 \end{bmatrix}$$

گراف های این ماتریس ها در شکل (۱۲-۶) نشان داده شده اند. اگر یک یال جهت دار بین دو راس جهت دار i و j از i به j وجود داشته باشد، آن نشان دهنده یک فنر جهت دار در سیستم دینامیکی است. در شکل (۱۳-۶) ویژگی های مهم چنین فنری نشان داده شده و به این صورت است که اتصال این فنر به جرم ها طوری است که در سختی $k_{j,i}$ سهمی ندارد اما در سختی $k_{i,j}$ اثر دارد [۳۴]. برای توضیحات بیشتر در مورد ترسیم مولفه های شکل (۱۲-۶) به بخش (۵-۴) فصل ۴ توجه شود.

شکل ۱۲-۶- اتمهای G_3 و G_2 

شکل ۱۳-۶- یک فنر جهت دار

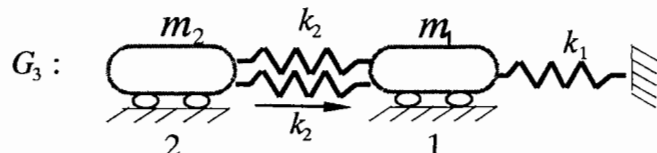
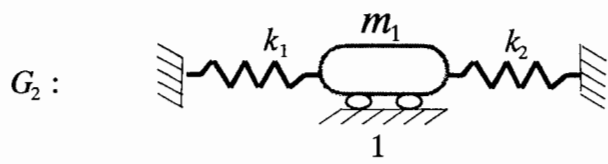
مدلهای ریاضی متناظر با هسته های G_2 و G_3 در شکل (۱۴-۶) نشان داده شده اند. مطابق با

ویژگی های

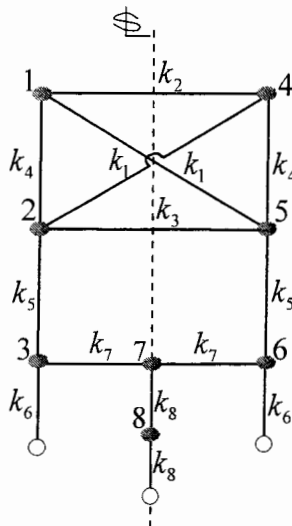
$$\{\lambda L_T\} = \{\lambda_{G_2}\} \cup \{\lambda_{G_3}\}$$

$$\{\omega L_T\} = \{\omega_{G_2}\} \cup \{\omega_{G_3}\}$$

و

شکل ۱۴-۶- زیرسیستمهای با G_3 و G_2

از زیرسیستمهای ارتعاشی G_2 و G_3 ، مدهای ارتعاشی کل سیستم را می توان یافت. اگر هر سیستم ارتعاشی خودش متقارن باشد، بر طبق آن زیرسازه های متناظر با آن بدست می آیند. برای توضیحات بیشتر به مرجع [۳۴] مراجعه شود. کاهش بیشتر در صورت تقارن نیز امکان پذیر است.

شکل ۱۷-۶- مدل گراف G_3

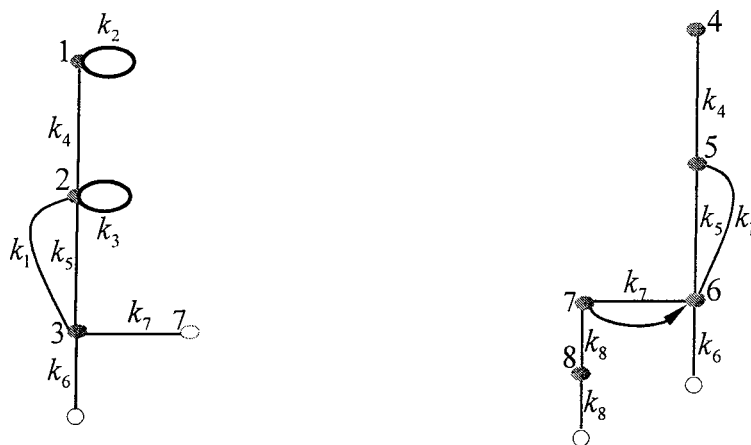
با توجه به مدل گراف ملاحظه می شود که سیستم دارای تقارن به فرم سه است. و می توان آن را به دو مولفه متقارن کاهش داد. این نتیجه بدون شماره گذاری روی سیستم و با توجه به مدل گراف مورد نظر و برچسب گذاری صحیح نیز کاملاً قابل درک است. ماتریس لایلین متناظر با مدل گراف

، نشان داده شده است.

$$L_T = \begin{bmatrix} k_2 + k_4 - m_1 & -k_4 & 0 & -k_2 & 0 & 0 & | & 0 & 0 \\ -k_4 & k_1 + k_3 + k_4 + k_5 - m_2 & -k_1 - k_5 & 0 & -k_3 & 0 & | & 0 & 0 \\ 0 & -k_1 - k_5 & k_6 + k_7 + k_5 + k_1 - m_3 & 0 & 0 & 0 & | & -k_7 & 0 \\ -k_2 & 0 & 0 & k_2 + k_4 - m_4 & -k_4 & 0 & | & 0 & 0 \\ 0 & -k_3 & 0 & -k_4 & k_1 + k_3 + k_4 + k_5 - m_5 & -k_5 & | & 0 & 0 \\ 0 & 0 & 0 & 0 & -k_5 & k_5 + k_6 + k_7 + k_1 - m_6 & | & -k_7 & 0 \\ \hline 0 & 0 & -k_7 & 0 & 0 & -k_7 & | & 2k_7 + k_8 - m_7 & -k_8 \\ 0 & 0 & 0 & 0 & 0 & 0 & | & -k_8 & 2k_8 - m_8 \end{bmatrix}$$

برای توضیحات بیشتر برای بدست آوردن ماتریس L_T به توضیحاتی که در ابتدای بخش (۵-۶) آورده شده است توجه شود.

مولفه های متقارن سیستم در شکل (۱۸-۶) نشان داده شده است.

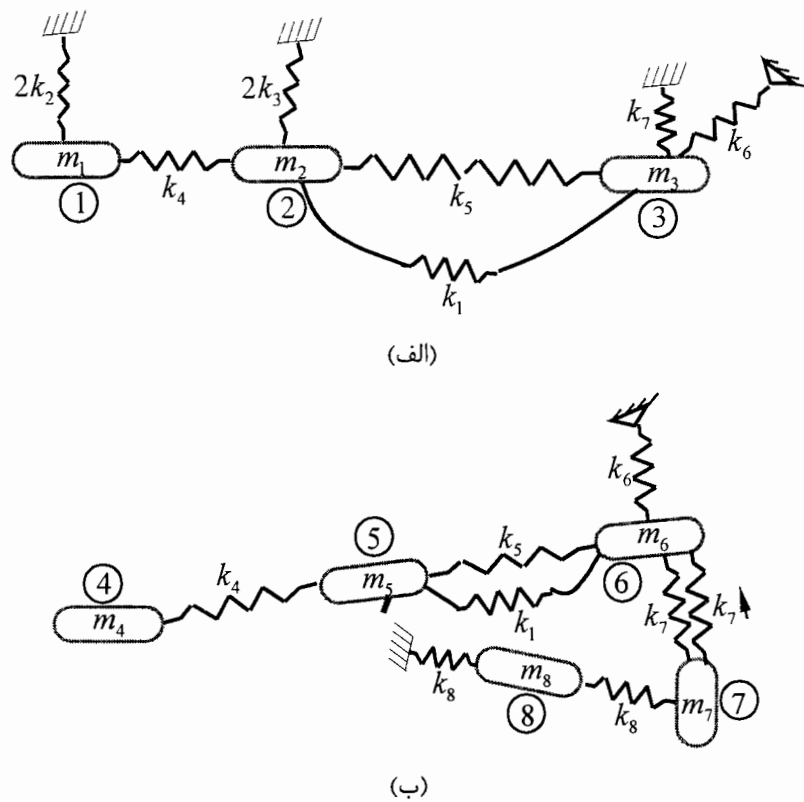
شکل ۱۸-۶ - (الف) مولفه متقارن G_2 (الف) مولفه متقارن G_3

ماتریس لایلسانین مولفه ها که همان اتمهای گراف می باشند، به صورت زیر بدست می آید:

$$L_{G_2} = \begin{bmatrix} 2k_2 + k_4 & -k_4 & 0 \\ -k_4 & k_1 + 2k_3 + k_4 + k_5 & -k_1 - k_5 \\ 0 & k_1 - k_5 & k_1 + k_5 + k_6 + k_7 \end{bmatrix}$$

$$L_{G_3} = \begin{bmatrix} k_4 & -k_4 & 0 & 0 & 0 \\ -k_4 & k_1 + k_4 + k_5 & -k_1 + k_5 & 0 & 0 \\ 0 & -k_1 - k_5 & k_1 + k_5 + k_6 + k_7 & -k_7 & 0 \\ 0 & 0 & 0 & -2k_7 + k_8 & -2k_7 \\ 0 & 0 & 0 & -k_8 & 2k_8 \end{bmatrix}$$

زیرسیستم های G_2 و G_3 در شکل ۱۹-۶ (الف و ب) نشان داده شده است.

شکل ۱۹-۶ - (الف) زیرسیستم G_3 (ب) زیرسیستم G_2

از مساوی صفر قرار دادن دترمینان L_T مقادیر ω حاصل می‌شوند.

از آنجایی که تنها بخشی که تا کنون در زمینه‌ی هم‌ارزی ماتریس لابلسین و مدل گرافهای متناظر با یک سیستم ارتعاشی، برای بدست آوردن مقادیر ویژه بحث حاضر می‌باشد این فصل از رساله به این بحث اختصاص یافته است. تقارن در سیستمهای دینامیکی باعث می‌شود سیستم جرم - فنر به زیرسیستمهای کوچکتری کاهش یابد. ماتریس‌های متناظر با این زیرسیستمهای کاهش یافته ابعاد کوچکتری دارند و شامل بخشی از ویژگی‌های سیستم ارتعاشی هستند. تقارن در مدل ریاضی با توزیع متقارن ویژگی‌های فیزیکی، که شامل جرمها و فنرها و اتصالات جرمها بوسیله‌ی فنرها می‌باشد متناظر است. برای هر مدل گرافی از یک سیستم دینامیکی تقارن به فرم دو، دو مولفه متقارن G_1 و G_2 را نتیجه می‌دهد. این مولفه‌ها به طور فیزیکی نشان می‌دهند که مولفه G_1 انعطاف پذیرتر از مولفه G_2 است، و فرکانس اصلی و متناظر در این قسمت از مدل قرار دارند. برای مدل گراف یک سیستم ارتعاشی با تقارن به فرم سه دو زیرسیستم G_2 و G_3 تولید می‌شوند.

برای مدل گراف یک سیستم ارتعاشی با تقارن به فرم سه دو زیرسیستم G_2 و G_3 تولید می شود. تعداد جرمهای فنرها در زیرسیستم G_2 کمتر از زیرسیستم G_3 می باشد، و در زیرسیستم G_3 فنرهای جهت دار را خواهیم داشت در اینجا ممکن است این سوال مطرح شود که وقتی از خاصیت گراف می توان در سیستمی استفاده کرد چه لزومی دارد که از مدل گراف استفاده کنیم؟ توجه به این نکته ضروری است که در واقع استنباط کلی در چنین سیستمهایی به کمک مدل گراف مورد نظر حاصل می شود و نمی توان از خاصیت ماتریسی گراف استفاده کرد بدون آنکه مطمئن باشیم که این خاصیت در مدل گراف برقرار است یا خیر؟. در ثانی سیستمهای جرم - فر سیستم هایی هستند که کل سیستم دارای یک درجه آزادی می باشد و وزن یال ها و راسهای یک درایهی یک بعدی است و می توان با یک مدل گراف معمولی زیر سیستم های حاصل را به راحتی ترسیم کرد بدون آنکه مساله سازه ای را دچار شباهت کنیم، هر چند در این مبحث فنر جهت دار مطرح می شود که در مساله ای مشاهده نشده است، لکن این موضوع با مشاهدات و مسایل مهندسی - در مورد مسایلی از این قبیل - قابل درک است، اما در بسیاری از مسایل مهندسی ما با سیستم هایی مواجه می شویم که راسهای دو سر یک یال با هم ارتباط دارند و این ارتباط از طریق یالها صورت می پذیرد و ارتباطی ماتریسی بین اعضا برقرار است. یعنی بسیاری از مسایل را نمی توان به سادگی به زیرسیستم یا زیرسازه تبدیل نمود چون مجبور می شویم برای برقراری ارتباط مورد نظر دائمًا المانهای جدیدی را تعریف کنیم که طرحی ناآشنا در مسایل سازه ای هستند [۴۱] و این در حالی است که دیدگاه گرافی به سهولت این خواست را مرتفع می سازد. در حقیقت در این مبحث با استفاده از **مدل گراف معمولی** به تنها یی، می توان مقادیر ویژه و مدهای موردنظر را بدست آورد بدون آنکه نیازی به ترسیم زیر سیستم ها باشد. یعنی این توانایی را داریم همانطور که در بسیاری از مسایل مهندسی مانند مکانیک و شیمی و عمران این خواست امکان پذیر شده و دقت بسیار بالایی از مساله حاصل شده است [۴۲، ۴۳، ۴۴].

فصل

روشهای تحلیل در پایداری
سازه‌ها

۱-۷-مقدمه

تئوری پایداری ارجاعی برای سازه‌ها یکی از مباحث مهم و کاربرد در طراحی‌های مهندسی است. از آنجا که بحث پایداری کلی و موضوعی سازه‌ها همواره در تمام بخش‌های تحلیل و طراحی یک سازه همانند طراحی اعضای کششی، فشاری، خمشی، پیچشی و ... حضوری پراهمیت دارد، روش‌های زیادی برای بررسی پایداری سازه‌ها بوجود آمده است که در این فصل به شرح و مقایسه‌ی آنها پرداخته می‌شود.

۲-۷-روشهای بدست آوردن بار بحرانی

کلأً می‌توان انواع تحلیل پایداری یک سازه را به دو بخش تحلیلی^(۱) و عددی^(۲) تقسیم کرد. روش‌های سنتی بررسی پایداری سازه‌ها، مبتنی بر معادلات دیفرانسیل تعادل یا روش‌های انرژی و یا ... هستند، که همگی بر پایه اصول اساسی مقاومت مصالح بنا شده‌اند.

روش تحلیلی همانند روش معادلات دیفرانسیل تعادل همان روش اصلی و اولیه تحلیل پایداری سازه‌هاست. این روش بر اساس تعادل نیرو در مقطعی از سازه و نوشتن معادلات دیفرانسیل تعادل بنا شده‌است. روش‌های عددی، مانند روش تفاضلات محدود و روش ماتریسی، از روش‌های دیگر بررسی پایداری سازها هستند که جبر ماتریسی را برای تحلیل ماتریس سازه به خدمت می‌گیرند[۴۵].

^(۱)analytical
^(۲)numerical

۷-۲-۱-روش معادلات دیفرانسیل

همانطوری که در بخش (۷-۲) توضیح داده شد، روش معادلات دیفرانسیل تعادل در واقع همان روش اصلی و اولیه تحلیل پایداری سازه‌های است که براساس تعادل نیرو در مقطعی از سازه و نوشتند معادلات دیفرانسیل بنا شده است.

پس از نوشتند معادلات دیفرانسیل، با توجه به شرایط مرزی موجود ثابت‌های انتگرال‌گیری محاسبه شده و بار بحرانی سازه براین اساس که در آن بار، وقتی که تغییرمکان سازه به سمت بی- نهایت میل می‌کند، محاسبه می‌شود.

در واقع این روش بیانگر مفهوم کمانش در یک سازه است. این تعریف نشان‌دهنده این است که کمانش سازه در لحظه‌ای اتفاق می‌افتد که تغییرشکلهای سازه به طور ناگهانی افزایش قابل ملاحظه‌ای پیدا می‌کند، بطوریکه سریعاً سازه در آن بخش گسیخته می‌شود. از آنجا که این روش بر اساس نیروها در مقطعی از سازه است، برای سازه‌های معین می‌تواند روشی موثر و کارا باشد، اما در سازه‌های نامعین محاسبه نیروهای داخلی برای نوشتند رابطه تعادل، نیازمند استفاده از روشهای تحلیل سازه‌های نامعین می‌باشد.

این موضوع برای سازه‌هایی که درجهات نامعینی زیادی دارند و مخصوصاً سازه‌هایی تغییر مکان جانبی دارند، موجب بروز مشکلاتی برای تحلیل پایداری می‌شود. واضح است که در این سازه‌ها قبل از نوشتند معادلات تعادل، ابتدا نیاز به حل یک سازه است که ممکن است درجهات آزادی زیادی داشته باشد. از تحلیل سازه‌های نامعین می‌دانیم که حتی روشهای قدرتمندی همانند شبیه‌آفت، پخش لنگر و کانی نیز برای تحلیل چنین سازه‌هایی با درجهات آزادی زیاد، از نظر زمان و هزینه به صرفه نیست.

۷-۲-۲-روش انرژی

روش انرژی بر اساس بررسی حالت سازه از لحاظ انرژی داخلی و خارجی و سپس بررسی تعادل آن بنا شده است. در این روش مقادیر انرژی کرنشی داخلی ΔU و انرژی خارجی ΔT محاسبه می‌شود.

در واقع در روش انرژی، با این فرض که تغییرمکان جانبی کوچک در سیستم وجود دارد، بررسی را شروع می‌کنیم.

این تغییر مکان موجب افزایش انرژی داخلی سیستم می‌شود. در همین زمان، بار P نیز تغییرمکان کوچکی خواهد داشت و به اندازه ΔT کار انجام خواهد داد [۴۶] و سه حالت زیر بوجود می‌آید:

۱. اگر $\Delta U < \Delta T$: سیستم در حالت تغییرمکان نیافته‌اش پایدار خواهد بود.
۲. اگر $\Delta U > \Delta T$: سیستم در حالت تغییرمکان نیافته‌اش ناپایدار خواهد بود.
۳. اگر $\Delta U = \Delta T$: نشان دهنده حالتی است که تعادل از وضع پایدار به وضع ناپایدار منتقل می‌شود.

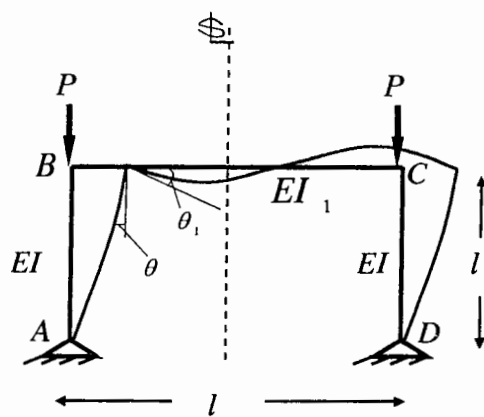
این روش برای سازه‌های معین، روشی مناسب و قوی است ولی برای بررسی پایداری سازه‌های نامعین بازهم نیاز به استفاده از روشهای تحلیل سازه‌های نامعین است.

با توجه به توضیحاتی که مختصرًا در مورد دو روش تعادل و انرژی گفته شد، دریافت می‌شود که حجم محاسباتی این روشهای افزایش درجات آزادی بطور قابل توجهی افزایش پیدا می‌کند. این مطلب برای سازه‌هایی که دارای درجات آزادی انتقالی یا همان تغییرمکانهای جانبی هستند (همانند قابهای پرتال و سازه‌های چند طبقه)، بحرانی‌تر می‌شود و از آنجایی که در عمل نیز با چنین سازه‌هایی سروکار داریم نیاز به روشهایی داریم که بتوانند از این اصول، به شکل مطلوبی بهره گیرند و حجم محاسبات را کاهش دهند.

مشکلات ذکر شده در بالا موجب پیدایش روشهای عددی و تقریبی برای بررسی پایداری سازه‌ها شده است. روشهایی همانند تفاضلات محدود (که یک روش تقریبی است)، روش ماتریسی (که یک روش دقیق و مناسب برای برنامه‌نویسی و نرم‌افزار است) و روش تحلیل پایداری با گرافها (که یک روش عددی با جوابهای بسیار تزدیک به جواب دقیق است و در فصل هشتم رساله به بررسی این روش پرداخته شده است) از این خانواده هستند.

در این بخش مختصرًا یک مثال مطرح می‌شود:

مثال ۱-۷- بار بحرانی P را برای قاب با تکیه گاه مفصلی شکل (۱-۷) به دست آورید.



شکل ۱-۷- قاب با تکیه گاه مفصلی با تغییر مکان جانبی [۴۶]

حل این قاب با استفاده از دو روش تعادل به صورت زیر خواهد بود [۴۶].

- اگر این قاب دارای یک محور تقارن باشد، می‌توان هر عضو قائم را همانند یک میله تحت فشار با یک انتهای آزاد و یک انتهای گیر دار در نظر گرفت. اگر محور های مختصات مطابق شکل باشند، معادله دیفرانسیل منحنی تغییر مکان میله AB عبارتست از:

$$EI \frac{d^2y}{dx^2} = -py \quad (1-7)$$

جواب این معادله با ارضای شرایط انتهایی میله در بخش پائینی می‌شود:

$$y = A \sin kx \quad (2-7)$$

در گره B مقادیر θ و θ_1 با هم برابرند و چون میله افقی، B تحت دو کوپل مساوی $p(y)_{x=l}$ قرار گرفته است، شرط مرزی در انتهای B میله قائم می‌شود:

$$\left(\frac{dy}{dx} \right)_{x=l} = p \cdot \frac{b}{6EI_1} (y)_{x=l} \quad (3-7)$$

با استفاده از معادله (۲)، داریم:

$$k \cos kl = \frac{pb \sin kl}{6EI_1} \quad (4-7)$$

- اگر میله BC کاملاً صلب باشد، $EI_1 = \infty$ شده و خواهیم داشت:

$$\cos kl = 0 \quad .kl = \frac{\pi}{2} \quad P_{cr} = \frac{\pi^2 EI}{4l^2} \quad (5-7)$$

در حالت عمومی معادله (4) را می توان بصورت زیر نوشت:

$$kl \cdot \tan kl = \frac{6I_1 l}{I_b} \quad (6-7)$$

و مقدار بحرانی بار P به ازای هر مقدار عددی نسبت $\frac{I_1 l}{I_2 l}$ قابل محاسبه است. اگر هر سه میله

دارای خصوصیات یکسانی باشند، خواهیم داشت:

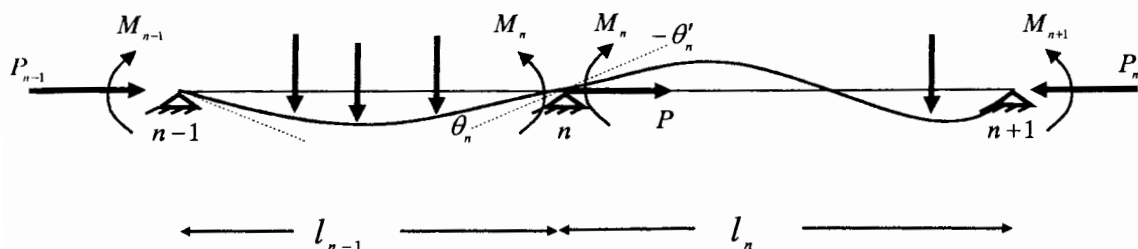
$$kl \cdot \tan kl = 6 \quad (7-7)$$

که از آن داریم:

$$kl = 1.35 \quad P_{cr} = \frac{1.82 EI}{l^2} \quad (8-7)$$

در این مثال مشاهده شد که برای یک قاب ساده که در واقع تنها سه درجه آزادی داشت، نیاز به معادله نه چندان ساده $kl \cdot \tan kl = 6$ بود و این معادله برای سازه های پیچیده تر تبدیل به معادلات حجیم و تقریباً غیر قابل حل می شود.

مثال ۷-۲- به عنوان مثال دیگر می توان رابطه تعادل بدست آمده برای تیر دو دهانه زیر که از یک تیر n دهانه جدا شده است را بررسی می کنیم.



شکل ۷-۲-یک تیر دو دهانه که از یک تیر n دهانه [۴۶]

معادله دیفرانسیل تعادل برای سازه بالا به صورت زیر می شود

$$M_{n-1}\phi(u_{n-1}) + 2M_n \left[\Psi(u_{n-1}) + \frac{l_n}{l_{n-1}} \cdot \frac{I_{n-1}}{I_n} \psi(u_n) \right] + M_{n+1} \cdot \frac{l_n}{l_{n-1}} \cdot \frac{I_{n-1}}{I_n} \phi(u_n) = -\frac{6EI_{n-1}}{l_{n-1}} (\theta_{0n} + \theta'_{0n}) \quad (9-7)$$

جمله های $\psi(u)$ و $\phi(u)$ توابعی غیر خطی بر حسب U هستند که U رابطه U به صورت زیر است.

$$u = \frac{kl}{2} \quad k = \sqrt{\frac{P}{EI}} \quad (10-7)$$

جملات دیگری نظیر θ'_{0n} و θ_{0n} در رابطه (9) مشاهده می شود که با استفاده از مباحث تكمیلی محاسبه می شوند هدف از ارائه این رابطه برای یک تیر سراسری نشان دادن پیچیدگی حل تحلیلی یک سازه است.

اما در روش انرژی بار بحرانی از مساوی هم قرار دادن مقادیر U و T محاسبه می شود که این مقادیر از روابط زیر به دست می آیند

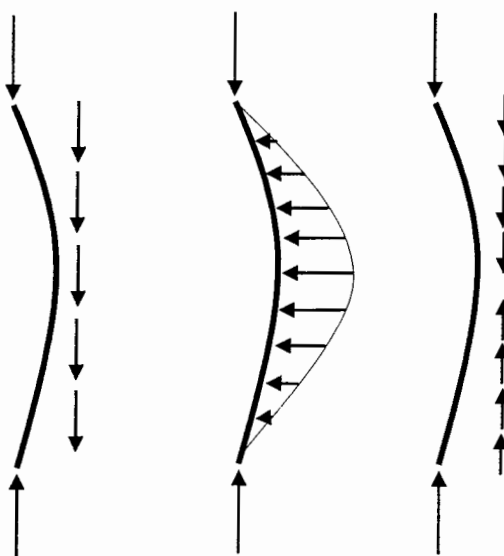
$$\Delta U = \int_0^l \frac{M^2 dx}{2EI} \quad M = Py(x) \quad (11-7)$$

که این رابطه معادل با انرژی کرنش داخلی سازه است و:

$$\Delta T = P\lambda \quad \lambda = \frac{1}{2} \int_0^l \left(\frac{dy}{dx} \right)^2 dx \quad (12-7)$$

این رابطه نیز معادل با انرژی خارجی یا کار نیروهای خارجی است.

روش انرژی برای سازه هایی که دارای بارهایی در میان دهانه هستند مانند شکل (3-7)، روش بسیار مناسب است ولی برای این سازه ها، هم نیاز به محاسبه انتگرال های عددی دارد.



شکل ۳-۷- ستونهای با بارگذاری خاص

معمولًا برای حل چنین مسائلی، سعی می‌شود که انتگرال‌های به وجود آمده از روش انرژی با روش‌های عددی نظیر روش سریهای متوالی حل شود. در واقع همواره با افزایش تعداد درجات آزادی لزوم حل عددی برای مسائل پدیدار می‌گردد. در حال حاضر اکثر مسائل مهندسی با روش‌های عددی حل می‌شوند و مسائل پایداری سازه‌ها نیز از این قائد مستثنی نیستند.

۳-۲-۷- روش‌های عددی

روشهای عددی بسته به نوع فرمول‌بندی استفاده شده در آنها دارای دقتهای متفاوتی برای مقادیر متفاوت بار بحرانی هستند. برخی از روشها همانند روش تفاضلات محدود^(۴) بسته به تعداد نقاط در دامنه مورد بررسی جوابهای متفاوتی می‌دهند و هر چه تعداد نقاط بیشتر باشد، جواب این روش دقیق‌تر می‌باشد. در کل این روش تا حدودی می‌تواند به عنوان روش مناسب برای تحلیل پایداری استفاده شود.

اما روش ماتریسی که براساس بسط ماتریس منحنی برای اعضای خمشی و فشاری بوجود آمده است روش بهتر و کارآمدتر از روش تفاضلات محدود است.

^(۴)finite difference

روش ماتریس، روشنی عددی است که جبر ماتریسی را برای تحلیل سازه مورد استفاده قرار می‌دهد و از این جهت که در برنامه‌نویسی رایانه‌ای به کار می‌رود بسیار حائز اهمیت است. در این روش سیستم به صورت مجموعه‌ای از اعضای گستته که دارای نقاطی موسوم به گره است و به هم‌دیگر متصل‌اند، مدل سازی می‌شود.^[۴۰]

معادله نیرو-تغییر شکل برای یک عضو را می‌توان به صورت زیر نوشت (شکل ۷-الف):

$$q_i = k_{ij} \cdot \delta_i \quad i = (1, n), j = (1, n) \quad (13-7)$$

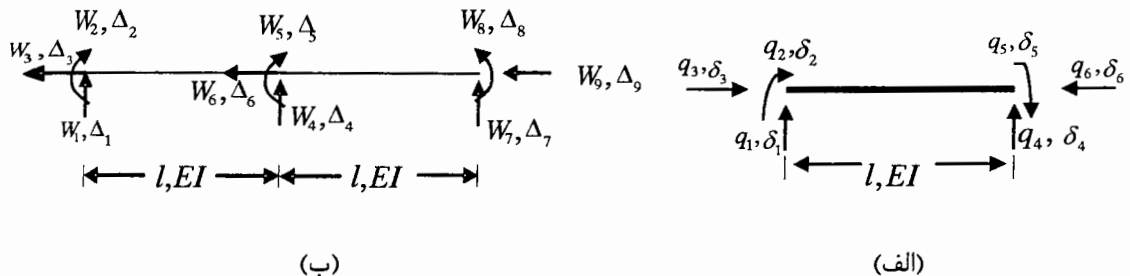
که در این رابطه k_{ij} به ضرایب تاثیر سختی موسوم است و نشانگر نیروی لازم q_i برای تغییر مکان واحد δ_i است و این تغییر در حالی محاسبه می‌شود که بقیه مولفه‌های تغییر مکانی برابر صفر در نظر گرفته می‌شود و n تعداد درجات آزادی در عضو مورد بررسی است.

اما معادله نیرو-تغییر شکل برای کل سازه را می‌توان به صورت زیر نوشت:

$$W_i = K_{ij} \Delta_j \quad i = 1, N, j = 1, N \quad (14-7)$$

و رابطه (14-7) را می‌توان به فرم ماتریس زیر نوشت.

$$[W] = [k] [\Delta] \quad (15-7)$$



شکل ۷-۳- (الف) نیروها و درجات آزادی یک عضو- (ب) نیرو و درجات آزادی یک سیستم سازه‌ای (مانند تیر).^[۱]

در اینجا، ابتدا ماتریس سختی هر یک از اعضاء با استفاده از روش‌هایی که در تحلیل ماتریس سازه‌ها ارائه می‌شود محاسبه کرد و سپس ماتریس سختی کل سازه نیز از سر هم کردن ماتریس تمام اعضاء در غالب یک ماتریس کلی محاسبه می‌شود که برای اطلاعات بیشتر در این مورد می‌توان به مرجع [۴۰] مراجعه کرد.

پس از محاسبه سختی خمی نوبت به محاسبه سختی فشاری اعضا می‌شود. سختی یک عضو خمی در محدوده تغییر شکلهای کوچک و تنش‌های ارجاعی ثابت بوده و رفتار آن‌ها توسط رابطه خطی $[Q] = [k][\Delta]$ قابل بیان است. در عوض سختی عضوی که تحت اثر همزمان با محوری و خمی قرار گیرد؛ تابعی از بار محوری خواهد بود. رابطه نیرو-تغییر شکل برای چنین عضوی به صورت زیر است.

$$[Q] = [[k] + P[k_1]][\Delta] \quad (16-7)$$

در این رابطه $[Q]$ شامل بارهای عرضی بوجود آورنده خمی، $[\Delta]$ حاوی تغییر شکلهای خمی وابسته به آن‌ها و P نشانگر بار محوری است. ماتریس سختی نیز دارای دو بخش است: بخش اول، ماتریس سختی استاندارد یک عضو خمی $[k]$ و بخش دوم یعنی $[k_1]$ ماتریسی است برای نمایش اثر نیروی P روی سختی عضو خمی.

تحت اثر بار بحرانی سختی خمی عضو برابر صفر می‌شود یعنی به ازاء مقادیر محدود بار-گذاری، تغییرمکان‌های خمی بی‌نهایت بزرگ می‌شوند. مقدار بار با استفاده از این مفهوم از صفر قرار دادن دترمینان ماتریس سختی کل سازه به دست می‌آید. برای توضیحات بیشتر به مرجع [۴۰] مراجعه شود.

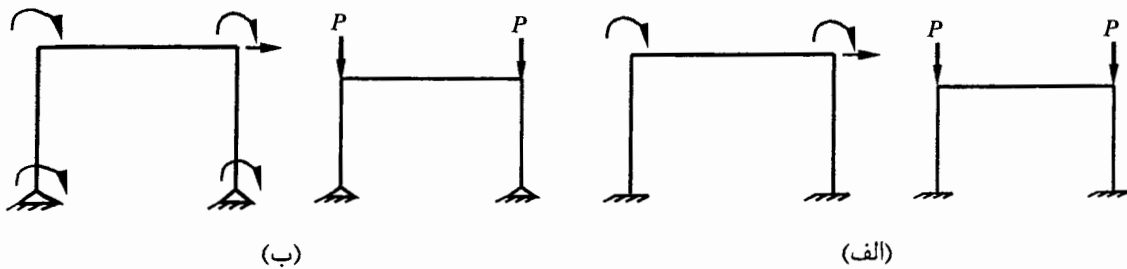
جواب‌های بدست آمده از این روش تطابق مناسبی با جواب‌های دقیق دارد. چند نمونه از آنها در زیر آورده شده است.

$P_{cr} = \frac{9.8EI}{l^2}$	روش تعادل	$P_{cr} = \frac{9.8EI}{l^2}$	روش ماتریسی	تیر دو سر مفصل
$P_{cr} = \frac{39.44EI}{l^2}$	روش تعادل	$P_{cr} = \frac{40EI}{l^2}$	روش ماتریسی	تیر دو سر گیر دار
$P_{cr} = \frac{9.8EI}{l^2}$	روش تعادل	$P_{cr} = \frac{7.5EI}{l^2}$	روش ماتریسی	قاب شکل (۴-الف)
$P_{cr} = \frac{1.82EI}{l^2}$	روش تعادل	$P_{cr} = \frac{2.2890EI}{l^2}$	روش ماتریسی	قاب شکل (۴-ب)

۱- قاب شکل (۴-۷-الف) به دلیل اینکه دارای ۵ درجه آزادی است دارای خطای بیشتری

نسبت به قاب (۴-۷-ب) که دارای ۳ درجه آزادی است می‌باشد. یعنی در هر مرحله قاب مفصلی دارای خطای بیشتری بسبت به قاب گیردار است.

۲- با توجه به مقایسه روش فوق با روشهای ماتریسی در قابها با توجه به افزایش تعداد درجات تغییر مکانی یا انتقالی و در نتیجه افزایش ابعاد، ماتریس سختی دارای خطا خواهد بود که در این راستا استفاده از روش ماتریسی در تئوری گراف به عنوان یکی از روشهای تحلیل پایداری سازه‌ها دارای اهمیت ویژه‌ای خواهد بود که در فصل هشتم رساله به بحث و بررسی این مهم پرداخته شده است.



شکل ۴-۷ (الف) نمایش نیروها و درجه آزادی‌های وارد بر قاب گیردار با تغییر مکان جانبی (ب) نمایش نیروها و درجه آزادی‌های وارد بر قاب مفصلی با تغییر مکان جانبی

۴-۷- سایر روشهای بررسی پایداری سازه‌ها برای حالات خاصی از سازه:

روشهایی که تاکنون شرح داده شد، روشهای کلی و نسبتاً قوی برای تحلیل پایداری انواع سازه‌ها بودند. معمولاً در هر علمی می‌توان روشهای سریع و جالبی را برای مسایل خاص بوجود آورد. بحث پایداری سازه‌ها نیز از این قضیه مستثنی نیست. برخی از روشهایی که در زیر به شرح آنها می‌پردازیم، دارای چنین خصوصیتی هستند که تنها برای حالات خاصی از سازه، روش سریع و کارا هستند [۴۷].

اساس اکثر این روشها بر پایه محاسبات تقریبی و یا گسته سازی^(۱) مدل مورد بررسی بنا شده است و به همین دلیل نیز دارای جوابهای تقریبی هستند که جوابهای اکثر این روشها، دارای دقیق مناسبی می‌باشند.

۱-۴-۷- روش انتگرال‌گیری دو گانه^(۲):

روش انتگرال‌گیری دو گانه را می‌توان به عنوان جایگزینی برای روش تقریبهای متوالی^(۳) که در ادامه شرح داده خواهد شد، در نظر گرفت. این روش برای ستونهایی با ممان اینرسی ثابت بسیار کاربرد دارد و در واقع روشی با روند معکوس است. به این دلیل که در ابتدا توابع شکل، مناسب فرض می‌شوند [۴۷] برای توضیح بیشتر به مرجع مراجعه شود.

قواعد این روش:

در ابتدا یک تابع تغییر مکان برای تعریف حالت کمانش یافته ستون فرض می‌شود که این رابطه بر حسب جملاتی از تغییرشکل حداقل δ است. سپس با استفاده از معادله‌ی دیفرانسیل زیر:

$$EI \frac{d^2y}{dx^2} = -M = -Py$$

تغییر مکان حداقل جدید، Δ بدست می‌آید. باز بحرانی زمانی بدست می‌آید که مقادیر δ و Δ به هم نزدیک شوند. به عنوان مثال برای یک ستون یکسر گیردار و یک سر آزاد روابط ذیل برقرار است:

$$P_{cr} = \frac{2.5EI}{l^2} \quad \text{روش انتگرال‌گیری}$$

$$P_{cr} = \frac{2.466EI}{l^2} \quad \text{جواب دقیق}$$

مشاهده می‌شود که خطای حدود ۱،۳۸٪ وجود دارد.

^(۱) discretization

^(۲) Double integration method

^(۳) Successive approximation

۷-۴-۲- روشن انتگرال گیری تک^(۱) :

مشکل اصلی روشن انتگرال گیری دو گانه این بود که این روشن برای ستونهایی با مقطع یکنواخت قابل اجرا بود و اینکه نیاز به دو بار انتگرال گیری وجود داشت و به همین دلیل روشن دو گانه نیز نامیده می‌شود.

روشن تقریب‌های متوالی بر این اصل استوار است که تغییرمکان حداقل منحنی تغییرشکل فرضی با تغییرمکان جدید بدست آمده بوسیله‌ی همان منحنی یکسان است. در روشن انتگرال گیری تک فرض بر این است که شیب منحنی فرضی در یک مقطع خاص با شیب جدید در همان مقطع که با استفاده از منحنی فرضی بدست آمده برابر است. دومین ویژگی این روشن این است که تنها یک بار انتگرال گیری انجام می‌شود و سومین ویژگی نیز قابل اعمال بودن این روشن بر ستونهایی با مممان اینرسی متغیر است.^[۴۷]

با استفاده از روشن انتگرال گیری تک برای یک ستون یک سرگیردار و یک سرآزاد داریم:

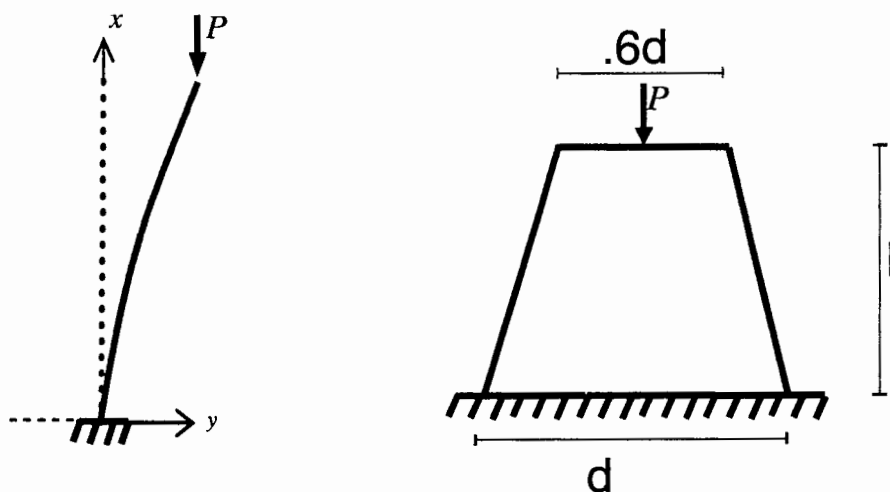
$$P_{cr} = \frac{2.348EI}{l^2} \quad \text{روشن انتگرال گیری}$$

$$P_{cr} = \frac{2.466EI}{l^2} \quad \text{جواب دقیق}$$

که حدود ۴،۸٪ خطأ دارد.

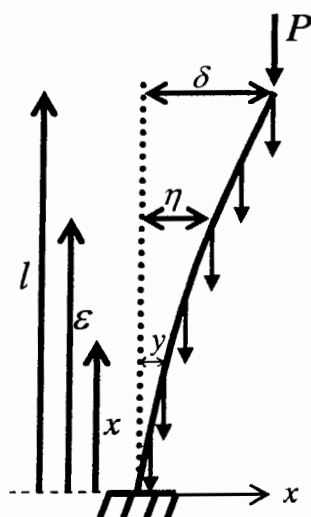
برای سازه‌ی شکل (۵-۷) با استفاده از روشن انتگرال گیری تک بار بحرانی $P_{cr} = \frac{6.52EI}{l^2}$ بدست می‌آید که دارای خطایی برابر ۱،۵۵٪ نسبت به جواب دقیق است.

^(۱) Single Integration Method

شکل ۷-۵- ستون با مقطع غیریکنواخت و با بار P روی آن

۳-۴-۷- روش مرکز جرم^(۱) :

این روش بیشتر برای ستونهایی قابل اعتماد است که دارای بارهای منفرد و یا گستردگی در میان دهانه هستند. برای توضیحات بیشتر به مرجع [۴۷] مراجعه شود. به عنوان مثال سازه‌ی شکل (۶-۷) را در نظر بگیرید.



شکل ۷-۶- ستون با بار گستردگی

^(۱) Center of Gravity Method

$P_{cr} = \frac{7.911EI}{l^2}$	روش مرکز جرم
$P_{cr} = \frac{7.837EI}{l^2}$	روش استفاده ازتابع بسل
$P_{cr} = \frac{7.890EI}{l^2}$	روش انرژی تیموشنکو

۴-۴-۷- روش تقریبیهای متوالی^(۱):

بار بحرانی برای ستونهای غیرمنشوری، پارامتری مجهول است و یا محاسبه‌ی آن بسیار پیچیده است. برای تعیین جواب قابل قبول برای چنین ستونهایی روش‌های تقریبی زیادی پیشنهاد شده است. یکی از این روشها روش تقریبیهای متوالی است.

این روش در اصل توسط دانشمندانی نظیر استودولا^(۲)، ویانلو^(۳)، شوارز^(۴)، ترفز^(۵) و نیومارک^(۶) موجود آمد.

کار اصلی در این روش مقایسه دو تغییر مکان قدیم یا قبلی و دیگری تغییر مکان جدید یا بعدی است.

تغییر مکان قدیم، یک تغییر مکان معلوم و معین در منحنی تغییر شکل فرضی است و تغییر مکان جدید، تغییر مکان محاسبه شده از این روش است. بنابراین این روش در واقع روش مقایسه‌ی تغییر شکل است.

برای محاسبه‌ی بار بحرانی با استفاده از این روش ابتدا یک منحنی تغییر مکان منطقی برای شکل کمانش یافته ستون فرض می‌شود به طوری که ارضا شرایط مرزی هندسی از لزومات اولیه‌ی این فرض است. براساس این تغییر مکانهای معلوم می‌توان لنگر خمشی را محاسبه نمود. سپس با دانستن لنگر خمشی، تغییر مکانهای جدید محاسبه می‌شوند. با مقایسه‌ی تغییر مکانهای فرضی با

^(۱) Successive approximation

^(۲) stodola

^(۳) vianello

^(۴) schwarz

^(۵) treftz

^(۶) newmark

تغییرمکانهای جدید، مقدار بار بحرانی بدست می‌آید. بسته به شانس، اگر منحنی فرضی همان منحنی دقیق انتخاب شود، با استفاده از این روش به جواب دقیق خواهیم رسید. با توجه به اینکه این روش نیازمند محاسبه‌ی لنگر خمشی و تغییر مکان در هر سیکل است، لذا محاسبه‌ی تغییرمکانها نیز از اهمیت خاصی برخوردار است که می‌توان بسته به نوع سازه از روشهای زیر استفاده کرد:

۱) روش انتگرال‌گیری دوگانه

۲) روش تیر مزدوج

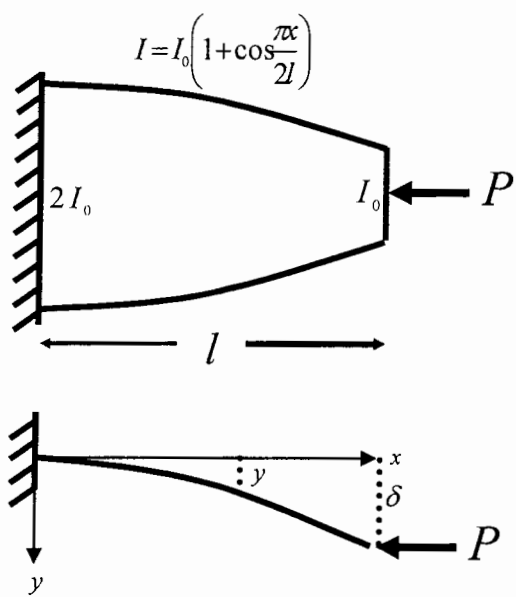
۳) روش بار واحد مجازی

۴) روش لنگر سطح

۵) تئوری کاستیگلیانو

به طور کلی می‌توان گفت که این روش یکی از روشهای قدرتمند برای محاسبه‌ی بار بحرانی ستونها با حالت خاص شکل و بارگذاری است و دارای کاربرد بسیاری در این زمینه است و البته جواب بدست آمده از این روش بستگی زیادی به منحنی اولیه فرضی برای حالت کمانش یافته‌ی سازه دارد. در واقع هر چه منحنی فرضی تطابق بیشتری با منحنی دقیق داشته باشد، جوابهای بسیار مطلوبی بدست خواهد آمد. پس می‌توان گفت که یکی از مشکلات اصلی این روش، حدس اولیه برای منحنی تغییرمکان ستون کمانش یافته است که البته این مسئله می‌تواند با تجربه‌ی حاصل از حل مسایل فراوان اندکی، رفع شود.

به عنوان مثال سازه‌ی شکل (۷-۷) با فرض اولیه‌ی $\frac{\delta x^2}{l^2} = \gamma$ را در نظر بگیرید.



شکل ۷-۷- سازه با حالت خاصی از شکل

از روش تقریبیهای متوالی بار بحرانی این ستون $P_{cr} = \frac{4.539EI}{l^2}$ بدست آمده که نسبت به جواب دقیق دارای خطای حدود ۷۵٪ است که این خطا، خطای بسیار کمی است و نشان دهندهی این است که منحنی اولیه فرض شده تطابق مناسبی با منحنی دقیق دارد.

فصل

کاربرد ماتریس لایپلاسین در
تقارن‌های به فرم دو و سه در
پایداری قابهای مفصلی

۱-۸- مقدمه:

قانون ابتدایی طبیعی در مورد کمانش ستون به این صورت است که وقتی برای وقوع پدیده، راههای مختلفی وجود داشته باشد، آسانترین مسیر برای وقوع آن انتخاب می شود. ستون زیر بارهای نسبتاً کم پدیده کوتاه شدن و زیر بارهای نسبتاً زیاد پدیده خم شدن را آسانتر می یابد. به بیان دیگر وقتی بار به مقدار کمانش خود می رسد ستون برای پایین بردن بار خم شدن را نسبت به کوتاه شدن آسانتر می یابد. بنابراین به نظر می آید، که بار کمانش حد باری است که با آن فشردن ستون بدون خم شدن ممکن است.

ستونها در معرض نوعی رفتار که به کمانش موسوم است قرار می گیرند. تا زمانی که بار روی چنین عضوی نسبتاً کم است، افزایش بار فقط به کوتاه شدن محوری قطعه منجر می شود که به نوبه خود می تواند باعث از کار افتادن عضو می شود. بنابراین باری که در آن کمانش اتفاق می افتد معیاری برای طرح اعضای فشاری است. لذا محاسبه بار بحرانی ستون دارای اهمیت زیادی می باشد^[۴۰، ۴۶، ۴۷].

بار بحرانی در مسایل سازه ای معمولاً به روش تحلیل با استفاده از روش تقریبی، روش انرژی، روش تعادل خنثی، معادلات شیب- افت، تحلیل ماتریسی و ... بدست می آید که در آنها با صرفنظر از تغییر شکل محوری المان های قاب می باشد بدین معنی که تغییر مکانهای دو سر المان تیر در هر طبقه یکسان در نظر گرفته می شود.

در این فصل با بکارگیری ماتریس لایلین تمرکز بر تحلیل ماتریسی می باشد و بار بحرانی قاب با امکان بر ساده سازی به کمک مدل گراف در حالت مقاومت و تجزیه گراف به مولفه های مقاومت حاصل می شود.

۲-۸- مدل گراف مرکب در تقارنهای کانونیکال:

مدل متناظر یک قاب سازه‌ای، گرافی وزندار می‌باشد که به صورت زیر تعریف می‌شود:

تکیه‌گاهها مفصلی در مدل گراف، راس خارجی یک راس مرکب می‌باشند که با خطچین نشان داده می‌شوند.

برای هر درجه آزادی، یک راس در مدل گراف مربوطه در نظر گرفته می‌شود. راسهای داخلی گراف مرکب، متناظر با درجه آزادی‌های دورانی و راسهای خارجی گراف، متناظر با درجه آزادی‌های انتقالی می‌باشند

هر راس برچسب‌گذاری شده معادل با یک سطر و ستون در ماتریس لایلسانین متناظر می‌باشد؛ یعنی به ازای هر راسی که وجود ندارد، سطرو ستون متناظر حذف می‌شود.

برای هر تیر و ستون یک یال در نظر گرفته می‌شود و وزنش میزان سختی تیر و ستون مورد نظر می‌باشد.

هر درجه آزادی با یک برچسب مشخص می‌شود.

مساله حاصل، یک مساله‌ی مقدار ویژه متناظر با مقادیر ویژه L_7 می‌باشد. سرهم کردن ماتریس لایلسانین به همان صورتی است که در ماتریس سختی صورت می‌گیرد؛ زیرا این دو ماتریس هم‌ارز یکدیگرند. این ارتباط با مدل گراف متناظر نشان داده می‌شود. از آنجایی که یک تنازن یک به یک بین دیاگرام مدل گراف و دیاگرام سازه‌ای برقرار است، بنابراین بین ماتریس سختی سازه و ماتریس لایلسانین گراف متناظر نیز این تنازن یک به یک وجود دارد. بنابراین مساله‌ی قاب سازه‌ای یک مساله‌ی ویژه از یک گراف می‌باشد.

برای هر گراف متقارن بار بحرانی با دو روش حاصل می‌شود.

الف- (حل به روش اول):

بدست آوردن مقدار ویژه کمینه، بدون تشکیل ماتریس اصلی، با توجه به شکل مدل گراف و با توجه به زیرماتریس‌ها

ب- (حل به روش دوم):

۱- به کمک ماتریس لایپلین یکی از مولفه های متقارن.

۸-۲-۱- ماتریس لایپلین در تقارن به فرم دو در قابها:

ماتریس سختی یک المان تیر- ستون به صورتی است که در شکل (۱-۸) نشان داده شده است.

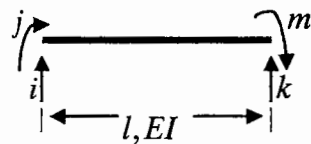
$$K = \frac{EI}{l^3} \begin{bmatrix} i & j & k & m \\ 12 & -6 & -12 & -6 \\ -6 & 4 & 6 & 2 \\ -12 & 6 & 12 & 6 \\ -6 & 2 & 6 & 4 \end{bmatrix} - \frac{P}{l} \begin{bmatrix} \frac{6}{5} & -\frac{1}{10} & -\frac{6}{5} & -\frac{1}{10} \\ -\frac{1}{10} & \frac{2}{15} & \frac{1}{10} & -\frac{1}{30} \\ -\frac{6}{5} & \frac{1}{10} & \frac{6}{5} & \frac{1}{10} \\ -\frac{1}{10} & -\frac{1}{30} & \frac{1}{10} & \frac{2}{15} \end{bmatrix} \begin{matrix} i \\ j \\ k \\ m \end{matrix}$$

شکل ۱-۸- درجه آزادی های وارد بر المان تیر- ستون

این ماتریس شامل دو قسمت است. قسمت اول ماتریس سختی معمولی برای یک عنصر خمشی و قسمت دوم ماتریسی است که اثر بار محوری روی ماتریس سختی خمشی را نشان می دهد. ماتریس اخیر بعضاً تحت عنوان ماتریس سختی تنش اولیه مطرح می شود. تغییر شکلهای زاویه ای در ضریب l

ضرب شده و بر ماتریس تغییر شکل اعمال شده است [۴۰].

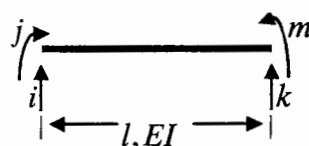
ماتریس تیر به صورت نشان داده شده خواهد بود.



شکل ۲-۸- نمایش درجه آزادی های وارد بر المان تیر

$$K = \frac{EI}{l^3} \begin{bmatrix} 12 & -6 & -12 & -6 \\ -6 & 4 & 6 & 2 \\ -12 & 6 & 12 & 6 \\ -6 & 2 & 6 & 4 \end{bmatrix}$$

متناسب با تغییر در شماره گذاری درجات آزادی، سطر و ستون ماتریس سختی تغییر خواهد کرد [۱۴]. اگر سطر و ستون چهار قرینه شود، یعنی ماتریس سختی را در $(-1) \times (-1)$ ضرب کرده- ایم و ماتریس، متقارن به فرم دو خواهد بود و این یعنی اینکه درجه آزادی m در جهت پاد ساعتگرد است ماتریس و المان تیر در حالت متقارن در شکل (۳-۸) نشان داده شده است.



شکل ۳-۸- نمایش درجه آزادی های متقارن وارد بر المان تیر

$$K = \frac{EI}{l^3} \begin{bmatrix} 12 & -6 & -12 & 6 \\ -6 & 4 & 6 & -2 \\ -12 & 6 & 12 & -6 \\ 6 & -2 & -6 & 4 \end{bmatrix}$$

ماتریس لاپلاسین المان تیر- ستون نیز متقارن به فرم دو خواهد بود.

$$L = \frac{EI}{l^3} \begin{bmatrix} i & j & k & m \\ 12 & -6 & -12 & -6 \\ -6 & 4 & 6 & 2 \\ -12 & 6 & 12 & 6 \\ -6 & 2 & 6 & 4 \end{bmatrix} - \frac{P}{l} \begin{bmatrix} i & j & k & m \\ \frac{6}{5} & -\frac{1}{10} & -\frac{6}{5} & -\frac{1}{10} \\ -\frac{1}{10} & \frac{2}{15} & \frac{1}{10} & -\frac{1}{30} \\ -\frac{6}{5} & \frac{1}{10} & \frac{6}{5} & \frac{1}{10} \\ -\frac{1}{10} & -\frac{1}{30} & \frac{1}{10} & \frac{2}{15} \end{bmatrix}$$

شکل ۸-۴- نمایش درجه آزادی های وارد بر المان تیر- ستون

مدل گراف متناظر با ماتریس، یالی است که حاوی دو راس مرکب در دو انتهای می باشد به شکل (۶-۵) توجه شود. که در آن j و m راسهای داخلی و k و i راسهای خارجی می باشند.



شکل ۸-۵- نمایش مدل گراف متناظر با یک المان در قاب سازه ای

$$L = \frac{EI}{l^3} \begin{bmatrix} 12 & -6 & -12 & 6 \\ -6 & 4 & 6 & -2 \\ -12 & 6 & 12 & -6 \\ 6 & -2 & -6 & 4 \end{bmatrix} - \frac{P}{l} \begin{bmatrix} \frac{6}{5} & -\frac{1}{10} & -\frac{6}{5} & \frac{1}{10} \\ -\frac{1}{10} & \frac{2}{15} & \frac{1}{10} & -\frac{1}{30} \\ -\frac{6}{5} & \frac{1}{10} & \frac{6}{5} & -\frac{1}{10} \\ \frac{1}{10} & \frac{1}{30} & -\frac{1}{10} & \frac{2}{15} \end{bmatrix}$$

همانطوری که از ماتریس شکل (۸-۵) و (۸-۱) ملاحظه می شود، ماتریس لایلین متناظر گراف هم ارز ماتریس سختی در قاب سازه ای می باشد.
ماتریس لایلین متناظر یک تیر در یک قاب سازه ای به صورت زیر می باشد.

$$L = \frac{EI}{l^3} \begin{bmatrix} 4 & 2 \\ 2 & 4 \end{bmatrix} \quad (1-8)$$

که این ماتریس خود، به تنها یی متقارن به فرم دو می باشد و همین خاصیت، افزای در مدل گراف متناظر و ساده سازی در مساله را موجب می شود.

عملیات ماتریسی در گرافهای متناظر قابها، با سازه ای اصلی معادل است و با یک بروجربانی مطابق با بخش (۴-۶) فصل شش، به روشنی مشهود است که وزن یکی از مولفه های متقارن از دیگری بیشتر است یعنی ماتریس لابلسین متناظر مولفه مذکور، دارای مقدار ویژه کمینه و بار بحرانی بیشینه خواهد بود و این مهم در قابهای مفصلی با تقارن به فرم دو، یعنی اینکه به جای تحلیل ماتریسی یک سازه با $R \times R$ بعد (R درجه ای آزادی)، سرو کار با نیمی از آن، یعنی $\frac{R}{2} \times \frac{R}{2}$ بعد می باشد. ضمن اینکه در مسایل پایداری سازه ها بدست آوردن مقدار ویژه مینیمم لازم است و طیف مقدار ویژه، مطلوب مساله نیست. بنابراین ضروری است تا طریقه بدهست آوردن اتمهای متناظر در این سازه ها مورد توجه قرار گیرد.

۱-۱-۲-۸- گامهای بدهست آوردن اتمهای گراف در تقارن به فرم دو:

همانطوری که در بخش (۴-۴) از فصل چهارم ذکر شد، یالی که خط تقارن آن را قطع می کند، یال رابط نامیده می شود که این یال، مدل متناظر تیر در قاب سازه ای می باشد. در تقارنهای به فرم دو و سه در قابهای مفصلی هرگراف به دو مولفه متقارن کاهش می یابد، بنابراین دو مولفه متقارن، اتمهای گراف می باشند. در تقارنهای به فرم دو مراحل ذیل برقرار است.

۱- یالی که خط تقارن از آن عبور می کند:

با توجه به رابطه (۱-۸) و از تقارن به فرم دو مقادیر زیر حاصل می شوند.

$$L_{G_1} = [H] + [H'] = \frac{EI}{l^3} (4+2) = \frac{6EI}{l^3}$$

$$L_{G_2} = [H] - [H'] = \frac{EI}{l^3} (4-2) = \frac{2EI}{l^3}$$

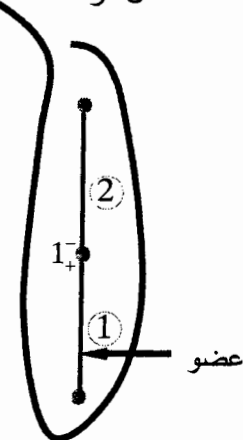
رابطه ماتریسی فوق در اتمهای گراف به صورت زیر برقرار است:

- در اتم G_1 یک حلقه به صورت خود - وزن $\frac{EI}{l^3}$, به راس با برچسب j دوبل می شود.
- در اتم G_2 یک حلقه به صورت خود - وزن $\frac{3EI}{l^3}$, به راس با برچسب m دوبل می شود.

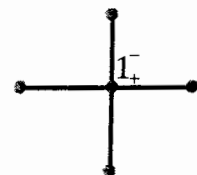
۲- برچسب‌گذاری:

در مدل گراف مورد نظر، درجه آزادی‌های متناظر عضو و قاب به صورتی است که در شکل‌های (۶-۸-الف) و (۶-۸-ب) برچسب‌گذاری می‌شوند. در شکل (۶-۸-ب) بالهای ① و ② متناظر با عضو در سیستم سازه‌ای می‌باشند.

مدل گراف متناظر با یک سیستم سازه‌ای



شکل ۶-۸-ب- نمایش برچسب‌گذاری یک گراف متناظر با یک سیستم



شکل ۶-۸-الف- طریقه‌ی برچسب‌گذاری

بدلیل اینکه اثر درجه آزادی المان‌های ① و ② در سازه از نظر اثر درجه آزادی در سیستم قاب کلی می‌تواند متفاوت باشد؛ با تبدیل ماتریس‌های سختی هر یک از اعضاء در مختصات عضوی به سازه‌ای و ترکیب نتایج به کمک ماتریسهای تبدیل ماتریس سختی کل قاب بدست می‌آید. برای توضیحات بیشتر به مرجع [۴۰] مراجعه شود. از آنجایی که ماتریس لایلین هم‌ارز ماتریس سختی می‌باشد، هر خاصیتی که ماتریس سازه‌ای داشته باشد؛ ماتریس لایلین نیز دارد. بنابراین

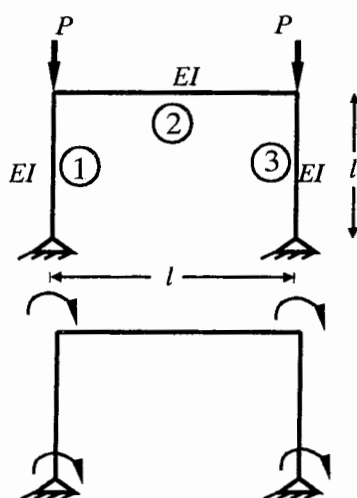
ماتریس لایپلائین این خاصیت ماتریس سختی را نیز شامل می شود. در نتیجه برچسب‌گذاری راسها در این وضعیت در مدل گراف مورد نظرداری اهمیت می باشد. اگر یال⁽²⁾ متناظر با ستون در قاب سازه‌ای باشد زمانی که درجه آزادی عضو در مختصات محلی در خلاف جهت درجه آزادی سیستم قاب سازه‌ای باشد، یک علامت منفی در گوشی بالای سمت راست برچسب ۱، برای یال⁽²⁾ در مدل گراف متناظر در نظر گرفته می شود. این برچسب‌گذاری، برچسب‌گذاری پیشرو⁽¹⁾ نامیده می شود. علامت مثبت در گوشی پایین سمت چپ برچسب ۱، مربوط به یال⁽¹⁾ است و به این دلیل است که درجه آزادی عضو در مختصات محلی هم‌جهت با درجه آزادی سیستم قاب سازه‌ای می باشد این برچسب‌گذاری، برچسب‌گذاری پسرو⁽²⁾ نامیده می شود. برای سهولت امر از قرار دادن علامت مثبت کنار برچسب مورد نظر خودداری می شود.

⁽¹⁾ Forerunner labeling⁽²⁾ retrograde labeling

قابهای بدون تغییر مکان جانبی با دهانه‌ی فرد:

مثال ۱-۸- قاب یک طبقه یک دهانه‌ی ۴ درجه آزادی با تکیه‌گاههای مفصلی در شکل (۷-۶-الف)

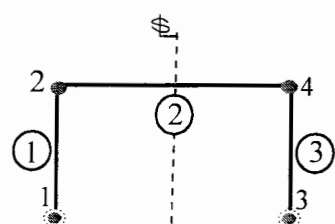
نشان داده شده است. فرض بر این است که در تمام موارد اشاره شده در این فصل بارهای خارجی P مستقیماً روی ستونها عمل می‌کنند. در کلیه قابهای مطرح شده در رساله، ثابت $EI = EI$ در نظر گرفته می‌شود.



شکل ۷-۸-الف- نمایش نیروها و درجه آزادی‌های واردہ بر قاب یک طبقه [۴۰]

الف-

مدل گراف قاب با برچسب‌گذاری نشان داده شده در شکل (۷-۸-ب) نشان داده شده است. مطابق با موارد ذکر شده در بخش (۲-۸) راسهای داخلی گراف مرکب، متناظر با درجه آزادی‌های دورانی می‌باشند که با ۴ برچسب در شکل نشان داده شده‌اند و تکیه‌گاههای مفصلی در مدل گراف، راس خارجی یک راس مرکب می‌باشند که با خط‌چین نشان داده شدند و برچسب‌گذاری نمی‌شوند. برای هر تیر و ستون در قاب یک یال در مدل گراف متناظر در نظر گرفته شده است که وزنش میزان سختی تیر یا ستون مورد نظر می‌باشد، به اینصورت که یال ②، یالی است که خط تقارن از آن عبور می‌کند و یال رابط می‌باشد، و در مدل گراف، متناظر با تیر در قاب سازه‌ای می‌باشد. یالهای ① و ③ نماینده‌ی ستون در قاب سازه‌ای می‌باشند.



شکل ۷-۸-ب- مدل گراف متناظر با تقارن به فرم دو

همانطوری که ملاحظه می شود مدل گراف، دارای تقارن به فرم دو می باشد. یعنی این گراف هم از نظر برچسب‌گذاری و هم از نظر ترتیب و نوع قرار گرفتن المانها دارای تقارن به فرم دو می باشد. ماتریس لایلین تعمیم یافته گراف وزنیار به صورت زیر نشان داده شده است.

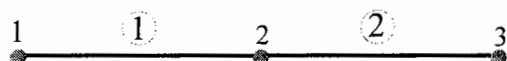
(۲-۸)

$$L_T = \frac{EI}{l^3} \begin{bmatrix} 4 & 2 & 0 & 0 \\ 2 & 4+4 & 0 & 2 \\ 0 & 0 & 4 & 2 \\ 0 & 2 & 2 & 4+4 \end{bmatrix} - \frac{P}{l} \begin{bmatrix} \frac{2}{15} & -\frac{1}{30} & 0 & 0 \\ -\frac{1}{30} & \frac{2}{15} & 0 & 0 \\ 0 & 0 & \frac{2}{15} & -\frac{1}{30} \\ 0 & 0 & -\frac{1}{30} & \frac{2}{15} \end{bmatrix}$$

1
2

ماتریس 1 یک ماتریس به فرم دو می باشد و ماتریس 2 یک ماتریس به فرم یک می باشد که حالت خاصی از تقارن به فرم دو است.

حال نحوه بدست آمدن رابطه‌ی بالا شرح داده می شود. برای این منظور یک مدل ساده از گراف که در شکل (۸-۸) نشان داده شده، مورد بررسی قرار می گیرد.



شکل ۸-۸-نمایش یک مدل گراف

ماتریس لایلین این مدل گراف به صورت زیر می باشد:

$$L = \begin{bmatrix} 1 & 2 & 3 \\ 1 & -1 & 0 \\ -1 & 2 & -1 \\ 0 & -1 & 1 \end{bmatrix} \begin{matrix} 1 \\ 2 \\ 3 \end{matrix}$$

ماتریس لaplاسین هر یک از یالهای ① و ② به صورتی است که در شکل (۸-۹) و (۸-۱۰) نشان داده شده است.



$$L = \begin{bmatrix} 1 & 2 \\ 1 & -1 \\ -1 & 1 \end{bmatrix} \begin{matrix} 1 \\ 2 \\ 3 \end{matrix}$$



$$L = \begin{bmatrix} 2 & 3 \\ 1 & -1 \\ -1 & 1 \end{bmatrix} \begin{matrix} 2 \\ 3 \\ 3 \end{matrix}$$

شکل ۸-۹-۱۰-مدل گراف یال ② و ماتریس لaplاسین متناظر با آن

از سرهم بندی کردن ماتریس یالهای ① و ②، با هم، ماتریس زیر حاصل می شود:

$$L = \begin{bmatrix} 1 & 2 & 3 \\ 1 & -1 & 0 \\ -1 & 1+1 & -1 \\ 0 & -1 & 1 \end{bmatrix} \begin{matrix} 1 \\ 2 \\ 2 \\ 3 \end{matrix}$$

یعنی در راس ۲ که راس مشترک دو یال ① و ② می باشد، عدد درایه‌ی (۲, ۲) از ماتریس لaplاسین متناظر یال ① با عدد درایه‌ی (۲, ۲) از ماتریس لaplاسین یال ② برای اسمبل شدن باید با یکدیگر جمع شوند. حال نحوه بدست آمدن رابطه‌ی (۸-۱) شرح داده می شود. با توجه به اینکه ماتریس لaplاسین برای مدل گراف شکل (۸-۵) نشان داده شده است، با اسمبل کردن ماتریس لaplاسین گرافهایی همانند شکل (۸-۵) و تشکیل ماتریس لaplاسین گراف شکل (۸-۷-ب) رابطه‌ی (۸-۲) برای ماتریس لaplاسین کل سازه تشکیل می شود، که این رابطه منطبق بر رابطه‌ای است که از تحلیل ماتریسی برای ماتریس سختی کل بدست می آید [۴۰]. لازم به ذکر است که مدل گراف به صورت شکل (۸-۱۱) می باشد، زیرا سازه دارای درجه آزادی انتقالی نمی باشد.





شکل ۱۱-۸- مدل گراف بدون راس خارجی

و ماتریس لایپلین متناظر با تیر و ستون یا (۱۱-۸) به صورت زیر می باشد:

$$L = \frac{EI}{l^3} \begin{bmatrix} 4 & 2 \\ 2 & 4 \end{bmatrix} - \frac{P}{l} \begin{bmatrix} \frac{2}{15} & -\frac{1}{30} \\ -\frac{1}{30} & \frac{2}{15} \end{bmatrix}$$

ماتریس لایپلین متناظر با ستون

$$L = \frac{EI}{l^3} \begin{bmatrix} 4 & 2 \\ 2 & 4 \end{bmatrix}$$

ماتریس لایپلین متناظر با تیر

بار بحرانی، زمانی اتفاق می افتد که سختی سازه صفر شود، یا در واقع حداکثر یک نیروی کوچک به تغییر شکلهای بینهایت برسد. این ویژگی را می توان با صفر قرار دادن دترمینان ماتریس سختی کل

$$\lambda = \frac{pl^2}{30EI}$$

$$L_T = \frac{EI}{l^3} \begin{bmatrix} 4-4\lambda & 2+\lambda & 0 & 0 \\ 2+\lambda & 8-4\lambda & 0 & 2 \\ 0 & 0 & 4-4\lambda & 2+\lambda \\ 0 & 2 & 2+\lambda & 8-4\lambda \end{bmatrix}$$

همانطوری که ملاحظه می شود این ماتریس دارای تقارن به فرم دو است که در آن طبق روابط حاکم بر فرم دو:

$$[H] = \frac{EI}{l^3} \begin{bmatrix} 4-4\lambda & 2+\lambda \\ 2+\lambda & 8-4\lambda \end{bmatrix}, [H'] = \frac{EI}{l^3} \begin{bmatrix} 0 & 0 \\ 0 & 2 \end{bmatrix}$$

چون گراف دارای ۴ راس برچسب گذاری شده می باشد پس دارای چهار سطر و ستون در ماتریس لایپلین حاصل خواهد بود. با استفاده از زیرماتریس های کاهش یافته مقادیر λ_{\max} و λ_{\min} بدست می آیند. با توجه به مواردی که در بالا توضیح داده شد و بخش (۲-۲-۴) مقادیر λ_{\max} و λ_{\min} از صفر قرار دادن دترمینان ماتریسهای زیر بدست می آیند.

$$\lambda = 1 \quad L_{G_1} = L_H + \lambda_1 H' = [H] + [H'] = \frac{EI}{l^3} \begin{bmatrix} 4-4\lambda & 2+\lambda \\ 2+\lambda & 10-4\lambda \end{bmatrix} \Rightarrow |L_{G_1}| = 0 \Rightarrow$$

$$\lambda = 3.2649, 0.7351 \Rightarrow \lambda_{\max} = 3.2649$$

$$\lambda = -1 \quad L_{G_2} = L_H - \lambda_2 L_{H'} = [H] - [H'] = \frac{EI}{l^3} \begin{bmatrix} 4-4\lambda & 2+\lambda \\ 2+\lambda & 6-4\lambda \end{bmatrix} \Rightarrow |L_{G_2}| = 0 \Rightarrow$$

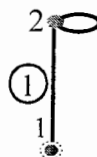
$$\lambda = 2.3710, 0.5624 \Rightarrow \lambda_{\min} = 0.5624$$

$$\lambda = \lambda_{\min} = \frac{PL^2}{30EI} \Rightarrow P_{cr} = 16.87 \frac{EI}{l^2}$$

همانطوری که ملاحظه می شود بار بحرانی با توجه به مقدار λ_{\min} بدست می آید.

- ب

با توجه به بخش (۲-۳-۵) می توان گراف شکل (۷-۸-ب) را به دو اتم G_1 و G_2 تقسیم کرد. مقدار بار بحرانی سازه با استفاده از اتمهای G_1 و G_2 و با توجه به بخش (۱-۲-۸) حاصل می شود. در اتم G_1 ، همانطوری که در شکل (۱۲-۸-الف) نشان داده شده، یک حلقه به صورت خود وزن $\frac{EI}{l^3}$ به راس با برچسب 2 دوبل می شود.



شکل ۱۲-۸-الف- اتم G_1

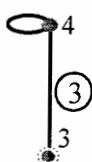
ماتریس لایلین اتم وزندار G_1 به صورت زیر بدست می آید:

ماتریس لایلین اتم وزندار $G_1 = ($ ماتریس یال وزندار + ماتریس خود _ حلقه وزندار $)$

$$L_{G_1} = \frac{EI}{l^3} \begin{bmatrix} 4 & 2 \\ 2 & 4 \end{bmatrix} + \frac{EI}{l^3} \begin{bmatrix} 0 & 0 \\ 0 & 2(3) \end{bmatrix} - \frac{P}{l} \begin{bmatrix} \frac{2}{15} & -\frac{1}{30} \\ -\frac{1}{30} & \frac{2}{15} \end{bmatrix} =$$

$$\frac{EI}{l^3} \begin{bmatrix} 4-4\lambda & 2+\lambda \\ 2+\lambda & 10-4\lambda \end{bmatrix} \Rightarrow |G_1| = 0 \quad \alpha \quad \lambda = \{3.2649 \quad 0.7351\}$$

همانطوری که از شکل (۱۲-۸-الف) مشاهده می شود، یک خود حلقه با وزن $\frac{3EI}{l^3}$ به راس ۲ دوبل شده است. بنابراین درایه ماتریسی $(2, 2)$ دارای وزن $\frac{6EI}{l^3}$ می باشد. در واقع این خود حلقه به علت اینکه ماهیت اصلی آن تیر است فاقد بخش فشاری در ماتریس لایلسانین متناظر با آن است. در اتم G_1 با توجه به شکل (۱۲-۸-ب) یک حلقه به صورت خود - وزن $\frac{3EI}{l^3}$ به راس ۴ دوبل می - شود.

شکل ۱۲-۸-ب- اتم G_2

ماتریس لایلسانین متناظر با اتم وزن دار G_2 به صورت زیر می باشد:

$$\text{ماتریس لایلسانین اتم وزن دار } G_2 = (\text{ماتریس یال وزن دار} + \text{ماتریس خود - حلقه وزن دار})$$

$$L_{G_2} = \frac{EI}{l^3} \begin{bmatrix} 4 & 2 \\ 2 & 4 \end{bmatrix} + \frac{EI}{l^3} \begin{bmatrix} 0 & 0 \\ 0 & 2(1) \end{bmatrix} - \frac{P}{l} \begin{bmatrix} \frac{2}{15} & -\frac{1}{30} \\ -\frac{1}{30} & \frac{2}{15} \end{bmatrix} =$$

$$\frac{EI}{l^3} \begin{bmatrix} 4 - 4\lambda & 2 + \lambda \\ 2 + \lambda & 6 - 4\lambda \end{bmatrix} \Rightarrow |G_2| = 0 \quad \alpha \quad \lambda = \{2.3710, 0.5624\} \Rightarrow \lambda_{\min} = 0.5624$$

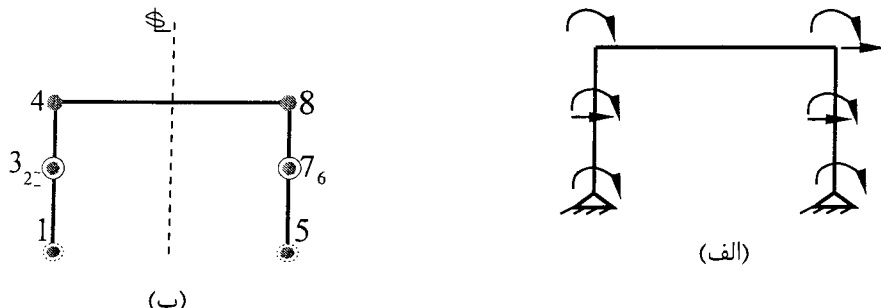
$$\lambda = \frac{Pl^2}{30EI} \quad \Rightarrow \quad P_{cr} = 16.87 \frac{EI}{l^2}$$

ملاحظه می شود که مقدار بار بحرانی حاصله از ماتریس لایلسانین تعمیم یافته گراف وزن دار و ماتریس لایلسانین اتم ها با یکدیگر برابرند.

-ج-

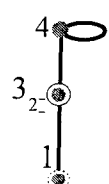
برای بدست آوردن تقریب بهتری از بار بحرانی، همانطوری که در شکل (۹-۸-الف و ب) نشان داده شده، عضو $4-2,3-1$ به دو قسمت مساوی به فاصله $\frac{l}{2}$ تقسیم می شود. هر درجه آزادی با یک راس

در مدل گراف متناظر نشان داده می شود یعنی درجه آزادی انتقالی با راس خارجی و با برچسب ۲ و ۶ درجه آزادی دورانی با راس داخلی در مدل گراف نمایش داده می شود.

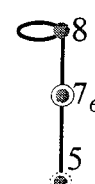


شکل ۱۳-۸-الف-قاب ب-مدل گراف متناظر با قاب

با تشکیل اتمهای G_1 و G_2 که در شکل (۱۳-۸-ج) و (۱۳-۸-د) نشان داده شده است در اتم G_1 طوقهای با وزن $\frac{3EI}{L^3}$ و در اتم G_2 طوقهای با وزن $\frac{1}{8} \frac{EI}{L^3}$ به صورت دوبل به ترتیب در راس های ۴ و ۸ دوبل می شود.



شکل ۱۳-۸-د-اتم G_1



شکل ۱۳-۸-ج-اتم G_2

ماتریس لایلسانین اتم وزندار G_2 به صورت زیر بدست می آید.

$$L_{G_1} = \frac{EI}{.125L^3} \begin{bmatrix} 4 - 4\lambda & -6 + 3\lambda & 2 + \lambda & 0 \\ -6 + 3\lambda & 24 - 72\lambda & 0 & 6 - \lambda \\ 2 + \lambda & 0 & 8 - 8\lambda & 2 + \lambda \\ 0 & 6 - 3\lambda & 2 + \lambda & 4 - 4\lambda + 2(3/8) \end{bmatrix} \Rightarrow$$

$$|L_{G_1}| = 0 \alpha \quad \lambda = \{2.0701, 1.1670, 0.4326, 0.0999\}$$

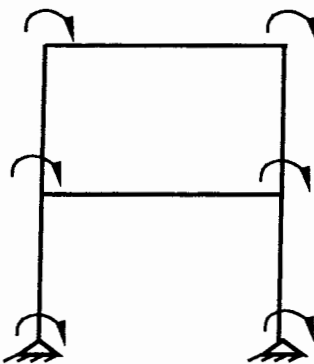
$$L_{G_2} = \frac{EI}{.125L^3} \begin{bmatrix} 4-4\lambda & -6+3\lambda & 2+\lambda & 0 \\ -6+3\lambda & 24-72\lambda & 0 & 6-\lambda \\ 2+\lambda & 0 & 8-8\lambda & 2+\lambda \\ 0 & 6-3\lambda & 2+\lambda & 4-4\lambda+2(1/8) \end{bmatrix} \Rightarrow$$

$$|L_{G_2}| = 0 \mapsto \lambda = \{2.0217, 1.1188, .4114, .0872\} \Rightarrow \lambda_{\min} = .0872 \rightarrow P_{cr} = 10.46 \frac{EI}{L^2}$$

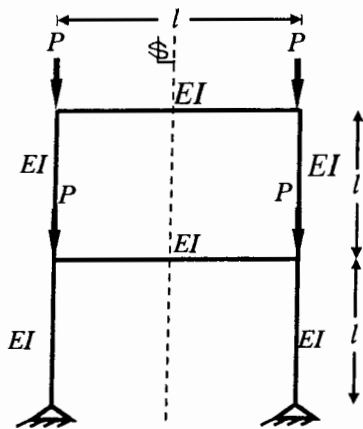
این نتیجه به مقدار دقیق $P_{cr(exact)} = 11.55 \frac{EI}{l^2}$ نزدیک میباشد [۴۷].

جهت روشن تر شدن موضوع مثال دیگری مورد بررسی قرار میگیرد.

مثال ۲-۸- قاب شکل (۱۴-۸-الف) یک قاب یک دهانه دو طبقه با ۶ درجه آزادی میباشد که در شکل (۱۴-۸-ب) نشان داده شده، مدل گراف این قاب دارای تقارن به فرم دو میباشد. لذا ماتریس لابلسین حاصله دارای تقارن به فرم دو است.



شکل ۱۴-۸-ب- نمایش درجه آزادی های قاب

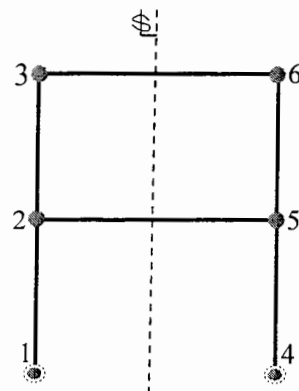


شکل ۱۴-۸-الف- قاب با دهانه فرد [۱]

الف-

الف-

مدل گراف متناظر با قاب، در شکل (۱۵-۸) نشان داده شده است.



شکل ۱۵-۸- مدل گراف با تقارن به فرم دو

روش بدست آوردن ماتریس لایپلین و اتمهای گراف به همان صورتی است که ذر مثال (۱-۸) توضیح داده شد. ماتریس لایپلین گراف وزندار به صورت زیر بدست می آید.

$$L_T = \frac{EI}{l^3} \begin{bmatrix} 4 & 2 & 0 & 0 & 0 & 0 \\ 2 & 12 & 2 & 0 & 0 & 0 \\ 0 & 2 & 8 & 0 & 0 & 2 \\ 0 & 0 & 0 & 4 & 2 & 0 \\ 0 & 0 & 0 & 2 & 12 & 2 \\ 0 & 0 & 2 & 0 & 2 & 8 \end{bmatrix} - \frac{P}{l} \begin{bmatrix} \frac{2}{15} & -\frac{1}{30} & 0 & 0 & 0 & 0 \\ -\frac{1}{30} & \frac{2}{15} + \frac{2}{15} & 0 & 0 & 0 & 0 \\ 0 & -\frac{1}{30} & \frac{2}{15} & 0 & 0 & 0 \\ 0 & 0 & 0 & \frac{2}{15} & -\frac{1}{30} & 0 \\ 0 & 0 & 0 & -\frac{1}{30} & \frac{2}{15} + \frac{2}{15} & 0 \\ 0 & 0 & 0 & 0 & -\frac{1}{30} & \frac{2}{15} \end{bmatrix} =$$

$$\lambda = \frac{Pl^2}{30EI}$$

$$L_T = \frac{EI}{l^3} \begin{bmatrix} 4 - 4\lambda & 2 + \lambda & 0 & 0 & 0 & 0 \\ 2 + \lambda & 12 - 8\lambda & 2 + \lambda & 0 & 0 & 0 \\ 0 & 2 + \lambda & 6 - 4\lambda & 0 & 0 & 2 \\ 0 & 0 & 0 & 4 - 4\lambda & 2 + \lambda & 0 \\ 0 & 0 & 0 & 2 + \lambda & 12 - 8\lambda & 2 + \lambda \\ 0 & 0 & 2 & 0 & 2 + \lambda & 8 - 4\lambda \end{bmatrix} \Rightarrow$$

$$\lambda = \{3.1543 \quad 1.6503 \quad 0.6788 \quad 2.5383 \quad 1.2712 \quad 0.6405\}$$

$$\lambda_{\min} = .6405 \quad \Rightarrow P_{cr} = 19.2150 \frac{EI}{l^2}$$

همانطوری که ملاحظه می شود ماتریس و مدل گراف متناظر متقارن و به فرم دو است با توجه به زیرماتریس های ماتریس لایلین، مقادیر ویژه بدست می آید.

$$L_{G_1} = L_H - L_{H'} = \frac{EI}{l^3} \begin{bmatrix} 4 - 4\lambda & 2 + \lambda & 0 \\ 2 + \lambda & 12 - 8\lambda & 2 + \lambda \\ 0 & 2 + \lambda & 10 - 4\lambda \end{bmatrix}$$

$$\rightarrow \lambda = \{3.1543, 1.6503, 0.6788\}$$

$$L_{G_2} = L_H - L_{H'} = \frac{EI}{l^3} \begin{bmatrix} 4 - 4\lambda & 2 + \lambda & 0 \\ 2 + \lambda & 12 - 8\lambda & 2 + \lambda \\ 0 & 2 + \lambda & 6 - 4\lambda \end{bmatrix}$$

$$\lambda = \{2.5383, 1.2712, 0.6405\}$$

با توجه به اینکه $\lambda_{\min} = 0.6405$ بدست آمده است، مقدار بار بحرانی به صورت $P_{cr} = 19.2150 \frac{EI}{l^2}$ حاصل می شود.

- ب

به کمک اتم های گراف متقارن بار بحرانی سازه حاصل شود. روند بدست آوردن اتم های گراف به همان روشی است که در بند ب مثال (1-۸) آورده شده است.

نمایش گرافی اتم G_1 به صورتی است که در شکل (۱۶-۸-الف) نشان داده شده است.



شکل ۱۶-۸-الف- اتم G_1

ماتریس لایلین گراف وزن دار G_1 و مقادیر ویژه به صورت زیر بدست می آید.

$$L_{G_1} = L_H - L_{H'} = \frac{EI}{l^3} \begin{bmatrix} 4-4\lambda & 2+\lambda & 0 \\ 2+\lambda & 12-8\lambda & 2+\lambda \\ 0 & 2+\lambda & 6-4\lambda \end{bmatrix}$$

$$\rightarrow \lambda = \{2.5383, 1.2712, 0.6405\}$$

$$\lambda_{\min} = 0.6405 \quad \alpha \quad P_{cr} = 19.2150 \frac{EI}{l^2}$$

نمایش گرافی اتم G_2 در شکل (۱۶-۸-ب) نشان داده شده است.



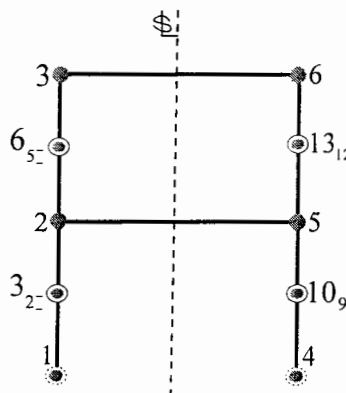
شکل ۱۶-۸-ب- اتم G_2

ماتریس لaplاسین گراف وزندار G_2 به صورت زیر بدست می آید.

$$L_{G_2} = \frac{EI}{l^3} \begin{bmatrix} 4-4\lambda & 2+\lambda & 0 \\ 2+\lambda & 12-8\lambda & 2+\lambda \\ 0 & 2+\lambda & 10-4\lambda \end{bmatrix}$$

$$\alpha \quad \lambda = \{3.1543, 1.6503, 0.6788\}$$

مقدار بار بحرانی بدست آمده خیلی نامطلوب می باشد بنابراین هر یال گراف که متناظر با ستون در قاب می باشد، به دو یال با فاصله مساوی از هر راس تقسیم می شود. به گراف شکل (۱۷-۸) زیر توجه کنید.



شکل ۱۷-۸ - مدل گراف با تقارن به فرم دو

ماتریس لaplاسین با توجه به مدل گراف نشان داده شده به صورت زیر بدست می آید.

$$L_T = \frac{EI}{l^2} \begin{bmatrix} 4-4\lambda & -6+3\lambda & 2+\lambda & 0 & 0 & 0 & 0 & 0 & 0 & 0 & 0 & 0 & 0 \\ -6+3\lambda & 24-72\lambda & 0 & 6-\lambda & 0 & 0 & 0 & 0 & 0 & 0 & 0 & 0 & 0 \\ 2+\lambda & 0 & 8-8\lambda & 2+\lambda & 0 & 0 & 0 & 0 & 0 & 0 & 0 & 0 & 0 \\ 0 & 6-3\lambda & 2+\lambda & \frac{1}{2}+4+4-8\lambda & -6+3\lambda & 2+\lambda & 0 & 0 & 0 & 0 & -\frac{1}{4} & 0 & 0 \\ 0 & 0 & 0 & -6+\lambda & 24-72\lambda & 0 & 6+3\lambda & 0 & 0 & 0 & 0 & 0 & 0 \\ 0 & 0 & 0 & 2+\lambda & 0 & 8-8\lambda & 2+\lambda & 0 & 0 & 0 & 0 & 0 & 0 \\ 0 & 0 & 0 & 0 & 6-3\lambda & 2+\lambda & 4+\frac{1}{2}-4\lambda & 0 & 0 & 0 & 0 & 0 & \frac{1}{4} \\ L_T = \frac{EI}{l^2} & 0 & 0 & 0 & 0 & 0 & 0 & 4-4\lambda & -6+3\lambda & 2+\lambda & 0 & 0 & 0 \\ 0 & 0 & 0 & 0 & 0 & 0 & 0 & -6+3\lambda & 24-72\lambda & 0 & 6-\lambda & 0 & 0 \\ 0 & 0 & 0 & 0 & 0 & 0 & 0 & 2+\lambda & 0 & 8-8\lambda & 2+\lambda & 0 & 0 \\ 0 & 0 & 0 & \frac{1}{4} & 0 & 0 & 0 & 0 & 6-3\lambda & 2+\lambda & \frac{1}{2}+4+4-8\lambda & -6+3\lambda & 2+\lambda \\ 0 & 0 & 0 & 0 & 0 & 0 & 0 & 0 & 0 & 0 & -6+\lambda & 24-72\lambda & 0 & 6+3\lambda \\ 0 & 0 & 0 & 0 & 0 & 0 & \frac{1}{4} & 0 & 0 & 0 & 0 & 2+\lambda & 0 & 8-8\lambda \\ 0 & 0 & 0 & 0 & 0 & 0 & 0 & 0 & 0 & 0 & 0 & 6-3\lambda & 2+\lambda & 4+\frac{1}{2}-4\lambda \end{bmatrix}$$

کمترین مقدار ویژه که از $|L_T| = 0$ بدست می آید برابر است با:

$$\lambda_{\min} = .0825 \Rightarrow P_{cr} = 9.9 \frac{EI}{l^2}$$

ماتریس لaplاسین G_1 و G_2 به صورت زیر بدست می آید.

$$L_{c_1} = [H] + [H'] = \frac{EI}{l^3} \begin{bmatrix} 4 - 4\lambda & -6 + 3\lambda & 2 + \lambda & 0 & 0 & 0 & 0 \\ -6 + 3\lambda & 24 - 72\lambda & 0 & 6 - \lambda & 0 & 0 & 0 \\ 2 + \lambda & 0 & 8 - 8\lambda & 2 + \lambda & 0 & 0 & 0 \\ 0 & 6 - 3\lambda & 2 + \lambda & 8.75 - 8\lambda & -6 + 3\lambda & 2 + \lambda & 0 \\ 0 & 0 & 0 & -6 + \lambda & 24 - 72\lambda & 0 & 6 + 3\lambda \\ 0 & 0 & 0 & 2 + \lambda & 0 & 8 - 8\lambda & 2 + \lambda \\ 0 & 0 & 0 & 0 & 6 - 3\lambda & 2 + \lambda & 4.75 - 4\lambda \end{bmatrix}$$

$\rightarrow \lambda = \{2.0700, 1.7129, 1.1929, 0.6653, 0.4320, 0.1778, 0.0956\}$

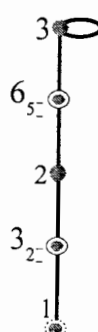
$$L_{G_2} = [H] - [H'] = \frac{EI}{l^3} \begin{bmatrix} 4 - 4\lambda & -6 + 3\lambda & 2 + \lambda & 0 & 0 & 0 & 0 \\ -6 + 3\lambda & 24 - 72\lambda & 0 & 6 - \lambda & 0 & 0 & 0 \\ 2 + \lambda & 0 & 8 - 8\lambda & 2 + \lambda & 0 & 0 & 0 \\ 0 & 6 - 3\lambda & 2 + \lambda & 8.25 - 8\lambda & -6 + 3\lambda & 2 + \lambda & 0 \\ 0 & 0 & 0 & -6 + \lambda & 24 - 72\lambda & 0 & 6 + 3\lambda \\ 0 & 0 & 0 & 2 + \lambda & 0 & 8 - 8\lambda & 2 + \lambda \\ 0 & 0 & 0 & 0 & 6 - 3\lambda & 2 + \lambda & 4.25 - 4\lambda \end{bmatrix}$$

$\rightarrow \lambda = \{2.0216, 1.6735, 1.1478, 0.6221, 0.4112, 0.675, 0.0825\} \rightarrow$

$$P_{cr} = 9.9 \frac{EI}{l^2}$$

-

به کمک اتم گراف متقارن بار بحرانی سازه را بدست می آید
نمایش گرافی اتم G_1 در شکل (۱۸-۸) نشان داده شده است.

شکل ۱۸-۸ - اتم G_1

ماتریس لابلسین گراف وزندار G_1 و مقادیر ویژه به صورت زیر بدست می آید.

$$\mathbf{L}_{G_1} = [\mathbf{H}] + [\mathbf{H}'] = \begin{bmatrix} 4 - 4\lambda & -6 + 3\lambda & 2 + \lambda & 0 & 0 & 0 & 0 \\ -6 + 3\lambda & 24 - 72\lambda & 0 & 6 - \lambda & 0 & 0 & 0 \\ 2 + \lambda & 0 & 8 - 8\lambda & 2 + \lambda & 0 & 0 & 0 \\ 0 & 6 - 3\lambda & 2 + \lambda & 8.75 - 8\lambda & -6 + 3\lambda & 2 + \lambda & 0 \\ 0 & 0 & 0 & -6 + \lambda & 24 - 72\lambda & 0 & 6 + 3\lambda \\ 0 & 0 & 0 & 2 + \lambda & 0 & 8 - 8\lambda & 2 + \lambda \\ 0 & 0 & 0 & 0 & 6 - 3\lambda & 2 + \lambda & 4.75 - 4\lambda \end{bmatrix}$$

$$\rightarrow \lambda = \{2.0700, 1.7129, 1.1929, 0.6653, 0.4320, 0.1778, 0.0956\}$$

اتم G_2 در شکل (۱۹-۸) نشان داده شده است.



شکل ۱۹-۸- اتم G_2

ماتریس لابلسین گراف وزندار G_2 به صورت زیر بدست می آید.

$$\mathbf{L}_{G_2} = [\mathbf{H}] - [\mathbf{H}'] = \frac{EI}{l^3} \begin{bmatrix} 4 - 4\lambda & -6 + 3\lambda & 2 + \lambda & 0 & 0 & 0 & 0 \\ -6 + 3\lambda & 24 - 72\lambda & 0 & 6 - \lambda & 0 & 0 & 0 \\ 2 + \lambda & 0 & 8 - 8\lambda & 2 + \lambda & 0 & 0 & 0 \\ 0 & 6 - 3\lambda & 2 + \lambda & 8.25 - 8\lambda & -6 + 3\lambda & 2 + \lambda & 0 \\ 0 & 0 & 0 & -6 + \lambda & 24 - 72\lambda & 0 & 6 + 3\lambda \\ 0 & 0 & 0 & 2 + \lambda & 0 & 8 - 8\lambda & 2 + \lambda \\ 0 & 0 & 0 & 0 & 6 - 3\lambda & 2 + \lambda & 4.25 - 4\lambda \end{bmatrix}$$

$$\rightarrow \lambda = \{2.0216, 1.6735, 1.1478, 0.6221, 0.4112, 0.675, 0.0825\} \rightarrow$$

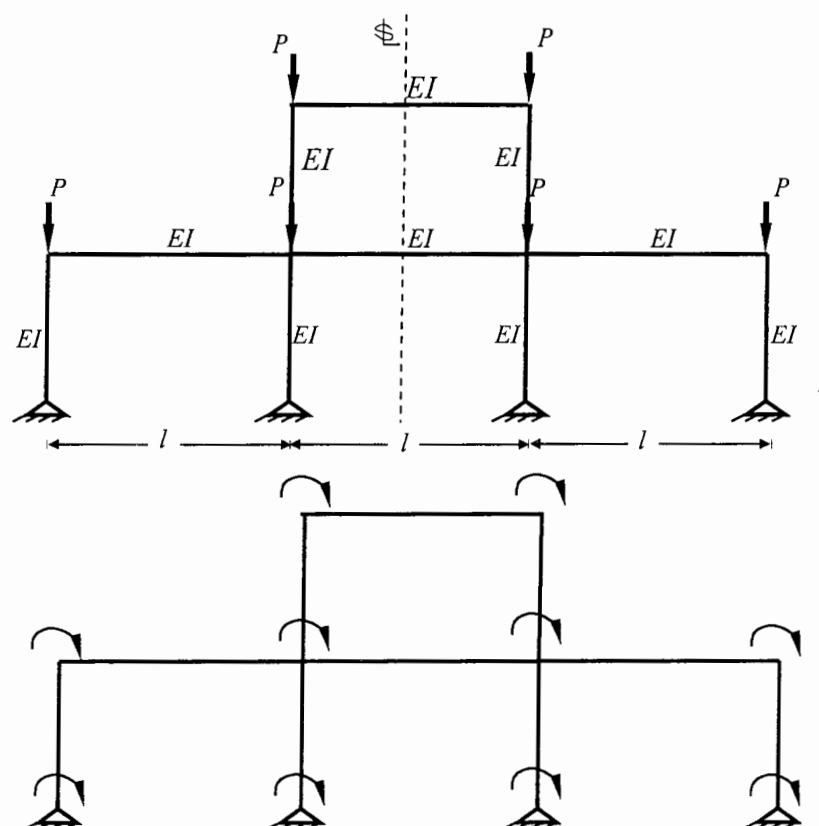
$$P_{cr} = 9.9 \frac{EI}{l^2}$$

این نتیجه به مقدار دقیق $P_{cr(exact)} = 7.24 \frac{EI}{l^2}$ نزدیک می باشد [۴۰].

به مثال دیگری توجه کنید.

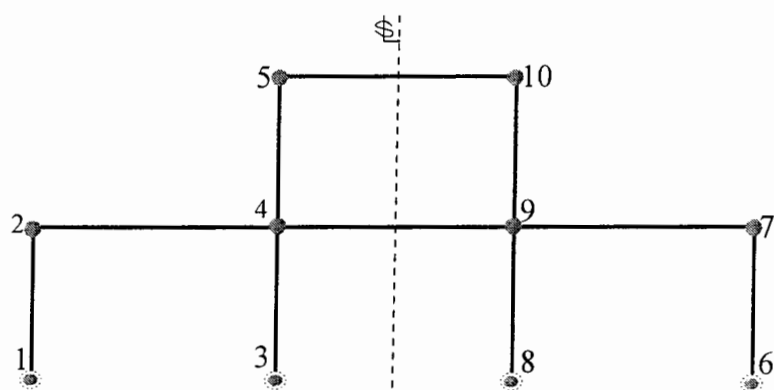
مثال ۳-۸- قاب شکل (۲۰-۸) دارای درجه آزادی های نشان داده شده می باشد. با توجه به مدل

گراف شکل (۲۱-۸) این قاب دارای تقارن به فرم دو می باشد.



شکل ۲۰-۸- نمایش نیروها و درجه آزادی های واردہ بر قاب دو طبقه

مدل گراف متناظر، در شکل (۲۱-۸-الف) نشان داده شده است.



شکل ۲۱-۸- مدل گراف قاب با تقارن به فرم دو

ماتریس لابلسین گراف وزندار به صورت زیر می باشد.

$$L_q = \frac{EI}{l^3} \begin{bmatrix} 4 & 2 & 0 & 0 & 0 & 0 & 0 & 0 & 0 \\ 2 & 4+4 & 0 & 2 & 0 & 0 & 0 & 0 & 0 \\ 0 & 0 & 4 & 2 & 0 & 0 & 0 & 0 & 0 \\ 0 & 2 & 2 & 4+4+4+4 & 2 & 0 & 0 & 0 & 0 \\ 0 & 0 & 0 & 2 & 4+4 & 0 & 0 & 0 & 0 \\ 0 & 0 & 0 & 0 & 0 & 4 & 0 & 0 & 0 \\ 0 & 0 & 0 & 0 & 0 & 2 & 4+4 & 0 \\ 0 & 0 & 0 & 0 & 0 & 0 & 0 & 4 & 2 \\ 0 & 0 & 0 & 0 & 2 & 0 & 0 & 2 & 4+4 \end{bmatrix} - \frac{P}{l} \begin{bmatrix} \frac{2}{15} & -\frac{1}{30} & 0 & 0 & 0 & 0 & 0 & 0 & 0 \\ -\frac{1}{30} & \frac{2}{15} & 0 & 0 & 0 & 0 & 0 & 0 & 0 \\ 0 & 0 & \frac{2}{15} & -\frac{1}{30} & 0 & 0 & 0 & 0 & 0 \\ 0 & 0 & -\frac{1}{30} & \frac{2}{15} & \frac{2}{15} & -\frac{1}{30} & 0 & 0 & 0 \\ 0 & 0 & 0 & -\frac{1}{30} & \frac{2}{15} & \frac{2}{15} & -\frac{1}{30} & 0 & 0 \\ 0 & 0 & 0 & 0 & \frac{2}{15} & -\frac{1}{30} & 0 & 0 & 0 \\ 0 & 0 & 0 & 0 & 0 & 0 & \frac{2}{15} & -\frac{1}{30} & 0 \\ 0 & 0 & 0 & 0 & 0 & 0 & 0 & \frac{2}{15} & -\frac{1}{30} \\ 0 & 0 & 0 & 0 & 0 & 0 & 0 & 0 & \frac{2}{15} \end{bmatrix}$$

$$\lambda_{\min} = 0.6029 \quad \Rightarrow P_{cr} = 18.087 \frac{EI}{l^2}$$

$$L_{G_1} = \frac{EI}{l^3} \begin{bmatrix} 4-4\lambda & 2+\lambda & 0 & 0 & 0 \\ 2+\lambda & 8-4\lambda & 0 & 2 & 0 \\ 0 & 0 & 4-4\lambda & 2+\lambda & 0 \\ 0 & 2 & 2+\lambda & 16-8\lambda & 2+\lambda \\ 0 & 0 & 0 & 2+\lambda & 10-4\lambda \end{bmatrix}$$

$$\lambda = \{3.4954 \quad 2.7539 \quad 1.8090 \quad 0.7925 \quad 0.6325\}$$

$$L_{G_2} = \frac{EI}{l^3} \begin{bmatrix} 4-4\lambda & 2+\lambda & 0 & 0 & 0 \\ 2+\lambda & 8-4\lambda & 0 & 2 & 0 \\ 0 & 0 & 4-4\lambda & 2+\lambda & 0 \\ 0 & 2 & 2+\lambda & 14-8\lambda & 2+\lambda \\ 0 & 0 & 0 & 2+\lambda & 6-4\lambda \end{bmatrix}$$

$$\lambda = \{3.0719 \quad 2.4775 \quad 1.2880 \quad 0.7430 \quad 0.6029\}$$

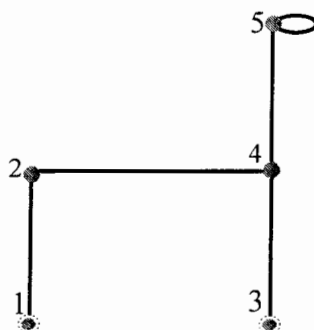
$$\lambda_{\min} = 0.6029 \quad \Rightarrow \quad P_{cr} = 18.087 \frac{EI}{l^2}$$

ملاحظه می شود که مقدار بار بحرانی حاصله از ماتریس لابلسین تعمیم یافته گراف وزندار و ماتریس

لابلسین اتمها با یکدیگر برابرند

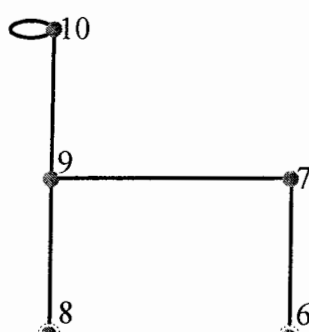
- ب

به کمک اتم گراف متقارن به حل مساله می پردازیم.

اتم G_1 در شکل (۲۲-۸-الف) نشان داده شده:شکل ۲۲-۸-الف-ا تم G_1 ماتریس لابلسین گراف G_1 :

$$L_{G_1} = \frac{EI}{l^3} \begin{bmatrix} 4 - 4\lambda & 2 + \lambda & 0 & 0 & 0 \\ 2 + \lambda & 8 - 4\lambda & 0 & 2 & 0 \\ 0 & 0 & 4 - 4\lambda & 2 + \lambda & 0 \\ 0 & 2 & 2 + \lambda & 16 - 8\lambda & 2 + \lambda \\ 0 & 0 & 0 & 2 + \lambda & 10 - 4\lambda \end{bmatrix}$$

$$\lambda = \{3.4954 \quad 2.7539 \quad 1.8090 \quad 0.7925 \quad 0.6325\}$$

نمایش مدل گراف اتم G_2 در شکل (۲۲-۸-ب) نشان داده شده است.شکل ۲۲-۸-ب-ا تم G_2

ماتریس لابلسین گراف G_2 :

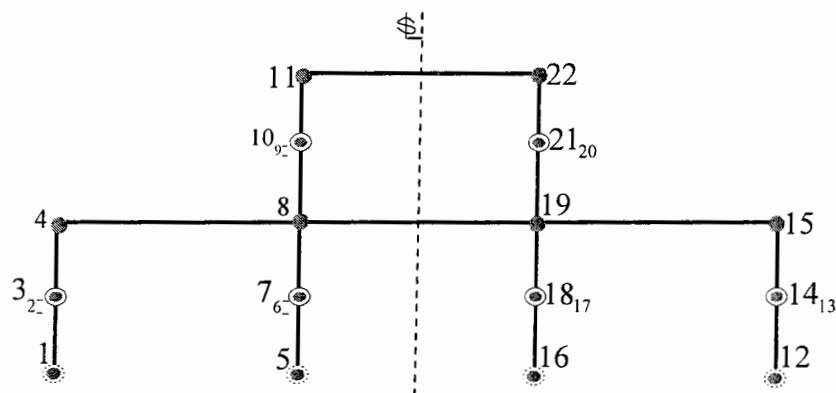
$$L_{G_2} = \frac{EI}{l^3} \begin{bmatrix} 4 - 4\lambda & 2 + \lambda & 0 & 0 & 0 \\ 2 + \lambda & 8 - 4\lambda & 0 & 2 & 0 \\ 0 & 0 & 4 - 4\lambda & 2 + \lambda & 0 \\ 0 & 2 & 2 + \lambda & 14 - 8\lambda & 2 + \lambda \\ 0 & 0 & 0 & 2 + \lambda & 6 - 4\lambda \end{bmatrix}$$

$$\lambda = \{3.0719 \quad 2.4775 \quad 1.2880 \quad 0.7430 \quad 0.6029\}$$

$$\lambda_{\min} = 0.6029 \quad P_{cr} = 18.087 \frac{EI}{l^2}$$

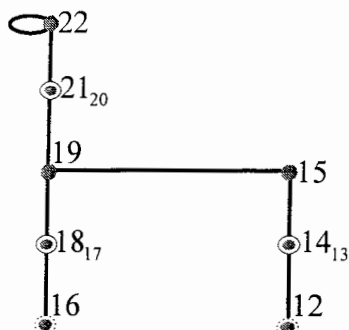
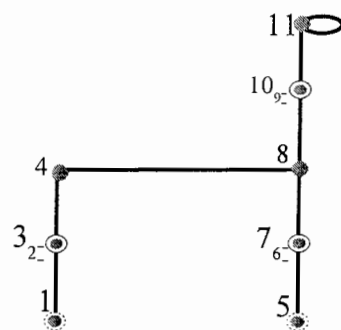
-ج

برای بدست آوردن تقریب بهتری از بار بحرانی، همانطوری که در شکل (۲۳-۸-الف) نشان داده شده، عضوهای ۱-۲,۳-۴,۴-۵,۶-۷,۸-۹,۹-۱۰ به دو قسمت مساوی به فاصله $\frac{l}{2}$ تقسیم می-شود. در این قسمت هدف بدست آوردن اتمهای گراف می‌باشد.



شکل ۲۳-۸-الف- مدل گراف با تقارن به فرم دو

امهای مدل گراف بدون محاسبه زیرماتریس های سازه در شکل های (۲۳-۸-ب) و (۲۳-۸-ج) نشان داده شده است.

شکل ۲۳-۸-ج- اتم G_2 شکل ۲۳-۸-ب- اتم G_1

با نوشتن زیرماتریس های اتمها، همان نتیجه برای بدست آوردن بار بحرانی بدست می آید.

در مسایل متقارن به فرم دو، برای بدست آوردن بار بحرانی، در هر مرحله تحلیل ماتریسی نیمی از مدل منتظر در بدست آوردن بار بحرانی سازه صورت می پذیرد. از آنجایی که به جای $R \times R$ بعد سروکار با $\frac{R}{2} \times \frac{R}{2}$ (درجه آزادی) می باشد، و حجم محاسبات در هر مرحله به نصف کاهش می یابد و واگرایی جوابها کاهش و در نتیجه دقت جوابها افزایش می یابد.

۲-۲-۸- ماتریس لایپلین در تقارن به فرم سه در قابها:

در اتمهای گراف با تقارن به فرم سه، نظر به یالهای دو سویه و یک سویه‌ای که دارای وزن ماتریسی زیر می‌باشند معطوف می‌شود.

- یالهای دو سویه وزن‌دار:

مدل گراف متناظر با ستون در شکل (۲۴-۸) نشان داده شده است.



شکل ۲۴-۸- یال دو سویه متناظر با ستون

و با رابطه‌ی ماتریسی زیر بیان می‌شود:

$$L = \frac{EI}{l^3} \begin{bmatrix} i & j & k & m \\ 12 & -6 & -12 & -6 \\ 0 & 0 & 0 & 0 \\ -12 & 6 & 12 & 6 \\ 0 & 0 & 0 & 0 \end{bmatrix} - \frac{P}{l} \begin{bmatrix} i & j & k & m \\ \frac{6}{5} & -1 & -6 & -1 \\ 0 & \frac{10}{5} & \frac{5}{5} & \frac{10}{10} \\ -\frac{6}{0} & \frac{1}{0} & \frac{6}{0} & \frac{1}{0} \\ \frac{5}{0} & \frac{10}{0} & \frac{5}{0} & \frac{10}{0} \end{bmatrix} \begin{matrix} i \\ j \\ k \\ m \end{matrix}$$

مدل گراف متناظر با تیر در شکل (۲۵-۸) نشان داده شده است.



شکل ۲۵-۸- یال متناظر با تیر

$$L = \frac{EI}{l^3} \begin{bmatrix} i & j & k & m \\ 0 & 0 & 0 & 0 \\ 0 & 4 & 0 & 2 \\ 0 & 0 & 0 & 0 \\ 0 & 2 & 0 & 4 \end{bmatrix}$$

و دارای رابطه‌ی ماتریسی مقابله است.

• یال‌های یک سویه وزندار:

یال متناظر با ستون در شکل (۲۶-۸) نشان داده شده است.



شکل ۲۶-۸- یال یک سویه متناظر با ستون

ماتریس لaplسین وزندار در این حالت به صورت زیر می‌باشد.

$$L = \frac{EI}{l^3} \begin{bmatrix} 12 & -6 & -12 & -6 \\ 0 & 0 & 0 & 0 \\ 0 & 0 & 0 & 0 \\ 0 & 0 & 0 & 0 \end{bmatrix} - \frac{P}{l} \begin{bmatrix} 6 & -1 & -6 & -1 \\ 5 & 10 & 5 & 10 \\ 0 & 0 & 0 & 0 \\ 0 & 0 & 0 & 0 \end{bmatrix}$$

یال متناظر با تیر در یک قاب سازه‌ای در شکل (۳۷-۸) نشان داده شده است.



شکل ۳۷-۸- یال یک سویه متناظر با تیر

$$L = \frac{EI}{l^3} \begin{bmatrix} 0 & 0 & 0 & 0 \\ 0 & 4 & 0 & 2 \\ 0 & 0 & 0 & 0 \\ 0 & 0 & 0 & 0 \end{bmatrix} .$$

و دارای رابطه ماتریسی مقابله خواهد بود

در گرافهای با تقارن به فرم سه، در راس‌های هم‌موقعیت، خاصیت ماتریسی زیر برقرار است:

$$L_{W_{rs}} = \begin{cases} W_{rs} & r, s \in \{i, j, k, m\} \quad i \neq k \\ 0 & i = k \end{cases} \quad (3-8)$$

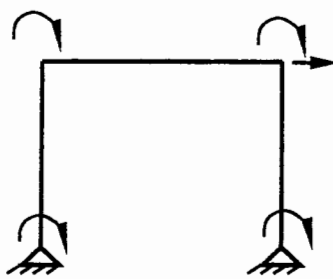
۱-۲-۲-۸- گامهای بدست آوردن اتمهای گراف در تقارن به فرم سه:

۱- در اتم G_2 یک حلقه به صورت خود - وزن $\frac{EI}{l^3}$ به راس داخلی راس مرکب با برچسب j دوبل می‌شود.

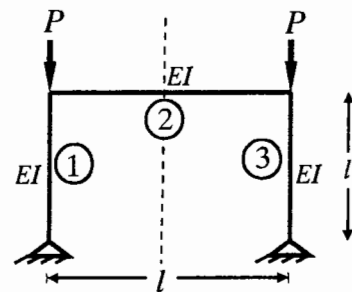
۲- در اتم G_3 یک حلقه به صورت خود - وزن $\frac{3EI}{l^3}$ به راس داخلی راس مرکب با برچسب m دوبل می‌شود.

۳- شرایط یال‌های انتقالی به همان صورتی است که در تقارنهای به فرم سه مبحث گرافهای مرکب به آن اشاره شد. در این وضعیت یال‌های یکسویه و دوسویه دارای وزن و ماتریس‌های لایلین متناظر آنها با بعد 4×4 می‌باشند.

۴- طریقه‌ی برچسب‌گذاری به همان روشی است که در تقارن به فرم دو شرح داده شد.
لازم به ذکر است که در این حالت نیز گرافهای معمولی حالت خاصی از گرافهای مرکب می‌باشند. که در آن یک راس مرکب بدون راس خارجی است، یعنی در ماتریس لایلین متناظر به ازای هر راسی که وجود ندارد، سطر و ستون متناظر حذف می‌شوند.



شکل ۸-۸-ب- درجه آزادی های وارد بر سازه

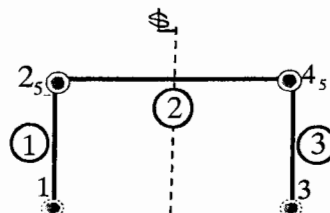


شکل ۸-۸-الف- نیروهای وارد بر قاب با دهانه

فرد [۴۰]

الف-

مدل گراف سازه، با مرتب سازی در برچسب‌گذاری در شکل (۸-۶-ج) نشان داده شده است.



شکل ۸-۸-ج- مدل گراف متناظر با قاب با تقارن به فرم سه

همانطوری که مشهود است و با توجه به فصل ۵ بخش (۴-۵) مدل گراف، دارای تقارن به فرم سه می‌باشد. یعنی این گراف هم از نظر برچسب‌گذاری و هم از نظر ترتیب و نوع قرار گرفتن المانها دارای تقارن می‌باشد. درجه آزادی انتقالی با برچسب ۵ نشان داده شده است و از آنجایی که در قاب متناظر درجه آزادی انتقالی بر هر دو ستون اعمال می‌شود؛ در گراف متناظر با برچسب ۵ به صورت یک راس خارجی راس مرکب، نشان داده شده است همچنین قاب دارای ۴ درجه آزادی دورانی است که با ۴ راس داخلی ۱، ۲، ۳ و ۴ نشان داده شده است. با توجه به رابطه‌ی (۳-۸) ملاحظه می‌شود که در یال (2) ، $k = 5 = n$ می‌باشد، در نتیجه یال مورد نظر متناظر با تیر در قاب سازه‌ای می‌باشد و در یال (1) و (3) همانطوری که ملاحظه می‌شود $5 = k = i = 0 \neq n$ می‌باشد، بدین لحاظ یالهای (1) و (3) متناظر با ستون در قاب سازه‌ای می‌باشند. ماتریس لایلین گراف وزندار شکل (۸-۸-ج) به صورت نشان داده شده می‌باشد. علامت منفی در گوشه‌ی پایین برچسب ۵ به این دلیل است که

یک راس خارجی راس مرکب، نشان داده شده است همچنین قاب دارای ۴ درجه آزادی دورانی است که با ۴ راس داخلی ۱، ۲، ۳ و ۴ نشان داده شده است. با توجه به رابطه‌ی (۸-۳) ملاحظه می‌شود که، در یال $i = k = 5$ می‌باشد، در نتیجه یال مورد نظر متناظر با تیر در قاب سازه‌ای می‌باشد و در یال $i = 0$ و $k = 5$ می‌باشد، متناظر با ستون در قاب سازه‌ای می‌باشند. ماتریس لابلسین گراف وزن‌دار شکل (۲۸-۸-ج) به صورت نشان داده شده می‌باشد. علامت منفی در گوشی پایین برچسب ۵ به این دلیل است که تغییر مکان جانبی قاب که متناظر با درجه آزادی ۵ است دارای جهتی مخالف جهت مختصات محلی عضو، در یال متناظر، یعنی یال $i = 1$ است، تغییر مکانهای جانبی در مختصات محلی برای یالهای $①$ و $③$ مطابق شکل (۲۹-۸) می‌باشد. برای توضیحات بیشتر به بخش (۱-۲-۸) مراجعه شود.



شکل ۲۹-۸ - درجه آزادی انتقالی در مختصات محلی الف-ستون $③$ ب-ستون $①$

با توجه به بخش (۲-۲-۸) و توضیحات مثال (۱)، از همارز بودن ماتریس لابلسین و ماتریس سختی، L_T ، به صورت زیر بدست می‌آید.

$$L_T = \frac{EI}{l^3} \begin{bmatrix} 4 & 2 & 0 & 0 & -6 \\ 2 & 4+4 & 0 & 2 & -6 \\ 0 & 0 & 4 & 2 & -6 \\ 0 & 2 & 4 & 4+4 & -6 \\ -6 & -6 & -6 & -6 & 12+12 \end{bmatrix} - \frac{P}{l} \begin{bmatrix} \frac{2}{15} & -\frac{1}{30} & 0 & 0 & -\frac{1}{10} \\ -\frac{1}{30} & \frac{2}{15} & 0 & 0 & -\frac{1}{10} \\ 0 & 0 & \frac{2}{15} & -\frac{1}{30} & -\frac{1}{10} \\ 0 & 0 & -\frac{1}{30} & \frac{2}{15} & -\frac{1}{10} \\ -\frac{1}{10} & -\frac{1}{10} & -\frac{1}{10} & -\frac{1}{10} & \frac{6}{5} + \frac{6}{5} \end{bmatrix}$$

1
2

ماتریس $\boxed{1}$ یک ماتریس به فرم سه می باشد و ماتریس $\boxed{2}$ نیز یک ماتریس به فرم سه می باشد.

$$L_T = \frac{EI}{l^3} \begin{bmatrix} 4-4\lambda & 2+\lambda & -6+3\lambda \\ 2+\lambda & 8-4\lambda & -6+3\lambda \\ 0 & 0 & -6+3\lambda \\ \hline 0 & 2 & -6+3\lambda \\ 0 & 4+\lambda & -6+3\lambda \\ \hline -6+3\lambda & -6+3\lambda & 24-72\lambda \end{bmatrix}$$

که در آن $\lambda = \frac{pl^2}{30EI}$ می باشد، با صفر قرار دادن دترمینان ماتریس L_T و محاسبه کوچکترین

مقدار λ ، بار بحرانی بدست می آید. این عملیات را می توان با استفاده از روش های مختلف عددی محاسبه کرد که در این فصل مقادیر ویژه به کمک نرم افزار مطلب بدست آمده است.

$$\lambda = \{3.5279 \quad 2.4981 \quad 0.8434 \quad 0.7412 \quad 0.4565 \quad 0.0763\}$$

از طیف مقدار ویژه بدست آمده $\lambda_{\min} = 0.0763$ که با توجه به آن بار بحرانی مقدار

$$P_{cr} = \frac{2.2890EI}{l^2}$$

به آن اشاره شد می توان مقدار بار بحرانی را بدست آورد.

$$L_{G_2} = L_H - L_{H'} = [H] - [H'] = \begin{bmatrix} 4-4\lambda & 2+\lambda \\ 2+\lambda & 6-4\lambda \end{bmatrix} \rightarrow \lambda = \{2.3710 \quad 0.5624\}$$

$$L_{G_3} = \begin{bmatrix} [H] + [H'] & [F] \\ [2S] & [U] \end{bmatrix} = \begin{bmatrix} 4-4\lambda & 2+\lambda & -6+3\lambda \\ 2+\lambda & 10-4\lambda & -6+3\lambda \\ -12+6\lambda & -12+6\lambda & 24-72\lambda \end{bmatrix}$$

$$\rightarrow \lambda = \{ 3.3561 \quad .7831 \quad 0.0609 \} \quad \lambda_{\min} = 0.0609 \rightarrow P_{cr} = \frac{1.8270EI}{l^2}$$

در اینجا نیز علت اختلاف در معادلات مشخصه می باشد، زیرا با کاهش درجه معادله میزان همگرایی جوابها افزایش می یابد و دقت مساله بالاتر می رود. بنابراین استفاده از زیرماتریس ها از نظر

دقت و حجم عملیاتی بسیار بهینه است و هر چه درجه آزادی سازه بالاتر باشد از میزان خطأ به طور قابل ملاحظه ای کاسته می شود و دقتم مساله را بالا می برد.

- ب -

با توجه به بخش (۴-۵) می توان گراف شکل (۲۸-۸-ج) را به دو اتم G_2 و G_3 تقسیم کرد. مقدار بار بحرانی سازه با استفاده از اتمهای G_2 و G_3 و با توجه به بخش (۲-۲-۸) حاصل می شود.

با توجه به شکل (۳۰-۸-الف) در اتم G_2 ، یک حلقه به صورت خود وزن $\frac{EI}{l^3}$ به راس داخلی راس مرکب با برچسب 2 وارد می شود.



شکل ۳۰-۸-الف- اتم G_2

ماتریس لایپلین اتم G_2 به صورت زیر می باشد.

ماتریس لایپلین اتم $G_2 = (\text{ماتریس وزنی یال} + \text{ماتریس وزنی خود}_\text{حلقه})$

$$L_{G_2} = \frac{EI}{l^3} \begin{bmatrix} 4 & 2 \\ 2 & 4 \end{bmatrix} + \frac{EI}{l^3} \begin{bmatrix} 0 & 0 \\ 0 & 2 \end{bmatrix} - \frac{p}{l} \begin{bmatrix} \frac{2}{15} & -\frac{1}{30} \\ -\frac{1}{30} & \frac{2}{15} \end{bmatrix} =$$

$$\begin{bmatrix} 4 - 4\lambda & 2 + \lambda \\ 2 + \lambda & 6 - 4\lambda \end{bmatrix} \rightarrow \lambda = \{2.3710 \quad 0.5624\}$$

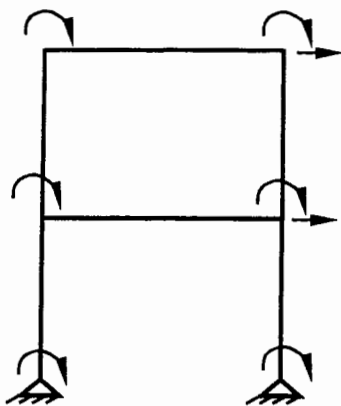
با توجه به شکل (۳۰-۸-ب) در اتم G_3 یک حلقه به صورت خود وزن $\frac{3EI}{l^3}$ به راس مرکب ۴ وارد می شود.

$$\begin{aligned}
 & \text{ماتریس لابلسین یال یک سویه} \\
 L_{G_3} &= \frac{EI}{l^3} \begin{bmatrix} 0 & 0 & 0 \\ 0 & 0 & 0 \\ -6 & -6 & 12 \end{bmatrix} - \frac{P}{l} \begin{bmatrix} 0 & 0 & 0 \\ 0 & 0 & 0 \\ -\frac{1}{10} & -\frac{1}{10} & \frac{6}{5} \end{bmatrix} + \frac{EI}{l^3} \begin{bmatrix} 4 & 2 & -6 \\ 2 & 4 & -6 \\ -6 & -6 & 12 \end{bmatrix} \\
 & - \frac{P}{l} \begin{bmatrix} \frac{2}{15} & -\frac{1}{30} & -\frac{1}{10} \\ -\frac{1}{30} & \frac{2}{15} & -\frac{1}{10} \\ -\frac{1}{10} & -\frac{1}{10} & \frac{6}{5} \end{bmatrix} + \frac{EI}{l^3} \begin{bmatrix} 0 & 0 & 0 \\ 0 & 2(3) & 0 \\ 0 & 0 & 0 \end{bmatrix} = \frac{EI}{l^2} \begin{bmatrix} 4-4\lambda & 2+\lambda & -6+3\lambda \\ 2+\lambda & 10-4\lambda & -6+3\lambda \\ -12+6\lambda & -12+6\lambda & 24-72\lambda \end{bmatrix} \\
 & \rightarrow \lambda = \{ 3.3561 \quad .7831 \quad 0.0609 \} \quad \rightarrow \lambda_{\min} = 0.0609 \quad \rightarrow \quad P_{cr} = 1.8270 \frac{EI}{l^2}
 \end{aligned}$$

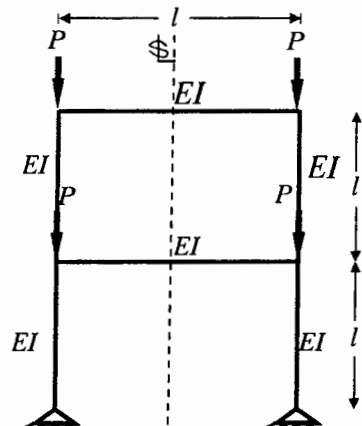
این نتیجه به مقدار دقیق $P_{cr} = \frac{1.82EI}{l^2}$ نزدیک میباشد [۴۷].

خاطر نشان میشود که G_2 و G_3 اتمهای گراف G میباشند و به اتم دیگری کاهش نمییابند. همانطوری که ملاحظه میشود درجه آزادی ۵ در اتم G_2 برحسب گذاری نمیشود چون درجه آزادی ۵ جزو درجه آزادی انتقالی است و یک راس هم موقعیت میباشد و میباشند در مولفه متقاضی G_3 اعمال شود، که این همانا مفهوم تقارن به فرم سه میباشد.

مثال ۸-۵- قاب دو طبقه‌ای در شکل (۳۱-۸-الف) نشان داده شده است. این قاب دارای ۸ درجه آزادی، (۶ درجه آزادی دورانی و ۲ درجه آزادی انتقالی) که در شکل (۳۱-۸-ب) نشان داده شده میباشد. بار بحرانی سازه مطلوب مساله است.



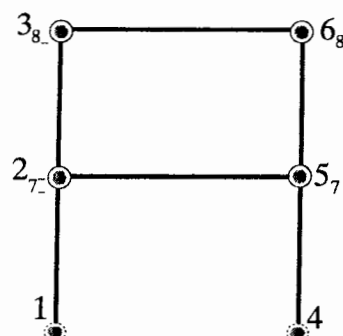
شکل ۸-۳۱-۸-ب- درجه آزادی های وارد بر قاب



شکل ۸-۳۱-۸-الف- نیروهای وارد بر قاب دو طبقه با
دهانه‌ی فرد [۴۰]

-الف-

مدل گراف سازه، با برچسب‌گذاری صحیح در شکل (۸-۳۱-۸-ج) نشان داده شده است.



شکل ۸-۳۱-۸-ج- مدل گراف قاب با تقارن به فرم دو

با توجه به توضیحات مثال (۸-۴) ماتریس لایلین گراف وزن دار، یک ماتریس به فرم سه است.

با توجه به توضیحات مثال (۸-۴) ماتریس لایپلین گراف وزن دار، یک ماتریس به فرم سه است.

$$L_T = \begin{bmatrix} 4 & 2 & 0 & 0 & 0 & 0 & -6 & 0 \\ 2 & 4+4 & 2 & 0 & 0 & 0 & -6+6 & -6 \\ 0 & 2 & 4+4 & 0 & 0 & 2 & 6 & -6 \\ 0 & 0 & 0 & 4 & 2 & 0 & -6 & 0 \\ 0 & 0 & 0 & 2 & 4+4 & 2 & -6+6 & -6 \\ 0 & 0 & 2 & 0 & 2 & 4+4 & 6 & -6 \\ -6 & -6+6 & 6 & -6 & -6+6 & 6 & 12+12+12+12 & -12-12 \\ 0 & -6 & -6 & 0 & -6 & -6 & -12-12 & 12+12 \end{bmatrix}$$

$$-\frac{P}{l} \begin{bmatrix} \frac{2}{15} & -\frac{1}{30} & 0 & 0 & 0 & 0 & -\frac{1}{10} & 0 \\ -\frac{1}{30} & \frac{2}{15} + \frac{2}{15} & -\frac{1}{30} & 0 & 0 & 0 & -\frac{1}{10} + \frac{1}{10} & -\frac{1}{10} \\ 0 & -\frac{1}{30} & \frac{2}{15} & 0 & 0 & 0 & \frac{1}{10} & -\frac{1}{10} \\ 0 & 0 & 0 & \frac{2}{15} & -\frac{1}{30} & 0 & -\frac{1}{10} & 0 \\ 0 & 0 & 0 & -\frac{1}{30} & \frac{2}{15} + \frac{2}{15} & -\frac{1}{30} & -\frac{1}{10} + \frac{1}{10} & -\frac{1}{10} \\ 0 & 0 & 0 & 0 & -\frac{1}{30} & \frac{2}{15} & \frac{1}{10} & -\frac{1}{10} \\ -\frac{1}{10} & -\frac{1}{10} + \frac{1}{10} & \frac{1}{10} & -\frac{1}{10} & -\frac{1}{10} + \frac{1}{10} & \frac{1}{10} & \frac{6}{5} + \frac{6}{5} + \frac{6}{5} + \frac{6}{5} & -\frac{6}{5} - \frac{6}{5} \\ 0 & -\frac{1}{10} & -\frac{1}{10} & -\frac{1}{10} & -\frac{1}{10} & -\frac{1}{10} & -\frac{6}{5} - \frac{6}{5} & \frac{6}{5} + \frac{6}{5} \end{bmatrix}$$

مقادیر ویژه به صورت زیر بدست می آید:

$$\lambda = \{2.6520 \quad 2.5156 \quad 1.4271 \quad 1.3479 \quad 0.5457 \quad 0.48380 \quad 0.1581 \quad 0.0171\}$$

که با در نظر گرفتن مقدار $\lambda = \frac{Pl^3}{30EI}$ مقدار بار بحرانی به صورت زیر بدست می آید:

$$\lambda_{\min} = 0.0171 \quad \Rightarrow P_{cr} = 0.513 \frac{EI}{l^2}$$

زیرماتریس های کاهش یافته G_2 و G_3 و مقادیر ویژه آنها به صورت زیر بدست می آید.

$$L_{G_2} = \frac{EI}{l^3} \begin{bmatrix} 4-4\lambda & 2+\lambda & 0 \\ 2+\lambda & 8-8\lambda & 2+\lambda \\ 0 & 2+\lambda & 6-4\lambda \end{bmatrix} \rightarrow \lambda = \{2.2249 \quad 1.2283 \quad 0.4635\}$$

$$L_{G_3} = \frac{EI}{l^3} \begin{bmatrix} 4-4\lambda & 2+\lambda & 0 & -6+3\lambda & 0 \\ 2+\lambda & 8-8\lambda & 2+\lambda & 0 & -6+3\lambda \\ 0 & 2+\lambda & 6-4\lambda & 6-3\lambda & -6+3\lambda \\ -12+6\lambda & 0 & 12-6\lambda & 48-144\lambda & -24+72\lambda \\ 0 & -12+6\lambda & -12+6\lambda & -24+72\lambda & 24-72\lambda \end{bmatrix} \rightarrow$$

$$\lambda = \{2.2293 \quad 1.2664 \quad 0.4827 \quad 0.1305 \quad 0.0133\}$$

$$\lambda_{\min} = 0.0133 \rightarrow P_{cr} = 0.399 \frac{EI}{l^2}$$

-

مقادیر ویژه را با استفاده از اتم G_2 و G_3 بدست می آوریم.

ا تم G_2 در شکل (۳۲-۸-الف) نشان داده شده:

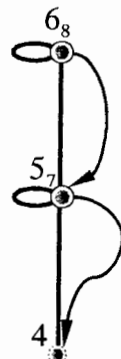


شکل ۳۲-۸-الف-ا تم G_2

ماتریس لایپلین ا تم G_2 به صورت زیر می باشد.

$$L_{G_2} = \frac{EI}{l^3} \begin{bmatrix} 4-4\lambda & 2+\lambda & 0 \\ 2+\lambda & 8-8\lambda & 2+\lambda \\ 0 & 2+\lambda & 6-4\lambda \end{bmatrix} \rightarrow \lambda = \{2.2249 \quad 1.2283 \quad 0.4635\}$$

مدل گراف اتم G_3 در شکل (۲۷-۸-ب) نشان داده شده است.



شکل ۲۷-۸-ب- اتم G_3

ماتریس لابلسین اتم G_3 به صورت زیر بدست می آید.

$$L_{G_3} = \frac{EI}{l^3} \begin{bmatrix} 4 - 4\lambda & 2 + \lambda & 0 & -6 + 3\lambda & 0 \\ 2 + \lambda & 8 - 8\lambda & 2 + \lambda & 0 & -6 + 3\lambda \\ 0 & 2 + \lambda & 6 - 4\lambda & 6 - 3\lambda & -6 + 3\lambda \\ -12 + 6\lambda & 0 & 12 - 6\lambda & 48 - 144\lambda & -24 + 72\lambda \\ 0 & -12 + 6\lambda & -12 + 6\lambda & -24 + 72\lambda & 24 - 72\lambda \end{bmatrix} \rightarrow$$

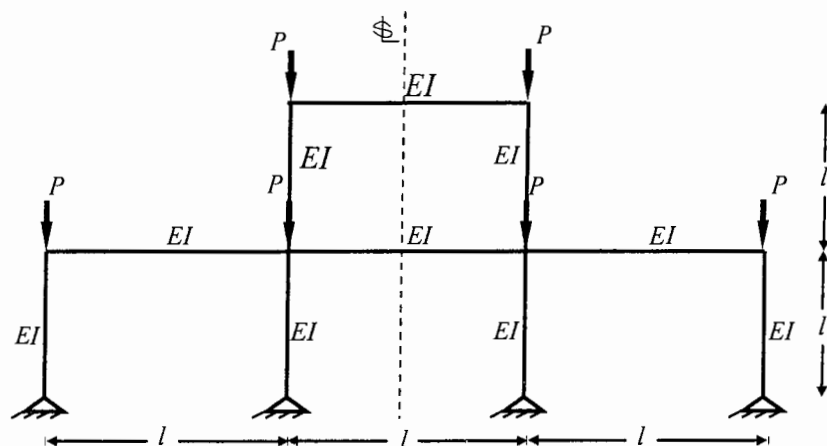
$$\lambda = \{2.2293 \quad 1.2664 \quad 04827 \quad 0.1305 \quad 0.0133\}$$

$$\lambda_{\min} = 0.0133 \rightarrow P_{cr} = 0.399 \frac{EI}{l^2}$$

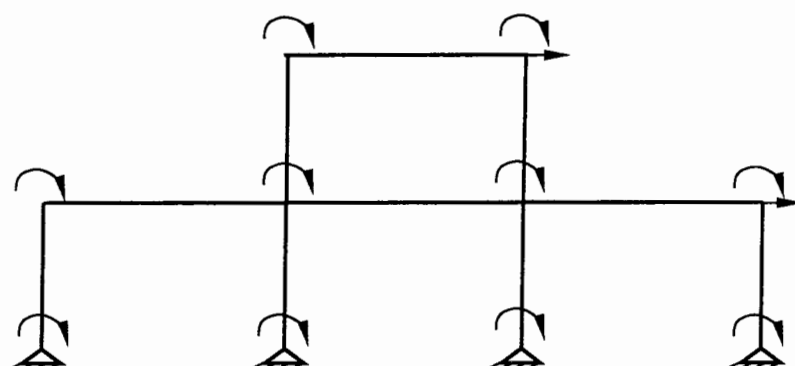
که این نتیجه به مقدار دقیق $P_{cr(exact)} = .398 \frac{EI}{l^2}$ نزدیک می باشد [۴۵]. همان مقدار باری است

که از توجه یک بدست آمده است. ملاحظه می شود که مقدار بار بحرانی حاصله از ماتریس لابلسین تعمیم یافته گراف وزندار و ماتریس لابلسین اتمها با یکدیگر برابرند. مثال دیگری مطرح می شود.

مثال ۸-۶-۸- قاب شکل(۳۳-۸-الف و ب) دارای ۱۲ درجه آزادی با ۲ درجه آزادی انتقالی و ۱۰ درجه آزادی دورانی است که دارای تقارن به فرم دو می باشد.



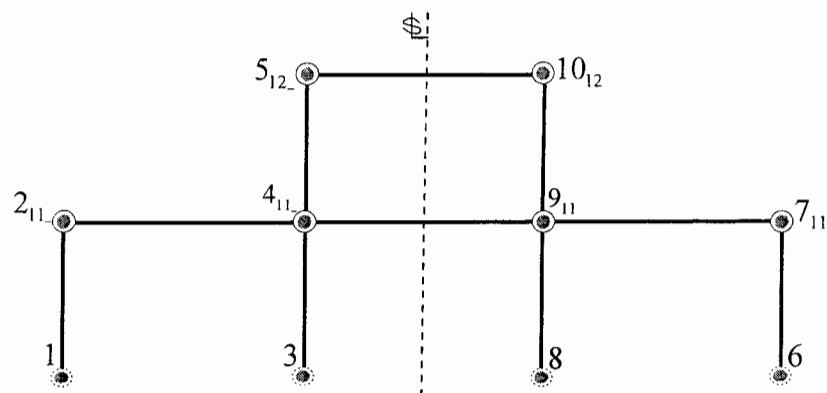
شکل ۸-۳۳-۸-الف- نیروهای وارد بر قاب سازهای دو طبقه با دهانه فرد



شکل ۸-۳۳-۸-ب- درجه آزادی های وارد بر قاب سازهای دو طبقه با دهانه فرد

الف-

نمایش مدل گراف سازه، با برچسب‌گذاری متناظر با درجه آزادی‌های سازه در شکل (۳۳-۸-ج) نشان داده شده است.



شکل ۳۳-۸-ج- قاب با تقارن به فرم دو

$$L_r = \frac{EI}{l^3} \begin{bmatrix} 4 & 2 & 0 & 0 & 0 & 0 & 0 & 0 & 0 & -6 & 0 \\ 2 & 4+4 & 0 & 2 & 0 & 0 & 0 & 0 & 0 & -6 & 0 \\ 0 & 0 & 4 & 2 & 0 & 0 & 0 & 0 & 0 & -6 & 0 \\ 0 & 2 & 2 & 4+4+4+4 & 2 & 0 & 0 & 0 & 2 & 0 & -6+6 \\ 0 & 0 & 0 & 2 & 4+4 & 0 & 0 & 0 & 0 & 2 & 6 \\ 0 & 0 & 0 & 0 & 0 & 4 & 2 & 0 & 0 & -6 & 0 \\ 0 & 0 & 0 & 0 & 0 & 2 & 4+4 & 0 & 2 & 0 & -6 \\ 0 & 0 & 0 & 0 & 0 & 0 & 0 & 4 & 2 & 0 & -6 \\ 0 & 0 & 0 & 2 & 0 & 0 & 2 & 2 & 4+4+4+4 & 2 & -6+6 \\ 0 & 0 & 0 & 0 & 2 & 0 & 0 & 0 & 2 & 4+4 & 6 \\ -6 & -6 & -6 & -6+6 & -6 & -6 & -6 & -6+6 & 6 & 12+12+12+12+12 & -12-12 \\ 0 & 0 & 0 & -6 & -6 & 0 & 0 & 0 & -6 & -6 & -12-12 \\ 0 & 0 & 0 & -6 & -6 & 0 & 0 & 0 & -6 & -6 & 12+12 \end{bmatrix}$$

$$P_l = \frac{Pl^3}{30EI} \begin{bmatrix} \frac{2}{15} & -\frac{1}{30} & 0 & 0 & 0 & 0 & 0 & 0 & 0 & \frac{1}{10} & 0 \\ -\frac{1}{30} & \frac{2}{15} & 0 & 0 & 0 & 0 & 0 & 0 & 0 & -\frac{1}{10} & 0 \\ 0 & 0 & \frac{2}{15} & -\frac{1}{30} & 0 & 0 & 0 & 0 & 0 & \frac{1}{10} & 0 \\ 0 & 0 & -\frac{1}{30} & \frac{2+2}{15+15} & -\frac{1}{30} & 0 & 0 & 0 & 0 & -\frac{1}{10} + \frac{1}{10} & -\frac{1}{10} \\ 0 & 0 & 0 & -\frac{1}{30} & \frac{2}{15} & 0 & 0 & 0 & 0 & \frac{1}{10} & -\frac{1}{10} \\ 0 & 0 & 0 & 0 & 0 & \frac{2}{15} & -\frac{1}{30} & 0 & 0 & \frac{1}{10} & 0 \\ 0 & 0 & 0 & 0 & 0 & -\frac{1}{30} & \frac{2}{15} & 0 & 0 & -\frac{1}{10} & 0 \\ 0 & 0 & 0 & 0 & 0 & 0 & \frac{2}{15} & -\frac{1}{30} & 0 & \frac{1}{10} & 0 \\ 0 & 0 & 0 & 0 & 0 & 0 & -\frac{1}{30} & \frac{2+2}{15+15} & -\frac{1}{30} & -\frac{1}{10} + \frac{1}{10} & -\frac{1}{10} \\ 0 & 0 & 0 & 0 & 0 & 0 & 0 & \frac{1}{30} & \frac{2}{15} & \frac{1}{10} & -\frac{1}{10} \\ \frac{1}{10} & -\frac{1}{10} & -\frac{1}{10} & -\frac{1}{10} + \frac{1}{10} & \frac{1}{10} & -\frac{1}{10} & -\frac{1}{10} & -\frac{1}{10} + \frac{1}{10} & \frac{1}{10} & \frac{6+6+6+6+6}{5+5+5+5+5} & -\frac{6}{5} \\ 0 & 0 & 0 & -\frac{1}{10} & \frac{1}{10} & 0 & 0 & 0 & -\frac{1}{10} & -\frac{6}{5} & \frac{6+6}{5+5} \end{bmatrix}$$

با در نظر گرفتن $\lambda = \frac{Pl^3}{30EI}$ مقادیر ویژه به صورت زیر بدست می آید:

$$\lambda = \begin{Bmatrix} 3.7338 & 3.0747 & 2.7620 & 2.4701 & 1.8936 & 1.3110 \\ 0.8817 & 0.7431 & 0.6518 & 0.6087 & 0.2258 & 0.0972 \end{Bmatrix}$$

$$\lambda_{\min} = 0.0972 \Rightarrow p_{cr} = 2.9160 \frac{EI}{l^2}$$

با در نظر گرفتن $\lambda = \frac{Pl^3}{30EI}$ ، زیرماتریس‌های L_{G_2} و L_{G_3} به صورت زیر بدست می‌آید.

$$L_{G_2} = \frac{EI}{l^3} \begin{bmatrix} 4-4\lambda & 2+\lambda & 0 & 0 & 0 \\ 2+\lambda & 8-4\lambda & 0 & 2 & 0 \\ 0 & 0 & 4-4\lambda & 2+\lambda & 0 \\ 0 & 2 & 2+\lambda & 14-8\lambda & 2+\lambda \\ 0 & 0 & 0 & 2+\lambda & 6-4\lambda \end{bmatrix}$$

$$L_{G_3} = \frac{EI}{l^3} \begin{bmatrix} 4-4\lambda & 2+\lambda & 0 & 0 & 0 & -6+3\lambda & 0 \\ 2+\lambda & 8-4\lambda & 0 & 2 & 0 & -6+3\lambda & 0 \\ 0 & 0 & 4-4\lambda & 2+\lambda & 0 & -6+3\lambda & 0 \\ 0 & 2 & 2+\lambda & 18-8\lambda & 2+\lambda & 0 & -6+3\lambda \\ 0 & 0 & 0 & 2+\lambda & 10-4\lambda & 6-3\lambda & -6+3\lambda \\ -12+6\lambda & -12+6\lambda & -12+6\lambda & 0 & 12+6\lambda & 72-216\lambda & -24+72\lambda \\ 0 & 0 & 0 & -12+6\lambda & -12+6\lambda & -24+72\lambda & 24-72\lambda \end{bmatrix}$$

مقدار ویژه بدست آمده از L_{G_2} و L_{G_3} به صورت زیر بدست می‌آید.

$$\lambda_{G_2} = \{2.8, 2.7242, 1.2912, 0.7013, 0.6667\}$$

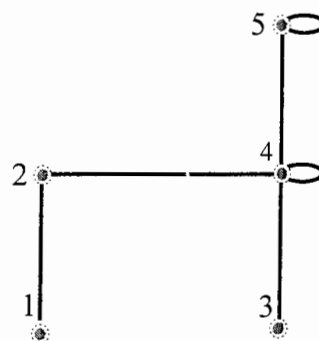
$$\lambda_{G_3} = \{3.7793, 2.7745, 1.8931, 0.8666, 0.6492, 0.2123, 0.0650\}$$

مقدار بار بحرانی با توجه به مقدار ویژه 0.0650 برابر است با $P_{cr} = 1.95 \frac{EI}{l^2}$.

- ب

نحوهی عملکرد در صورتی که از همان ابتدا افزایش شود، یعنی به کمک اتم‌های G_2 و G_3 به صورتی است که در شکل (۳۴-۸-الف) و (۳۴-۸-ب) نشان داده شده است.

نمایش اتم G_2 با توجه به شکل (۳۴-۸-الف) به صورت زیر می‌باشد:



شکل ۸-۳۴-الف-اتم

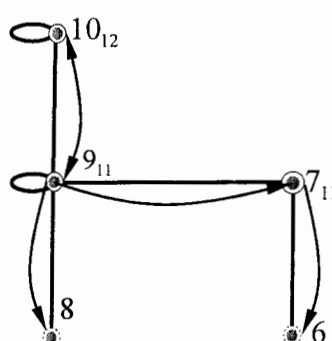
ماتریس لایپلین اتم وزن دار به صورت زیر بدست می آید.

$$L_{G_2} = \frac{EI}{l^3} \begin{bmatrix} 4 - 4\lambda & 2 + \lambda & 0 & 0 & 0 \\ 2 + \lambda & 8 - 4\lambda & 0 & 2 & 0 \\ 0 & 0 & 4 - 4\lambda & 2 + \lambda & 0 \\ 0 & 2 & 2 + \lambda & 14 - 8\lambda & 2 + \lambda \\ 0 & 0 & 0 & 2 + \lambda & 6 - 4\lambda \end{bmatrix} \rightarrow$$

و مقادیر ویژه به صورت مقابل حاصل می شود.

$$L_{G_2} = \{2.8, 2.7242, 1.2912, 0.7013, 0.6667\}$$

نمایش اتم وزن دار G_3 به صورتی است که در شکل (۸-۳۴-ب) نشان داده شده است.



شکل ۸-۳۴-ب-اتم

ماتریس لایپلین اتم G_3 به صورت زیر بدست می آید.

$$L_{G_1} = \frac{EI}{l^3} \begin{bmatrix} 4 - 4\lambda & 2 + \lambda & 0 & 0 & 0 & -6 + 3\lambda & 0 \\ 2 + \lambda & 8 - 4\lambda & 0 & 2 & 0 & -6 + 3\lambda & 0 \\ 0 & 0 & 4 - 4\lambda & 2 + \lambda & 0 & -6 + 3\lambda & 0 \\ 0 & 2 & 2 + \lambda & 18 - 8\lambda & 2 + \lambda & 0 & -6 + 3\lambda \\ 0 & 0 & 0 & 2 + \lambda & 10 - 4\lambda & 6 - 3\lambda & -6 + 3\lambda \\ -12 + 6\lambda & -12 + 6\lambda & -12 + 6\lambda & 0 & 12 + 6\lambda & 72 - 216\lambda & -24 + 72\lambda \\ 0 & 0 & 0 & -12 + 6\lambda & -12 + 6\lambda & -24 + 72\lambda & 24 - 72\lambda \end{bmatrix}$$

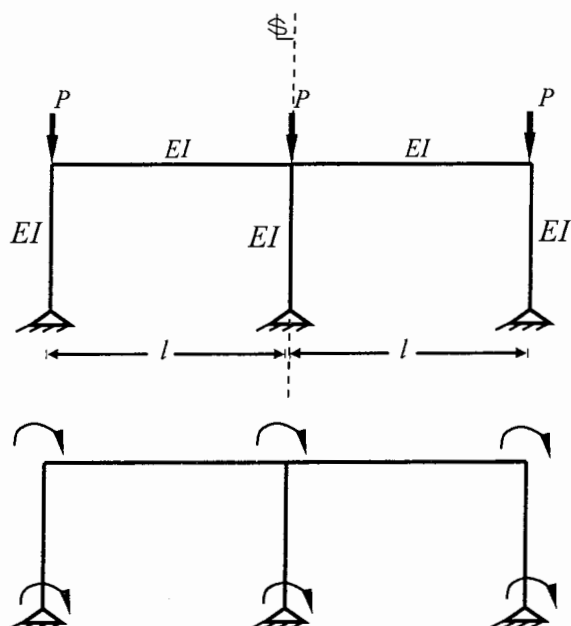
$$L_{G_1} = \{3.7793, 2.7745, 1.8931, 0.8666, 0.6492, 0.2123, 0.0650\}$$

$$\lambda_{\min} = 0.0650 \rightarrow P_{cr} = 1.95 \frac{EI}{l^2}$$

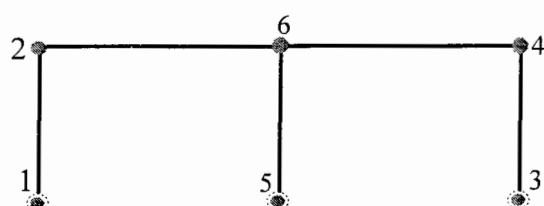
در ماتریس متناظر مدل گراف چنین قابهایی، به جای حل یک ماتریس با $R + Q$ بعد (قاب با $R + Q$ درجه آزادی) با ماتریسی با $(Q + \frac{R}{2}) \times (Q + \frac{R}{2})$ سروکار داریم که این امر باعث کاهش حجم محاسباتی و افزایش دقت جوابها خواهد شد. در اینجا Q راس هم موقعیت (درجه آزادی انتقالی) و R راس درونی (درجه آزادی متقارن) وارد بر قاب می‌باشد.

قاب بدون تغییر مکان جانبی با دهانه زوج:

مثال ۷-۸- قاب یک طبقه دو دهانه شکل(۳۵-۸-الف) را در نظر بگیرید. این قاب دارای ۶ درجه آزادی می باشد.



شکل ۳۵-۸-الف- نمایش نیروها و درجه آزادی های وارد بر قاب با دهانه زوج



شکل ۳۵-۸-ب- مدل گراف با تقارن به فرم سه

الف-

ماتریس لایلین گراف وزندار (۳۵-۸-ب) به صورت زیر بدست می آید. برای توضیحات بیشتر به

مثال (۴-۸) مراجعه شود.

$$L_T = \frac{EI}{l^3} \begin{bmatrix} 4 & 2 & 0 & 0 & 0 & 0 \\ 2 & 4+4 & 0 & 0 & 0 & 2 \\ 0 & 0 & 4 & 2 & 0 & 0 \\ 0 & 0 & 2 & 4+4 & 0 & 2 \\ 0 & 0 & 0 & 0 & 4 & 2 \\ 0 & 2 & 0 & 2 & 2 & 4+4+4 \end{bmatrix} - \frac{P}{l} \begin{bmatrix} \frac{2}{15} & -\frac{1}{30} & 0 & 0 & 0 & 0 \\ -\frac{1}{30} & \frac{2}{15} & 0 & 0 & 0 & 0 \\ 0 & 0 & \frac{2}{15} & -\frac{1}{30} & 0 & 0 \\ 0 & 0 & -\frac{1}{30} & \frac{2}{15} & 0 & 0 \\ 0 & 0 & 0 & 0 & \frac{2}{15} & -\frac{1}{30} \\ 0 & 0 & 0 & 0 & -\frac{1}{30} & \frac{2}{15} \end{bmatrix}$$

با توجه به مقادیر ویژه به صورت زیر بدست می آیند:

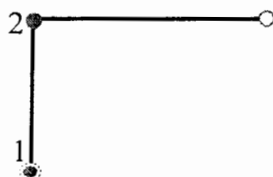
$$\lambda = \{4.1163, 2.800, 2.4813, 0.8075, 0.6667, 0.5949\}$$

$$L_{G_2} = L_H - L_{H'} = [H] - [H'] = \frac{EI}{l^3} \begin{bmatrix} 4-4\lambda & 2+\lambda \\ 2+\lambda & 8-4\lambda \end{bmatrix} \Rightarrow \lambda = \{2.8, 0.6667\}$$

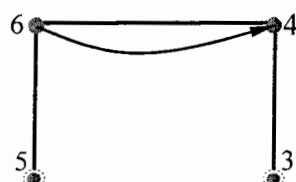
$$L_{G_3} = \frac{EI}{l^3} \begin{bmatrix} 4-4\lambda & 2+\lambda & 0 & 0 \\ 2+\lambda & 8-4\lambda & 0 & 0 \\ 0 & 0 & 4-4\lambda & 2+\lambda \\ 0 & 4 & 2+\lambda & 12-4\lambda \end{bmatrix} \Rightarrow \lambda = \{4.1163, 2.4813, 0.8075, 0.5949\}$$

$$\rightarrow P_{cr} = 17.8470 \frac{EI}{l^2}$$

ب-

اتم G_2 در شکل (۳۶-۸-الف) نشان داده شده است..شکل ۳۶-۸-الف- اتم G_2 ماتریس لاپلاسین اتم G_2 به صورت زیر بدست می آید.

$$L_{G_2} = \begin{bmatrix} 4 - 4\lambda & 2 + \lambda \\ 2 + \lambda & 8 - 4\lambda \end{bmatrix} \rightarrow \lambda = \{2.8, 0.6667\}$$

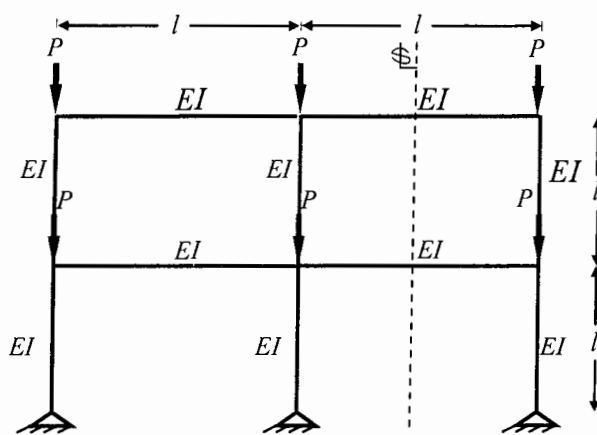
بار بحرانی با مقدار ویژه $\lambda = 0.5949$ به صورت $P_{cr} = 17.8470 \frac{EI}{l^2}$ می باشد.- نمایش اتم G_3 در شکل (۳۶-۸-ب) نشان داده شده است.شکل ۳۶-۸-ب- اتم G_3 ماتریس لاپلاسین اتم وزندار G_3 به صورت زیر بدست می آید.

$$L_{G_3} = \frac{EI}{l^3} \begin{bmatrix} 4 - 4\lambda & 2 + \lambda & 0 & 0 \\ 2 + \lambda & 8 - 4\lambda & 0 & 2 \\ 0 & 0 & 4 - 4\lambda & 2 + \lambda \\ 0 & 4 & 2 + \lambda & 12 - 4\lambda \end{bmatrix} \rightarrow \lambda = \{4.1163, 2.4813, 0.8075, 0.5949\}$$

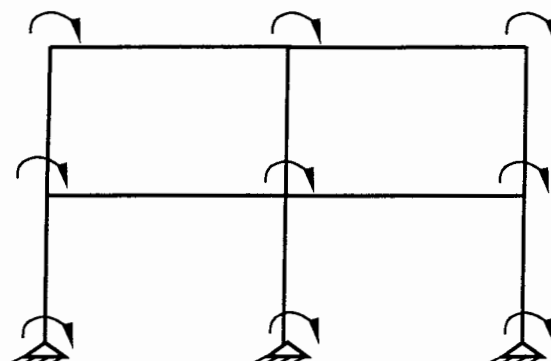
که مقدار بار بحرانی از اتم وزندار G_3 ، $P_{cr} = 17.8470 \frac{EI}{l^2}$ بدست می آید.

برای روشن تر شدن موضوع مثال دیگری مطرح می شود.

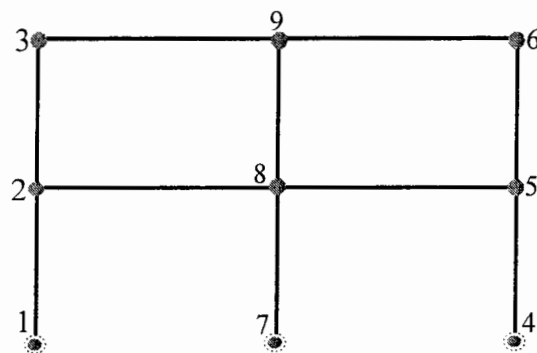
مثال ۸-۸- قاب شکل (۳۷-۸-الف و ب)، یک قاب دو طبقه با دو دهانه می باشد. همانطوری که ملاحظه می شود این قاب دارای ۶ درجه آزادی دورانی است.



شکل ۸-۸-الف- نمایش نیروهای وارد بر قاب دو دهانه



شکل ۸-۸-ب- نمایش درجه آزادی های وارد بر قاب دو دهانه



شکل ۸-۳۷-ج- مدل گراف متناظر قاب با تقارن به فرم سه

الف-

ماتریس لaplسین گراف وزندار، L_T به صورت زیر بدست آمده است:

$$L_T = \frac{EI}{l^3} \begin{bmatrix} 4 & 2 & 0 & 0 & 0 & 0 & 0 & 0 & 0 \\ 2 & 4+4+4 & 2 & 0 & 0 & 0 & 0 & 2 & 0 \\ 0 & 2 & 4+4 & 0 & 0 & 0 & 0 & 0 & 2 \\ 0 & 0 & 0 & 4 & 2 & 0 & 0 & 0 & 0 \\ 0 & 0 & 0 & 2 & 4+4+4 & 2 & 0 & 2 & 0 \\ 0 & 0 & 0 & 0 & 2 & 4+4 & 0 & 0 & 2 \\ 0 & 0 & 0 & 0 & 0 & 0 & 4 & 2 & 0 \\ 0 & 2 & 0 & 0 & 2 & 0 & 2 & 4+4+4+4 & 2 \\ 0 & 0 & 2 & 0 & 0 & 2 & 0 & 2 & 4+4+4 \end{bmatrix}$$

$$-\frac{P}{l} \begin{bmatrix} \frac{2}{15} & -\frac{1}{30} & 0 & 0 & 0 & 0 & 0 & 0 & 0 \\ -\frac{1}{30} & \frac{2}{15} + \frac{2}{15} & -\frac{1}{30} & 0 & 0 & 0 & 0 & 0 & 0 \\ 0 & -\frac{1}{30} & \frac{2}{15} & 0 & 0 & 0 & 0 & 0 & 0 \\ 0 & 0 & 0 & \frac{2}{15} & -\frac{1}{30} & 0 & 0 & 0 & 0 \\ 0 & 0 & 0 & -\frac{1}{30} & \frac{2}{15} + \frac{2}{15} & -\frac{1}{30} & 0 & 0 & 0 \\ 0 & 0 & 0 & 0 & -\frac{1}{30} & \frac{2}{15} & 0 & 0 & 0 \\ 0 & 0 & 0 & 0 & 0 & 0 & \frac{2}{15} & -\frac{1}{30} & 0 \\ 0 & 0 & 0 & 0 & 0 & 0 & -\frac{1}{30} & \frac{2}{15} + \frac{2}{15} & -\frac{1}{30} \\ 0 & 0 & 0 & 0 & 0 & 0 & 0 & -\frac{1}{30} & \frac{2}{15} \end{bmatrix}$$

مقادیر ویژه با توجه به $\lambda = \frac{Pl^2}{30EI}$ به صورت زیر بدست می آید:

$$\lambda = \left\{ \begin{array}{llll} 4.1163, & 2.8, & 2.4813, & 2.1830, \\ 1.5, & 1.317, & 0.8075, & 0.6667, & 0.5949 \end{array} \right\}$$

زیرماتریس های L_{G_2} و L_{G_3} به صورت زیر بدست می آید.

$$L_{G_2} = \frac{EI}{l^3} \begin{bmatrix} 4-4\lambda & 2+\lambda & 0 \\ 2+\lambda & 12-8\lambda & 2+\lambda \\ 0 & 2+\lambda & 8-4\lambda \end{bmatrix}$$

$$\lambda = \{2.8, 1.5, 0.6667\}$$

$$L_{G_3} = \frac{EI}{l^3} \begin{bmatrix} 4-4\lambda & 2+\lambda & 0 & 0 & 0 & 0 \\ 2+\lambda & 12-8\lambda & 2+\lambda & 0 & 2 & 0 \\ 0 & 2+\lambda & 8-4\lambda & 0 & 0 & 2 \\ 0 & 0 & 0 & 4-4\lambda & 2+\lambda & 0 \\ 0 & 4 & 0 & 2+\lambda & 16-8\lambda & 2+\lambda \\ 0 & 0 & 4 & 0 & 2+\lambda & 12-4\lambda \end{bmatrix}$$

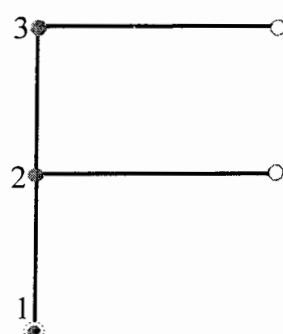
$$\lambda = \{4.1163, 2.4813, 2.1830, 1.3170, 0.8075, 0.5949\}$$

با توجه به λ_{\min} که از زیرماتریس L_{G_3} بدست آمده است مقدار بار بحرانی 17.8470 بدست می آید.

- ب

با توجه به اتمهای گراف حاصله مقدار بار بحرانی را بدست می آوریم.

نمایش اتم گراف G_2 ، در شکل (۳۸-۸-الف) نشان داده شده است.

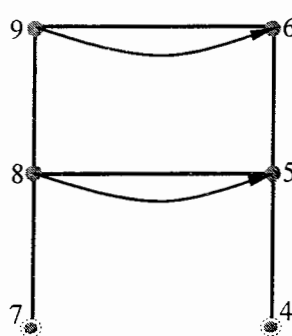


شکل ۳۸-۸-الف- اتم G_2

ماتریس لابلسین اتم G_2 با توجه به مدل گراف مورد نظر بدست می آید.

$$L_{G_2} = \begin{bmatrix} 4-4\lambda & 2+\lambda & 0 \\ 2+\lambda & 12-8\lambda & 2+\lambda \\ 0 & 2+\lambda & 8-4\lambda \end{bmatrix}$$

$$\lambda = \{2.8 \quad 1.5 \quad 0.6667\}$$

شکل ۸-۳۸-ب-اتم G_3

ماتریس لaplاسین :

$$L_{G_3} = \frac{EI}{l^3} \begin{bmatrix} 4-4\lambda & 2+\lambda & 0 & 0 & 0 & 0 \\ 2+\lambda & 12-8\lambda & 2+\lambda & 0 & 2 & 0 \\ 0 & 2+\lambda & 8-4\lambda & 0 & 0 & 2 \\ 0 & 0 & 0 & 4-4\lambda & 2+\lambda & 0 \\ 0 & 4 & 0 & 2+\lambda & 16-8\lambda & 2+\lambda \\ 0 & 0 & 4 & 0 & 2+\lambda & 12-4\lambda \end{bmatrix}$$

$$\lambda = \{4.1163, 2.4813, 2.1830, 1.3170, 0.8075, 0.5949\}$$

$$P_{cr} = 17.8470 \frac{EI}{l^2}$$

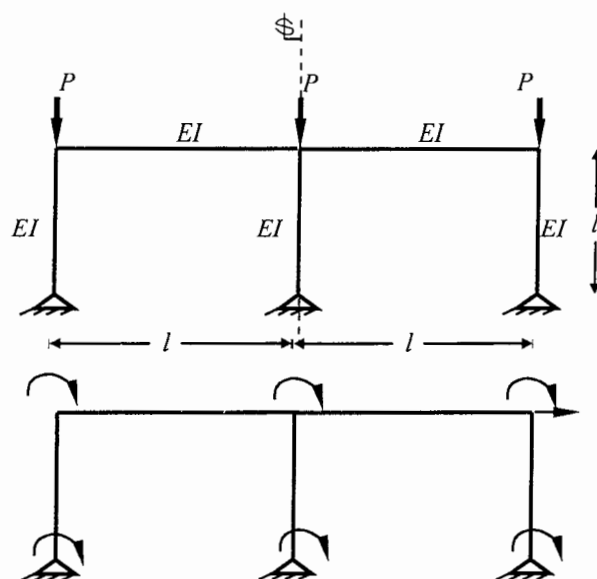
در ماتریس متناظر مدل گراف چنین قابهایی، به جای حل یک ماتریس با $R + Q$ بعد (قاب با

$R + Q$ درجه آزادی) سروکار با ماتریسی با ابعاد $(Q + \frac{R}{2}) \times (Q + \frac{R}{2})$ می‌باشد. در اینجا Q راس

مرکزی (درجه آزادی دورانی) و R راس متقارن (درجه آزادی دورانی متقارن) وارد بر قاب می‌باشد.

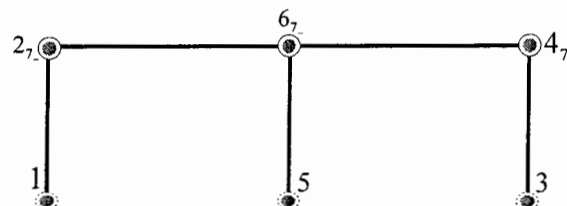
قاب با تغییر مکان جانبی با دهانه‌ی زوج:

مثال ۹-۸- قاب شکل (۳۹-۸-الف) یک قاب یک طبقه دو دهانه می باشد که دارای ۶ درجه آزادی دورانی و یک درجه آزادی انتقالی می باشد.



شکل ۳۹-۸-الف- نمایش نیروها و درجه آزادی های وارد بر قاب دو دهانه‌ی یک طبقه

نمایش مدل گراف قاب سازه‌ای در شکل (۳۹-۸-ب) نشان داده شده است.



شکل ۳۹-۸-ب- مدل گراف با تقارن به فرم سه

ماتریس لایلین گراف به صورت زیر بدست می آید:

$$L_T = \frac{EI}{l^3} \begin{bmatrix} 4 & 2 & 0 & 0 & 0 & 0 & -6 \\ 2 & 4+4 & 0 & 0 & 0 & 2 & -6 \\ 0 & 0 & 4 & 2 & 0 & 0 & -6 \\ 0 & 0 & 2 & 4+4 & 0 & 2 & -6 \\ 0 & 0 & 0 & 0 & 4 & 2 & -6 \\ 0 & 2 & 0 & 2 & 2 & 4+4+4 & -6 \\ -6 & -6 & -6 & -6 & -6 & -6 & 12+12+12 \end{bmatrix}$$

$$-\frac{P}{l} \begin{bmatrix} \frac{2}{15} & -\frac{1}{30} & 0 & 0 & 0 & 0 & -\frac{1}{10} \\ -\frac{1}{30} & \frac{2}{15} & 0 & 0 & 0 & 0 & -\frac{1}{10} \\ 0 & 0 & \frac{2}{15} & -\frac{1}{30} & 0 & 0 & -\frac{1}{10} \\ 0 & 0 & -\frac{1}{30} & \frac{2}{15} & 0 & 0 & -\frac{1}{10} \\ 0 & 0 & 0 & 0 & \frac{2}{15} & -\frac{1}{30} & -\frac{1}{10} \\ 0 & 0 & 0 & 0 & -\frac{1}{30} & \frac{2}{15} & -\frac{1}{10} \\ -\frac{1}{10} & -\frac{1}{10} & -\frac{1}{10} & -\frac{1}{10} & -\frac{1}{10} & -\frac{1}{10} & \frac{6}{5} + \frac{6}{5} + \frac{6}{5} \end{bmatrix}$$

مقادیر ویژه با توجه به مقدار $\lambda = \frac{Pl^2}{30EI}$ به صورت زیر بدست می آیند:

$$\lambda = \{4.2648, 2.8, 2.4850, .8552, .6667, .5988, .0629\}$$

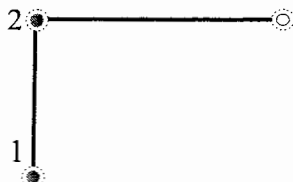
$$L_{(i_2)} = \frac{EI}{l^3} \begin{bmatrix} 4-4\lambda & 2+\lambda \\ 2+\lambda & 8-4\lambda \end{bmatrix} \rightarrow \lambda = \{2.8, 0.6667\}$$

$$L_{(i_1)} = \frac{EI}{l^3} \begin{bmatrix} 4-4\lambda & 2+\lambda & 0 & 0 & -6+3\lambda \\ 2+\lambda & 8-4\lambda & 0 & 2 & -6+3\lambda \\ 0 & 0 & 4-4\lambda & 2+\lambda & -6+3\lambda \\ 0 & 4 & 2+\lambda & 12-4\lambda & -6+3\lambda \\ -12+6\lambda & -12+6\lambda & -6+3\lambda & -6+3\lambda & 36-108\lambda \end{bmatrix} \rightarrow$$

$$\lambda = \{4.2648, 2.4850, 0.8552, 0.5988, 0.0629\}$$

- ب -

ا تم در شکل (۴۰-۸-الف) نشان داده شده است.

شکل ۴۰-۸-الف-ا تم G_2 ماتریس لایلین مولفه متقارن وزندار G_2 به صورت زیر بدست می آید.

$$L_{G_2} = \frac{EI}{l^3} \begin{bmatrix} 4-4\lambda & 2+\lambda \\ 2+\lambda & 8-4\lambda \end{bmatrix} \rightarrow \lambda = \{2.8 \quad 0.6667\}$$

- ا تم در شکل (۴۰-۸-ب) نشان داده شده است.

شکل ۴۰-۸-ب-ا تم G_3 ماتریس لایلین ا تم G_3 به صورت زیر می باشد.

$$L_{G_3} = \frac{EI}{l^3} \begin{bmatrix} 4-4\lambda & 2+\lambda & 0 & 0 & -6+3\lambda \\ 2+\lambda & 8-4\lambda & 0 & 2 & -6+3\lambda \\ 0 & 0 & 4-4\lambda & 2+\lambda & -6+3\lambda \\ 0 & 4 & 2+\lambda & 12-4\lambda & -6+3\lambda \\ -12+6\lambda & -12+6\lambda & -6+3\lambda & -6+3\lambda & 39-108\lambda \end{bmatrix} \rightarrow$$

$$\lambda = \{4.2648, 2.4850, 0.8552, 0.5988, 0.0629\}$$

$$\lambda = 0.0555 \quad P_{cr} = 1.887 \frac{EI}{l^2}$$

يعنى اگر يك قاب پنج طبقه دو دهانه، با تغيير مكان جانبي، تقارن به فرم سه داشته باشد، گراف متناظر داراي ۲۳ راس خواهد بود، و ماتریس لایلین آن داراي ابعاد 23×23 است که جمع درایه های آن ۵۲۹ می باشد، با توجه به تقارن، ماتریس لایلین به دو ماتریس به ابعاد 6×6 و 17×17

تبديل می گردد که جمعاً دارای ۳۶ و ۲۸۹ درایه می باشد. پر واضح است که محاسبات با زیرماتریس ها، دارای سرعت بالاتر و دقیق بیشتر می باشد و همچنین در قابهای کوچکتر، در هر مرحله حافظه کمتری مورد نیاز است.

فصل

مقایسه و جمع‌بندی

۱-۹ - مقدمه

کاربرد ماتریس های مرتبط با تئوری گراف می تواند به عنوان یک روش قدرتمند برای تحلیل پایداری سازه ها مورد استفاده قرار گیرد. این روش که بر اساس کاربرد ماتریس لایلین و خواص آن در سازه بوجود آمده سازگاری خوبی با مسائل مختلف سازه ای همانند تحلیل استاتیکی و دینامیکی و پایداری پیدا کرده است. در این مبحث نتایج بدست آمده از تحلیل پایداری قابه ای مفصلی در جدول (۱-۹) و (۲-۹) آورده شده است.

درصد افزایش دقت	میزان دقت	نتایج مربوط به بار بحرانی قابه ای با تقارن به فرم دو					انتقال
		درصد دقت تحلیل زیرماتریسهای پاسخ حاصله نسبت به ماتریس اولیه	تحلیل دقیق زیرماتریسهای اتمها به تحلیل دقیق	تحلیل زیرماتریسهای کاهش یافته	تحلیل ماتریس اولیه	نوع قاب	
٪۰	٪۸۹.۵۸	۱۱.۵۵	۱۰.۴۶	۱۰.۴۶	یک طبقه یک دهانه	بدون انتقال جانبی	
٪۰	٪۶۳.۲۶	۷.۲۴	۹.۹	۹.۹	دو طبقه یک دهانه		
٪۰			۱۸.۰۸۷	۱۸.۰۸۷	دو طبقه سه دهانه		

جدول ۱-۹ - نتایج حاصله در تقارن به فرم دو

انتقال	نتایج مربوط به بار بحرانی قابهای با تقارن به فرم سه					
با انتقال جانبی با دهانه فرد	نوع قاب	تحلیل ماتریس اولیه	تحلیل زیرماتریسهای کاهش یافته	تحلیل دقیق	درصد تحلیل زیرماتریسهای اتمها به تحلیل دقیق	درصد تحلیل زیرماتریسها در بهبود پاسخ حاصله نسبت به ماتریس اولیه
یک طبقه یک دهانه	1.8270	2.2890		1.82	درصد تحلیل زیرماتریسها در بهبود پاسخ حاصله نسبت به ماتریس اولیه	% 74.71
دو طبقه یک دهانه	0.513			0.398	درصد تحلیل زیرماتریسها در بهبود پاسخ حاصله نسبت به ماتریس اولیه	% 71.43
دو طبقه سه دهانه	2.9160				درصد تحلیل زیرماتریسها در بهبود پاسخ حاصله نسبت به ماتریس اولیه	% 50.46
یک طبقه دو دهانه	1.8870	1.8870			درصد تحلیل زیرماتریسها در بهبود پاسخ حاصله نسبت به ماتریس اولیه	% 0
یک طبقه دو دهانه	17.8470	17.8470		17.8470	درصد تحلیل زیرماتریسها در بهبود پاسخ حاصله نسبت به ماتریس اولیه	% 0
دو طبقه دو دهانه	17.8470	17.8470		17.8470	درصد تحلیل زیرماتریسها در بهبود پاسخ حاصله نسبت به ماتریس اولیه	% 0

جدول ۹-۲- نتایج حاصله در تقارن به فرم سه

۲-۹- بحث در نتایج

هم ارزی ماتریس سختی و ماتریس لایپلائین مرتبط با تئوری گراف را می توان از برخی جهات با روشهایی نظیر اجزای محدود مقایسه کرد. هسته اصلی این روش، کارکردن با ماتریسها مرتبط با مدل های گراف می باشد. این مدل ها و ماتریسها با توجه به خواص سازه ای و نوع درجات آزادی و ... بوجود می آیند و در واقع مهمترین بخش تحلیل یک سازه با گراف، همین بخش است. انتخاب مدل گراف مناسب در روش گراف را می توان با انتخاب المان مناسب در روش اجزای محدود مقایسه کرد. همانطور که در روش اجزای محدود برای هر المان، مسائلی نظیر درجات آزادی، توابع شکل، نقاط انتگرال گیری و ... دارای اهمیت زیادی هستند، در این روش نیز پارامترهایی نظیر وزن یال های گراف، خصوصیات راسها، نوع تقارن ماتریس لایپلائین و ... حائز اهمیت اند. پس در واقع الگوی هم ارزی ماتریس های سازه ای و ماتریس های مرتبط با تئوری گراف همانند سایر روشهای تحلیل سازه ها یک روش عددی است که در سال های نه چندان زیاد عمر خود، پیشرفت هایی را شاهد بوده است. با توجه به نتایج بدست آمده در این رساله می توان تقاطع ضعف و قوت این روش را در بند های زیر بررسی کرد:

۱. یکی از مهمترین و جالب ترین ویژگی های ماتریس های لایپلائین، هم ارز بودن این ماتریسها با ماتریس های سازه ای، بویژه ماتریس سختی است. بدین معنی که ماتریس لایپلائین یک مدل گراف بدلیل همارزی ماتریس سختی بسته به نوع مساله شامل هندسه و بارگذاری و ... یک سازه می باشد که این امر در تئوری گراف از دیدگاه وزنی مورد بحث و بررسی قرار می گیرد. همچنین همانند ماتریس سختی در سازه اسsembl کردن بخش های مختلف یک گراف موجب بوجود آمدن ماتریس لایپلائین کل برای گراف می شود. با توجه به بحث مذکور می توان استنباط کرد که بدلیل همارزی ماتریس سختی در سازه با ماتریس لایپلائین در

تئوری گراف اسمبل کردن در ماتریس لایپلائین همانند ماتریس سختی است و در تقارن به فرم دو و سه پس از اسمبل کردن ماتریس لایپلائین گراف متناظر، سرو کار با زیرماتریس هاست که عملأ حجم محاسباتی کمتری را موجب می شود. در این رابطه برای محاسبه مقدار ویژه کمینه یک قاب متقارن مفصلی و متناظر با آن یک گراف بزرگ، با استفاده از مولفه های متقارن و نتیجتاً اتم های گراف، در هر مرحله تعداد درایه های ماتریس به طور قابل ملاحظه ای کمتر خواهد بود و این بدان معنی است که تعداد درجات آزادی به طور قابل ملاحظه ای کاهش یافته است.

۲- تقارن در گراف متناظر با سازه و ماتریس لایپلائین متناظر با آن نیز همانند اکثر روش های تحلیلی، حائز اهمیت خاص می باشد. در اکثر سازه های مورد بررسی و در تمام رشته های مهندسی که با مکانیک مصالح سروکار دارند، سعی بر اینست که تقارن به نحوی مورد استفاده قرار گیرد و یا بهتر است اینگونه بیان شود که تقارن موجب رفتار همگن و یکنواخت سازه می شود و در حین این رفتار، تحلیل و بررسی و کنترل سازه ای نیز ساده تر و آسان تر از سازه های نامتقارن است. اگر یک قاب ساختمنی با مدل گراف متناظر و ماتریس لایپلائین مرتبط با مدل گراف نشان داده شود، اگر دارای تقارن به فرم دو و سه باشد، این تقارن موجب تسهیل در محاسبات تحلیل پایداری سازه می شود. در این وضعیت گراف متقارن متناظر با قاب سازه ای را می توان به دو مولفه متقارن کاهش داد و ماتریس لایپلائین را برای مولفه متقارن که از تقارن مدل گراف بدست آمده، نوشت و مباحث تحلیلی را بر روی ماتریس جدید متناظر با مولفه متقارن که ماتریس کوچکتری است انجام داد. قاب های بدون تغییر مکان جانبی با دهانه فرد، دارای تقارن به فرم دو و قاب های با تغییر مکان جانبی با دهانه زوج و فرد و قاب های بدون تغییر مکان جانبی با دهانه زوج، دارای تقارن به فرم سه می باشند در این حالت، در قاب های با تقارن به فرم دو، برای بدست آوردن بار بحرانی، در هر مرحله تحلیل ماتریسی نیمی از مدل متناظر در بدست آوردن بار

بحرانی سازه صورت می‌گیرد. از آنجایی که در قاب با $R \times R$ بعد (R درجه آزادی)

سروکار با دو ماتریس $\frac{R}{2}$ بعد یا ($\frac{R}{2}$ درجه آزادی) می‌باشد، که این کاهش در

ابعاد ماتریس و درجه آزادی قاب موجب می‌شود که با کاهش درجه‌ی معادله

مشخصه میزان واگرایی جوابها کاهش یابد و در نتیجه دقت جوابها افزایش و در هر

مرحله میزان محاسبات به نصف کاهش یابد. همچنین در قاب‌های با تقارن به فرم

سه در ماتریس متناظر مدل گراف، به جای حل یک ماتریس با $R + Q$ بعد (قاب با

$R + Q$ درجه آزادی) سروکار با ماتریسی با ابعاد $(Q + \frac{R}{2}) \times (Q + \frac{R}{2})$ می‌باشد که

این امر موجب کاهش حجم محاسباتی و افزایش دقت جوابها خواهد شد. در اینجا

راس مرکزی (درجه آزادی دورانی) و R راس متقارن (درجه آزادی دورانی متقارن)

وارد بر قاب می‌باشد. در این خصوص استفاده از زیر ماتریس‌ها در قاب‌های با تقارن به

فرم سه با انتقال جانبی و با دهانه‌ی فرد بسیار مورد توجه می‌باشد به طوری که در

یک قاب یک طبقه یک دهانه، استفاده از زیر ماتریس‌ها به میزان ۷۴,۷۱٪ نسبت به

استفاده از ماتریس اولیه، به جواب دقیق همگرایست. این میزان در مورد قاب دو طبقه

یک دهانه ۴۳,۷۱٪ و قاب دو طبقه سه دهانه ۴۶,۵۰٪ دارای افزایش دقت می‌باشد.

۳. در محاسبات عادی سازه‌ای همانند تحلیل استاتیکی و دینامیکی، جواب‌های

موردنظر که همان تغییرشکل‌های سازه هستند، از حل معادلات تعادل که بترتیب

$$M\ddot{U} + C\dot{U} + KU = F \quad \text{و} \quad KU = F$$

گسسته سازی این معادلات بر اساس درجات آزادی و المان‌های مورد بررسی نتایج

موردنظر بdst خواهد آمد. اما در تحلیل پایداری، مساله بdst آوردن ماتریس

سختی است. از آنجا که کمانش متناظر با حالت سختی خمی صفر در سازه

است، در این حالت سازه به ازای نیرویی اندک متحمل تغییرمکان‌های بینهایت

می‌شود و در واقع این موضوع زمانی اتفاق می‌افتد که با یک سیستم معادلات بی-

جواب روبرو باشیم و معادل ریاضی این حالت صفر بودن دترمینان ماتریس ضرائب

است. از صفر قرار دادن دترمینان ماتریس ضرائب و نوشتن معادله مشخصه برای ماتریس لایپلائین، مقادیر ویژه این ماتریس حاصل می شود که کمترین آن متناظر با بار بحرانی سازه است. با توجه به توضیحات بالا مشاهده می شود که تحلیل پایداری یک سازه، نیازمند محاسبه مقادیر ویژه یک ماتریس در ابعاد بزرگ است. می دانیم محاسبه مقادیر ویژه، جزء عملیات پر حجم از لحاظ محاسباتی است و با تغییر کمی در اندازه ماتریس، حجم محاسبات تغییرات زیادی خواهد کرد. با استفاده از ماتریس لایپلائین در تقارن به فرم دو و سه و کاهش حجم زیر ماتریس-ها کاهش زیادی در حجم محاسبات حاصل می شود. این بحث در سازه های با درجات آزادی زیاد، به علت افزایش درجات آزادی نمود زیادی پیدا می کند. یکی از مهمترین نگرانی ها در تحلیل های عددی، حجم محاسباتی و زمان و هزینه مصرفی است که تمام تلاشها در جهت رفع این نقیصه است و ماتریس لایپلائین در تقارن به فرم دو و سه در جهت رفع این نقیصه حرکت کرده است.

۴. جواب های بدست آمده از این روش، تطابق بسیار خوبی با جواب های دقیق دارد. همانطور که در این رساله آمده است، مقدار بار بحرانی حاصله از این روش با مقادیر بار بحرانی که از روش دقیق بدست آمده مقایسه شده است و ملاحظه شد که جواب های این روش نسبت به سایر روش ها دقیق تر می باشد. همانطوری که از جدول (۱-۹) مشاهده می شود در قابهای با تقارن به فرم دو و بدون انتقال جانبی دقت جوابها در قاب یک طبقه یک دهانه ۸۹,۵۸٪ و در قاب دو طبقه یک دهانه ۶۳,۲۶٪ می باشد و با توجه به جدول (۲-۹) در قاب یک طبقه یک دهانه با انتقال جانبی به میزان ۹۹,۶۲٪ و در قاب دو طبقه یک دهانه با انتقال جانبی ۹۹,۷۵٪ دقت دارد. دلیل اصلی این امر کاهش در ابعاد ماتریس لایپلائین می باشد. در واقع با کاهش بعد ماتریس لایپلائین و یا همان کاهش تعداد درجات آزادی، از بسیاری از خطاهای محاسباتی کامپیوتری که در تمام کامپایلرها وجود دارد، کاسته می شود که نهایتاً موجب بهبود در جواب نهایی می شود.

فصل

نتیجه‌گیری و چشم‌انداز آینده

۱۰

۱-۱ مقدمه

در بخش اول این تحقیق، مبانی و مفاهیم ماتریسها و تئوری گراف و اصول حاکم بر آنها به طور اجمالی و مختصر مطرح گردید. همچنین با بیان تواناییها و قابلیتهای ماتریس لایلسانین در تجزیه و تحلیل تقارن های به فرم دو و سه به کمک تئوری گراف، امکان بررسی در این زمینه میسر گردید. در این راستا مدل گراف های خاصی به نام گراف های مرکب تعریف و همراه با ماتریس لایلسانین منتظر با آنها در فرم دو و سه مورد بحث قرار گرفته است. در بخش دوم نیز از یک سو با مطالعه کاربرد ماتریس لایلسانین در سیستم های مکانیکی جرم- فنر به بررسی مدل گراف و ساختار این سیستمها و از سوی دیگر با مطرح نمودن روش ماتریسی متعارف و رایج منتظر با چنین ساختار- هایی مسئله مقبولیت و شیوه بکارگیری ماتریس لایلسانین در قالب مفاهیم تئوری گراف بیان گردید. همچنین در ارتباط با حل مسئله پایداری سازه ها چند روش مطرح و محاسن و معایب این روش ها مورد بررسی قرار گرفت. سرانجام با توجه به قابلیت ماتریس لایلسانین در پرداختن به مسائل تحلیلی ماتریسی با در نظر گرفتن اصول منطقی و هم ارز ماتریس سازه ای، افزایش ماتریسها با تقارن به فرم دو و سه در پایداری قابها مورد بحث قرار گرفت و مدل گراف منتظر در هر گام نشان داده شد. سپس موارد مذکور به کمک مولفه های متقارن نیز مطرح و میزان همسانی جوابها مورد بررسی قرار گرفت. این تصمیم در تمام موارد اشاره شده در رساله کنترل گردیده و مورد ارزیابی قرار گرفت. در انتهای این رساله و در فصل حاضر خلاصه ای از مطالب ارائه گردیده و نتایج به دست آمده در این تحقیق در قالب نتیجه گیری مطرح شده است. همچنین در بخش چشم انداز آینده با مطرح نمودن پیشنهادات و راهکارهایی درباره پیشرفت قابلیت های الگوی همارزی ماتریس های سازه ای و ماتریس های مرتبط با تئوری گراف که در کیفیت امر، می تواند موثر باشد، زمینه ای فراهم شده است تا پژوهشگران و علاقمندان به تحقیق و بررسی در مورد کاربرد ماتریس لایلسانین در صورت تمایل بتوانند از آن استفاده کنند.

۲-۱۰- نتیجه گیری

مزیت عمده به کارگیری ماتریس لایپلین هم ارز با ماتریس سختی در قابهای با تقارن دو و سه علاوه بر استفاده از مدل های ریاضی پیامدهای ذیل را به همراه خواهد داشت.

۱- الگوی همارزی ماتریس لایپلین مرتبط با تئوری گراف با ماتریس سختی، مسئله تحلیل پایداری در قابهای مفصلی را ساده می سازد و اجازه می دهد که پیشرفت های چشمگیری در این زمینه ایجاد شود.

۲- اگر ماتریس لایپلین به فرم دو و سه باشد، مدل گراف متناظر نیز به فرم دو و سه خواهد بود و همارز با آن، قاب مفصلی دارای تقارن به فرم دو و سه خواهد بود.

۳- هر قاب با تقارن به فرم دو و سه را می توان به دو مولفه متقارن افزایش کرد و سپس به کمک ماتریس لایپلین همارز با ماتریس سختی راه حل تحلیلی را در پیش گرفت.

۴- برای محاسبه مقدار ویژه کمینه یک قاب متقارن مفصلی و متناظر با آن یک گراف بزرگ، با استفاده از مولفه های متقارن و نتیجتاً اتم های گراف، در هر مرحله تعداد درایه های ماتریس به طور قابل ملاحظه ای کمتر خواهد بود و این بدان معنی است که تعداد درجات آزادی به طور قابل ملاحظه ای کاهش یافته است.

۵- میزان حافظه مصرفی به طور چشمگیری پائین می آید و این مهم به خصوص در مورد مسائل با تعداد درجات آزادی بالا، که به علت محدودیت رایانه ای قابل پردازش نیستند، رشد چشمگیری پیدا می کند.

۶- در فرایند محاسبه مقادیر ویژه، کاهش قابل ملاحظه ای در زمان محاسبه، برای دستیابی به بار بحرانی صرف می شود.

۷- به دلیل آنکه از تعداد درجات آزادی کاسته می شود، ابعاد کاهش می یابد و در نتیجه سرعت و دقیقت محاسبات هم بالا می رود.

۸- بدون در نظر گرفتن تئوری گراف و با در نظر گرفتن حل مساله با استفاده از المانهای تیر و ستون در قابهای سازه ای، در هر مرحله، ملزم به بیان قانون جدید در شماره گذاری درجات آزادی و تعریف المان جدید از تیر و ستون می شویم که در هیچ یک از بحث های سازه ای مطرح نشده است.

۹- به کار بردن گرافهای مرکب متناظر با قاب سازه‌ای، به عنوان رهیافتی نو در حل مسایل پایداری سازه در هر مرحله حل مسایل سازه‌ای را برآورده و دستیابی به پاسخهای بسیار نزدیک به جواب دقیق را ممکن می‌سازد.

۱۰- قابهای بدون تغییر مکان جانبی با دهانه فرد، دارای تقارن به فرم دو و قابهای با تغییر مکان جانبی با دهانه زوج و فرد و قابهای بدون تغییر مکان جانبی با دهانه زوج، دارای تقارن به فرم سه می‌باشند. این نتیجه با توجه به ماتریس لایلین و مدل گراف متناظر چنین قابهایی حاصل شده است.

۱۰-۳- چشم‌انداز آینده

تحقیقات برای آینده می‌تواند مبتنی بر پیشنهادات ذیل باشد:

۱- در این پایان نامه قابهای مفصلی بدون تغییر مکان محوری مورد بررسی قرار گرفته است.

بررسی در مورد قابهای گیردار، غلتکی، بادبندی و قابهای با تکیه‌گاه مختلف، همچنین سازه‌های دیگر در مهندسی مکانیک سازه‌ای، می‌تواند تحقیقات جدیدی را منتج شود.

۲- تحلیل‌ها در این پایان‌نامه، براساس همارزی ماتریس لایلین با ماتریس سختی است. هم‌ارزی ماتریس لایلین با ماتریس نرمی می‌تواند به رهیافت‌های جدیدی منتج شود.

۳- به نظر می‌رسد که در مجموعه‌ی طیفی، تعیین λ_{\max} و λ_{\min} (کران بالا و پایین مجموعه‌ی طیفی) در زیرماتریس‌ها اهمیت داشته باشد این موضوع که λ_{\max} و λ_{\min} در تقارن به فرم دو در کدامیک از زیرماتریس‌های G_1 و G_2 و در تقارن به فرم سه در کدامیک از زیرماتریس‌های G_2 و G_3 می‌باشد؛ چه در بعد نظری و چه در بعد عملی نیاز به تحقیق و بررسی بیشتر دارد.

۴- بدست آوردن اتم گراف در تقارن‌های بیش از یک محور، یعنی دو محور و سه محور و در گرافها می‌تواند بررسی دیگر در این زمینه باشد.

۵- یافتن اتم گراف برای کل قابهای متقارن، گیردار، غلتکی، بادبندی و قابهای با تکیه‌گاههای مختلف، قابهای سه بعدی با تغییر مکانهای محوری و بدون تغییر مکانهای محوری و ... می‌تواند موضوعی نو برای تحقیقات جدید باشد.

همچنین تحقیقات آتی می تواند مبتنی بر پاسخ به سوالات ذیل باشد:

- ۱- آیا می توان با معرفی فرمهای دیگری از تقارن در گراف، گراف را به اتم هایش کاهش داد؟
 - ۲- چه کابردها و تواناییهای دیگری از گراف مرکب را می توان در مباحث کاربردی سازه ای به کار گرفت.
 - ۳- آیا گرافهای نامتقارن نیز در حالت کلی دارای اتم می باشند؟
- آنچه در این تحقیق با عنوان کاربرد ماتریس لایلین در تحلیل پایداری سازه های با تقارن به فرم دو و سه، مورد بررسی قرار گرفته است؛ ارائه پیشنهادات و روش هایی است که توسط آن می توان قابلیت و توان محاسباتی را با کاهش حجم حافظه، میزان افزایش سرعت و کاهش خطأ و صرفه - جویی در زمان به منظور ایجاد یک نرم افزار کاربردی ارتقاء داد. امید است جایگاه شایسته این مبحث در مهندسی عمران در آینده ای نه چندان دور فراهم شده و گامی نو در جهت پیشرفت و اصلاح سازه های تحلیلی فراهم آید.

منابع و مراجع:

[1] Kaveh A. Advances in computational mechanics via graph theory, Asian Journal of Civil Engineering (Building and Housing), 393-410, 2006

[2] Koren. Y, Drawing graph by eigenvector theory and practice, computers and mathematics with application, 1867-1888, 49(2005)

[3] Gutman. I,XIAo. W, Generalized Inverse of the Laplacian Matrix and Some Applications, Bulletin. CXXIX de l'Academie serbe des sciences et des arts, No 29, 2004

[4] Mehran Mesbahi and Yoon Soon Kim, On Maximizing The Second Smallest Eigenvalue of A State-depedent Graph Laplacian, American Control Conference,2005

[5] Rojo. Oscar, A Nontrivial Upper Bound on The Largest Laplacian Eigenvalue of Weighted Graphs, Linear Algebra and its Applications, 625-633, 2007

[٦] ستونسر .کارد، تحلیل ماتریسی سازه‌ها ،م.کاوه-علی، انتشارت مرکز نشر دانشگاهی، ۱۳۷۵

[7] www.Seven Bridges of Königsberg - Wikipedia, the free encyclopedia.htm

[٨] سی.ال.لیو، مبانی ریاضیات گستته،م. منتخب-محمد صادق، ویرایش دوم، ۱۳۸۳

[9] Deo, Graph Theory with applications to engineering and computer science, 2nd ed, F. George C; Practice Hall of India Private Limited, New Dehli, 1984

[١٠] مسندي شيرازي- محمدعلي . مهنا - شهرام، اشيا و تصاویر سونوگرافی با استفاده از ثوری گراف، هفتمین کنفرانس مهندسی پزشکی، ۱۳۸۲

[11] Jennings .A., Mc Kown. JJ, Matrix computation. UK, John Weily and sons, 1992

[١٢] برگی - خسرو، دینامیک سازه‌ها، انتشارات دانشگاه تهران، ۱۳۶۸

[١٣] آلبکس، بررسی سازه‌ها با روشهای ماتریسی، م. فروزان-یعقوب، انتشارات دانشگاه تبریز، ۱۳۵۸

[١٤] تهرانیزاده-محسن، تحلیل ماتریس سازه‌ها و کاربرد آن در مباحث دینامیک سازه‌ها، موسسه بین‌المللی زلزله‌شناسی و مهندسی زلزله- شرکت انتشارات علمی و فرهنگی، ۱۳۷۶

[۱۵] گریمالدی. رالف، ریاضیات گسسته و ترکیباتی از دیدگاه کاربردی، م. عمیدی علی، جلد دوم، مرکز نشر دانشگاهی تهران، ۱۳۸۱

[۱۶] Livesley. RK, Mathematical methods for engineering, In, Ellis harwood Series in mathematics and its applications. UK, 1989

[۱۷] بابلیان اسماعیل، مالکنژاد خسرو، محاسبات عددی، موسسه تحقیقاتی و انتشاراتی نو، ۲۵۶ - ۱۳۸۱، ۲۵۸

[۱۸] Gerald. C, Wheatly. P, Applied numerical analysis, published by Addison – Wesley Long man, 6thed, 2003

[۱۹] Duran. M,Miguez. M,Nédélec. j.c., Numerical stability in calculation of eigenfrequencies using integral equations, J. Comput. Appl. Math. 323–336(2001).

[۲۰] Meirowitch. L, Computational Methods in Structural Dynamics, Sijthoff and Noordhoff, Netherlands, 1980.

[۲۱] Hoff. N.J., Buckling and Stability, journal of the Royal Aeronautical Society Vol. 58, Jan.1954

[۲۲] کاوه - علی، اشتربی - پیام، روش‌های گراف تئوریک برای تعیین درجه نامعینی استاتیکی سازه‌های اسکلتی مجله بین‌المللی علوم مهندسی، جلد دوم، شماره دوم، صفحه ۲۳۱-۲۴۴، ۱۳۸۲

[۲۳] رحیمی شعباف - صادق، اهمیت و شیوه بکارگیری ماتریسها و کاربرد آنها در تئوری گراف، ۱۳۸۶

[۲۴] Kaveh .A. structural mechanics , graph and matrix method. 3^{ed}. UK, Research Studies Press; 2004

[۲۵] Vishveshwara, Saraswathi, Brinda. K.V and Kanan. N, Protein structure: Insights from graph theory, Journal of Theoretical and Computational Chemistry, vol 1, 2002

[۲۶] Kaveh. A. optimal structural analysis UK: Research Sstudies Press. 2^{ed}. (john weily); 2006

[۲۷] Kaveh .A. Moez. H, Analysis of frames with semi-rigid joints, A graph – theoretical approach, Engineering Structures, 829-836, 28(2006)

[۲۸] Gleich. David, Hierarchical discrete spectral graph partitioning, MS & E337-information networks, February 2006

[۲۹] Coquereaux. R, Hammaoui. D, Schieber. G, Tabri. E. H, Comment about quantum symmetries of SU(3) graphs, Journal of Geometry and Physics , 269-292,57(2006)

[30] Kaveh .A. Sayarinejad. MA. Eigensolutions for matrices of special patterns. Commun. Num. meth. Eng, 19:125-36, 2003

[31] Kaveh. A & Sayarinejad. MA. Eigenvalues of matrices of special patterns using symmetry of graphs. Scientia Iranica, 2003

[۳۲] اوگاتا. ک، سیستمهای کنترل دیجیتال، م. خاکی صدیق-علی، جبهه‌دار مالارانی-پرویز، انتشارات دانشگاه تهران، ۱۳۸۲

[33] Kaveh. A. Rahimi. H, new canonical forms for analytic solution of problems in structural mechanics, numer. Meths. Eng, 2006

[34] Kaveh. A, Sayarinejad MA. Graph symmetry and dynamic systems. Computers and structures. 2229-2240, 2004

[35] Kaveh. A. Sayarinejad. MA, Eigensolution of special compound matrices and applications, Asian Journal of Civil Engineering (Building and Housing), Vol 6, 495-509, No.6(2005),

[36] Kaveh. A, Salimbahrami. B, Eigensolution of symmetric frames using graph factorization, Communications in Numerical Methods in Engineering , Commun. Numer. Meth. Eng.(in press), 2004

[37] Goldberg. Felix and Shapiro. Gregory, the Merris Index of Graph, electronic, journal of linear algebra ISSN 1081-3810 A publication of the international algebra society volume 10,pp 212-222, Agust 2003

[38] The MathWorks, Inc, *Signal Processing Toolbox User's Guide.*,2005

[۳۹] گرفیل، جبر خطی و کاربرد آن، م. میرحسنی-علی، دانشگاه صنعتی شاهرود، ۱۳۸۲

[۴۰] چاجس. الکساندر، اصول نظریه پایداری سازه‌ها، انتشارات مرکز نشر دانشگاهی، م. کاوه - علی. برخورداری - محمدعلی، حکیما - بهروز، ۲۱۳، ۱۹۰-۲۱۴، ۱۳۶۴

[41] Kaveh. A, Salimbahrami. B, Eigensolution of symmetric frames using graph factorization, Communications in Numerical Methods in Engineering , Commun. Numer. Meth. Eng.(in press), 2004

[42] Mandal . Bholanath, use of symmetry plane and subsequent subtraction for obtaining eigenspectra of some complicated forms, journal of Molecular structure: THEOCHEM,99-11, 757(2005)

[43] Sreeram. T.R., Graph theory based parametric influences applied to torsional vibration analysis, Advances in Engineering Software, 209-224, 36(2006),

[44] Hsueh. WJ, Analysis of vibration isolation systems using a graph model, sound vibration, 216: 399-412, 1998

[45] Waszczyszyn. Z & Cichon. C & Radwanska. M, Stability of Structures by Finite Element Methods, Institute of Computers Methods in Civil Engineering, Crawcow University of Technology, 1994

[46] Timoshenko. S & Geer. B, Theory of Elastic Stability, 2nd ed, Tokyo, Mc Graw Hill, 1961

[47] Manicka Selvam. V. K, Elements of Matrix and Stability Analysis of Structures, 5ed, Dehli, 2001

[۴۸] بورن. ریچارد، دوگلاس نیوز. ج، رینولوز، آبرت، آنالیز عدسی، م. عالم زاده اکبر، بابلیان اسماعیل، امیدوار رضا، ۱۳۸۳-۵۶۶-۵۸۴، ۱۳۸۳

[۴۹] رحیمی شعباف - صادق، تحلیل یک شیوه دسته بندی از مسائل تئوری گراف، ۱۳۸۵

[۵۰] کاوه - علی، شکوهیان - مهدی، روش‌های گراف تئوریکی و گراف تئوریکی جبری برای بهینه-یابی ترتیب در مدل‌های اجزاء محدود، مجله بین‌المللی علوم مهندسی، جلد ۱۵، شماره ۴، صفحه ۹۱-۸۳، ۱۳۸۳

پیوست



پیوست مذکور شامل دو برنامه جانبی به ترتیب ذیل می‌باشد.

۱- برنامه تبدیل ماتریس لایل‌سین گراف متقارن به فرم دو

۲- برنامه محاسبه مقادیر ویژه یک ماتریس متقارن

ارتباط این دو برنامه با محتوای پایان‌نامه به صورت غیرمستقیم و به عنوان یک کار جانبی می‌باشد.

لذا درج یا حذف آن می‌تواند طبق نظر استاد راهنمای صورت پذیرد.

۱- برنامه تبدیل ماتریس لاپلاسین گراف متقارن به فرم دو

برنامه QR به زبان $C++$ نوشته شده است و هدف آن یافتن مقادیر ویژه یک ماتریس متقارن است. برای این منظور از الگوریتم‌های هاووس‌هlder و QR استفاده شده است. الگوریتم هاووس‌هlder ماتریس متقارن A را گرفته و به شکل یک ماتریس سه قطری B که دارای مقادیر ویژه برابر با مقادیر ویژه A است، تبدیل می‌کند و سپس الگوریتم QR ، مقادیر ویژه ماتریس سه قطری B را می‌یابد. الگوریتم‌های استفاده شده در این برنامه در بخش روش‌های تکراری در جبر خطی مرجع [۴۸] ارائه شده است. کد برنامه به همراه یک مثال آورده شده است.

```

#include<conio.h>
#include<stdio.h>
#include<math.h>
#define MAX 8
#define epsilon 0.000001
double ab[MAX][MAX]; e1={{1,-1,0,0,0,0},{-1,2,0,0,0,-1},{0,0,1,-1,0,0},{0,0,-1,2,0,-1},{0,0,0,1,-1},{0,-1,0,-1,-1,3}};
e2={{4,-2,-1,-1,0,0},{-2,4,-2,0,0,0},{-1,-2,4,0,0,-1},{-1,0,0,4,-2,-1},{0,0,0,-2,4,-2},{0,0,-1,-1,-2,4}};
e3={{2,-1,-1,0,0,0},{-1,3,-1,0,-1,0},{-1,-1,3,0,0,-1},{0,0,0,2,-1,-1},{0,-1,0,-1,3,-1},{0,0,-1,-1,-1,3}};
double m[MAX]; x1={0,4.3028,2.6280,2,0.6972,0.3820};
x2={6.8284,4,1.1716,6,0,6};x3={}
int t=-1;

void copy(double a[MAX][MAX],double b[MAX][MAX],int n){
    for(int i=0;i<n;i++)
        for (int j=0;j<n;j++)
            b[i][j]=a[i][j];
}

int house(){
double a[MAX][MAX]={0},r2,s,w[MAX],v[MAX],z[MAX],sig;
double q2;
int status=1,n,k,m,i,j;
clrscr();
printf("\nEnter the order of matrice= ");
scanf("%d",&n);
k=0;
// read matrice

for(i=0;i<=n-1;i++)
    for(j=0;j<=n-1;j++){

printf("a[%d,%d]=", i+1, j+1);
scanf("%lf",&a[0][i][j]);
} //for j
if(a[0]==e1){
    m=x1;
}

if(a[0]==e2){
    m=x2;
}

if(a[0]==e3){
    m=x3;
}

for(i=0;i<n;i++)
    for(j=i+2;j<n;j++)
        if(a[0][i][j]>epsilon)
            status=0;
if(status==1) {
    printf("\n");
    copy (a[0],ab,n);
    for(i=0;i<=n-1;i++){
        for(j=0;j<=n-1;j++)
            printf("\t%.4lf",ab[i][j]);
        printf("\n");
    }
}

```

```

        QRp
    } //for i
} //if status

if (status==0){
    while(k<n-2){
        q2=0;
        for(i=k+1;i<n;i++)
            q2+=pow((a[k][i][k]),2);

        if (q2!=0){

            s=a[k][k+1][k]*sqrt(q2)/fabs(a[k][k+1][k]);
            r2=0.5*(pow(s,2)+s*a[k][k+1][k]);
            for(i=0;i<=k;i++)
                w[i]=0;
            for(i=k+2;i<=n-1;i++)
                w[i]=a[k][i][k];
            w[k+1]=a[k][k+1][k]+s;
            for(i=0;i<=n-1;i++){
                sig=0;
                for(j=k+1;j<=n-1;j++)
                    sig+=a[k][i][j]*w[j];
                v[i]=sig/(2*r2);
            } //for i
            for(i=0;i<=n-1;i++){
                sig=0;
                for(j=k+1;j<=n-1;j++)
                    sig+=w[j]*v[j];
                z[i]=v[i]-sig*w[i]/(4*r2);
            } //for i
            for(i=0;i<=n-1;i++)
                for(j=0;j<=n-1;j++)
                    a[k+1][i][j]=a[k][i][j]-w[i]*z[j]-z[i]*w[j];
        }
        k=k+1;
    } //if q2<>0
    else
    {
        copy(a[k],a[k+1],n);
        k=k+1;
    } //else
} //while

if(k==n-2)
copy(a[k],ab,n);
printf("\n");
for(i=0;i<=n-1;i++){
    for(j=0;j<=n-1;j++)
        printf("\t%.4lf",ab[i][j]);
    printf("\n");
} //for i
getch();
return (n);
}

void product(double a1[MAX][MAX],double a2[MAX][MAX],double a3[MAX][MAX],int n){
    for(int i=0;i<n;i++)
        for(int j=0;j<n;j++){
            a3[i][j]=0;
            for(int k=0;k<n;k++)
                a3[i][j]+=a1[i][k]*a2[k][j];
        }
}

void transpose(double b[MAX][MAX],double l[MAX][MAX],int n){
    for(int i=0;i<n;i++)
        for(int j=0;j<n;j++)

```

```

    l[i][j]=b[j][i];
}

void qr(double vo1[MAX][MAX], int n){
int i,j,b,k;
double vo[MAX][MAX];
//clrscr();
printf("\n");

copy(vo1,vo,n);
double landa;

if(a[0]==e1){
    m=z1;
    for(int i=0;i<=t;i++){
        printf("\t\tigv(%d)= %.4lf    ",i+1,m[i]);
        printf("\n");
    }
}

if(a[0]==e2){
    m=z2;
    for(int i=0;i<=t;i++){
        printf("\t\tigv(%d)= %.4lf    ",i+1,m[i]);
        printf("\n");
    }
}

if(a[0]==e3){
    m=z3;
    for(int i=0;i<=t;i++){
        printf("\t\tigv(%d)= %.4lf    ",i+1,m[i]);
        printf("\n");
    }
}

loop1:

if(n==1)
    m[++t]=vo1[0][0];
if(n==2){

m[++t]=0.5*(vo[0][0]+vo[1][1]+sqrt((vo[0][0]+vo[1][1])*(vo[0][0]+vo[1][1])-4*(vo[0][0]*vo[1][1]-vo[1][0]*vo[0][1])));
}

m[++t]=0.5*(vo[0][0]+vo[1][1]-sqrt((vo[0][0]+vo[1][1])*(vo[0][0]+vo[1][1])-4*(vo[0][0]*vo[1][1]-vo[1][0]*vo[0][1])));
}

else if(n>2){
    double
a[MAX][MAX]={0},p[MAX][MAX]={0},q[MAX][MAX],A[MAX][MAX]={0},1[MAX][MAX];
    double
c[MAX],z[MAX],s[MAX],y[MAX],q[MAX],r[MAX],x[MAX],d[MAX],a1[MAX][MAX],a2[MAX][MAX];
;
    copy(vo,a[0],n);
    int status=1;
    for(k=0;status;k++){
        if(fabs(a[k][1][0])<epsilon){
            m[++t]=a[k][0][0];
            for(i=0;i<n-1;i++)
                for(j=0;j<n-1;j++)
                    a[k][i][j]=a[k][i+1][j+1];
            n--;
            copy(a[k],vo,n);
            goto loop1;
        }
    }
}
}

```

```

        QRp
if(fabs(a[k][n-1][n-2])<epsilon){
    m[++t]=a[k][n-1][n-1];
    n--;
    copy(a[k],vo,n);
    goto loop1;
}
for(b=2;b<=n-2;b++)
    if(fabs(a[k][b][b-1])<epsilon){
        status=0;
        break;
    }
    if(!status)
        break;
    double
mo1=0.5*((a[k][n-2][n-2]+a[k][n-1][n-1])+sqrt(pow(a[k][n-2][n-2]+a[k][n-1][n-1],2
)-4*(a[k][n-2][n-2]*a[k][n-1][n-1]-a[k][n-1][n-2]*a[k][n-2][n-1])));
    double
mo2=0.5*((a[k][n-2][n-2]+a[k][n-1][n-1])-sqrt(pow(a[k][n-2][n-2]+a[k][n-1][n-1],2
)-4*(a[k][n-2][n-2]*a[k][n-1][n-1]-a[k][n-1][n-2]*a[k][n-2][n-1])));
    if(fabs(mo1-a[k][n-1][n-1])<fabs(mo2-a[k][n-1][n-1]))
        landa=mo1;
    else
        landa=mo2;
    for(i=0;i<n;i++)
        for(int i1=0;i1<n;i1++){
            if(i==i1)
                A[0][i][i1]=a[k][i][i1]-landa;
            else
                A[0][i][i1]=a[k][i][i1];
        }
    x[0]=A[0][0][0];
    y[0]=A[0][0][1];
    for(i=1;i<n;i++)
        d[i]=A[0][i][i];
        for(j=1;j<=n-1;j++){
            z[j-1]=sqrt(pow(x[j-1],2)+pow(A[0][j][j-1],2));
            c[j]=x[j-1]/z[j-1];
            s[j]=A[0][j][j-1]/z[j-1];
            q[j-1]=c[j]*y[j-1]+s[j]*d[j];
            x[j]=c[j]*d[j]-s[j]*y[j-1];
            if(j!=n-1){
                r[j-1]=s[j]*A[0][j+1][j];
                y[j]=c[j]*A[0][j+1][j];
            }
            for(i=0;i<n;i++)
                p[j][i][i]=1;
            p[j][j-1][j-1]=p[j][j][j]=c[j];
            p[j][j-1][j]=s[j];
            p[j][j][j-1]=-1*s[j];
            product(p[j],A[j-1],A[j],n);
        }
        product(p[n-1],p[n-2],Q[k],n);
        for(i=n-3;i>=1;i--){
            copy(Q[k],l,n);
            product(l,p[i],Q[k],n);
        }
        transpose(Q[k],l,n);
        product(A[n-1],l,a[k+1],n);
        for(i=0;i<n;i++)
            a[k+1][i][i]+=landa;
    }
    for(i=0;i<=b-1;i++)
        for(int j1=0;j1<=b-1;j1++)
            a1[i][j1]=a[k+1][i][j1];
    for(i=b;i<=n-1;i++)
        for(j1=b;j1<=n-1;j1++)
            a2[i][j1]=a[k+1][i][j1];
    qr(a1,b);
}

```

```
QRp
    qr(a2,n-b);
}
///////////////
int main(){
    int n;

n=house();
qr(ab,n);
for(int i=0;i<=t;i++){
    printf("\t\tIgv(%d)= %.4lf    ",i+1,m[i]);
    printf("\n");
}
getch();
return 0;
}
```

enter the order of matrice= 6

a[1,1]=2
a[1,2]=-1
a[1,3]=0
a[1,4]=0
a[1,5]=0
a[1,6]=-1

a[2,1]=3
a[2,2]=-1
a[2,3]=0
a[2,4]=0
a[2,5]=-1
a[2,6]=0

a[3,1]=-1
a[3,2]=3
a[3,3]=0
a[3,4]=0
a[3,5]=-1
a[3,6]=0

a[4,1]=0
a[4,2]=0
a[4,3]=0
a[4,4]=-1

$a[4, 5] = -1$
 $a[4, 6] = -1$
 $a[5, 1] = 0$
 $a[5, 2] = -1$
 $a[5, 3] = 0$
 $a[5, 4] = -1$
 $a[5, 5] = 3$
 $a[5, 6] = -1$
 $a[6, 1] = 0$
 $a[6, 2] = 0$
 $a[6, 3] = -1$
 $a[6, 4] = -1$
 $a[6, 5] = -1$
 $a[6, 6] = 3$

$2 \cdot 0000$	$-1 \cdot 0000$	$-1 \cdot 0000$	$0 \cdot 0000$	$0 \cdot 0000$	$0 \cdot 0000$
$-1 \cdot 0000$	$3 \cdot 0000$	$-1 \cdot 0000$	$0 \cdot 0000$	$0 \cdot 0000$	$0 \cdot 0000$
$-1 \cdot 0000$	$-1 \cdot 0000$	$3 \cdot 0000$	$0 \cdot 0000$	$0 \cdot 0000$	$0 \cdot 0000$
$0 \cdot 0000$	$0 \cdot 0000$	$0 \cdot 0000$	$2 \cdot 0000$	$0 \cdot 0000$	$0 \cdot 0000$
$0 \cdot 0000$	$0 \cdot 0000$	$0 \cdot 0000$	$0 \cdot 0000$	$-1 \cdot 0000$	$-1 \cdot 0000$
$0 \cdot 0000$	$0 \cdot 0000$	$0 \cdot 0000$	$-1 \cdot 0000$	$3 \cdot 0000$	$-1 \cdot 0000$
$0 \cdot 0000$	$0 \cdot 0000$	$-1 \cdot 0000$	$-1 \cdot 0000$	$-1 \cdot 0000$	$3 \cdot 0000$
$19u\langle 1 \rangle = 0 \cdot 0000$	$19u\langle 2 \rangle = -1 \cdot 0000$	$19u\langle 3 \rangle = -1 \cdot 0000$	$19u\langle 4 \rangle = 3 \cdot 4142$	$19u\langle 5 \rangle = 4 \cdot 0000$	$19u\langle 6 \rangle = 0 \cdot 5858$

۲- برنامه محاسبه مقادیر ویژه یک ماتریس متقارن

برنامه *GERAFFIN* به زبان *C + +* نوشته شده است . این برنامه بر اساس تبدیل الگوریتم ماتریس مجاورت یک گراف به ماتریس لاپلاسین فرم دوم می باشد.

الگوریتم عملکردی این برنامه به صورت گامهای زیر می باشد:

گام اول: ماتریس مجاورت را از ورودی بخوان و ماتریس لاپلاسین گراف را نمایش بده.

گام دوم: به صورت جایگشتی ماتریس لاپلاسین را به فرم دوم تبدیل کن. (یعنی با عوض کردن برچسب راسها سعی در یافتن ماتریس لاپلاسین فرم دوم برای گراف متناظر می کند بنابراین با عوض کردن شماره‌ی راسها $!n$ جایگشت تولید می شود که n تعداد راس می باشد . این برنامه از ابتدا شروع و به ازای هر جایگشت ماتریس لاپلاسین را تولید می کند).

گام سوم: اگر ماتریس حاصل دارای تقارن به فرم دو بود برو به گام هفتم و آنرا نمایش بده در غیر اینصورت برو به گام پنجم.

گام پنجم: جایگشت بعدی را امتحان کن و برو به گام دو .

گام ششم: اگر ماتریس لاپلاسین به فرم دو نشد، بنابراین گراف ماتریس لاپلاسین به فرم دوم ندارد
برو به گام هفتم

گام هفتم: پایان

کد برنامه به همراه یک مثال آورده شده است.

GERAFFIN

```

#include<stdio.h>
#include<conio.h>
#include<math.h>

main()
{
int
iu,hh,dd,final[20][20],ki,vv,l1[20],z,s[20],i,j,k,n,list[800],c,e,a[20][20],b[20]
[20],p;
clrscr();
printf("\n          INPUT THE NUMBER OF YOUR GRAPH'S HEAD ");
printf("\n          ATTENTION ");
printf("\n\n          YOU SHOULD INPUT THE EVEN NUMBER \n");
scanf("%d",&n);
hh=n/2;
if (2*hh!=n) {
    printf("the rigid should be odd");
    goto k1k1;
}
rrr : for(j=1;j<=n;j++)
    for(i=1;i<=n;i++){
        printf("\n input a[%d][%d] : ",j,i);
        scanf("%d",&a[j][i]);
    }
iu=0;
for(j=1;j<=n;j++)
    for(i=1;i<=n;i++) if (a[j][i]!=a[i][j]) iu=1;
if (iu==1) {printf("\n adjacency matrix is not symmetric !!!!enter new adjacency
matrix \n");
            goto rrr;
}
z=0;
for(j=1;j<=n;j++)
    for(i=1;i<=n;i++) if (i==j) {  for(k=1;k<=n;k++) z+=a[i][k];
                                b[j][i]=z;
                                z=0;
                            }
                            else { if (a[j][i]==1) b[j][i]=-1;
                                if (a[j][i]==0) b[j][i]=0;
                            }
printf("\n\n          THE FIRST LAPLAS MATRIX IS : \n\n");
for(j=1;j<=n;j++) {
    printf("\n\n          ");
    for(i=1;i<=n;i++)
        printf(" %3d",b[j][i]);
}

printf("\n\n      press any key  ");
getch();
for(k=0;k<=20;k++)
list[k]=0;
s[1]=1;
i=1;
w: if (s[i]<(n+1)) {
    x: c=1;
    for(k=1;k<=(i-1);k++)
        if (s[i]==list[k]) c=0;
    if (c==1) list[i]=s[i] ;
    else { s[i]++;
            goto x;
    }
    s[i]++;
    if (i<n) {
        i++;
        s[i]=1;
        goto w;
    }
}
}

```

```

GERAFFIN
    }
    else for(j=1;j<=n;j++) {
        s[i]=j;
        c=1;
        for
(k=1;k<=(i-1);k++)
if (s[i]==list[k]) c=0;
if (c==1) {list[i]=s[i];
            s[i]=n+1;
            printf("\n\n");
            e=0;
            for (k=1;k<=n;k++) if (list[k]>n) e=1;
            if (e==0) {printf("\n\n      THE CURENT PERMUTATION IS : \n\n");
                        for (k=1;k<=n;k++) printf("%2d , ",list[k]);
                        goto qq;
                    }
aa:goto w;
}
}
else if (i>1)  {i--;
                }
                goto w;
            }
            else goto y;

y: printf("\n\n\n      this matrix can't convert to form II \n\n\n");
qq: for(j=1;j<=n;j++)
    for(i=1;i<=n;i++) if (list[i]==j) l1[j]=i ;
    printf("\n\n      [");
    for(i=1;i<=n;i++) printf(" %d ",l1[i]);
    printf(" ]");
for(j=1;j<=n;j++)
    for(i=1;i<=n;i++) final[j][i]=b[l1[j]][l1[i]];
    vv=0;
    ki=n/2;
    for(j=1;j<=ki;j++)
        for(i=1;i<=ki;i++) if ((final[j][i]) != (final[ki+j][ki+i])) vv=1;
    for(j=1;j<=ki;j++)
        for(i=1;i<=ki;i++) if ((final[j][ki+i])!= (final[ki+j][i])) vv=1;
    if (vv==1) goto aa;
    else {
        printf("\n\n      THE PERMUTATION NUMBER THAT THER IS
LAPLACIAN MATRIX FORM II : \n\n\n      ");
        for(j=1;j<=n;j++) printf(" %d ",list[j]);
        printf("\n");
        printf("\n\n      AT LAST THIS IS SPECIAL LAPLAS
MATRIX");
        for(j=1;j<=n;j++){ printf("\n\n\n      ");
                                for(i=1;i<=n;i++) printf(" %3d

```

```
        GERAFFIN
",final[j][i]);
}
        goto exi;
}

exi : printf("\n\n    CREATE BY : \n
Elyasi Gorji\n\n");
getch();
return(0);
}
```

Azam

C:\ I:\BARNAM~1\GERAFFIN.EXE

INPUT THE NUMBER OF YOUR GRAPH'S HEAD

ATTENTION

YOU SHOULD INPUT THE EVEN NUMBER

6

```
input a[1][1] : 0
input a[1][2] : 1
input a[1][3] : 0
input a[1][4] : 1
input a[1][5] : 1
input a[1][6] : 0
input a[2][1] : 1
input a[2][2] : 0
input a[2][3] : 1
input a[2][4] : 0
input a[2][5] : 0
input a[2][6] : 1
input a[3][1] : 0
input a[3][2] : 1
input a[3][3] : 0
input a[3][4] : 1
input a[3][5] : 0
input a[3][6] : 1
input a[4][1] : 1
input a[4][2] : 0
input a[4][3] : 1
```

```
input a[4][4] : 0
input a[4][5] : 1
input a[4][6] : 0
input a[5][1] : 1
input a[5][2] : 0
input a[5][3] : 0
input a[5][4] : 1
input a[5][5] : 0
input a[5][6] : 0
input a[6][1] : 0
input a[6][2] : 1
input a[6][3] : 1
input a[6][4] : 0
input a[6][5] : 0
input a[6][6] : 0
```

THE FIRST LAPLAS MATRIX IS :

3	-1	0	-1	-1	0
-1	3	-1	0	0	-1
0	-1	3	-1	0	-1
-1	0	-1	3	-1	0
-1	0	0	-1	2	0
0	-1	-1	0	0	2

THE PERMUTATION NUMBER THAT THERE IS LAPLACIAN MATRIX FORM II =

1 2 4 5 3 6

AT LAST THIS IS SPECIAL LAPLACIAN MATRIX

$$\begin{matrix} 3 & -1 & 0 & -1 & 0 \\ 1 & 3 & 0 & 1 & 0 & 1 \\ -1 & 0 & 2 & 0 & -1 & 0 \\ 0 & -1 & 0 & 3 & -1 & -1 \\ 1 & 0 & 0 & 1 & 1 & 0 \\ 0 & -1 & 0 & -1 & 0 & 2 \end{matrix}$$

CREATE BY =

Azam Elyasi Gorji

C:\ I:\BARNAM~1\GERAFFIN.EXE

INPUT THE NUMBER OF YOUR GRAPH'S HEAD

ATTENTION

YOU SHOULD INPUT THE EVEN NUMBER

4

```
input a[1][1] : 0
input a[1][2] : 1
input a[1][3] : 1
input a[1][4] : 1
input a[2][1] : 1
input a[2][2] : 0
input a[2][3] : 1
input a[2][4] : 0
input a[3][1] : 1
input a[3][2] : 1
input a[3][3] : 0
input a[3][4] : 0
input a[4][1] : 1
input a[4][2] : 0
input a[4][3] : 0
input a[4][4] : 0
```

THE FIRST LAPLACE MATRIX IS :

$$\begin{pmatrix} 3 & -1 & -1 & -1 \\ -1 & 2 & -1 & 0 \\ -1 & -1 & 2 & 0 \\ -1 & 0 & 0 & 1 \end{pmatrix}$$

this matrix can't convert to form II

CREATE BY :

Azam Elyasi Gorji

Abstract

Matrix analysis is one of the suitable methods of mathematical, which in engineer sciences is used. In the methods of based on matrix analysis use from property of matrix in linear algebra problems. In problems of linear algebra, define a lot of variable, which their values should be computed. By Using of property matrix algebra and computer with high speeds, is provided solution of the most complex structural problems with said trait mid matrix analysis. This thesis is, “application of laplacian matrix in analysis of stability of structures with symmetry to two and three form” with beneficial of analysis matrix and context graph theory. The method of used in this thesis is base on the model of graphs, which descriptive from hinged frames without axial deflection. Herein corresponding graph model with frame in tension of its axial symmetry, fragmented, and decompose to two-symmetry component. From two-component symmetry, apply just one component symmetry for obtaining critical load. In this argument, structural matrix of equivalent of laplacian matrix of corresponding graph is stiffness matrix which laplacian matrix made up of decomposition corresponding matrix with original graph by using of symmetry to two and three form and its eigenvalue substitute with original eigenvalue that Computational volume reduces very much. Also for appropriate and better description from symmetry to two and three form, special graph is defined that it called combined graph, which it is resource method completely, and own this thesis. This type of graphs mid corresponding laplacian matrix in two and three form is argument in this thesis. In addition, applications of practical from said model is presented.

Keywords: laplacian matrix; structural frames; eigenvalue; symmetry; graph theory